

**신개념원자로 조건에 대한 부수로 해석 코드 기술
개발 및 응용 연구**

**Development and Application of Subchannel Analysis
Code Technology for Advanced Reactor Systems**

KAERI

2006. 1.

한국원자력연구소

Korea Atomic Energy Research Institute

제 출 문

한국원자력연구소장 귀하

본 보고서를 “자체연구개발” 과제의 최종보고서로 제출합니다.



2006. 1.

주저자: 황 대 현

공저자: 서 경 원

요약문

다양한 핵연료 및 노심 형태와 냉각재를 사용하는 신개념 원자로에 대한 부수로 해석 코드 기술 개발 및 적용성 평가 연구를 수행하였다. 부수로 해석 코드의 기본 모듈은 기존 경수로 노심 열수력장 해석을 위하여 한국원자력연구소에서 개발중인 MATRA 코드를 바탕으로 개발하였다. 코드 입력 오류를 줄이고 사용자 편이성을 높이기 위하여 입출력 GUI를 개발하였다. 다양한 냉각재에 대한 물성치 계산 모듈을 보완하였으며, 그 결과 액체금속, 개스, 냉매, 그리고 초임계압수 등에 대한 부수로 해석이 가능하다. 부수로 해석 코드를 사용하여 신개념원자로에 적용될 수 있는 다양한 형태의 비정방형 집합체에 대한 CHF 시험자료를 분석하고 예측 성능을 평가하였다. 그리고 고온가스로 및 초임계압 원자로 조건에 대한 부수로 해석 코드의 적용성 평가를 수행하였다. 독일 FZK 연구소와 국제공동 연구를 수행하여 액체 금속을 냉각재로 사용하는 원자로 조건에 대한 부수로 해석을 수행하였다. 그리고 OECD/NRC의 code benchmark에 참여하여 부수로 기포율 분포에 대한 부수로 해석 코드의 예측 성능을 평가하였다.

SUMMARY

A study has been performed for the development and assessment of a subchannel analysis code which is purposed to be used for the analysis of advanced reactor conditions with various configurations of reactor core and several kinds of reactor coolant fluids. The subchannel analysis code was developed on the basis of MATRA code which is being developed at KAERI. A GUI (Graphic User Interface) system was adopted in order to reduce input error and to enhance user convenience. The subchannel code was complemented in the property calculation modules by including various fluids such as heavy liquid metal, gas, refrigerant, and supercritical water. The subchannel code was applied to calculate the local thermal hydraulic conditions inside the non-square test bundles which was employed for the analysis of CHF. The applicability of the subchannel code was evaluated for a high temperature gas cooled reactor condition and supercritical pressure conditions with water and Freon. A subchannel analysis has been conducted for European ADS(Accelerator-Driven subcritical System) with Pb-Bi coolant through the international cooperation work between KAERI and FZK, Germany. In addition, the prediction capability of the subchannel code was evaluated for the subchannel void distribution data by participating an international code benchmark program which was organized by OECD/NRC.

목 차

요약문

Summary

목차

1. 서론	1
1.1 연구 개발의 필요성	1
1.1.1 연구개발의 경제·사회·기술적 중요성	1
1.1.2 지금까지의 연구개발 실적	2
1.1.3 현기술상태의 취약성	2
1.1.4 앞으로의 전망	3
1.2 연구 개발 목표 및 내용	3
1.2.1 연구개발의 최종목표	3
1.2.2 연차별 연구개발목표 및 내용, 평가기준	4
1.2.3 추진전략 및 방법	4
2. 연구 개발 내용 및 결과.....	5
2.1 부수로 해석 코드 기본 모듈 개발	5
2.1.1 코드 모듈 및 입출력 체계 정비	5
2.1.2 냉각재 물성치 계산 모듈 개발	16
2.2 부수로 해석 코드 적용성 평가.....	27
2.2.1 비정방형 집합체 CHF 해석	27
2.2.2 신개념 원자로 조건 적용	37
2.3 국제 공동 연구.....	48
2.3.1 독일 FZK 연구소 공동 연구	48
2.3.2 OECD/NRC code benchmark	49
3. 결론	61
3.1 연구 개발 목표 달성을 및 대외 기여도.....	61
3.2 연구 개발 결과의 활용 계획 및 추가 연구의 필요성	61
그림 3.1 부수로 해석 코드 개발 연구 체계	62
4. 참고 문헌.....	63

부록-1. MATRA-X0 입력 지침서	65
부록-2. 물성치 관련 MATRA 코드 수정 내용	107
부록-3. 비정방형 CHF 시험 집합체 기하 형태 및 봉별 출력 분포	111
부록-4. 비정방형 CHF 시험집합체 부수로 해석을 위한 기본 자료	118
부록-5. CHF 예측 모형	159
부록-6. KAERI-FZK 공동 연구	167

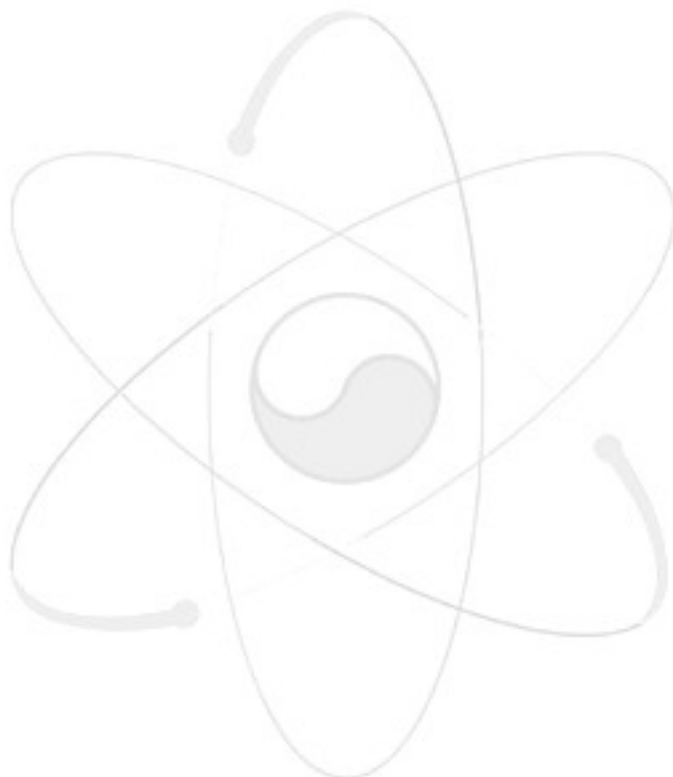


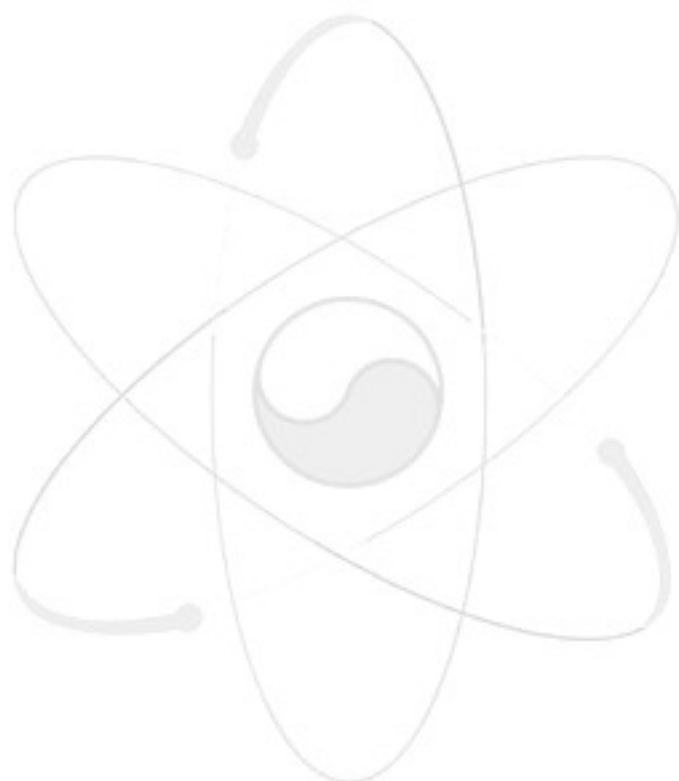
표 목차

표 2.1. 물 포화 물성치 비교 (MATRA와 NIST STEAM).....	20
표 2.2. 주어진 압력과 온도에서의 물 물성치 비교 (MATRA와 NIST STEAM)..	21
표 2.3. 프레온 포화 물성치 비교 (MATRA와 NIST REFPROP).....	21
표 2.4. 주어진 압력 온도 조건에서 프레온 물성치 비교 (MATRA와 NIST REFPROP).....	22
표 2.5. 헬륨 가스 물성치 비교.....	22
표 2.6. MATRA X 물성치 계산 옵션 및 의미	24
표 2.7. 물성치 계산 옵션별 계산 속도 비교.....	24
표 2.8 비정방형 CHF 시험 집합체 기하형태 특성 자료 (1/3).....	29
표 2.8 비정방형 CHF 시험 집합체 기하형태 특성 자료 (2/3).....	30
표 2.8 비정방형 CHF 시험 집합체 기하형태 특성 자료 (3/3).....	31
표 2.9 부수로 해석 결과를 사용한 CHF 예측 성능 분석 결과.....	32
표 2.10 시험 집합체 주요 기하 형태 자료.....	53
표 2.11 부수로 해석 수행 조건.....	54
표 2.12 부수로 기포율 분포 예측 성능 비교.....	54

그림 목차

그림 2.1 연속 방정식 유도를 위한 제어 체적표.....	6
그림 2.2 에너지 보존 방정식 유도를 위한 제어 체적.....	7
그림 2.3 축방향 운동량 보존 방정식 유도를 위한 제어 체적.....	7
그림 2.4 횡방향 운동량 보존 방정식 유도를 위한 제어 체적.....	8
그림 2.5 MATRA 코드와 COBRA-IV-I 코드 특징 비교	11
그림 2.6 MATRA-X0 코드의 계산 과정	12
그림 2.7 MATRA-X0 코드 입력 자료	13
그림 2.8. MATRA 코드 입력 작성 예.....	14
그림 2.9. MATRA 코드 GUI 출력 모듈 사용 예.....	15
그림 2.10 물성치 계산 옵션 결과 비교 (과냉 조건 프레온).....	25
그림 2.11 물성치 계산 옵션 결과 비교 (초임계압 조건 프레온).....	26
그림 2.12 비정방형 집합체 CHF 예측 성능 (EPRI-1, KfK-3 상관식).....	33
그림 2.13 비정방형 집합체 CHF 예측 성능 (PI-3, Bowring mixed 상관식).....	34
그림 2.14 비정방형 집합체 CHF 예측 성능 (Bowring tube, Katto 상관식).....	35
그림 2.15 비정방형 집합체 CHF 예측 성능 (Shah, 1995 CHF table 상관식).....	36
그림 2.16 초임계압 프레온 CHF 실험 해석 결과	38
그림 2.17 Winfrith CHF 실험 장치	39
그림 2.18 초임계압 물 실험 해석.....	40
그림 2.19 MATRA 코드의 conducting wall 모형	41
그림 2.20 프리즘형 고온가스냉각로 열전달 모형	42
그림 2.21 HENDEL 실험장치 연료 블록	43
그림 2.22 고온가스냉각로 노심해석 검증 실험 자료.....	44
그림 2.23 실험과 MATRA 코드 해석 결과 비교	44
그림 2.24 HENDEL 실험루프 부수로별 유량분포	46
그림 2.25. KAERI-FZK 국제공동 연구 체계.....	48
그림 2.26. 8x8 집합체 부수로 해석 모형	55
그림 2.27 부수로 기포율 분포 예측치와 실측치 비교 (TS 0-1)	56
그림 2.28 부수로 기포율 분포 예측치와 실측치 비교 (TS 0-2)	57

그림 2.29 부수로 기포율 분포 예측치와 실측치 비교 (TS 0-3).....	58
그림 2.30 부수로 기포율 분포 예측치와 실측치 비교 (TS 1)	59
그림 2.31 부수로 기포율 분포 예측치와 실측치 비교 (TS 4)	60



1.

1.1

1.1.1

부수로 해석 코드 기술은 핵연료 집합체에서의 CHF(Critical Heat Flux) 및 연료 온도 해석에 필요한 3차원적 열수력장 분포를 계산하고, 이로부터 노심 열출력 성능을 평가하는데 사용되는 핵심적인 코드 기술이다. 현재 국내 가압경수로 설계에 사용되고 있는 부수로 해석 코드로서는 CE사의 TORC 코드나 웨스팅하우스사의 THINC-IV 코드 등이 있다. 신개념 원자로에서는 원자로의 안전성과 경제성의 획기적인 향상, 우라늄 자원의 효율적인 활용 등의 다양한 목표를 충족시키기 위하여 기존 경수로와 달리 새로운 종류의 냉각재나 핵연료 집합체의 적용을 고려하고 있다. 이 경우 핵연료 집합체 설계의 타당성을 열수력적 관점에서 평가하고 신개념 원자로 노심의 열출력 성능을 평가하는 가장 효과적인 방법으로서 부수로 해석 코드 기술이 매우 중요한 역할을 한다. 본 연구에서 고려하고 있는 신개념 원자로에는 다양한 수냉각 원자로와 HLM(Heavy Liquid Metal)을 냉각재로 사용하고 있는 가속기 구동 미임계 핵변환로(ADS: Accelerator-Driven subcritical transmutation System), 연구용 원자로, 그리고 초임계압 원자로(SCWR: Supercritical pressure Water Reactor) 등이 있다. 이들 원자로에 사용되는 냉각재 특성과 비정방형 집합체 기하형태 등으로 인하여 기존의 가압경수로용으로 개발된 부수로 해석 코드 기술을 그대로 적용할 수 없다. 따라서 신개념 원자로 노심에서의 핵연료 집합체 설계 타당성과 열적 여유도 평가를 위하여 부수로 해석 코드 모듈 개발 및 CHF 해석 체계의 구축 등에 대한 연구가 필요하다. 사용후 핵연료 처리 방법의 하나로서 제안된 ADS 노심은 Pb-Bi 냉각재의 밀도와 열전도도 특성, 그리고 핵연료 집합체 채널의 기하 형태에 대한 제약 등으로 인하여 특이한 열수력적 특성을 갖는다. 즉, 냉각재에서의 축방향 및 반경방향 열전도 모델과 유체 특성을 고려한 적절한 난류혼합모델 및 교차류 모델을 부수로 해석 코드에 적용할 필요가 있다. 연구용 원자로의 경우에는 판형(plate-type) 핵연료로 구성되는 채널

해석 모델과, 대기압 근처의 낮은 압력 조건에 적용 가능한 부수로 해석 코드 모델 개발에 대한 연구가 필요하다. 높은 열효율을 얻기 위하여 제안된 초임계압 원자로 노심에서는 냉각재 온도 상승이 200°C 이상 발생하여 노심 상하부 간의 냉각재 밀도 차이가 매우 크며, 효율적인 중성자 감속을 위해 설치하는 water-rod 등으로 인하여 기존 경수로에 비하여 열수력적 비균질도가 상당히 크다. 따라서 안정된 해를 구할 수 있는 수치 해법에 대한 연구를 포함하는 적절한 부수로 해석 코드 기술의 개발이 필요하다. 본 연구를 통하여 시작된 KAERI와 독일 FZK 연구소 간의 국제공동 연구는 KAERI의 부수로 해석 코드 기술과 FZK의 열수력 실험 기술을 효과적으로 활용하여 부수로 해석 코드 개발을 수행하기 위한 것이다. 이를 통하여 KAERI는 부수로 해석 코드 기본 모듈을 제공하고 FZK에서 수행될 열수력 시험 자료를 확보하여 신개념 원자로 적용에 필요한 부수로 해석 코드 기술을 공동 개발할 예정이다.

1.1.2

1차년도 연구를 통하여 신개념 원자로 적용을 위한 부수로 해석 코드의 기본 모듈을 정비하였다. 그리고 코드 입출력 체계에 대하여 GUI(Graphic User Interface)를 구현하여 입력 오류를 줄이고 사용자 편의성을 개선하기 위한 기초를 마련하였다. 신개념 원자로에서 고려하고 있는 다양한 냉각재 조건에 대하여 부수로 해석 코드를 적용할 수 있도록 수정하였으며, 여러 가지 형태의 비정방형 집합체에 대하여 코드 예측 성능을 평가하였다. 그리고, 부수로 해석 코드의 기본 모듈을 서울대학교 및 한국과학기술원에서 연구 목적으로 사용할 수 있도록 기술실시 계약을 체결하였다. 독일 FZK 연구소와 국제공동연구 협약을 체결하여 HLM(Heavy Liquid Metal) 및 경수를 냉각재로 사용하는 신개념 원자로에 적용할 수 있는 부수로 해석 코드 모듈을 공동 개발하기로 하였으며, 일차 회의를 통하여 working group을 구성하고 공동연구 항목을 구체화하였다.

1.1.3

부수로 해석 코드는 연료봉 단위의 부수로를 기본 제어 체적으로 사용하는 열수력장 해석 코드로서 노심 내의 유량, 온도 및 압력 분포를 3차원 공간에서 계산하며 이로부터 주요 설계 변수인 CHFR이나 연료 온도 등을 계산하는 기능을 가지고 있다. 한국원자력연구소에서는 COBRA-IV-I 코드를 수정/개량하여 지난 수년 동안 부수로 해석 코드 MATRA(Multichannel Analyzer for steady-states and Transients in Rod Arrays)를 개발하고 있으며, 그 결과로서 기준 경수로 조건에 적용 가능한 MATRA-a version을 개발하여 1997년 11월에 한국 컴퓨터 프로그램 보호회에 등록한 바 있다. MATRA 코드는 미래형 핵연료에 대한 열수력적 해석 및 SMART 노심 열수력 설계에 적용한 경험이 있으며, MATRA 코드를 바탕으로 개발된 MATRA-LMR이나 MATRA-h 코드는 KALIMER 노심 해석 및 HANARO 노심 분석 등에 사용된 경험이 있다. 그러나 새로운 개념의 원자로에서는 다양한 종류의 냉각재와 집합체 기하 형태가 고려되고 있으며, 이러한 조건에서 부수로 해석 코드의 적용성은 충분히 확인되지 않은 상태이다.

1.1.4

본 연구를 통하여 신개념 원자로에 적용하기 위한 부수로 해석 코드의 기본 모듈을 개발하고 다양한 원자로 조건에 대한 코드 적용성 평가를 통하여 향후 기술 개발이 필요한 연구 항목들을 도출할 수 있을 것으로 기대된다.

1.2

1.2.1

신개념 원자로 조건에 적용 가능한 부수로 해석 코드 기본 모듈 개발 및 적용성 평가를 통한 부수로 해석 코드 개발 방향 도출

1.2.2

, 가

- 부수로 해석 코드 기본 모듈 개발
 - 코드 모듈 및 입출력 체계 정비
 - Non-aqueous 냉각재 해석 모듈 개발
 - 비정방형 집합체 해석 방법론 정비
- 부수로 해석 코드 적용성 평가
 - 비정방형 집합체 CHF 해석 체계 특성 평가
 - 신개념원자로 노심특성 자료 수집
 - 신개념원자로 노심 부수로 해석 모델 개발 및 적용성 평가

1.2.3

- KAERI의 MATRA 코드를 바탕으로 부수로 해석 코드의 기본 모듈을 도출하고 이를 신개념 원자로 적용을 위한 부수로 해석 코드 체계 개발에 활용한다.
- 독일 FZK 연구소와의 국제 공동 연구를 통하여 HLM(Heavy Liquid Metal) 및 water를 냉각재로 사용하는 신개념 원자로에 적용 가능한 부수로 해석 코드 체계를 공동 개발한다. 공동 연구는 KAERI의 부수로 해석 코드 기술과 FZK의 모델 개발 및 실험 등에 대한 기술을 바탕으로 KAERI-FZK 간의 Specific Arrangement에 대한 annex를 통하여 추진한다. 본 연구 과제를 통하여 개발된 주요 결과와 FZK의 연구 결과는 부수로 해석 코드 working group을 통하여 서로 교환할 예정이며 이를 통하여 공동으로 부수로 해석 코드 체계를 개발한다.
- OECD/NRC가 주관하는 부수로 해석코드 benchmark working group에 참여하여 2상 유동 조건에 대한 부수로 해석 코드 검증 작업을 수행한다.
- 국내 부수로 해석 코드 사용자 회의를 추진하고 이를 통하여 여러 가지 원자로 조건에 대한 부수로 해석 코드 적용 연구 정보를 교환한다.

2.

2.1

2.1.1

(가) 지배 방정식

MATRA 코드는 COBRA-IV-I 코드[1]로부터 개발된 것으로서 지배방정식 형태는 COBRA-IV-I 코드와 동일하다. 즉, 2상 유동장은 혼합물로 취급하여 HEM (Homogeneous Equilibrium Model) 혹은 SEM(Slip Equilibrium Model)을 적용하고 있다. MATRA 코드의 연속 방정식, 에너지 보존 방정식, 축방향 및 횡방향 운동량 보존식은 아래와 같이 표현된다. 지배 방정식이 유도된 제어 체적은 그림 2.1 ~ 그림 2.4에 제시하였다. 부수로 해석 코드 지배 방정식 유도 과정은 참고 문헌 [2]에 상세히 기술되어 있다.

- 연속방정식:

$$A_i \frac{\partial \langle\langle \rho_m \rangle\rangle_i}{\partial t} + \frac{\partial m_i}{\partial x} + \sum_j (w_{ij} + w'_{i \leftrightarrow j}) = 0. \quad (2.1)$$

- 에너지 보존 방정식:

$$A_i \frac{\partial}{\partial t} \langle\langle \rho_m \rangle\rangle_i \langle\langle h_m \rangle\rangle_i + \frac{\partial}{\partial x} \left(m \frac{\partial}{\partial x} \langle h \rangle_i \right) + \sum_j w_{ij} \langle h^* \rangle_i = Q \quad (2.2)$$

where,

$$Q = \frac{\partial}{\partial x} \left(\left\langle k \frac{\partial T}{\partial x} \right\rangle_i A_i \right) - \sum_j C_{ij} (T_i - T_j) - \sum_j w'_{ij} (h_i - h_j) + \sum_n \xi_n \langle q''_n \rangle \quad (2.3)$$

- 축방향 운동량 보존식:

$$\frac{\partial m_i}{\partial t} + \frac{\partial}{\partial x} \left(\left\langle \sum_k \alpha_k \rho_k u_k^2 \right\rangle_i A_i \right) + \sum_j w_{ij} \langle u^* \rangle_i = -\bar{A} \frac{\partial P}{\partial x} - F_x \quad (2.4)$$

where,

$$F_x = \frac{1}{2} \left\{ \frac{f \phi^2}{d_{hy} \rho_m} + \frac{K}{\rho' \Delta x} \right\}_i \frac{m_i^2}{A_i} + f_T \sum_j w'_{ij} (u_i - u_j) + A_i \langle \langle \rho_m \rangle \rangle_i g \cos \theta \quad (2.5)$$

- 횡방향 운동량 보존식:

$$\frac{\partial w_{ij}}{\partial t} + \frac{\partial}{\partial x} (w_{ij} \langle \bar{u} \rangle_i) + \frac{1}{l} \sum_j w_{ij} \langle \bar{v} \rangle_i = \frac{s_{ij}}{l} (P_i - P_j) - F_{ij} \quad (2.6)$$

where,

$$F_{ij} = \frac{1}{2} K_G \frac{w_{ij} |w_{ij}|}{\rho^* s_{ij} l} + s_{ij} \langle \langle \rho_m \rangle \rangle_i g \sin \theta \quad (2.7)$$

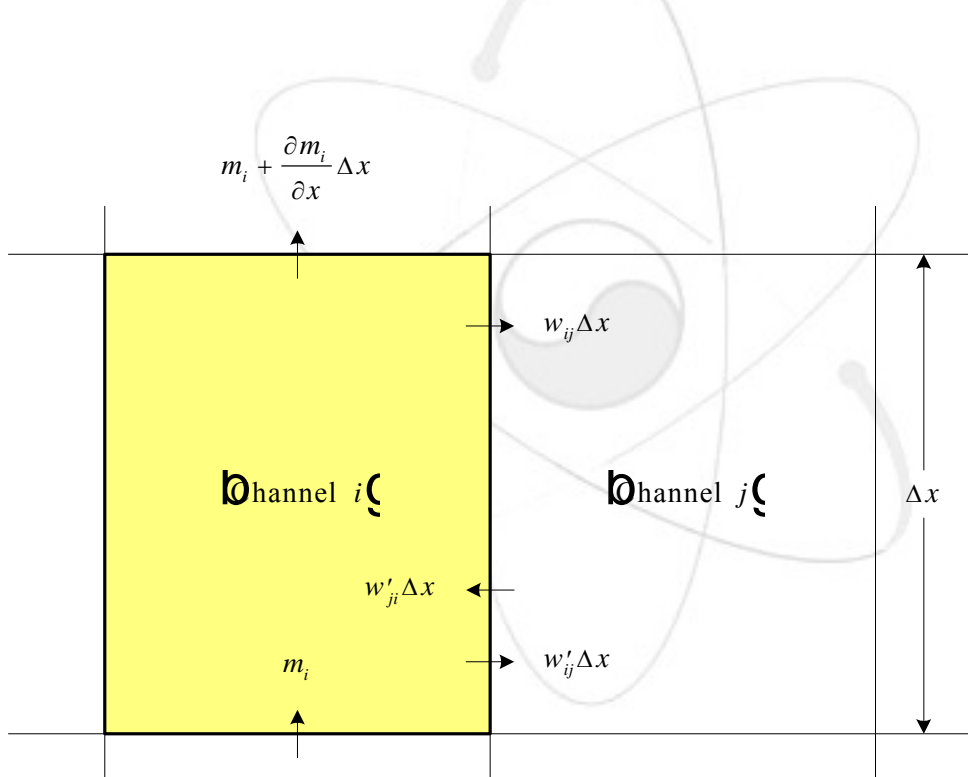


그림 2.1 연속 방정식 유도를 위한 제어 체적표

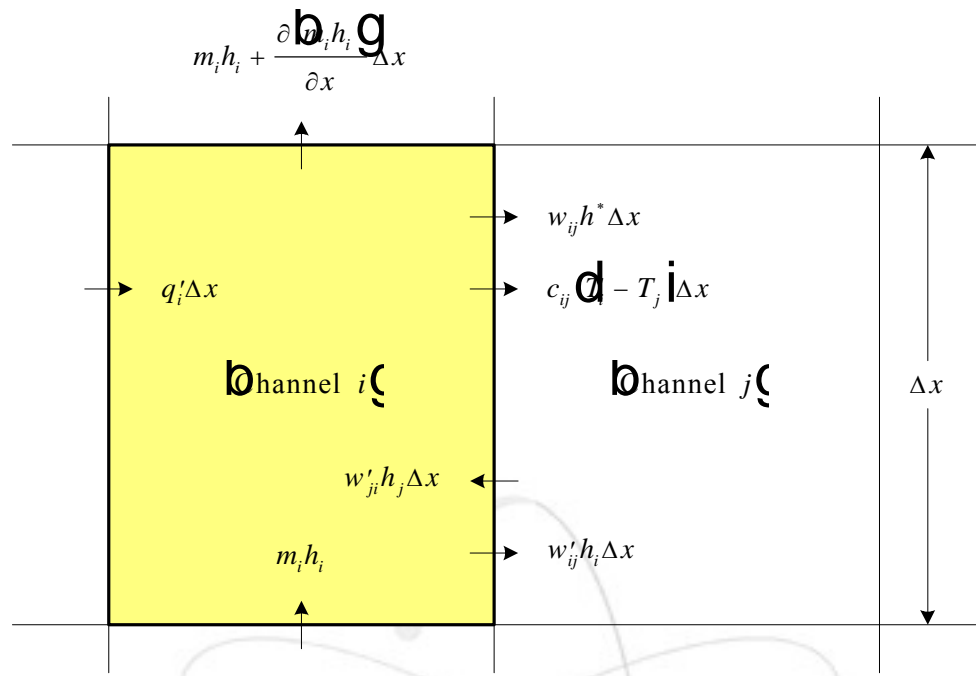


그림 2.2 에너지 보존 방정식 유도를 위한 제어 체적

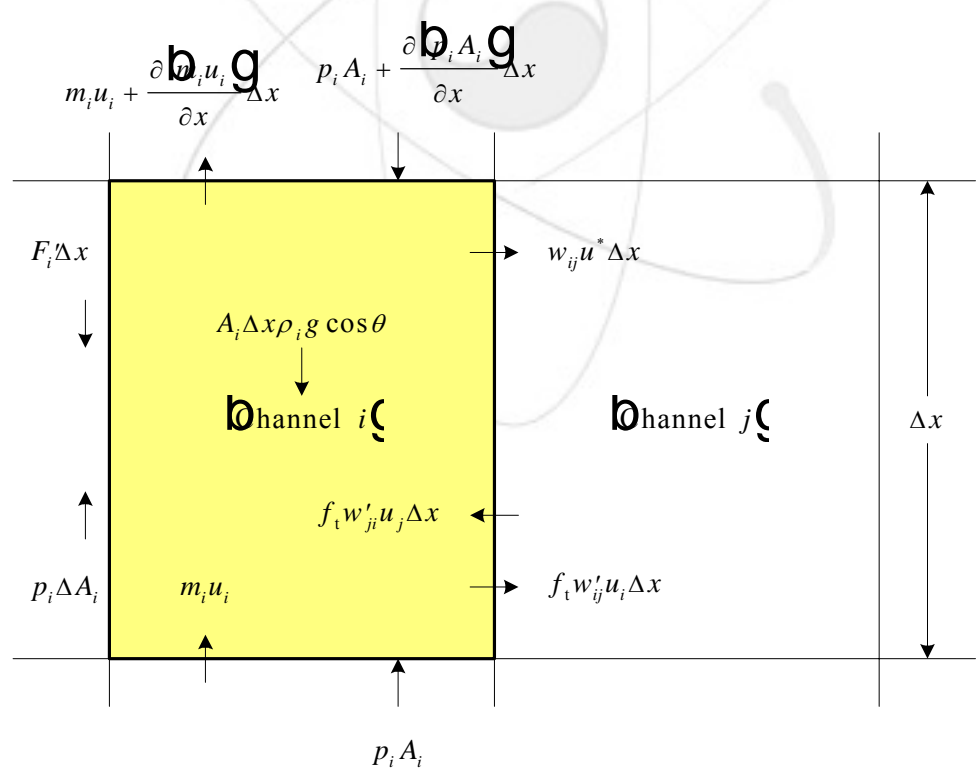


그림 2.3 축방향 운동량 보존 방정식 유도를 위한 제어 체적

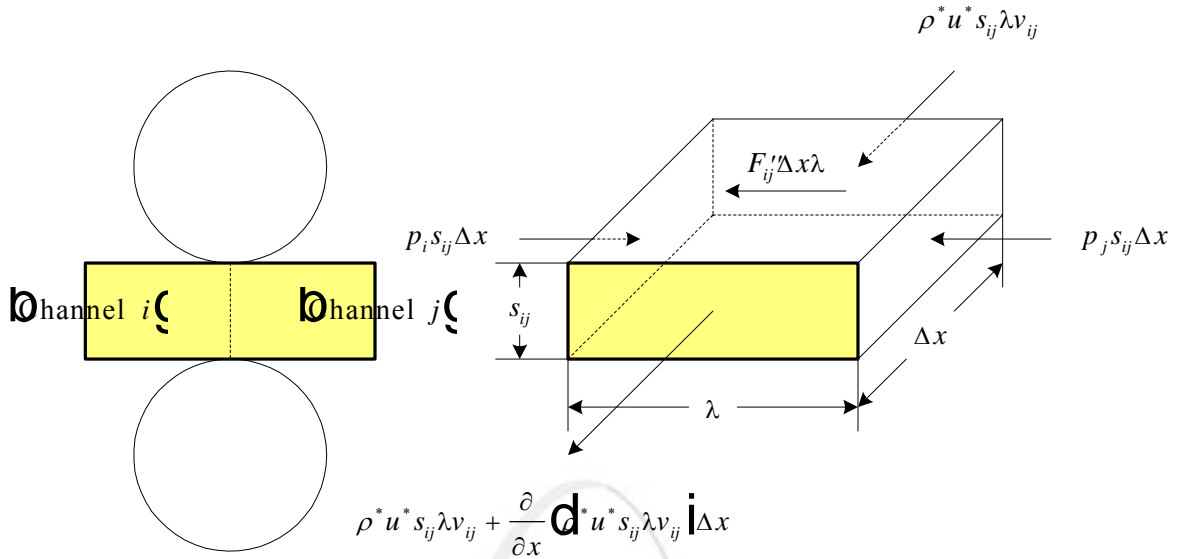


그림 2.4 횡방향 윤동량 보존 방정식 유도를 위한 제어 체적

(나) 코드 주요 모형

MATRA는 기존의 CDC CYBER mainframe용 COBRA-IV-I를 토대로 하여 IBM PC 및 HP Workstation에서 사용할 수 있도록 개발된 부수로 해석 코드이다. 그림 2.5는 MATRA 코드의 특징을 기존의 COBRA-IV-I 코드와 비교한 것인데, 본 절에서는 MATRA 코드에서 개선된 주요 코드 기능 및 모델을 기술하였다.

- MATRA 코드의 구조 및 기능

코드의 구조면에서는 먼저 CDC CYBER mainframe version을 IBM PC 및 HP workstation version으로 변환하였다.[3] 그리고 잘못 입력된 코드 입력 자료의 편집을 위해 사용된 방대한 크기의 불필요한 subroutine들을 제거하여 코드 구조를 단순화시켰고, 계산에 자주 사용되는 중요한 상수들의 유효 숫자를 증가시키고 모든 실수들을 2배 정도(double precision)로 그 정밀도를 높여 보다 정확한 계산 결과를 얻을 수 있도록 하였다. 기존의 입·출력 양식을 수정하여 정밀한 정보를 입·출력으로 제공하도록 하였고, 코드 구조를 쉽게 파악할 수 있도록 Fortran 90을 사용하여 코드 내용을 재구성하였다.

코드 기능면에서 보면, COBRA-IV-I에서는 코드의 입·출력 단위 체계로 British 단위 하나만을 사용할 수밖에 없으나, MATRA에서는 SI 와 British 단위를 선택적으로 사용할 수 있도록 입·출력 단위 체계의 전환 기능을 제공하였다. 유체의 물성치에 대한 계산 방법으로 COBRA-IV-I는 포화(saturated) 상태의 물성치로부터 선형 보간법(linear interpolation)에 의하여 과냉(subcooled) 상태의 물성치를 계산함으로써 상당한 오차를 야기했었는데, MATRA에서는 유체의 물성치 계산 routine을 코드 내에 이식하여 과냉 상태의 물성치를 직접 계산함으로써 물성치 계산에 따른 오차를 상당량 줄일 수 있도록 하였다. COBRA-IV-I에서는 계산에 사용되는 축방향 node를 균일하게 분할할 수밖에 없으나, MATRA에서는 flow blockage와 같은 문제 분석 시에 가변적인 축방향 node 생성 기능을 사용하여, 선택적으로 조밀한 node를 사용함으로써 축방향 node 개수를 최적화할 수 있도록 하였다. COBRA-IV-I에서는 유체의 모든 물성치들을 기준 압력인 계통 출구 압력에 대해서 계산하고 있다. 가압 경수로의 정상 상태와 같은 고압의 단상 유동(single-phase flow) 영역에서는 축방향 압력 강하가 유체의 물성치에 미치는 영향이 무시할 수 있을 정도로 작기 때문에, 계통 압력을 이용한 이러한 계산 방법이 어느 정도 타당성을 갖고 있지만, 보다 낮은 압력, 혹은 이상 유동(two-phase flow) 조건에서는 국부 압력이 유체의 물성치에 미치는 영향이 무시할 수 없을 정도가 되는 경우가 종종 있기 때문에, MATRA에서는 유체의 물성치를 계산하는데 있어서, 유동 조건에 따라 사용자가 계통 압력 혹은 국부 압력을 선택적으로 사용할 수 있도록 하였다. 일반적으로 가압 경수로의 열출력을 제한하는 가장 중요한 열수력 인자는 최소 핵비등 이탈율(Minimum Departure from Nucleate Boiling Ratio: MDNBR)이다. MDNBR은 운전 여유도를 결정할 수 있기 때문에, 미리 결정된 한계 DNBR에 대한 운전 가능 영역을 계산할 수 있는 기능이 필요하다. 따라서 MATRA에서는 주어진 MDNBR에 대한 열출력, 봉의 반경 방향 첨두치 및 유량의 값을 찾아내는 MDNBR 추적 계산 기능을 제공하였다. 현재 MATRA는 그림 2.6에서 보인 바와 같이 기본적으로 COBRA-IV-I와 동일한 계산 과정을 사용하고 있다. 즉, 각 축방향 평면에서의 유체의 엔탈피, 밀도, 교차류, 축방향 유량 및 압력을 계산 영역의 입구로부터 출구까지 계산하는 과정을, 교차류와 축방향 유량에 대해 주어진 수렴 조건을 만족할 때까지 반복하게 된다. 이 과정 중에 수행되는 교차류 방정식에 대한 수치 해법으로 COBRA-IV-I는 SOR(Successive Over-Relaxation) 방법을 사용하고

있는데, 저유속 조건과 같은 특정 조건에서 코드의 수렴성을 향상시키기 위하여 가우스 소거법(Gaussian Elimination)을 추가하여 선택적으로 사용할 수 있도록 하였다.

- MATRA 코드의 주요 모형

SMART 노심은 기존 경수로에 비하여 유속 및 건도 조건이 다소 확장되었으며, 신형 원자로 노심에 적용 가능성이 있는 비정방형 집합체에 대해서도 MATRA 코드를 적용할 수 있도록 열수력장 해석 모형을 보완하였다. 이를 위하여 집합체 압력 손실 모형과 기포율 계산 모형, CHF 계산 모형, 그리고 횡방향 전달 모형 등이 개선되었다. 비정방형 집합체에 대한 압력 손실 모형으로서 그리드 형태와 와이어랩 형태의 간격 격자에 적용할 수 있는 Rehme[4,5]의 모형을 적용하였다. 기존의 COBRA-IV-I에서는 이상 유동장에서의 체적(bulk) 기포율을 예측하기 위해 몇 가지 간단한 모형들을 사용하고 있는데, 이들 모형들은 비교적 오래 전에 개발되었고 그 적용 범위가 좁기 때문에 체적 기포율에 대한 새로운 모형이 필요하게 되었다. 따라서 보다 개선되고 적용 범위가 넓은 Chexal-Lellouche[6] 기포율 모형을 MATRA에 구현하게 되었는데, 이 모형은 매우 방대한 영역의 압력과 유량, 기포율 조건에 적용 가능하며, 증기-물, 공기-물, 산소, hydrocarbon 등 여러 유형의 유체들에 적용할 수 있다. 난류 혼합에 의한 횡방향 전달 모형은 부수로 해석 코드의 정확도에 큰 영향을 미치는 모형이다. COBRA-IV-I 코드는 인접 수로 간에 난류 혼합으로 인한 질량 교환량이 서로 같다고 가정하는 ‘동일 질량 교환 모형’이 사용되고 있다. 그런데 건도가 높은 조건에서 수행된 실험 결과에 따르면 이러한 모델이 모서리 수로 등에서 잘 맞지 않는 것으로 나타났으며, 이에 따라 ‘동일 체적 교환 모형’이나 기포 이동 모형 등이 제시되고 있다. 이러한 연구 결과를 바탕으로 MATRA 코드에서는 횡방향 전달 모형을 개선하였다[7].

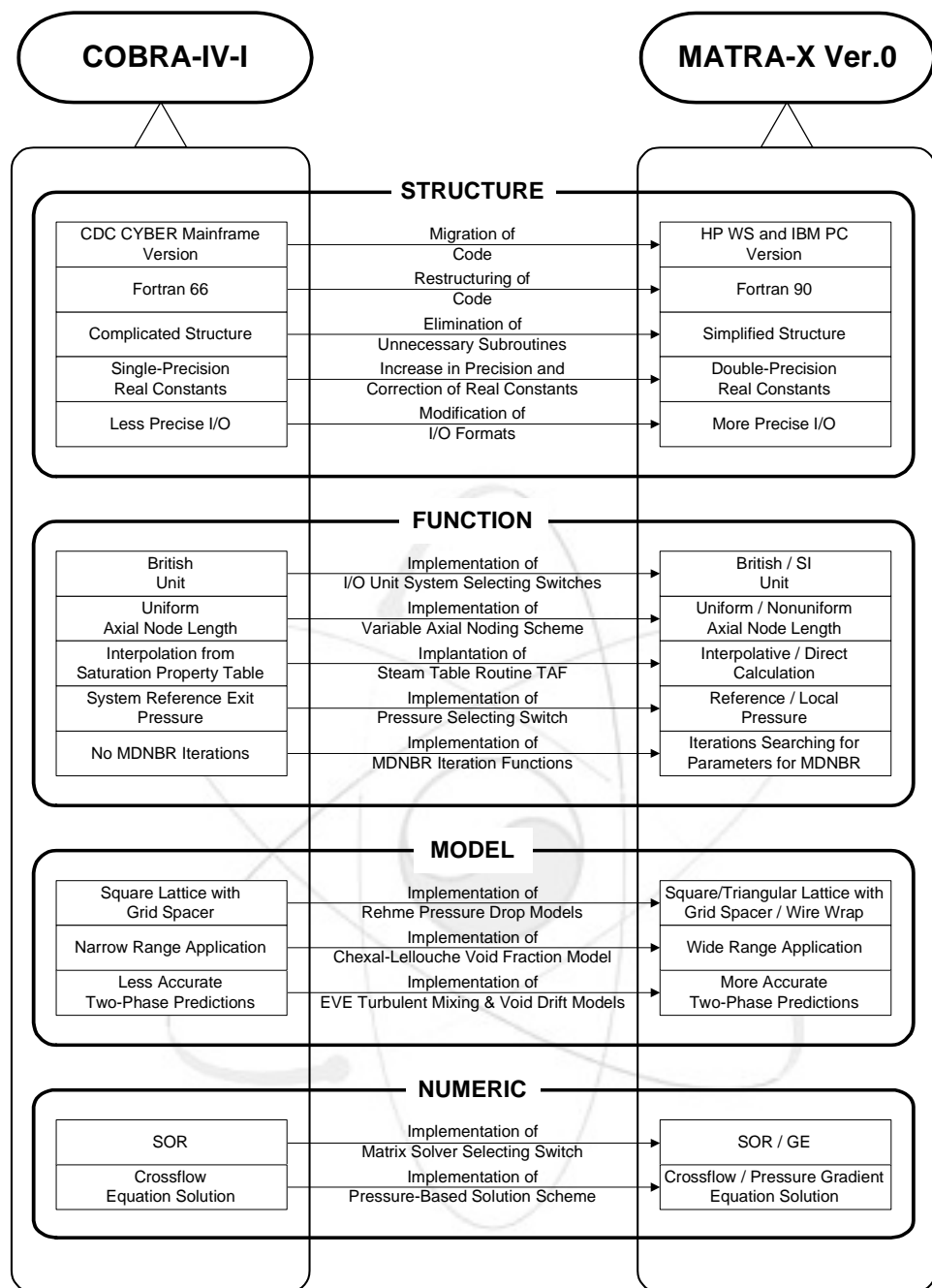


그림 2.5 MATRA 코드와 COBRA-IV-I 코드 특징 비교

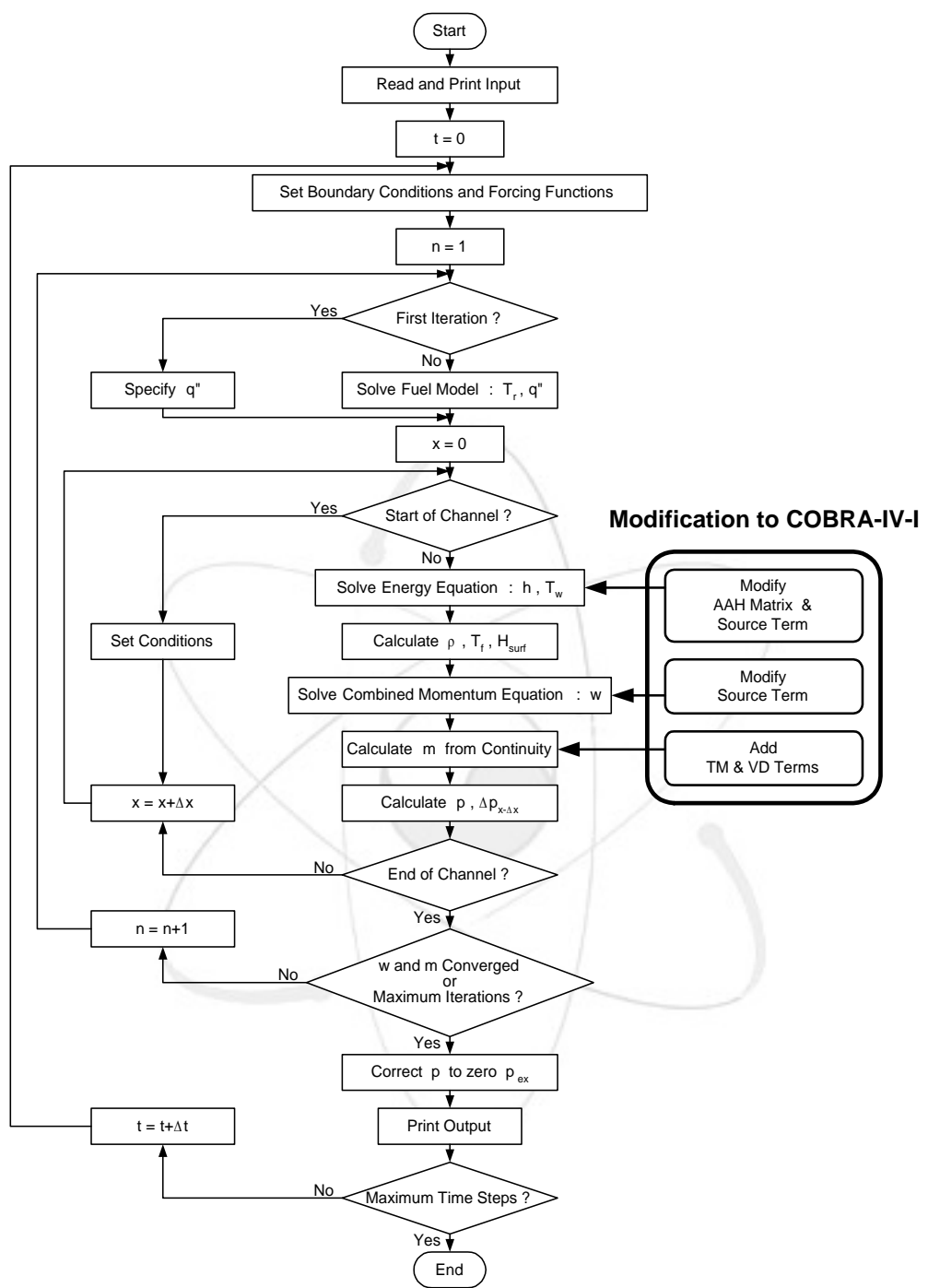


그림 2.6 MATRA-X0 코드의 계산 과정

(다) 코드 입력 체계

MATRA 코드의 입력 자료는 아래 그림과 같이 모두 12개의 입력 카드로 구성된다. 입력 변수에 대한 상세한 설명은 부록-1에 수록하였다.

Group No.	Description	Case	
		First	Subsequent
-	Initial card	Required	Not required
-	Case control card	Required	Required
1	Fluid properties	Required	Optional
2	Friction factor, heat transfer coefficient, and two-phase flow correlations	Required	Optional
3	Axial heat flux distribution	Required	Optional
4	Channel layout and dimensions	Required	Optional
5	Channel area variation	Optional	Optional
6	Gap spacing variation	Optional	Optional
7	Wire wrap and grid spacer information	Optional	Optional
8	Rod layout, dimensions, and properties	Required	Optional
9	Calculation control	Required	Optional
10	Lateral transport models	Required	Optional
11	Operating conditions and transient forcing functions	Required	Optional
12	Output display options	Required	Optional

그림 2.7 MATRA-X0 코드 입력 자료

(라) MATRA 코드 입출력 GUI 체계 개발

MATRA 코드는 텍스트 기반의 콘솔(console) 환경에서 사용하도록 개발되어 왔다. 이번 연구에서는 MATRA 코드 입출력 모듈을 윈도우 기반으로 그래픽화하여 사용자가 MATRA 코드 해석 작업을 쉽게 하도록 했다. 입출력 모듈은 유지보수가 쉬운 Visual Basic 을 이용하여 개발했다. 스프레드 기능을 추가하여 사용자가 입력을 손쉽게 할 수 있도록 하고 차트 기능을 추가하여 출력 파일로부터 원하는 정보를 그래프로 쉽게 알 수 있도록 했다.

- 입력 모듈

MATRA 코드 입출력 GUI 입력 모듈에서 카드입력 4.1을 입력하는 모습을 그림 2.8에 나타냈다.

입력 모듈은 MATRA 코드의 입력 파일을 선택하여 각 카드 입력에 해당하는 입력 양식을 스프레드 형태로 제공한다. 스프레드 기능은 Farpoint사의 Spread ActiveX 콘트롤을 이용했다. 사용자는 MATRA 코드 입력 자료를 스프레드에서 직접 편집, 수정, 저장하고 MATRA 코드를 실행할 수 있다.

MATRA 코드는 formatted 입력을 받으므로, 사용자가 입력 형식에 맞지 않게 잘못 기입하여 에러가 발생하는 경우가 종종 일어났다. 이번에 개발된 입력모듈은 사용자의 입력을 MATRA 코드의 입력 형식에 맞게 파일로 저장함으로써 입력 오류를 획기적으로 줄일 수 있게 되었다.

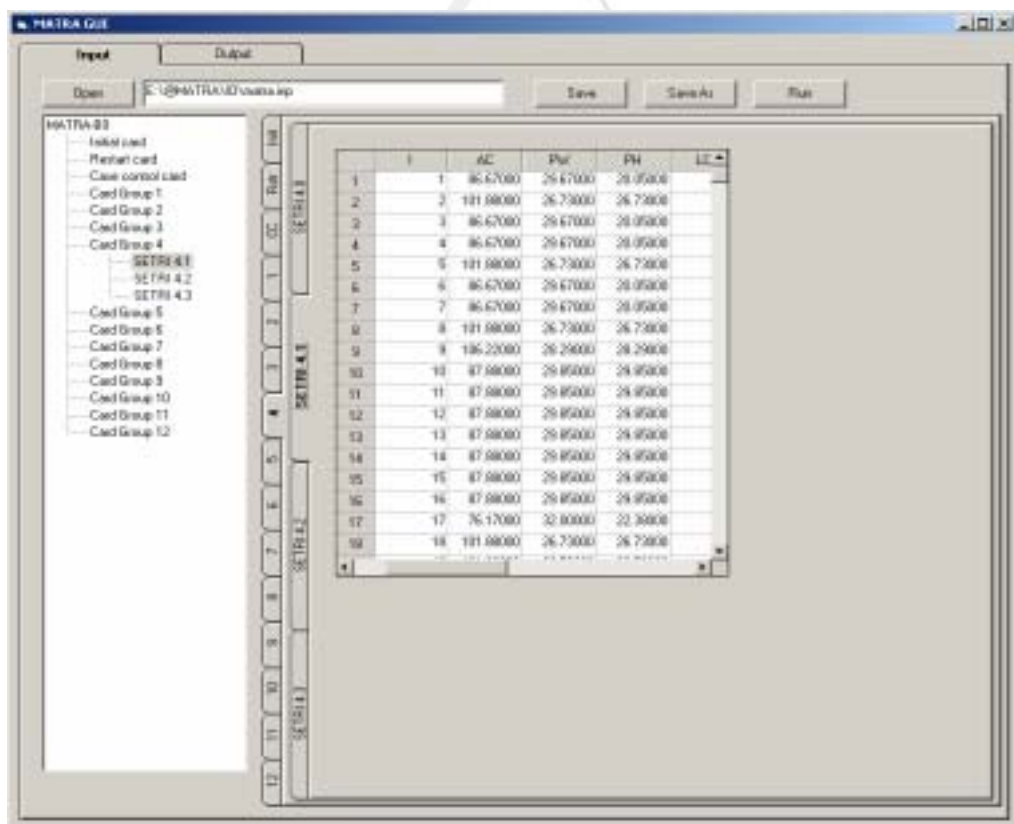


그림 2.8. MATRA 코드 입력 작성 예

- 출력 모듈

MATRA 코드 GUI 출력 모듈은 MATRA 코드 실행 결과 생성된 출력 파일을 불러와서 주요한 출력 결과를 그래프로 보여주는 기능을 제공한다.

MATRA 코드 출력 파일로부터 부수로 출구의 열수력 정보(Channel Exit Summary)를 불러와 스프레드에 나타내고 출구 온도를 그래프에 나타낸 화면을 그림 2.9에 나타냈다. 출력모듈은 오른쪽 위쪽의 스프레드에 출력 파일의 내용을 보여주고, 사용자가 화면 왼쪽에서 원하는 정보를 선택하면, 화면 오른쪽 밑쪽의 차트에 선택된 정보의 그래프를 나타낸다. 출력모듈은 이 차트를 bmp 파일로 저장하거나 프린터에 출력하는 기능을 제공한다.

차트 기능은 윈도우즈에 기본 설치되어 있는 Microsoft Chart ActiveX 콘트롤을 이용했다.

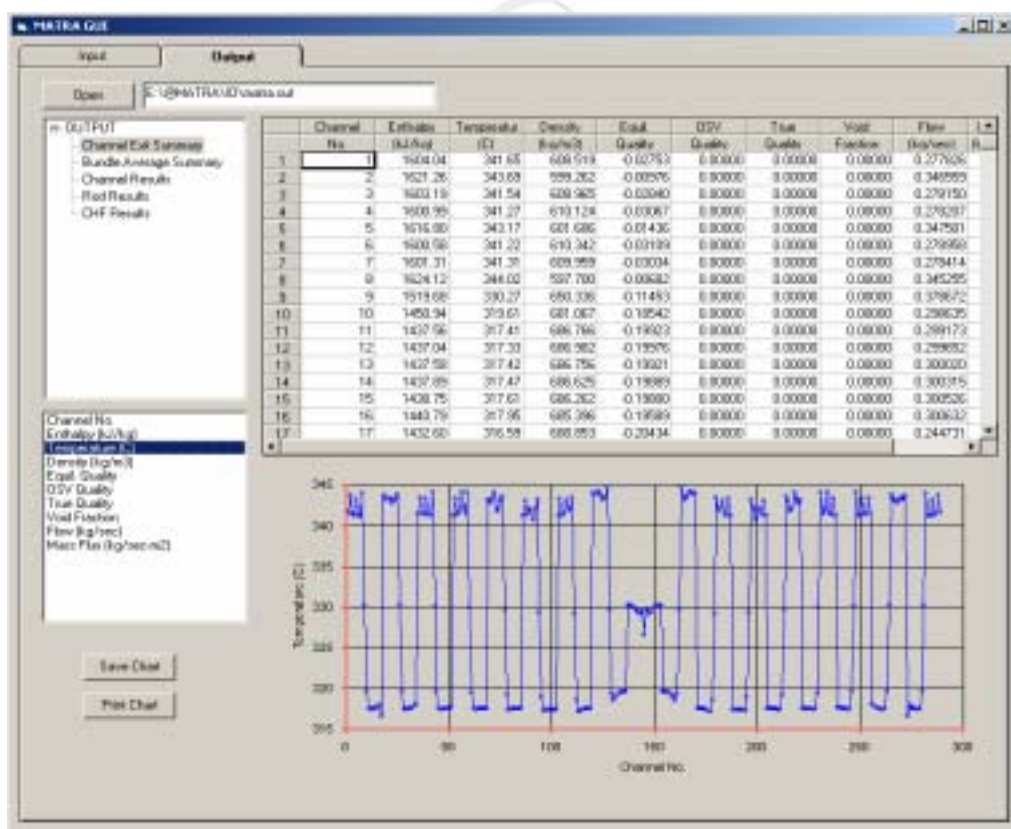


그림 2.9. MATRA 코드 GUI 출력 모듈 사용 예

2.1.2

(가) 물성치 라이브러리 추가

원자로심을 열수력 설계할 때에는 부수로 해석을 통해 열수력장을 해석하고 MDBNR과 같은 설계조건을 검토하는 것이 필수적이다. 그러나 신개념 원자로심은 기존 경수로 노심과 매우 다른 특징들을 갖고 있어서 기존의 부수로 해석 코드도 이에 맞춰 수정, 개선해야 할 필요성이 대두되었다. 새로운 개념의 노심을 갖는 신형원자로에 대한 부수로 해석을 위해서 MATRA 코드가 갖춰야 할 기능은 다음과 같다.

- 초임계압 경수로 : 기존 PWR 운전조건 보다 높은 초임계 압력에서 물의 물성치 변화와 이로 인한 열전달 현상 등의 변화를 해석할 수 있어야 함.
- 고온가스냉각로 : 냉각재인 헬륨 가스의 물성치와 고온에서 복사열전달 현상 등을 해석할 수 있어야 함.

기존 MATRA 코드는 냉각재 물성치를 계산할 때 입력된 포화 물성치 표를 이용하거나 TAF 함수를 이용하고, 과열 영역에서는 서브루틴 STEM에서 만든 과열 물성치 표를 이용하였다. 함수 TAF는 경수로 운전조건에 해당하는 물의 물성치에 관한 포트란 함수이며, 물 이외의 냉각재에 대해서는 사용자가 따로 포화 물성치 표를 입력해야 했다. 본 연구에서는 MATRA 코드에 SCWR이나 GCR 등의 신개념 원자로심을 해석할 수 있는 기능들을 추가하기 위해 여러 가지 냉매의 물성치 라이브러리를 추가했다. 물성치 계산을 위한 MATRA 코드 수정 내용은 부록-2에 기술하였다.

- NIST/ASME Steam Database v2.2 (NIST Standard Reference Database 10) : 초임계압 영역에서도 사용 가능한 NIST/ASME Steam Database 물성치 라이브러리를 추가했다.
- NIST REFPROP v6.01 (NIST Standard Reference Database 23 - Thermodynamic and Transport Properties of Refrigerants and Refrigerant

Mixtures) : 고온가스 냉각로 해석을 위해 헬륨의 물성치 뿐만 아니라 초임계압 경수로에서의 물리현상 이해를 위한 각종 실험에서 사용되는 이산화탄소, 프레온 R134a 등 물이 아닌 물질의 물성치를 계산할 수 있는 NIST REFPROP 라이브러리를 추가했다

- 이상기체 상태방정식[8] : 헬륨과 이산화탄소 같은 기체의 물성치는 이상기체 상태방정식의 가정이 유효한 조건에서 계산할 수 있으므로 이상기체 상태방정식에 의한 물성치 계산 기능을 추가했다.

(i) NIST/ASME STEAM은 IAPWS-95 함수에 의해서 물과 증기의 물성치를 계산하며, 물성치의 적용 한계는 다음과 같다.

- Thermodynamic Property Limits:

$$273.15\text{K} < T < 1273.15\text{K}$$

$$P < 1,000 \text{ MPa}$$

Molar Mass = 18.015268 g/mol Vienna Standard Mean Ocean Water (VSMOW)

- Transport Property Limits (IAPWS 1985 + IF97):

$$\mu$$

$$273.15 \text{ K} < T < 1173.15 \text{ K} \text{ for } P < 300 \text{ MPa}$$

$$273.15 \text{ K} < T < 873.15 \text{ K} \text{ for } 300 \text{ MPa} < P < 350 \text{ MPa}$$

$$273.15 \text{ K} < T < 423.15 \text{ K} \text{ for } 350 \text{ MPa} < P < 500 \text{ MPa}$$

$$k$$

$$273.15 \text{ K} < T < 1073.15 \text{ K} \text{ for } P < 100 \text{ MPa}$$

$$273.15 \text{ K} < T < 673.15 \text{ K} \text{ for } 100 \text{ MPa} < P < 150 \text{ MPa}$$

$$273.15 \text{ K} < T < 523.15 \text{ K} \text{ for } 150 \text{ MPa} < P < 200 \text{ MPa}$$

$$273.15 \text{ K} < T < 398.15 \text{ K} \text{ for } 200 \text{ MPa} < P < 400 \text{ MPa}$$

- Surface Tension Limits:

Surface tension is valid from the triple point to the critical point.

IAPWS-95 : Release on the IAPWS Formulation 1995 for the Thermodynamic Properties of Ordinary Water Substance for General and Scientific Use - The International Association for the Properties of Water and Steam

NIST REFPROP는 다음의 냉매들과 그 혼합물들의 물성치를 계산할 수 있다. (Ammonia, Argon, Butane, CO₂, Ethane, Helium, Isobutane, Methane, Nitrogen, Oxygen, Propane, Propylene, R11, R113, R114, R115, R116, R12, R123, R124, R125, R13, R134A, R14, R141B, R142B, R143A, R152A, R218, R22, R227Ea, R23, R236Ea, R236Fa, R245Ca, R245Fa, R32, R41, Rc318, Water). 각 물성치들의 계산 한계는 REFPROP 프로그램의 ‘Info’ 메뉴에서 확인할 수 있다.

(ii) R134a 물성치의 적용한계는 다음과 같다.

➤ Thermodynamic Property Limits:

$$169.9 < T < 453.2 \text{ K}$$

$$P < 70 \text{ MPa}$$

$$\text{Molar Mass} = 102.03 \text{ g/mol}$$

➤ Transport Property Limits:

$$\mu$$

$$169.9 \text{ K} < T < 500.0 \text{ K}$$

$$P < 100 \text{ MPa}$$

$$\rho < 1740 \text{ kg/m}^3$$

$$k$$

$$170.0 \text{ K} < T < 450.0 \text{ K}$$

$$P < 20.0 \text{ MPa}$$

$$\rho < 1740 \text{ kg/m}^3$$

➤ Surface Tension Limits :

$$169.9 \text{ K} < T < 374.2 \text{ K}$$

(iii) 헬륨 가스 물성치의 적용 한계는 다음과 같다.

➤ Thermodynamic Property Limits:

$$2.2 \text{ K} < T < 1500.0 \text{ K}$$

$$\text{Molar Mass} = 4.00 \text{ g/mol}$$

➤ Transport Property Limits:

μ

$2.2 \text{ K} < T < 1500.0 \text{ K}$

$P < 100 \text{ MPa}$

$\rho < 355.2 \text{ kg/m}^3$

k

$2.2 \text{ K} < T < 1500.0 \text{ K}$

$P < 100 \text{ MPa}$

$\rho < 355.2 \text{ kg/m}^3$

➤ Surface Tension Limits:

$2.2 \text{ K} < T < 5.2 \text{ K}$

(나) 물성치 라이브러리 검증

MATRA 코드에 추가한 라이브러리가 제대로 작동하는지 확인하기 위해서 MATRA의 물성치 계산값과 독립적인 윈도우즈 프로그램인 NIST STEAM, NIST REFPROP의 물성치를 각각 비교했다. 먼저 MATRA의 물성치와 NIST STEAM의 포화 물성치를 0.1~22 MPa 범위에서 비교하여 표 2.1에 정리했다. 각각의 주요 물성치들의 상대오차는 $-4.243\text{e-}3 \sim 9.278\text{e-}4 \%$ 로 나타났다. 주어진 압력과 온도로부터 여러 물성치를 구할 때, MATRA 코드와 윈도우즈 NIST STEAM 프로그램의 물성치를 0.01~40 MPa 의 압력과 300~1250 K 의 온도 범위에서 비교하여 표 2.2에 정리했다. 그 결과 주요 물성치의 상대오차는 $-4.8\text{e-}5 \sim 4.5\text{e-}5 \%$ 로 나타났다. 위의 결과로부터 MATRA에 NIST STEAM 라이브러리가 성공적으로 이식되어 잘 작동하고 있는 것으로 나타났다.

MATRA의 물성치와 NIST REFPROP의 포화 물성치를 0.1~22 MPa 범위에서 비교하여 표 2.3에 정리했다. 각각의 주요 물성치들의 상대오차는 $-4.243\text{e-}3 \sim 9.278\text{e-}4 \%$ 로 매우 작게 나타났다. MATRA 와 NIST REFPROP 으로부터 주어진 압력과 온도에서의 R134a 물성치를 계산하여 비교했다. 압력은 0.1~4 MPa의 압력과 -60~130 °C 의 온도범위에서 MATRA와 NIST REFPROP 과의 물성치 오차를 표 2.4에 정리했다. 각각의 주요 물성치들의 상대오차는 $-4.81\text{e-}4 \sim 4.75\text{e-}4 \%$ 로 매우 작게 나타났다. 위의 결과로부터 MATRA에 NIST REFPROP 라이브러리가 성공적으로

이식되어 잘 작동하고 있는 것으로 나타났다.

헬륨 가스의 물성치를 MATRA 코드의 PROPHE와 NIST REFPROP, 이상기체 상태방정식과 참고문헌에 나타난 자료를 서로 상호 비교하여 표 2.5에 나타냈다. 주어진 압력 0.1~4.0 MPa 과 온도 -60~1230 °C 에서 각 방식의 물성치 값이 매우 일치하는 것으로 나타났다. MATRA 코드의 PROPHE와 NIST REFPROP은 -5.8e-5~3.7e-2 % 의 상대오차가 나타났다. PROPHE와 이상기체 상태방정식의 물성치는 -3~7 %, PROPHE와 참고문헌 자료는 -0.7~3 %의 상대오차를 보였다. MATRA 코드에 NIST REFPROP 라이브러리가 잘 이식되었으며, 빠른 계산을 위해서 이상기체 상태방정식을 사용할 수 있다는 것을 알 수 있다.

표 2.1. 물 포화 물성치 비교 (MATRA와 NIST STEAM)

Saturated Properties	MATRA PROPSTM(a) vs. NIST STEAM(b)	
	Min.	Max.
Pressure Range [MPa]	0.1	22
% Err(Tsat)	-4.243E-03	9.278E-04
% Err(Vf)	-3.904E-05	3.996E-05
% Err(Vg)	-4.157E-05	4.150E-05
% Err(hf)	-4.254E-05	4.108E-05
% Err(hg)	-2.070E-05	1.998E-05
% Err(Cpf)	-3.982E-05	4.015E-05
% Err(Cpg)	-3.762E-05	4.967E-05
% Err(kf)	-1.114E-05	1.119E-05
% Err(kg)	-3.698E-05	4.526E-05
% Err(μ f)	-4.482E-05	4.555E-05
% Err(μ g)	-2.929E-05	3.801E-05
% Err(σ)	-3.621E-05	4.386E-05

$$\% \text{ Err} = (a-b)/a \times 100 \text{ or } (a-c)/a \times 100$$

a : PROPSTM = MATRA function for water and steam properties with NIST Steam Database (IAPWS-95) source code.

b : NIST STEAM = NIST/ASME Steam Database with formulation of IAPWS-95.

표 2.2. 주어진 압력과 온도에서의 물 물성치 비교 (MATRA와 NIST STEAM)

Properties with given P & T.	MATRA PROPSSTM(a) vs. NIST STEAM(b)	
	Min.	Max.
Pressure Range [MPa]	0.01	40
Temperature Range [K]	300	1250
% Err(V)	-4.765E-05	4.448E-05
% Err(H)	-4.185E-05	3.333E-05
% Err(Cp)	-4.116E-05	4.003E-05
% Err(K)	-4.551E-05	4.106E-05
% Err(μ)	-3.740E-05	4.030E-05

% Err = $(a-b)/a \times 100$ or $(a-c)/a \times 100$

표 2.3. 프레온 포화 물성치 비교 (MATRA와 NIST REFPROP)

Saturated Properties	MATRA PROPREF(a) vs. NIST REFPROP(b)	
	Min.	Max.
Press. [MPa]	0.1	4.0
Temp. [K]	-60.0	130.0
% Err(Vf)	-6.888E-05	5.309E-05
% Err(Vg)	-7.660E-06	1.477E-05
% Err(hf)	-1.331E-05	1.494E-05
% Err(hg)	-1.003E-05	1.218E-05
% Err(sf)	-3.785E-05	4.433E-05
% Err(sf)	-2.884E-05	2.356E-05
% Err(Cpf)	-3.801E-05	3.906E-05
% Err(Cpg)	-4.389E-05	1.807E-05
% Err(muf)	-1.033E-05	2.428E-05
% Err(mug)	-2.633E-05	3.718E-05
% Err(kf)	-5.149E-06	3.845E-05
% Err(kg)	-4.321E-05	1.382E-05
% Err(sig)	-3.489E-05	9.248E-04

% Err = $(a-b)/a \times 100$

a : PROPREF = MATRA function for properties of various refrigerant with source code of the NIST RefProp .

b : NIST REFPROP = NIST RefProp v6

표 2.4. 주어진 압력 온도 조건에서 프레온 물성치 비교 (MATRA와 NIST REFPROP)

Properties with given P & T	MATRA PROPREF(a) vs. NIST REFPROP(b)	
	Min.	Max.
Pressure [MPa]	0.1	4
Temp. [°C]	-60	130
% Err(V)	-4.48E-04	3.13E-04
% Err(h)	-3.74E-04	3.69E-04
% Err(s)	-3.87E-04	4.59E-04
% Err(C _p)	-4.81E-04	4.75E-04
% Err(μ)	-3.70E-04	3.81E-04
% Err(k)	-4.69E-04	4.44E-04
% Err(σ)	-3.17E-01	3.98E-01

표 2.5. 헬륨 가스 물성치 비교

P & T given	MATRA PROPHE(a) vs. NIST REFPROP(b)		MATRA PROPHE(a) vs. IDEAL GAS(c)		MATRA PROPHE(a) vs. HTR-10(d)	
	Min.	Max.	Min.	Max.	Min.	Max.
Pres. [MPa]	0.1	4.0	0.1	4.0	0.1	4.0
Temp. [C]	-60.0	1230.0	-60.0	1230.0	-60.0	1230.0
% Err(V)	0.000E+00	3.659E-02	1.575E-02	2.622E+00	-6.119E-03	8.783E+00
% Err(h)	0.000E+00	3.650E-02	6.902E-02	1.626E+00		
% Err(C _p)	-5.779E-05	0.000E+00	-6.744E-02	2.118E-02	-1.041E-01	-1.540E-02
% Err(μ)			-5.959E-02	4.822E+00	-4.126E-01	2.425E+00
% Err(k)			-3.087E+00	7.026E+00	-7.389E-01	3.095E+00

% Err = (a-b)/a × 100, or (a-c)/c × 100, or (a-d)/d × 100

a : PROPHE = MATRA function for properties of Helium as an ideal gas

b : NIST REFPROP = NIST RefProp v6

c : Irvine, Thomas F. & Liley, P. E., "Steam and gas tables with computer equations," Academic Press, 1984.

d : "Evaluation of High Temperature Gas Cooled Reactor Performance," IAEA-TECDOC-TBD, Dec., 2004

(다) 물성치 계산 방식 개선

MATRA 코드는 열수력장을 입구부터 출구까지 반복법에 의해 계산하는데, 새로운 물성치 라이브러리는 기존의 TAF 함수보다 계산속도가 훨씬 느리다. 따라서 물성치가 필요할 때마다 라이브러리로부터 물성치를 계산하는 방법은 정밀하지만 계산속도가 매우 늦어진다. 최근에 타분야 코드들간에 연계코드 개발 경향이 나타나고 있는데, 코드 간에 반복 계산이 이뤄지는 경우엔 빠른 계산속도가 요구된다. MATRA 코드에서 새로운 물성치 라이브러리를 사용할 때 계산시간을 단축하기 위해서 기존의 포화 물성치 표에서 보간법으로 물성치를 계산하는 방법을 도입했다. 코드 입력 1번 카드의 J9 옵션값을 0과 1에서 두 가지에서 2와 3을 추가 확장하고 IFLUID 옵션과 J9TF 옵션을 추가했다. 표 2.6에 물성치 계산 옵션을

정리했다.

사용자가 J9TF 옵션을 0으로 선택하면 물성치 라이브러리 함수를 그대로 계산하도록 하고, J9TF 옵션을 1로 선택하면, MATRA 코드 계산 초기에 코드 입력으로부터 필요한 압력 및 온도/엔탈피 범위를 판단하고, 충분히 넓은 범위의 포화 물성치 표를 물성치 라이브러리로부터 생성했다. 그리고 이후의 계산에서는 생성된 포화 물성치 표로부터 물성치를 계산하도록 했다. 옵션 J9TF를 2로 선택하면 과냉 영역 뿐만 아니라 과열 영역에서의 물성치 표도 생성하도록 했다.

기존의 Winfrith 실험장치에 운전조건을 과냉 프레온 조건과 초임계압 프레온 조건을 적용하여 물성치 계산 옵션에 따른 계산 속도(표 2.7)와 계산 결과(그림 2.10, 그림 2.11)를 비교했다.

옵션1은 J9을 0으로 선택하고 프레온 R134a의 포화 물성치를 입력 카드 1.1에 입력하여 MATRA 코드 해석한 경우이다. 옵션2와 3은 J9을 2로 선택하여 REFPROP 라이브러리를 사용하여 해석한 경우이다. 옵션2는 J9TF를 0으로 하여 프레온의 물성치를 라이브러리 함수로만 계산한 경우이고, 옵션3은 J9TF를 2로 하여 프레온 R134a의 포화 물성치 표를 REFPROP 라이브러리로부터 생성하여 해석한 경우이다.

옵션2인 라이브러리 함수를 이용할 경우, 옵션1보다 30배 이상 계산 속도가 늘었으나, 라이브러리로부터 물성치 표를 생산하여 해석한 옵션3의 경우는 옵션1과 비슷한 계산 속도를 보였다.

과냉 조건의 프레온 해석 결과를 그림 2.10에 초임계압 조건의 프레온 해석 결과를 그림 4에 나타냈다. 두 경우 모두 부수로 유량 분포와 엔탈피 증가량에 있어서 옵션 2와 옵션 3 사이에 차이가 없는 것으로 나타났다. 그러나 임계에 가까운 조건에서는 물성치의 변화가 매우 크므로 계산 속도가 느리더라도 옵션2를 사용해야 할 것이다.

표 2.6. MATRA X 물성치 계산 옵션 및 의미

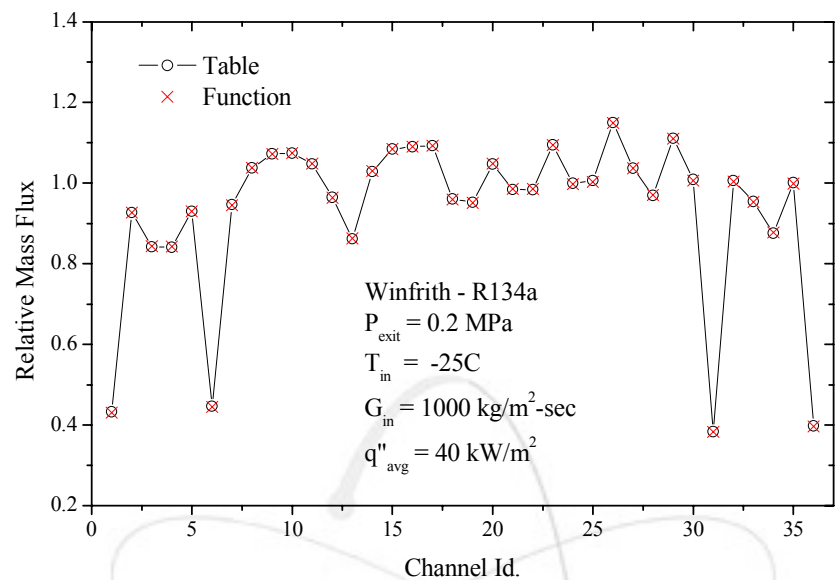
옵션 변수	J9	IFLUID+	J9TF+
0 : 과냉 물성치 입력	-	-	
1 : TAF 함수	-	-	
2* : NIST STEAM 라이브러리	-		0 : 함수 이용 1 : 함수 이용, 과열 물성치 표 생성 2 : 과냉 및 과열 물성치 표 생성
3* : NIST REFPROP 라이브러리	1 : He 2 : R134a 3 : CO2 4 : Air		0 : 함수 이용 1 : 함수 이용, 과열 물성치 표 생성 2 : 과냉 및 과열 물성치 표 생성

* MATRA X에서 확장된 옵션

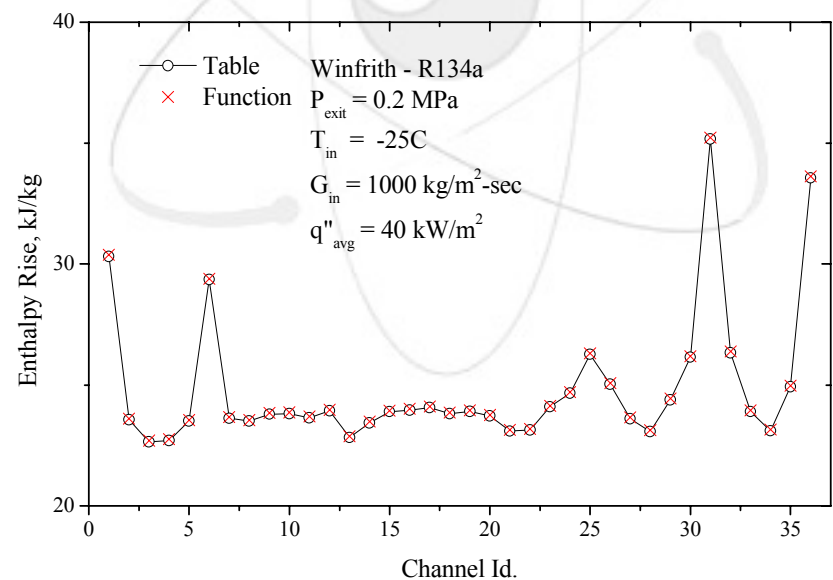
+ MATRA X에서 추가된 옵션

표 2.7. 물성치 계산 옵션별 계산 속도 비교

물성치 계산옵션 CPU time/Outer iteration	옵션 1 1 번 카드 입력에 과냉 물성치 입력	옵션 2 라이브러리 함수 이용	옵션 3 라이브러리 함수로 물성치 표 생성
J9 옵션값	0	3	3
IFLUID 옵션값	-	2	2
J9TF 옵션값	-	0	2
과냉 프레온 문제 해석	0.116	4.892	0.128
초입계압 프레온 문제 해석	0.213	7.513	0.225

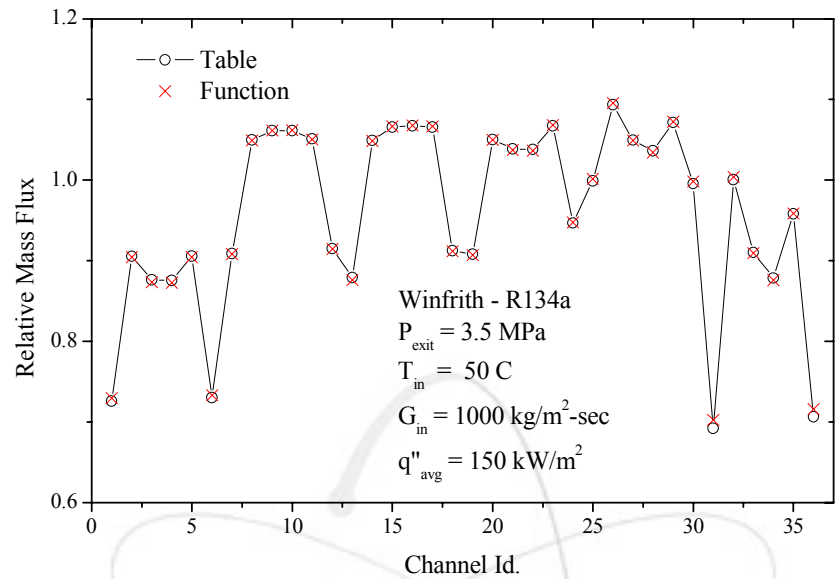


(a) 상대 질량 유속 비교

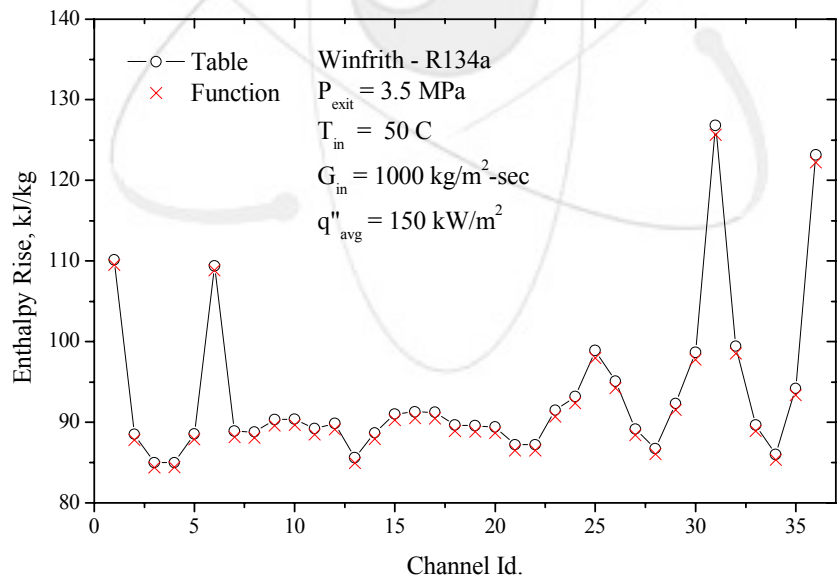


(b) 엔탈피 증가 비교

그림 2.10 물성치 계산 옵션 결과 비교 (파냉 조건 프레온)



(a) 상대 질량 유속 비교



(b) 엔탈피 증가 비교

그림 2.11 물성치 계산 옵션 결과 비교 (초임계압 조건 프레온)

2.2

가

2.2.1

CHF

(가) 비정방형 집합체 특성

비정방형 집합체는 집합체 내의 봉배열 특성에 따라 구분한 것으로서, 직교하지 않는 모든 종류의 봉배열을 갖는 집합체를 의미한다. 신개념 원자로 개발 시 원자로의 안전성을 제고시키기 위하여 저출력 밀도 노심을 구성하는 경우, 혹은 다양한 노심 형태를 구현하고자 하는 경우에 기존 경수로에 사용되는 정방형 집합체를 적용하는데는 한계가 있으므로 여러가지 형태의 비정방형 집합체 적용을 고려할 필요가 있다. 부수로 해석 코드는 주로 정방형 집합체를 사용하는 가압 경수로 노심에 대하여 적용되어 왔으므로, 신개념 원자로 개발에 대비하여 비정방형 집합체에 대한 부수로 해석 코드의 적용성 평가가 필요하다. 본 연구에서는 원자로 노심 열적 여유도 평가시 가장 중요한 설계 인자인 CHF (Critical Heat Flux)에 대하여 부수로 해석 코드의 적용성을 평가하였다. 이를 위하여 비정방형 집합체에 대한 CHF 시험 자료를 수집하였으며, 시험 자료에 대한 부수로 해석을 수행하여 국부조건 개념 CHF 예측 모형의 예측 성능을 평가하였다. 평가에 사용된 비정방형 집합체의 기하형태 특성 자료는 표 2.8에 제시하였다. 시험 집합체의 기하 형태는 부록-3에 제시하였다.

(나) 비정방형 집합체 CHF 분석

시험 집합체 기하 형태 자료를 사용하여 부수로 해석 코드 입력 자료를 작성하였으며, 각 시험 집합체에 대한 부수로 해석 입력 자료 특성은 부록-4에 제시하였다. 비정방형 집합체에 대한 CHF 특성 분석은 집합체 단면적 평균 물성치를 사용하여 수행한 바 있다[9]. 본 연구에서는 부수로 해석 코드를 적용하여 시험 집합체 내부의 국부적인 열수력장 해석을 수행하였으며, 이를 국부조건 CHF 예측 모형에 적용하여 CHF 예측 성능을 평가하였다. 이를 위하여 비정방형

집합체의 CHF 예측에 적용 가능한 것으로 판단되는 여러가지 CHF 상관식들을 조사하였으며, 그 결과 집합체 CHF 상관식으로서 EPRI-1 상관식, Bowring mixed flow 상관식, KfK-3 상관식, PI-3P 상관식, 그리고 원형관 CHF 상관식으로서 AECL 1995 CHF Table, Bowring 상관식, Katto 상관식, Shah 상관식 등이 선정되었다. 상관식 형태는 부록-5에 제시하였다.

부수로 해석 코드를 사용하여 분석한 시험집합체 국부 열수력 조건을 사용하여 CHF 예측 성능을 분석한 결과는 표 2.9에 제시하였다. 분석 결과 집합체 CHF 상관식은 CHF를 평균적으로 낮게 예측하고 원형관 상관식들은 높게 예측하는 것으로 나타났다. 그리고 전체적인 예측 성능을 보면 평균값은 Shah 상관식, RMS 오차는 EPRI-1 상관식이 가장 우수한 것으로 나타났다. 각 상관식으로 예측한 P/M의 분포는 그림 2.12 ~ 2.15에 제시하였다.



표 2.8 비정방형 CHF 시험 집합체 기하형태 특성 자료 (1/3)

	EPRI TS- 601	EPRI TS- 602	EPRI TS- 603	EPRI TS- 604	EPRI TS- 605	EPRI TS- 606	EPRI TS- 607	EPRI TS- 609	EPRI TS- 610	EPRI TS- 613
TS barrel shape	Circular									
Total No. of rods	19	19	19	19	19	19	19	19	28	37
No. of heated rods	19	19	19	19	19	18	18	18	28	36
Rod pitch (m)	-	-	-	-	-	-	-	-	-	-
Rod diameter (m)	0.0198	0.0198	0.0198	0.0198	0.0198	0.0198	0.0198	0.0198	0.0152	0.0138
GT diameter (m)	0	0	0	0	0	0.0195	0.0195	0.0195	0	0.0138
Heated length (m)	1.8288	0.889	1.8288	0.4572	2.7432	2.7432	2.667	2.667	1.8288	1.8288
Rod-wall gap (m)	0.0015	0.0015	0.0015	0.0015	0.0015	0.0015	0.0015	0.0015	0.0014	0.0016
Flow tube dia. (m)	0.1033	0.1033	0.1033	0.1033	0.1033	0.1033	0.1033	0.1033	0.1033	0.1033
Flow area (m^2)	0.002528	0.002528	0.002528	0.002528	0.002528	0.002538	0.002538	0.002538	0.003312	0.002878
Central cell d_{hy} (m)	0.0067	0.0067	0.0067	0.0067	0.0067	0.0069	0.0069	0.0069	0.0122	0.0044
Central cell d_{he} (m)	0.0067	0.0067	0.0067	0.0067	0.0067	0.0103	0.0103	0.0103	0.0122	0.0066
Assembly d_{hy} (m)	0.0067	0.0067	0.0067	0.0067	0.0067	0.0067	0.0067	0.0067	0.0080	0.0061
Assembly d_{he} (m)	0.0086	0.0086	0.0086	0.0086	0.0086	0.0091	0.0091	0.0091	0.0099	0.0074
F_{xy}	1.117	1.125	1.120	1.117	1.149	1.135	1.125	1.125	1.101	1.160
APS	Uniform									
Spacer type	Grid									
Gsp or Hwire (m)	0.2286	0.2286	0.2286	0.2286	0.2286	0.2286	0.4572	0.4572	0.4572	0.2286
No. of grids	7	3	7	2	11	11	5	5	3	7

표 2.8 비정방형 CHF 시험 집합체 기하형태 특성 자료 (2/3)

Test section ID	EPRI TS-801	EPRI TS-802	EPRI TS-805	EPRI TS-806	EPRI TS-807	EPRI TS-808	EPRI TS-809	EPRI TS-810	EPRI TS-103	EPRI TS-104
TS barrel shape	Circular	Hexagonal	Hexagonal							
Total number of rods	19	19	19	19	19	19	19	19	19	19
Number of heated rods	19	18	18	19	18	19	18	18	19	19
Rod pitch (m)	-	-	-	-	-	-	-	-	0.0151	0.0151
Rod diameter (m)	0.0159	0.0159	0.0159	0.0159	0.0159	0.0159	0.0159	0.0159	0.0107	0.0107
GT diameter (m)	0	0.0151	0.0151	0	0.0151	0	0.0174	0.0174	0	0
Heated length (m)	1.2192	1.2192	1.2192	1.2192	1.2192	1.2192	1.2192	1.2192	1.524	1.524
Rod-wall gap (m)	0.0022	0.0017	0.0017	0.0021	0.0017	0.0021	0.0017	0.0017	0.0028	0.0028
Flow tube diameter (m)	0.0915	0.0915	0.0915	0.0915	0.0915	0.0915	0.0915	0.0915	-	-
Flow area (m^2)	0.002821	0.002839	0.002839	0.002821	0.002839	0.002821	0.002780	0.002780	0.00192	0.00192
Central cell d_{hy} (m)	0.0089	0.0115	0.0115	0.0089	0.0115	0.0089	0.0094	0.0094	0.0128	0.0128
Central cell d_{he} (m)	0.0089	0.0169	0.0169	0.0089	0.0169	0.0089	0.0145	0.0145	0.0128	0.0128
Assembly d_{hy} (m)	0.0091	0.0092	0.0092	0.0091	0.0092	0.0091	0.0090	0.0090	0.0084	0.0084
Assembly d_{he} (m)	0.0119	0.0126	0.0126	0.0119	0.0126	0.0119	0.0124	0.0124	0.0120	0.0120
F_{xy}	1.164	1.141	1.105	1.149	1.112	1.155	1.105	1.174	1.100	1.091
APS	Uniform									
Spacer type	Wire wrap	Grid	Grid	Wire wrap	Grid	Wire wrap	Grid	Grid	Wire-wrap	Grid
Gsp or Hwire (m)	0.2286	0.254	0.254	0.2286	0.254	0.2286	0.254	0.254	0.381	0.381
No. of grids	-	5	5	-	5	-	5	5	-	4

표 2.8 비정방형 CHF 시험 집합체 기하형태 특성 자료 (3/3)

TS ID	Rod Support system	Heat Flux Dist'n	Rod Support location	Rod dia. & p/d	rod-wall & rod-rod gap	A_{flow} (in ²)	A_{heat} (ft ²)
1	A1	B1	C1	D1	E1	1.388	5.890
2	A1	B1	C2	D1	E1	1.388	5.890
3	A2	B1	C1	D1	E1	1.388	5.890
4	A2	B1	C3	D1	E1	1.388	5.890
5	A2	B2	C2	D1	E1	1.388	5.890
6	A2	B2	C1	D1	E1	1.388	5.890
7	A2	B2	C3	D1	E1	1.388	5.890
8	A3	B1	C3	D1	E1	1.388	5.890
9	A3	B1	C3	D1	E2	1.388	5.890
10	A3	B2	C3	D1	E1	1.388	5.890
11	A4	B2	C3	D1	E1	1.388	5.890
12	A2	B3	C3	D1	E1	1.388	5.890
13	A5	B2	C3	D2	E3	1.138	6.597
14	A5	B2	C1	D2	E3	1.138	6.597

A1: single window spring collars, A2: double window spring collars, A3: No. 6 grid, A4: No. 7 grid, A5: No. 8 grid

B1: linear transverse radial, uniform axial, B2: uniform radial, uniform axial, B3: uniform radial, two-step hot inlet axial

C1: 3, 15, 27, 39, 51 (inches from exit end of heated length), g_sp = 12 in., C2: 0, 3, 15, 27, 39, 51, C3: 9, 21, 33, 45

D1: 0.25 in. o.d., p/d=1.36 (pitch=0.34 in.), D2: 0.28 in. o.d., p/d=1.214 (pitch=0.34 in.)

E1: (rod-to-wall gap)/(rod-to-rod gap) = 0.09 / 0.09 in., E2: 0.06 / 0.09 in., E3: 0.045/ 0.06 in.

표 2.9 부수로 해석 결과를 사용한 CHF 예측 성능 분석 결과

CHF 상관식		(P/M)평균	표준편차	RMS 오차	자료수
집합체 CHF 상관식	EPRI-1	0.896	0.170	0.199	1079
	KfK-3	0.876	0.243	0.272	
	PI-3	0.907	0.333	0.346	
	Bowring (Mixed)	0.906	0.418	0.428	
원형관 CHF 상관식	Bowring (Tube)	1.061	0.252	0.259	1079
	Katto	1.125	0.286	0.312	
	Shah	1.046	0.299	0.302	
	1995 CHF Table (HBM)	1.151	0.203	0.253	
	1995 CHF Table (DSM)	1.747	1.131	1.355	

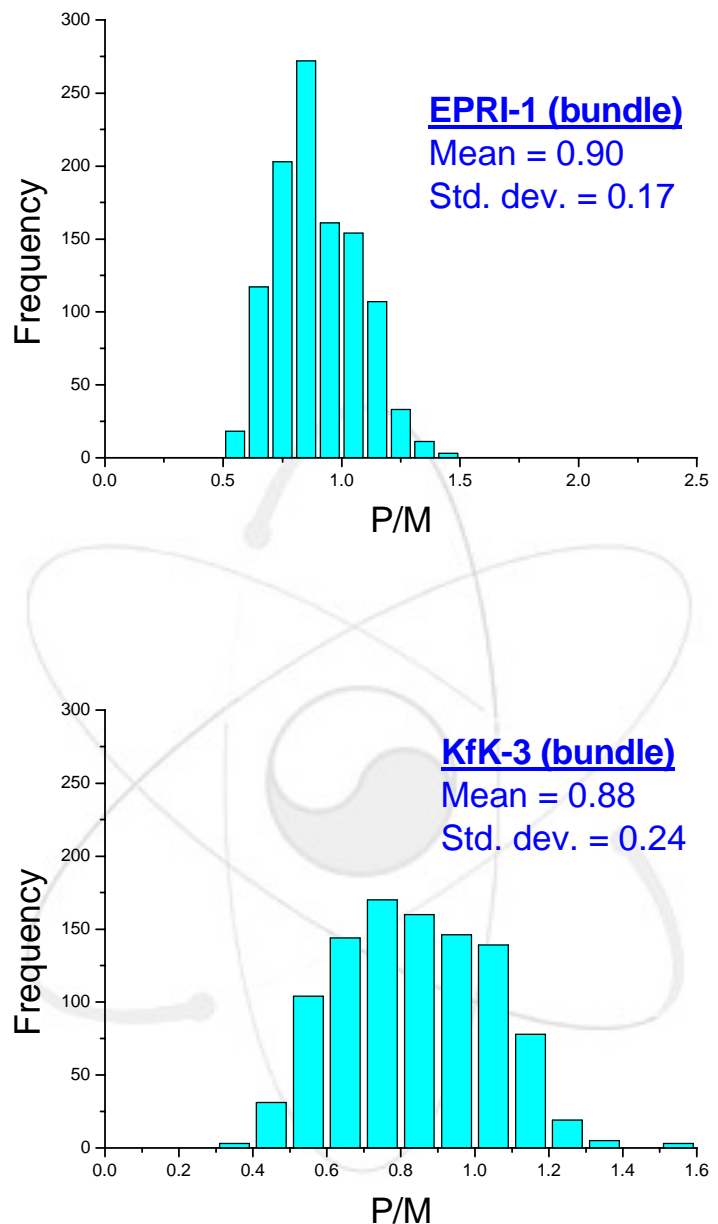


그림 2.12 비정방형 집합체 CHF 예측 성능 (EPRI-1, KfK-3 상관식)

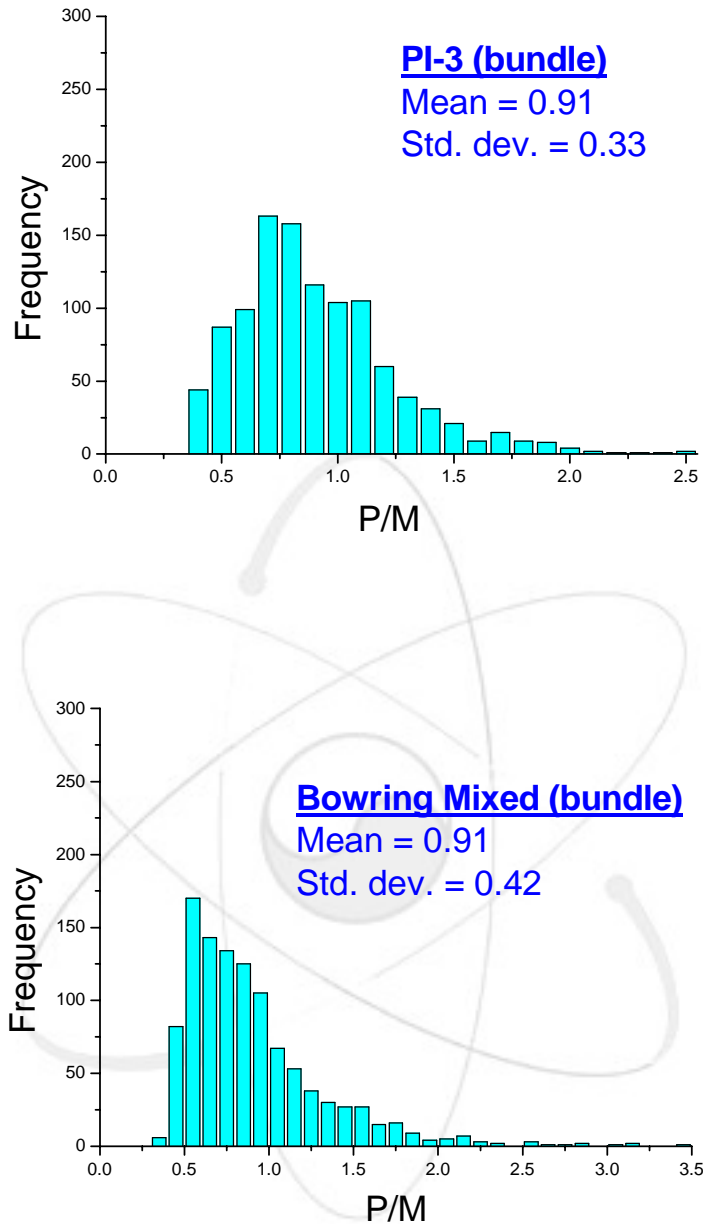


그림 2.13 비정방형 집합체 CHF 예측 성능 (PI-3, Bowring mixed 상관식)

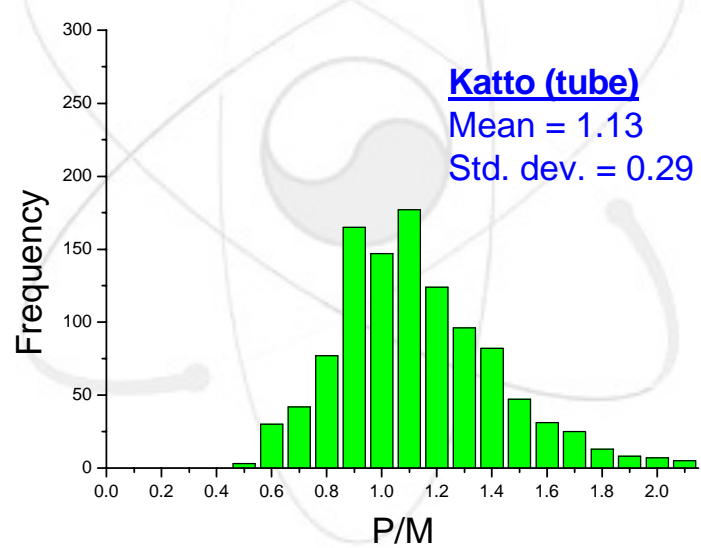
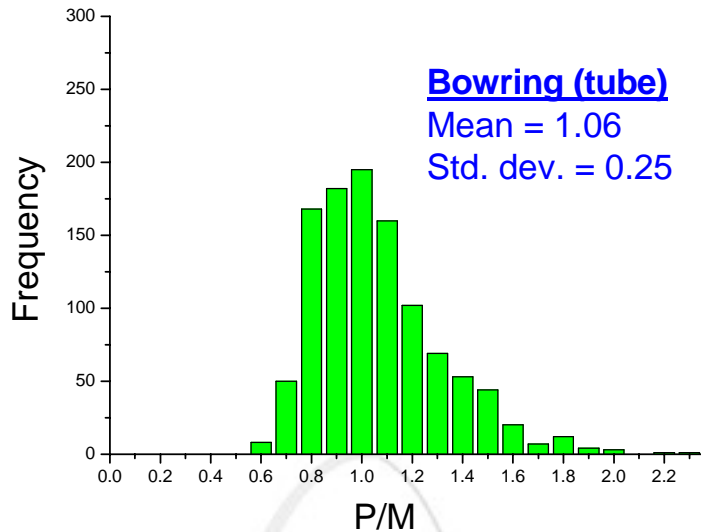


그림 2.14 비정방형 집합체 CHF 예측 성능 (Bowring tube, Katto 상관식)

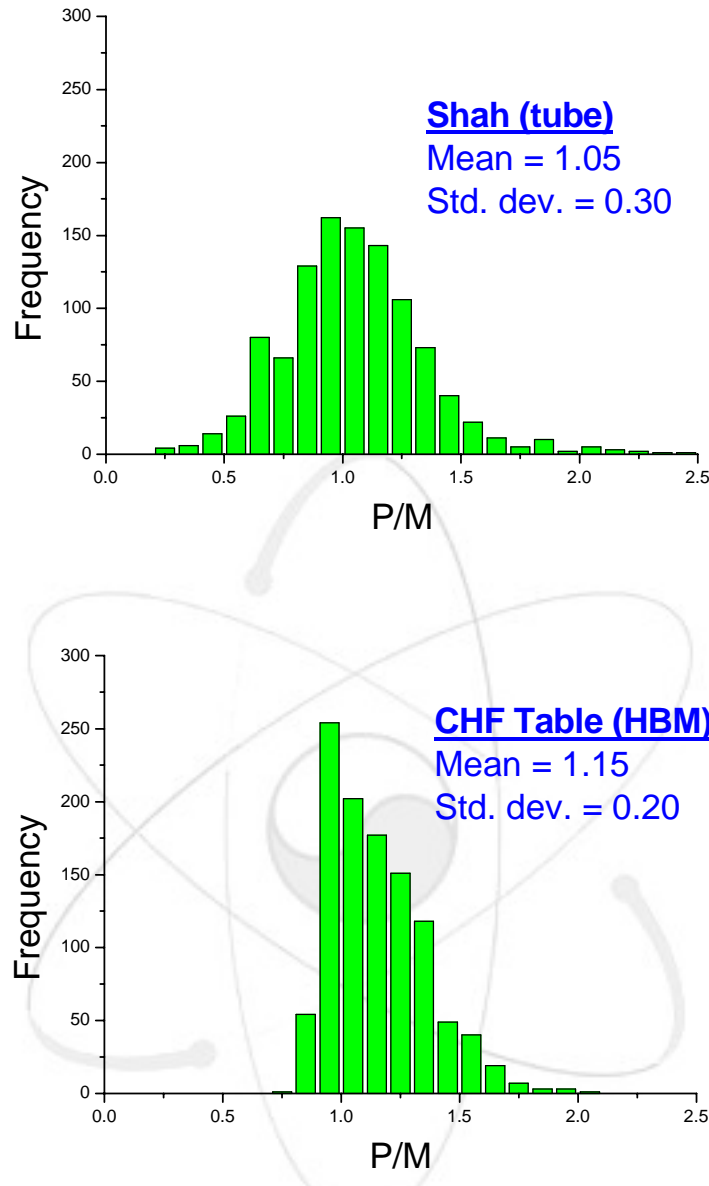


그림 2.15 비정방형 집합체 CHF 예측 성능 (Shah, 1995 CHF table 상관식)

2.2.2

(가) 초임계압 조건 부수로 해석 적용

MATRA의 초임계압 노심 해석 능력을 평가하기 위해서 초임계압 5x5 봉다발 프레온 루프 실험을 해석하고, 가상의 초임계압 5x5 봉다발 물 루프 실험을 해석했다. 초임계압 프레온 루프 실험은 KAERI의 열유동 실험실에서 수행한 것으로 5x5 봉다발 루프의 출구 압력을 3.6에서 4.2 MPa로 증가시키며 열전달 현상을 관찰한 실험이다. 유량과 봉 벽면 온도와 입출구 온도 및 압력이 측정되었고, 부수로에서의 온도 측정이 이뤄지지 않았기 때문에 MATRA 코드로 1차원 해석을 수행하여 입출구 온도를 비교했다 (그림 2.16). MATRA 코드 해석 결과, 임계압보다 낮은 압력에서 임계압보다 높은 압력으로의 천이 계산시에도 입구 및 출구 온도를 잘 예측하는 것으로 나타났다.

Winfirth 5x5 봉다발 CHF 실험 장치에 초임계압 물 운전조건을 적용하여 가상의 실험을 MATRA 코드로 해석했다. 시험 집합체 형태는 그림 2.17에 제시하였다. Winfrith CHF 실험은 subcritical 압력 조건에서 수행되었으므로 그림 2.18에서 보듯이 단상 유동 조건 (low heat flux)과 2상 유동 조건 (high heat flux)에서 서로 다른 부수로 유동 분포 특성을 나타낸다. 즉 집합체 모서리 수로의 수력직경은 중심부에 비하여 작으므로 단상 유동 조건에서는 집합체 중심부에 있는 부수로의 유량이 크게 나타난다. 그러나 열속이 큰 경우에는 집합체 중심부에서 2상 유동이 발생하여 압력 손실이 증가하므로 중심부 부수로 유량은 모서리 수로에 비하여 작아지는 경향을 나타낸다. 한편 초임계압 조건에서는 상변화가 일어나지 않으므로 열속의 크기에 관계없이 단상 유동 조건과 유사한 부수로 유량분포 특성을 나타내는 것을 알 수 있다.

초임계압 프레온 실험 HTDET-G250-Q27_PSUDO

Number of Rods	25 (5 x 5)
Average power (kW)	26.86
Flow rate (kg/s)	0.68
Inlet temp. (C)	90.74
Exit Pressure (MPa)	3.6~4.2

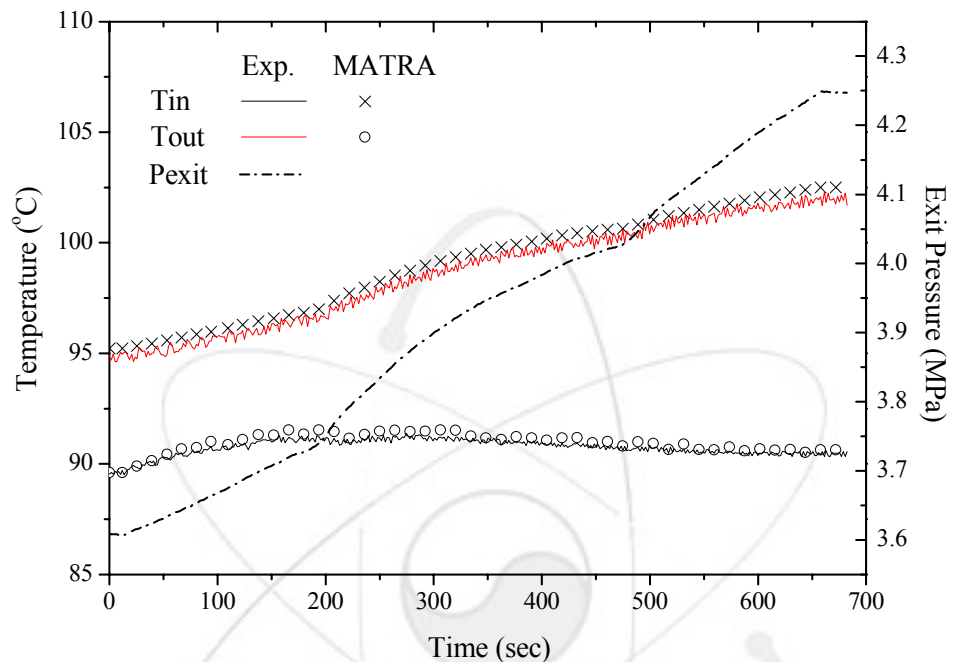


그림 2.16 초임계압 프레온 CHF 실험 해석 결과

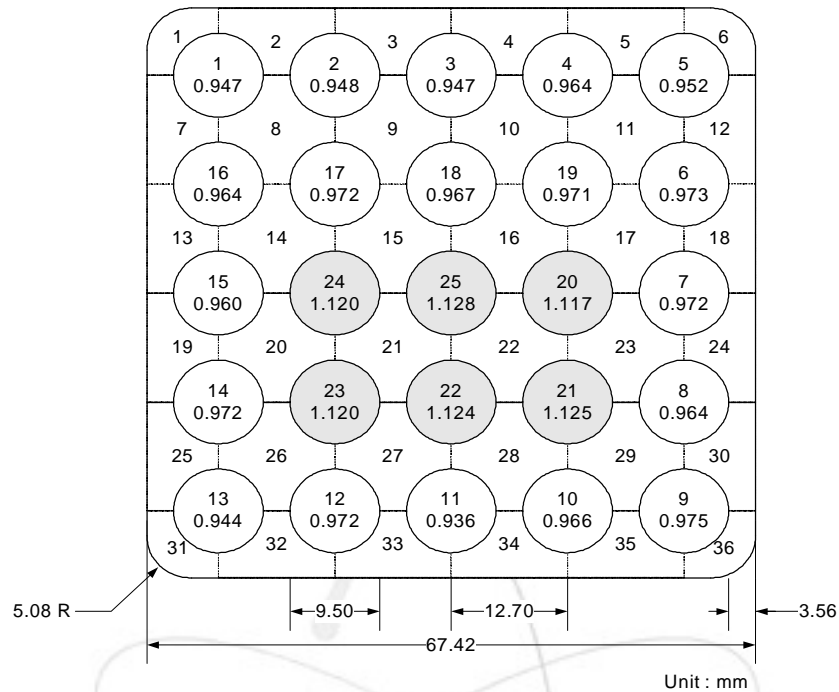


그림 2.17 Winfrith CHF 실험 장치

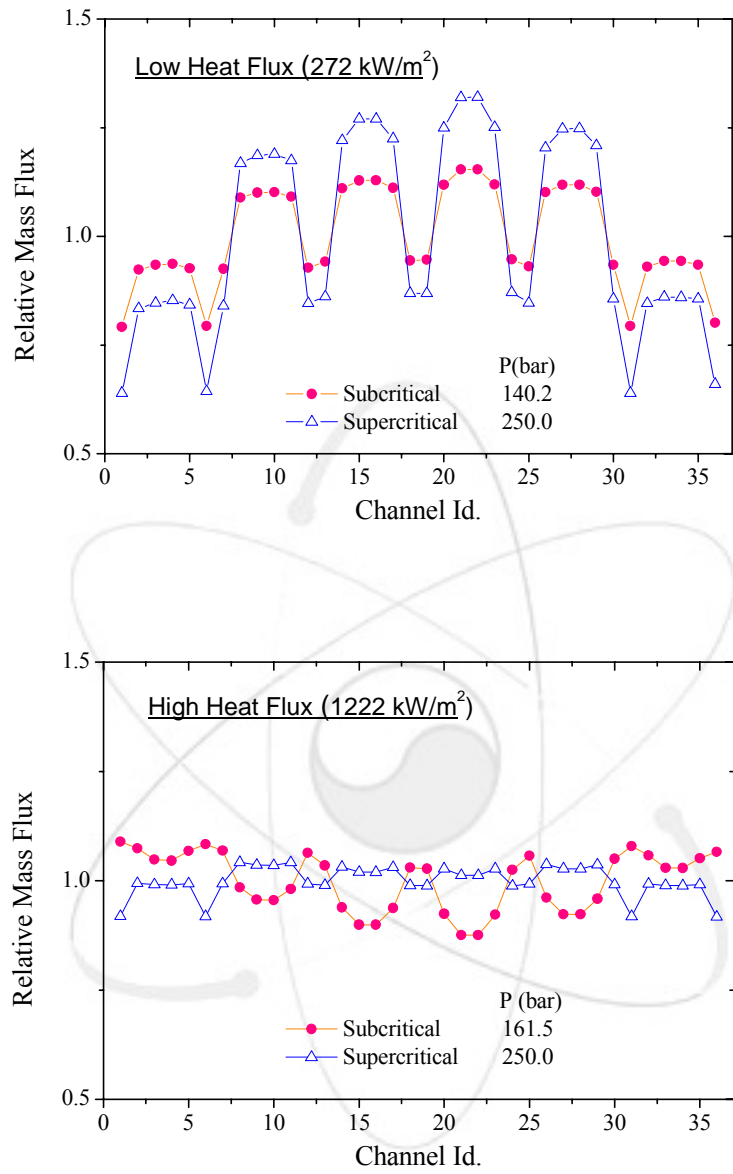


그림 2.18 초임계압 물 실험 해석

(나) 고온 가스로 조건 부수로 해석 적용

(i) 열전달 모형 확장

프리즘형 고온가스냉각로 노심 부수로 해석을 위해 기존의 ‘conducting wall’ 모형을 확장하여 흑연 블록간의 전도, 대류, 복사 열전달 모형을 추가했다. 기존의 conducting wall 모형은 그림 2.19와 같이 wall 내부에 열원이 없고 wall을 가로지르는 횡방향 전도 열전달만을 모사하는 1차원 열전도 모형이다.

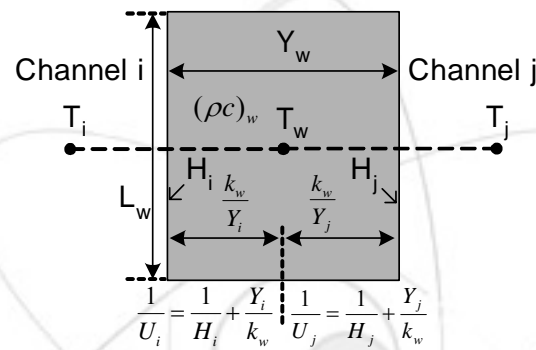


그림 2.19 MATRA 코드의 conducting wall 모형

프리즘형 고온가스냉각로 노심 부수로 해석을 위해서 기존의 1차원 conducting wall 모형을 확장하여 인접한 블록 사이의 전도 열전달과 블록의 축방향 열전달 모형을 추가했다. 그리고 블록 내부의 열원을 추가하고, 봉과 블록 간의 전도 및 복사 열전달 모형, 봉주위 헬륨 가스와 블록 간의 전도 및 대류 열전달 모형 등을 추가했다. 프리즘형 고온가스냉각로 노심 부수로 모형을 그림 2.20에 나타냈다.

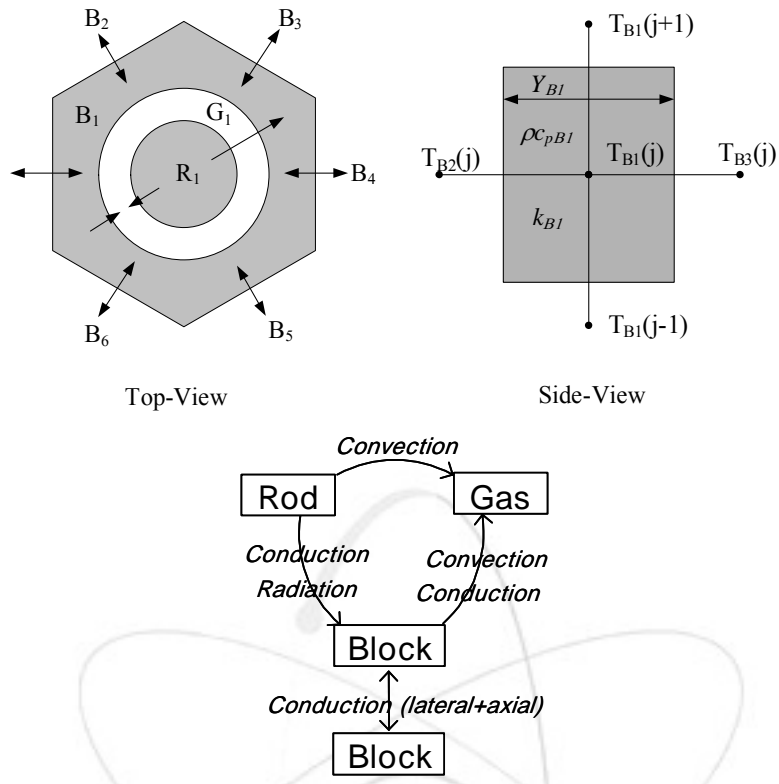


그림 2.20 프리즘형 고온가스냉각로 열전달 모형

위 그림에서 블록의 단면이 육각형이고 내부에 냉각재와 연료봉을 위한 구멍이 있는 형상이므로 전도 열전달에서 유효 전도 두께를 다음과 같이 정의했다:

$$Y_{equiv} = \frac{A_{Block}^{cross-sectional}}{P_{heated}}. \quad (2.8)$$

확장된 열전달 모형은 다음과 같다 :

$$-\left(\begin{array}{ccccc} \Delta x_{j+1} & \Delta x_j & \Delta x_{j-1} & \Delta x_j & \Delta x_{j-1} \end{array} \right)^T \quad . \quad (2.9)$$

여기서,

첫 번째 항 : 봉 \rightarrow 블록 간 전도 및 복사 열전달,

두 번째 항 : 블록 \rightarrow 헬륨 가스 간 대류 및 전도 열전달,

세 번째 항 : 블록 내부 시간에 따른 변이,

네 번째 항 : 인접 블록 간 횡방향 전도 열전달,

다섯 번째 항 : 블록 내부 축방향 전도 열전달을 나타낸다.

(ii) 열전달 모형 검증

일본의 HENDEL 실험루프 실험을 통해 MATRA 코드의 프리즘형 고온가스냉각로 노심 해석 성능을 평가했다. HENDEL 실험장치는 고온 헬륨 가스로의 열수력적 성능을 실험하기 위한 장치로서 시험부는 그림 2.21에서 보듯이 12개의 연료봉으로 구성된 집합체이며, 12개의 연료봉은 각각 12개의 독립된 채널을 형성한다. 흑연블록에 드릴로 가공된 채널의 내경은 53mm이고 연료봉의 외경은 46mm이다. 하나의 집합체는 단면이 육각형인 570mm 높이의 집합체 7개가 수직으로 쌓인 형태이다.

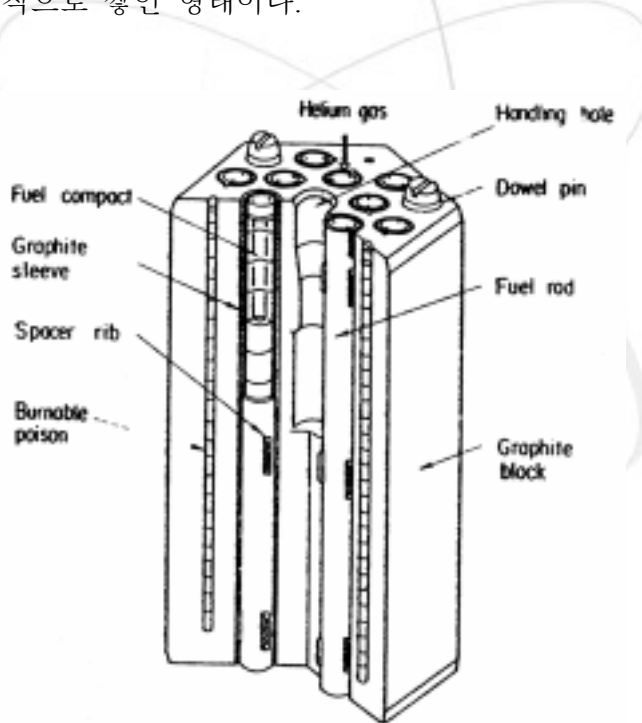


그림 2.21 HENDEL 실험장치 연료 블록

검증용 시험 자료는 XX로 평균 출력은 25.7 kW이며, 봉별 상대 열출력 분포를 11번 봉이 0.8, 8번 봉이 1.1이 되도록 설정한 실험이다(그림 2.22). 이 실험 자료에 대하여 MATRA 코드로 분석한 결과를 그림 2.23에 나타냈다.

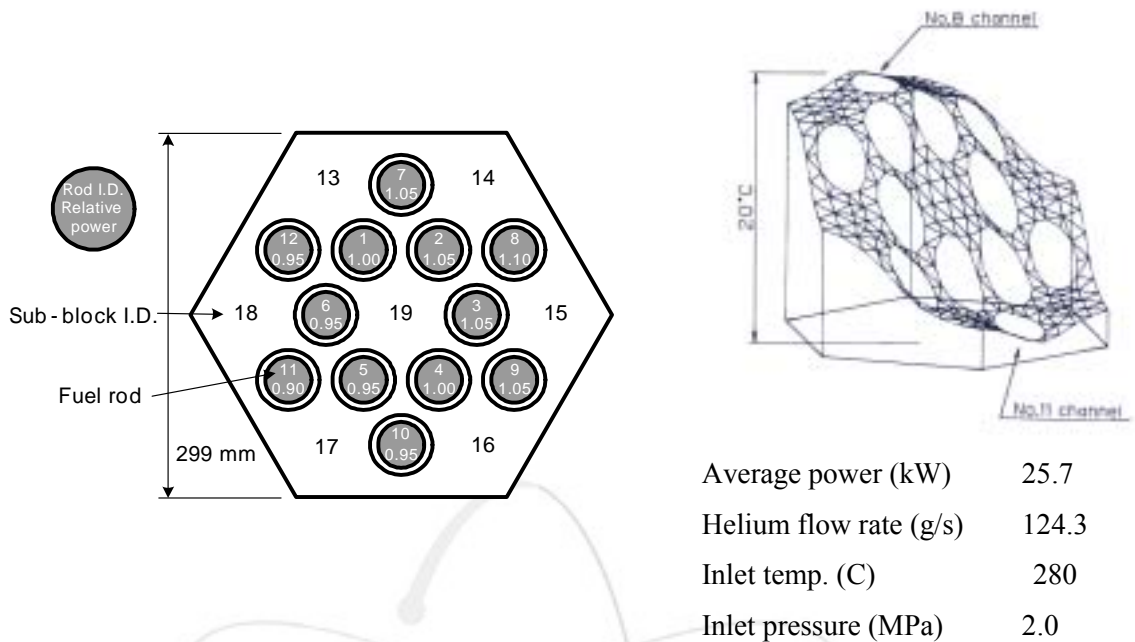


그림 2.22 고온가스냉각로 노심해석 검증 실험 자료

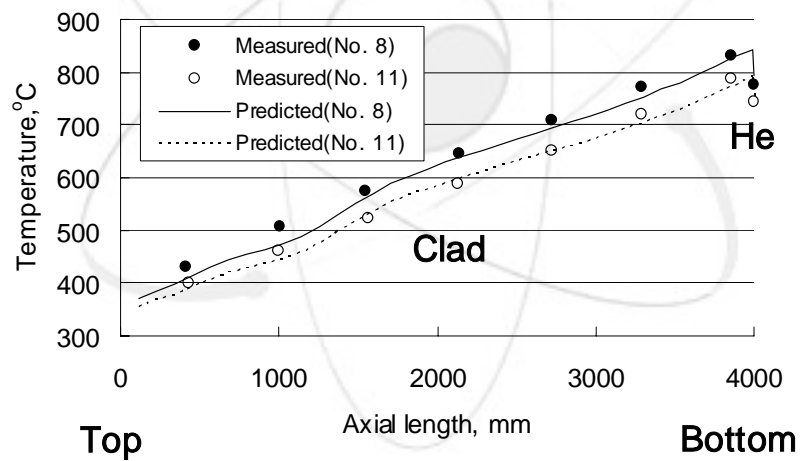


그림 2.23 실험과 MATRA 코드 해석 결과 비교

MATRA 코드는 축방향 온도를 실험 결과와 14°C 의 오차 범위 이내로 예측하고 있는 것으로 나타났다. 채널 출구에서 8번 부수로와 11번 부수로의 온도차가 실험 결과 20°C 로 나타났는데, MATRA 코드 해석 결과 24°C 로 비교적 잘 예측하는 것으로 나타났다. 이로써 MATRA 코드에 추가된 블록 열전달 모형이 프리즘형 고온가스냉각로의 노심을 적절히 해석할 수 있는

것으로 나타났다.

(iii) 평행 다수로 모형 개발

각 집합체가 독립된 채널을 이루고 있는 신형 원자로나 고온가스 냉각 원자로(HTGR), 또는 초임계압 원자로(SCR)의 노심은 기존 경수로의 노심과 확연히 구분되는 특징들을 가지고 있다. 기존의 경수로 노심의 집합체들이 서로 개방되어 있어서 집합체와 집합체 또는 부수로와 부수로간에 냉각재의 유동혼합이 발생하는 것과 달리 독립된 평행 다수로 노심에서는 각 집합체가 독립적인 채널을 형성하며 채널간에 교차류나 유동혼합이 발생하지 않는다. 이러한 독립된 평행 다수로 노심에서의 채널별 유량 분포는 각 채널에서 발생하는 압력강하에 의해 결정된다. 독립된 평행 다수로 노심에서 입구 유량과 출구 압력을 알지만 노심 압력 강하량을 알 수 없을 때, 계산된 압력 강하를 기준으로 각 채널별 유량이 재분배되도록 하는 기능을 MATRA 코드에 구현했다. 새로운 MATRA 코드의 기능을 고온가스로의 출력분포에 따른 채널별 유량분포 실험 자료 분석에 적용하였다.

MATRA 코드의 부프로그램 SCHEME에서 축방향으로의 지배방정식 계산이 끝나면 압력강하 경계조건 처리 부프로그램인 PBOUND를 호출한다. PBOUND에 각 채널의 압력강하량으로부터 채널별 유량을 재배분하는 기능을 추가하였다. 노심 평균 압력강하량을 계산하여 평균 압력 강하 보다 큰 압력강하가 발생한 채널의 유량은 감소시키고 반대인 경우엔 증가시키되 축방향에 대해서 반복계산시에 유량이 진동 발산할 수 있으므로 적절한 보정인자를 사용하였다.

MATRA 코드의 압력강하에 따른 유량분배 계산 성능을 검증하기 위해서 HENDEL 실험루프의 채널별 유량분포 실험결과와 비교하였다. 해석 대상 실험은 입구 레이놀즈수 10,000, 유량은 275g/s, 입구 온도 270°C, 입구 압력 3.9MPa, 평균 열입력 47.7kW 조건에서 수행된 #725~#731 실험으로 6번 연료봉의 출력을 평균 열출력의 0~1.5배로 바꾸면서 수행한 것이다. 그림 2.24에 HENDEL에서 수행된 유량분포 실험 결과와 MATRA 해석 결과를

나타냈다.

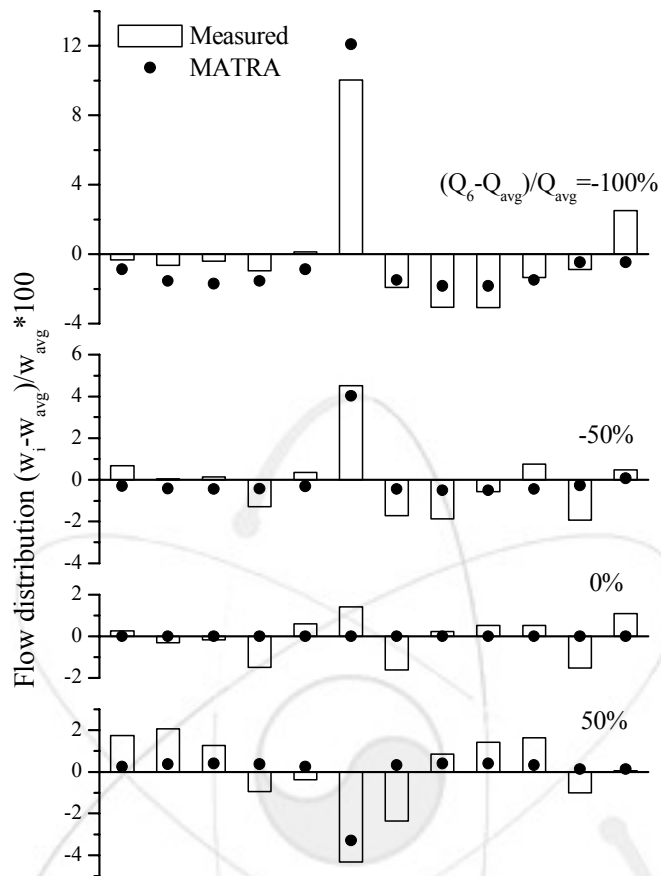
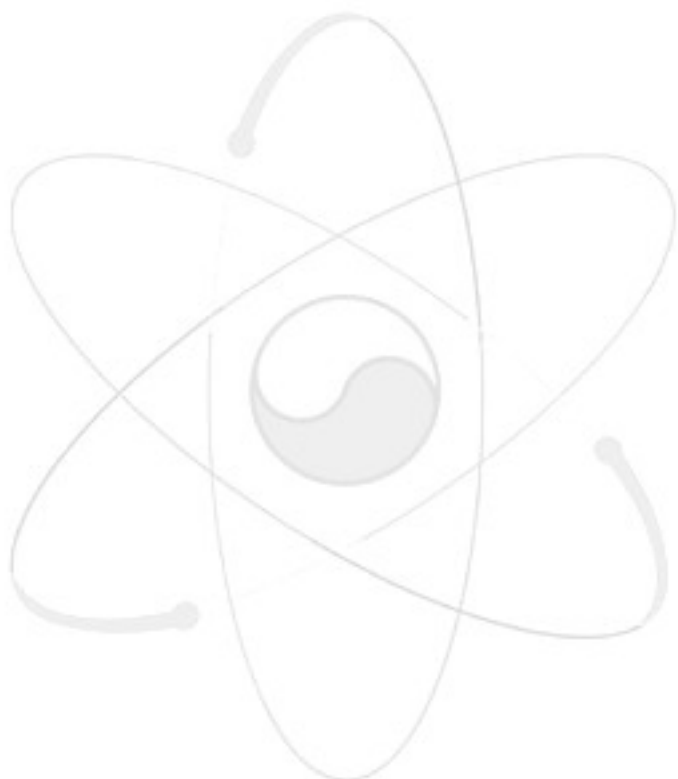


그림 2.24 HENDEL 실험루프 부수로별 유량분포

연료봉 6번의 출력을 0kW로 하였을 때, 6번 채널의 온도가 다른 채널들에 비해서 낮으므로 압력 강하가 작게 발생하므로 6번 채널의 유량이 10% 이상 증가하고 다른 채널들의 유량은 조금씩 감소한 것을 알 수 있다. 연료봉 6번의 출력을 평균 출력의 50%로 하였을 때도 6번 채널의 유량이 4% 가량 증가하고 다른 채널의 유량은 감소하는 추세를 보여주고 있다. 반대로 연료봉 6번의 출력을 평균 출력의 150%로 하였을 때에는 6번 채널의 헬륨 온도가 증가하면서 6번 채널의 유량이 평균 유량에 비해 4% 가량 적고 다른 채널들의 유량이 증가하는 추세를 보이고 있다. 마지막으로 모든 연료봉의 출력을 평균 출력으로 하면 MATRA 코드의 해석은 모든 채널의 유량이 동일한 것으로 나타나지만, 실험 결과는 채널별로 $\pm 1.5\%$ 정도의 차이를 보이는 것으로 나타났다.

고온가스로 12채널 유량분포 실험에 적용한 MATRA 코드 해석결과는 실험의 유량분포 경향을 잘 예측하였고 MATRA 코드의 유량재분배 기능이 잘 작동하는 것으로 나타났다.



2.3

2.3.1 FZK

본 과제를 통하여 KAERI와 독일 FZK 연구소는 부수로 해석 코드 개발과 관련한 국제 공동 연구 협약을 체결하였다 (부록-6 참조). 공동 연구의 목적은 경수 혹은 HLM(Heavy Liquid Metal)을 사용하는 신개념 원자로 조건에 적용할 수 있는 부수로 해석 코드 기술을 개발하는 것이다. 공동 연구 체계는 그림 2.25에 제시한 바와 같다. 공동 연구 협약에 따라 부수로 해석 코드 개발을 위한 working group을 구성하였다. 국제공동 연구를 통하여 부수로 해석 코드 MATRA를 유럽의 참조 ADS (Accelerator driven sub-critical system) 모형으로서 LBE(Lead-Bismuth Eutectic)을 냉각재로 사용하는 PDS-XADS의 노심 개념 연구에 적용하였다. 연구 결과로서 발표된 논문은 부록-6에 수록하였다.

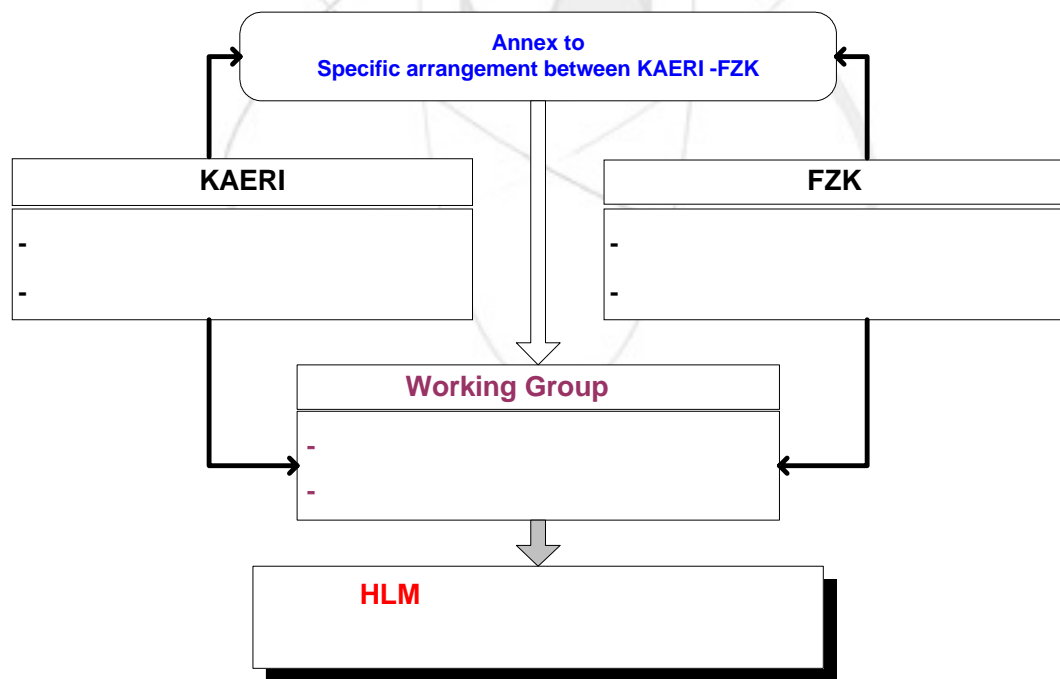


그림 2.25. KAERI-FZK 국제공동 연구 체계

2.3.2 OECD/NRC code benchmark

2상 유동장 조건의 부수로 열수력장 최적 해석 모델 개발에 사용될 수 있는 상세한 부수로 열수력장 측정 자료를 바탕으로 코드 benchmark 국제 회의가 구성되었으며[10], 본 연구에서는 MATRA 코드를 사용하여 benchmark에 참여하였다. 본 benchmark의 목적은 일차적으로 기존의 부수로 열수력장 해석 모델의 예측 성능을 평가하는 것이며, 나아가서 차세대 부수로 열수력장 최적 예측 모델의 개발에 기여하고자 하는 것이다. MATRA와 같이 mixture equation을 사용하여 2상 유동장을 해석하는 부수로 해석 코드는 일반적으로 견도가 높은 조건에서 예측 성능이 나빠지는 경향을 보인다. 이러한 경향은 부수로 간의 기포율 분포 예측시 현저하게 나타나는데, 이러한 문제점을 해결하기 위하여 부수로 간의 난류혼합 모델을 개선하여 예측 성능을 향상시킨 바 있다[7]. 본 연구에서는 MATRA 코드의 개선된 난류혼합 모델을 사용하여 8x8 집합체 내부의 부수로 기포율 분포를 예측하고 실험 자료와 비교하였다.

(가) MATRA 코드의 2상 유동장 난류혼합 모델

부수로 해석 모형에서 부수로 간의 횡방향 질량, 에너지 및 운동량 전달 현상은 기본적으로 아래와 같은 네 가지 모형을 통하여 예측하고 있다.

- Diversion crossflow
- Turbulent mixing
- Void drift
- Viscous transfer

이 때, 연료봉 주위의 원주방향 압력 구배가 없다고 가정하면 원주방향의 회전 유동은 없다. 위의 4가지 모형들 중에서 diversion crossflow는 인접 부수로 간의 압력 차이로 인해 발생되는 것으로서 횡방향 운동량 보존식을 통하여 평가할 수 있다. Turbulent mixing과 viscous transfer 항은 난류 에디의 요동에 의한 영향과 분자 단위의 전달(conduction 혹은 viscous momentum transfer)을 모사하는 것이며, void drift 항은 이상 유동 상태에서 기포의 횡방향 분포가 평형 상태를 이루려고 하는 경향을 모사하기 위한 것이다. 실제로

가압 경수로 노심 분석에 사용되고 있는 부수로 해석 코드 모형들을 검토해 보면 일반적으로 운동량에 대한 viscous transfer는 거의 무시되고 있으며, 에너지에 대한 영향, 즉 부수로 간의 conduction은 몇 가지 코드에서 사용되고 있다. 그리고 void drift 현상이 모형화된 코드는 거의 없는데 이는 가압 경수로 노심의 정상 운전 조건에서는 2상 유동 현상이 크게 나타나지 않기 때문이다. 그러나 사고 상태나 CHF 조건에서는 부수로 내에 상당한 양의 기포가 존재하게 되므로 void drift 모형은 코드 예측의 정확성에 큰 영향을 준다. Turbulent mixing 모형도 기존의 COBRA 계열 부수로 해석 코드에서 사용하는 동일 질량 교환 모형은 단상 유동 조건에서는 타당하지만 이상 유동 조건에서는 동일 체적 교환 모형이 더 잘 맞는 것으로 알려져 있다.

(i) 동일 질량 교환 모델

2.1.1절에 기술한 부수로 해석 지배 방정식의 좌변 마지막 항은 난류 혼합으로 인하여 i 부수로와 인접한 부수로 간에 교환되는 질량, 에너지 및 축방향 운동량을 나타내고 있다. 부수로 i 와 j 사이에서 단위 축방향 길이 당 캡(s_{ij})을 통해 전달되는 난류 유동의 크기는 아래와 같이 정의된다.

$$w'_{ij} \equiv \rho_i s_{ij} v'_{ij}. \quad (2.10)$$

'Mixing length' 이론에 의하면 단상 유동 조건에서 부수로 i 와 j 사이의 요동 속도, v'_{ij} 는 eddy diffusivity에 비례하며, 유효 혼합 길이에 역비례한다. COBRA-IV-I 코드에서 질량에 대한 eddy diffusivity는 에너지에 대한 eddy diffusivity와 동일하게 취급하며, 횡방향 요동 속도와 축방향 유속 간의 비율로 정의되는 난류 혼합 인자를 도입하여 난류 유동을 아래와 같이 표현하고 있다.

$$w'_{ij} = \beta \cdot s_{ij} \cdot G_{avg}. \quad (2.11)$$

축방향 운동량에 대한 eddy viscosity는 에너지에 대한 eddy diffusivity에 난류 Prandtl 수와 같은 의미를 갖는 난류 운동량 인자, f_T 를 곱하여 평가한다. 난류 혼합 인자는 일반적으로 단상 유동 조건에서 수행되는 열혼합 실험 자료로부터 구하며, COBRA-IV-I 코드에서는 이를 2상 유동 조건에도 그대로 적용하고 있다. COBRA-IV-I 코드의 난류 혼합 모형은 동일 질량 교환(EM) 개념에 근거하고 있다. 즉, 인접한 두 채널 간의 난류 유동 크기는 서로 동일하다는 가정($\rho_i v'_{ij} = \rho_j v'_{ji}$)으로부터 채널 간의 질량 이동이 발생하지

않는다. ($w'_{i \leftrightarrow j} \equiv w'_{ij} - w'_{ji} = 0$)

(ii) 동일 체적 교환 모델

2상 유동 조건에서 수행된 실험 결과에 따르면 인접한 수로 간에 에너지와 운동량 이동 뿐만 아니라 상당한 양의 질량 이동이 발견된 바 있다[11]. 이 현상을 설명하기 위하여 수로 간에 동일한 체적이 교환되는 개념($v'_{ij} = v'_{ji}$)이 도입되었으며, 이 때 난류 혼합은 비평형 기포율 구배에 비례하는 것으로 가정하였다[12]. 즉, 횡방향 혼합은 두 수로 경계면에서의 난류 요동과 수로 간의 기포 이동에 의해 발생하게 된다. 기포 이동은 기포가 평형 분포 상태를 이루는 방향으로 이동하는 경향에 의해 발생하는데, 실험에 의하면 기포는 유로 면적이 넓고 유속이 빠른 영역으로 이동하는 경향을 보인다. Levy의 연구에 따르면 기포의 평형 분포는 유속 분포와 관련이 있다[13]. Levy는 채널 내에서 평형 밀도 분포는 평형 유속 분포와 선형적 비례 관계에 있다고 가정하였다. 그러나 Sadatomi 등의 2 채널에 대한 실험적 연구 결과에서는 이러한 선형적 관계가 발견되지 않았다[14]. 따라서 MATRA 코드에서는 실험 자료 평가를 통하여 기포 이동 계수 K_{VD} 를 실험적으로 결정하였다. 이에 따라 난류 혼합으로 인한 질량 교환은 아래와 같이 표현하였다.

$$w'_{i \leftrightarrow j} = \mathbf{d}'_{ij} \mathbf{i}_{SP} \cdot \theta \cdot \left(\mathbf{M}_j - \alpha_i \mathbf{i} - K_{VD} \frac{\mathbf{d}_j - G_i}{G_{avg}} \mathbf{i} \right) \quad (2.12)$$

여기서,

$$\theta \equiv (\beta_{TP}/\beta_{SP})(\Delta\rho/\rho_f). \quad (2.13)$$

2상 유동 난류 혼합에 대한 Beus의 연구[15]에 따르면 위식에 나타나는 보정 인자 θ 는 bubbly-slug 영역에서 아래와 같이 표현된다.

$$\theta = 1 + \mathbf{b}_M - 1 \mathbf{g}_{\chi_c}^{\chi}, \quad (2.14)$$

그리고 annular 영역에서는

$$\theta = 1 + \mathbf{b}_M - 1 \mathbf{g}_{\chi/\chi_c - \chi_0/\chi_c}^{1 - \chi_0/\chi_c}, \quad (2.15)$$

이며, 여기서

$$\chi_0 / \chi_c = 0.57 \cdot \text{Re}^{0.0417}, \quad (2.16)$$

그리고 $\theta_M = 5^\circ$ 이다[16]. Slug-annular 천이 조건에 해당하는 건도는 아래와 같이 평가된다.

$$\chi_c = \frac{0.4 \sqrt{g D_{hy} \rho_f \Delta \rho} / G + 0.6}{\sqrt{\rho_f / \rho_g} + 0.6}. \quad (2.17)$$

이와 유사하게 난류 혼합 및 기포 이동에 의한 에너지 전달량은 아래와 같이 표현된다.

$$w'_{ij} h_i - w'_{ji} h_j = \mathbf{d}'_{ij} \mathbf{i}_{SP} \cdot \theta \cdot \left(\mathbf{d}_{ij} - \alpha_i \mathbf{i} \right) - K_{VD} \frac{\mathbf{d}_{ij} - G_i \mathbf{i}}{G_{avg}} \left(\frac{\rho_f h_f - \rho_g h_g}{\rho_f - \rho_g} \right). \quad (2.18)$$

MATRA 코드에 도입된 난류 혼합 모형은 실험 집합체에 대한 2상 유동 분포 실험 자료 평가를 통하여 최적화 하였다[17]. 최적 K_{VD} 는 아래와 같이 계산된다.

$$K_{VD,OPT} = K_{VD,L} + \frac{\chi_{1,M} - \chi_{1,L}}{S_\chi}, \quad (2.19)$$

여기서 선형 비례 상수는 아래와 같이 정의된다.

$$S_\chi \equiv \frac{\chi_{1,U} - \chi_{1,L}}{K_{VD,U} - K_{VD,L}}. \quad (2.20)$$

실험 자료 평가 결과 K_{VD} 가 증가하면 corner 수로 출구 건도는 감소하며, 선형 비례 상수의 절대값은 국부 건도가 증가함에 따라 커지는 것으로 나타났다. Beus 모델을 사용한 동일 체적 교환 모형을 적용하여 평가한 결과 slug-annular 경계 조건 근처에서 S_χ 의 최소값이 나타났다. 이는 2상 유동 혼합이 이 조건에서 최대값을 갖기 때문에 나타난 결과이다. 시험 자료 분석을 통하여 K_{VD} 에 대한 단순 선형 모델은 아래와 같이 도출되었다.

bubbly-slug flow 영역($\chi < \chi_c$),

$$K_{VD} = a_1 \cdot \frac{G - \chi_{osv}}{\chi_c - \chi_{osv}} \quad (2.21)$$

$$a_1 = 0.72 \cdot \frac{P_r}{G_{P_r}} \left| \frac{\chi - \chi_{osv}}{\chi_C - \chi_{osv}} - 1 \right|^{1.33} \quad (2.22)$$

annular flow 영역 ($\chi \geq \chi_C$),

$$K_{VD} = a_1 + a_2 \cdot \left| \frac{\chi - \chi_{osv}}{\chi_C - \chi_{osv}} - 1 \right| \quad (2.23)$$

$$a_2 = 10$$

(나) 정상상태 부수로 기포율 분포 해석

부수로 해석이 수행된 8x8 집합체의 부수로 형태는 그림 2.26에 제시하였으며, 주요 기하 형태 자료는 표 2.10과 같다. 부수로 기포율은 X-ray CT scanner 장치를 사용하여 NUPPEC에서 측정되었다. 분석 대상 운전 조건은 표 2.11에 제시한 바와 같이 5 종류의 시험 집합체에 대하여 각각 3 가지 서로 다른 출구 건도 (5%, 12%, 25%)를 갖는다. 각각의 조건에 대하여 부수로 해석을 수행한 결과는 그림 2.27 – 그림 2.31에 제시하였다. Grid-type spacer와 반경방향 균일 출력 분포를 갖는 시험집합체에 대하여 MATRA 코드로 계산된 부수로 기포율 분포 예측 성능을 기존의 COBRA/BWR 코드와 THERMIT 코드로 계산된 결과와 비교 하였다. 두 코드의 계산 결과는 참고문헌 [18]에 기술되어 있다. 그 결과 표 2.12에서 보듯이 MATRA 코드의 예측 성능($K_{VD}=1.4$ 적용)은 기존의 BWR용 부수로 해석 코드나 two-fluid 모델을 사용하는 코드와 비슷한 것으로 나타났다.

표 2.10 시험 집합체 주요 기하 형태 자료

	TS 0-1	TS 4
Number of heater rods	62	60
OD of heater rods (mm)	12.3	12.3
Heated length (mm)	3708	3708
Number of water rods	2	1
OD of water rods	15.0	34.0
Rod pitch (mm)	16.2	16.2
Channel box width (mm)	132.5	132.5
Number of spacers	7	7
Spacer type	Grid	Ferrule

표 2.11 부수로 해석 수행 조건

SN	TS ID	Heater rods	Radial power distribution	Axial power distribution	Spacer type	Exit quality	Exit void
1	0-1	62	Uniform	Uniform	Grid	0.05	0.41
2	0-1	62	Uniform	Uniform	Grid	0.12	0.63
3	0-1	62	Uniform	Uniform	Grid	0.25	0.79
4	0-2	60	Uniform	Uniform	Grid	0.05	0.39
5	0-2	60	Uniform	Uniform	Grid	0.12	0.63
6	0-2	60	Uniform	Uniform	Grid	0.25	0.78
7	0-3	55	Uniform	Uniform	Grid	0.05	0.39
8	0-3	55	Uniform	Uniform	Grid	0.12	0.62
9	0-3	55	Uniform	Uniform	Grid	0.25	0.78
10	1	62	Non-uniform	Cosine	Grid	0.05	0.43
11	1	62	Non-uniform	Cosine	Grid	0.12	0.64
12	1	62	Non-uniform	Cosine	Grid	0.25	0.79
13	4	60	Non-uniform	Uniform	Ferrule	0.05	0.44
14	4	60	Non-uniform	Uniform	Ferrule	0.12	0.65
15	4	60	Non-uniform	Uniform	Ferrule	0.25	0.81

표 2.12 부수로 기포율 분포 예측 성능 비교

TS 0-1, 0-2, 0-3	MATRA	COBRA/BWR	THERMIT-2
Mean (P-M), %	-0.4	-1.1	-2.2
Std. deviation, %	6.0	5.3	6.3

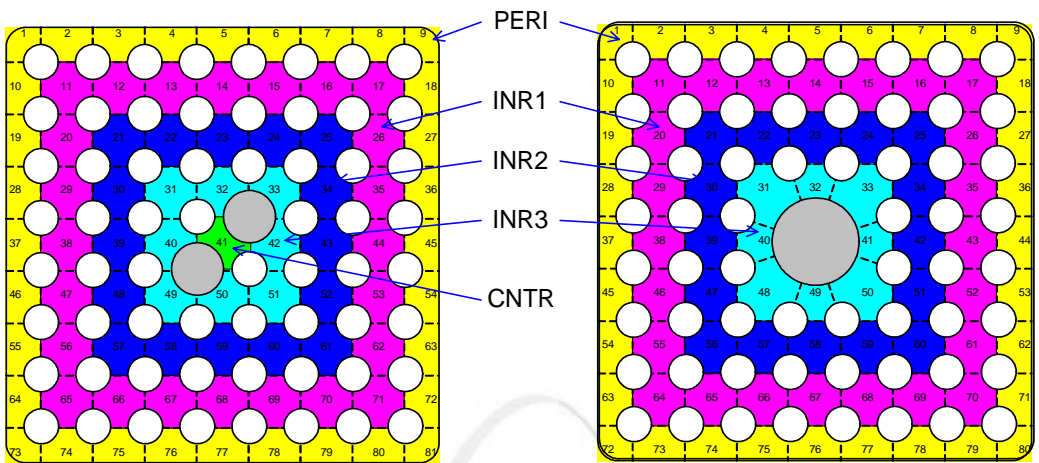


그림 2.26. 8x8 집합체 부수로 해석 모형

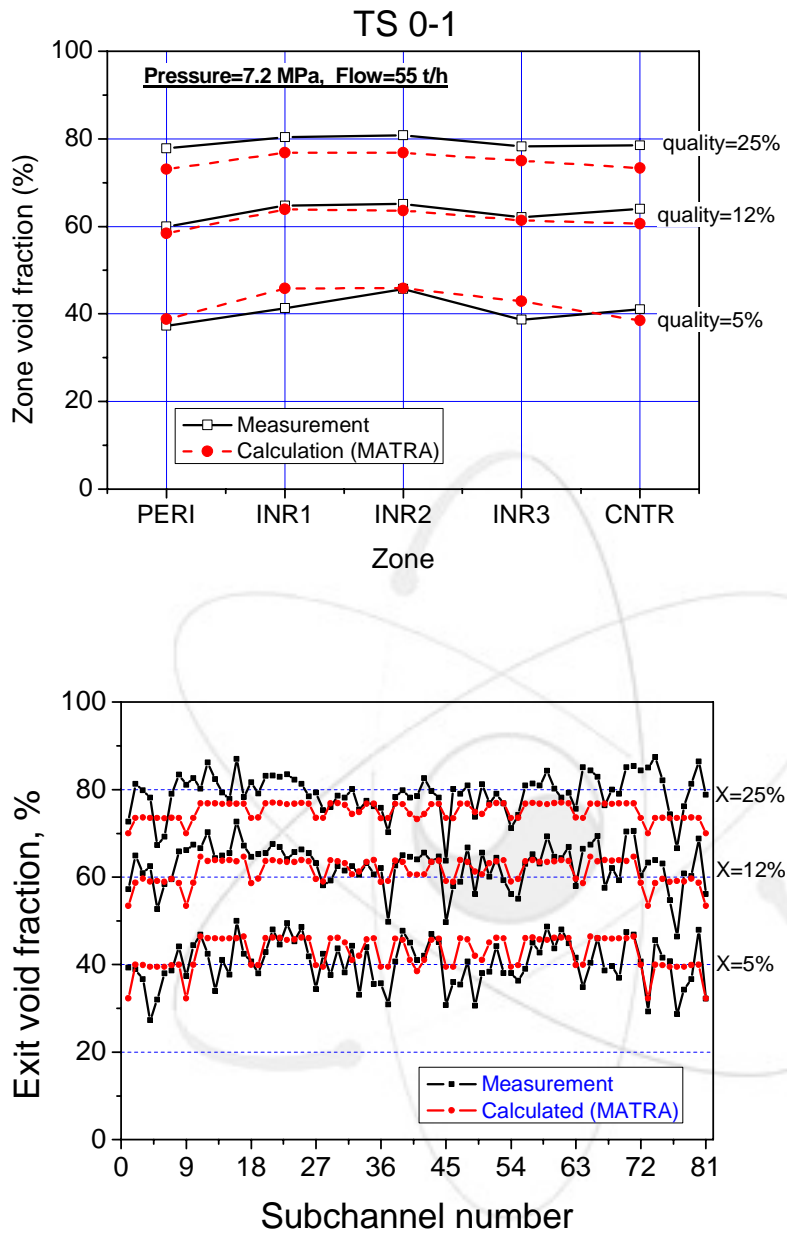


그림 2.27 부수로 기포율 분포 예측치와 실측치 비교 (TS 0-1)

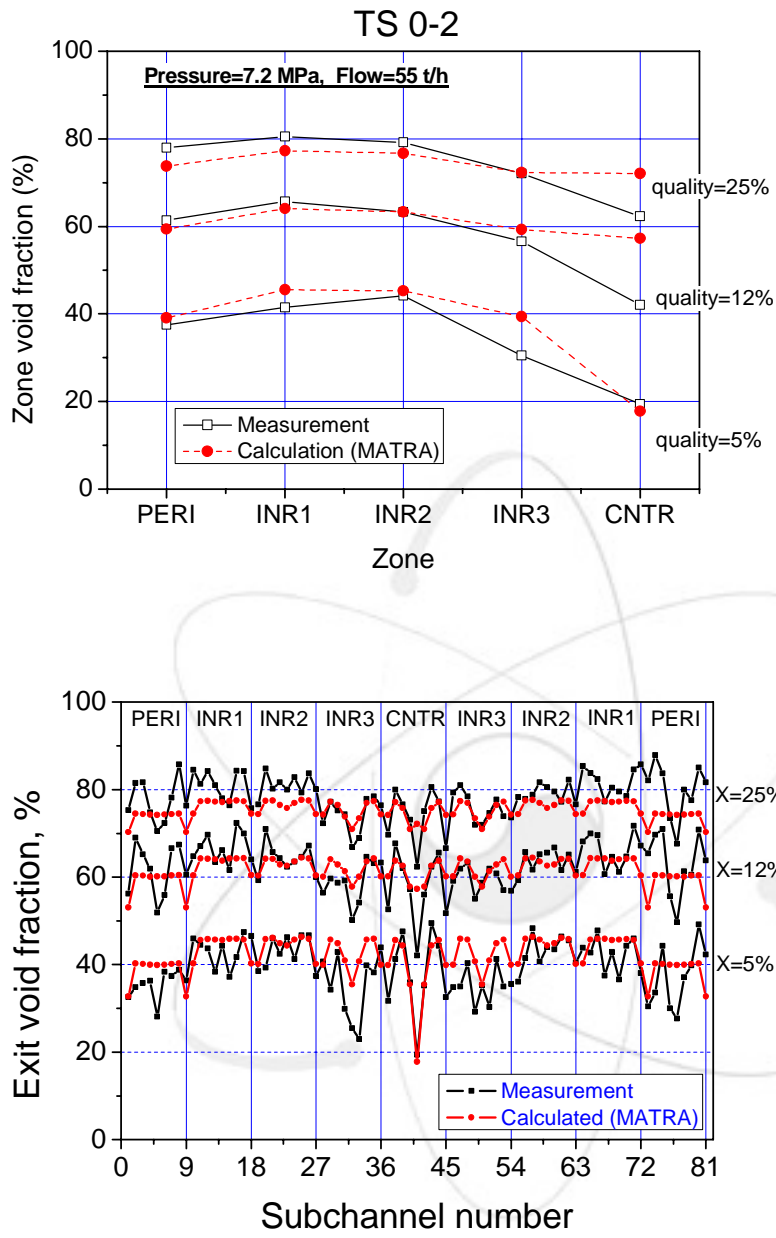


그림 2.28 부수로 기포율 분포 예측치와 실측치 비교 (TS 0-2)

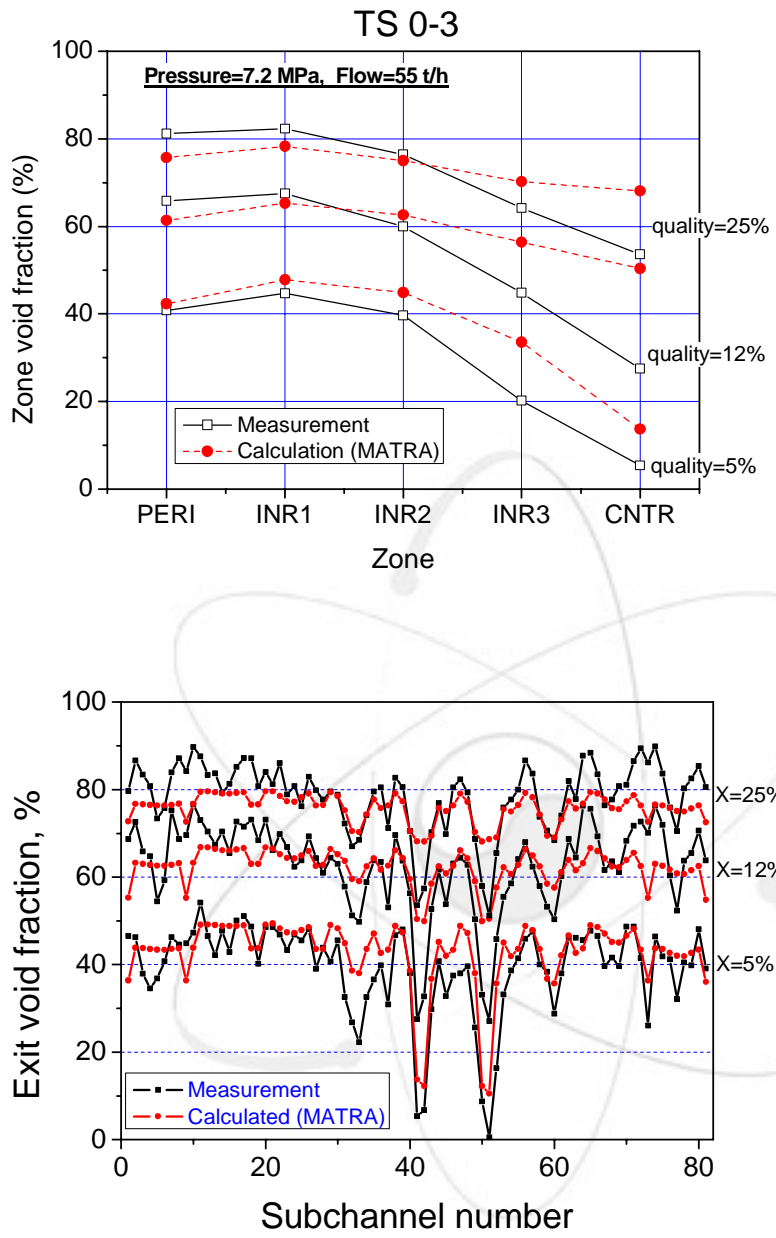


그림 2.29 부수로 기포율 분포 예측치와 실측치 비교 (TS 0-3)

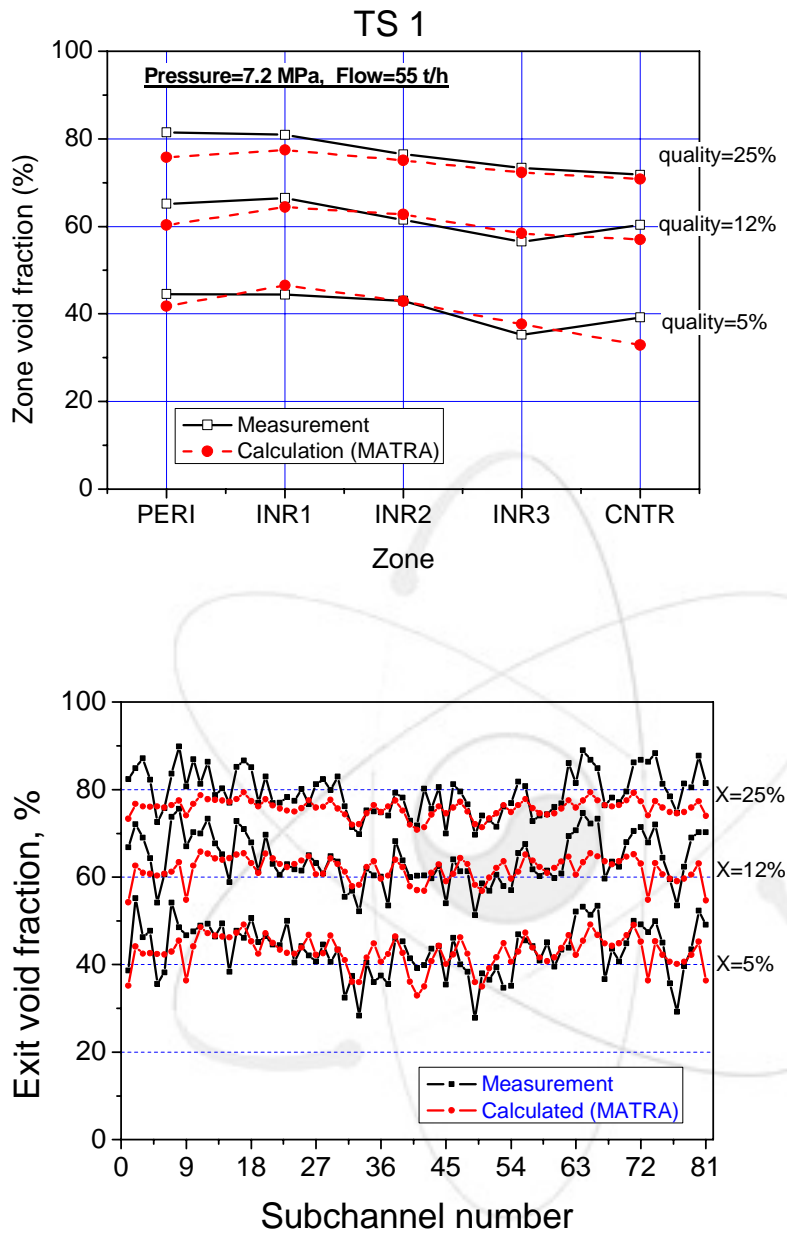


그림 2.30 부수로 기포율 분포 예측치와 실측치 비교 (TS 1)

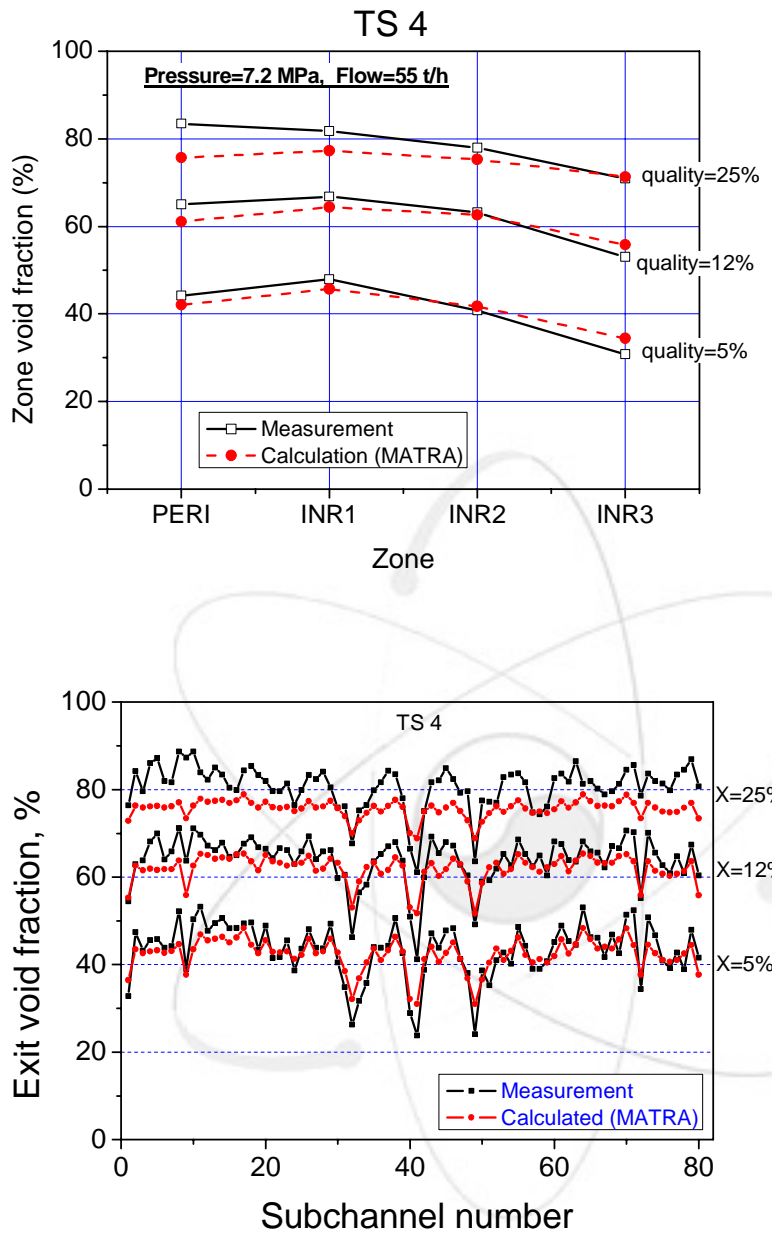


그림 2.31 부수로 기포율 분포 예측치와 실측치 비교 (TS 4)

3.

3.1

본 연구를 통하여 신개념 원자로에 적용 가능한 부수로 해석 코드의 기본 모듈을 개발하고 여러가지 신개념 원자로 조건에 대하여 부수로 해석 코드의 적용성을 평가하였다. 본 연구는 그림 3.1에 제시한 바와 같이 부수로 해석 코드 체계 개발을 위한 연구의 첫번째 단계에 해당한다. 본 연구를 통하여 신개념 원자로 조건에 대한 부수로 해석 코드의 적용성이 입증되면 향후 GEN-IV 원자로 등의 노심 열수력장 해석 체계를 구성하는 기본 모듈로서 활용이 가능하다. 본 연구의 기대 효과로서 기술적 측면에서는 다양한 냉각재 및 핵연료 형태를 채택하는 신개념 원자로의 설계에 적용 가능한 부수로 해석 코드 기본 모듈을 확보할 수 있으며, 경제·산업적 측면에서는 KAERI가 원천기술을 갖는 부수로 해석 코드의 수출 효과를 기대할 수 있다.

3.2

가

본 연구를 통하여 서울대학교 및 KAIST와 부수로 해석 코드 사용에 관한 기술실시 계약을 체결하였으며, 향후 연구 결과에 대한 정보 교환 등을 통하여 지속적인 부수로 해석 코드 기술 개발 추진할 예정이다. 본 연구 결과는 향후 아래와 같이 신개념 원자로 적용을 위한 열수력장 해석 코드의 개발 방향 도출에 활용 될 수 있다.

- 핵연료와 block, 냉각재 간의 열전달 해석 모델 (conduction - convection 문제)
- 초임계-미임계 압력 과도 조건 해석 모델
- 양방향 채널 유동장 해석 모델
- 코드 연계 모델 (노뮬리 해석 코드, 과도 해석 코드 등)

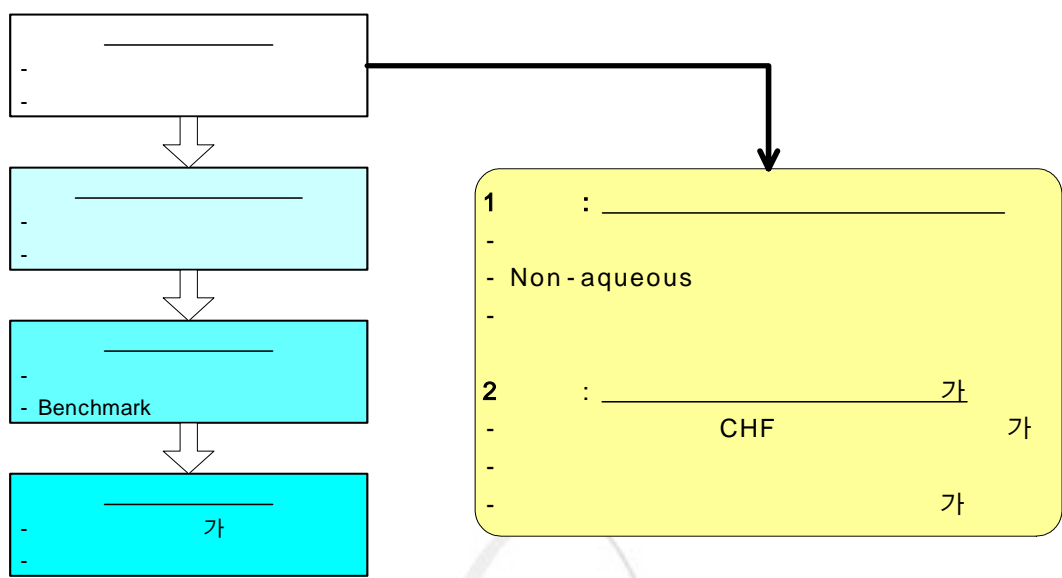
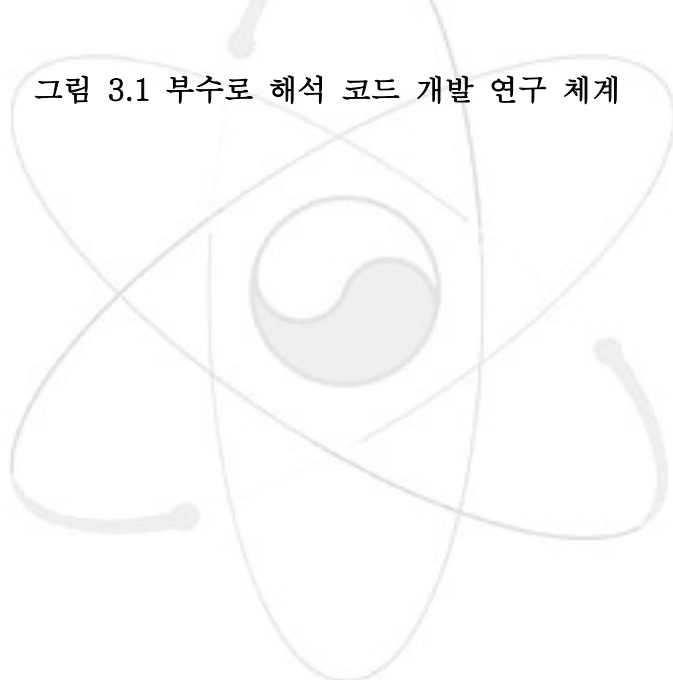


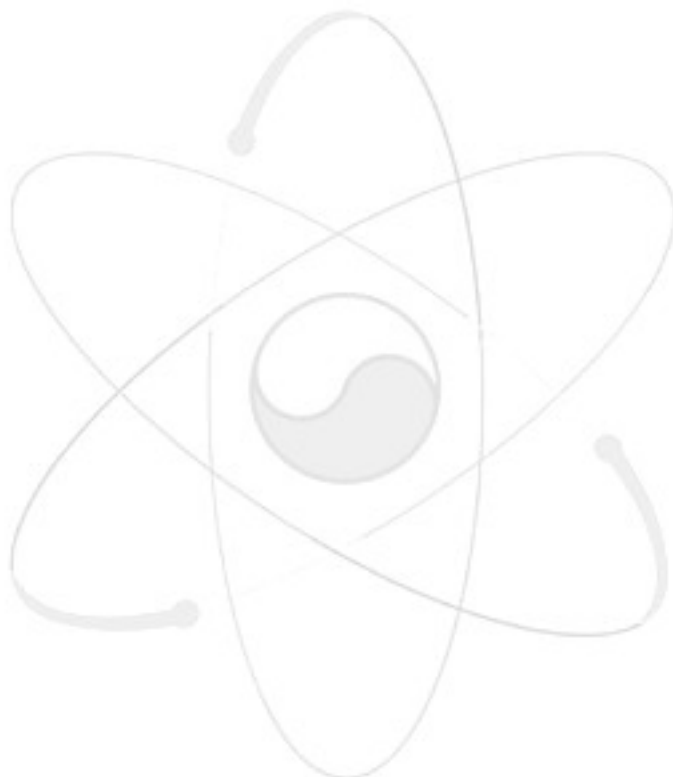
그림 3.1 부수로 해석 코드 개발 연구 체계



4.

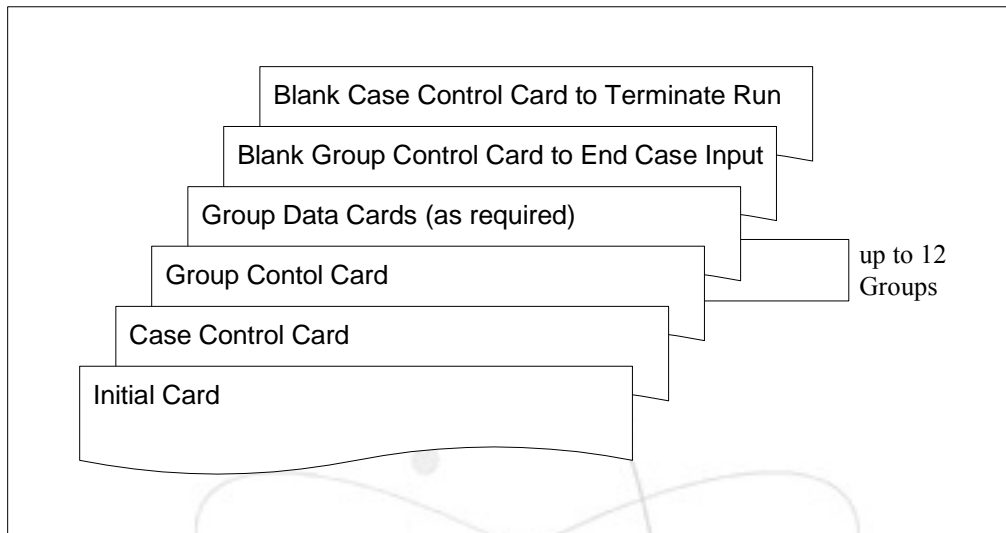
- [1] C. L. Wheeler, et. al., COBRA-IV-I: An Interim Version of COBRA for Thermal-Hydraulic Analysis of Rod Bundle Nuclear Fuel Elements and Cores, BNWL-1962, 1976.
- [2] 황대현, 단상 및 이상 유동장 부수로 해석 모형에 대한 고찰, KAERI/TR-804/97, 1997.
- [3] Y. J. Yoo, K. Y. Nahm, and D. H. Hwang, Conversion of the COBRA-IV-I Code from CDC CYBER to HP 9000/700 Version, KAERI/TR-803/97, 1997.
- [4] K. Rehme, Pressure Drop Performance of Rod Bundles in Hexagonal Arrangements, Int. J. Heat Mass Transfer 15, 2499-2517, 1972.
- [5] K. Rehme, Pressure Drop Correlations for Fuel Element Spacers, Nuclear Technology 17, 15-23, 1973.
- [6] B. Chexal, et. al., Void Fraction Correlation for Generalized Applications, Progress in Nuclear Energy 27(4), 255-295, 1992.
- [7] D.H. Hwang, et. al., Assessment of the interchannel mixing model with a subchannel analysis code for BWR and PWR conditions, Nuclear Engineering Design 199, 257-272, 2000.
- [8] Irvine, Thomas F. & Liley, P. E., Steam and Gas Tables with Computer Equations, Academic Press, 1984.
- [9] 황대현, 외, 비정방형 집합체에서의 임계 열속 특성 분석, KAERI/TR-1047/98, 1998.
- [10] H. Utsuno, et. Al., Assessment of boiling transition analysis code against data from NUPEC BWR full-size fine-mesh bundle tests, NUTHOS-6, Nara, October 4-8 (2004).
- [11] Gonzalez-Santalo, J. M. and P. Griffith, Two-phase flow mixing in rod bundle subchannels, ASME Paper 72-WA/NE-19, 1972.
- [12] Lahey, Jr., R. T. and F. J. Moody, The Thermal Hydraulics of a Boiling Water Nuclear Reactor, ANS Monograph, 2nd ed., New York, 168-184, 1993.
- [13] Levy, S., Prediction of two-phase pressure drop and density distribution from mixing length theory, J. Heat Transfer 85, 137-152, 1963.
- [14] Sadatomi, M., et. al., Flow redistribution due to void drift in two-phase flow in a multiple channel consisting of two subchannels, Nucl. Engrg. Des. 148, 463-474, 1994.

- [15] S. G. Beus, Two-Phase Turbulent Mixing Model for Flow in Rod Bundles, WAPD-T-2438, 1971.
- [16] Todreas, N. E. and M. S. Kazimi, Nuclear System II: Elements of thermal hydraulic design, Hemisphere, New York, pp.260-273, 1990.
- [17] 황대현, 외, SMART 노심 부수로 해석 코드 체계 개발 및 평가, KAERI/TR-2034/2002, 2002.
- [18] A. Inoue, et. Al., Void fraction distribution in BWR fuel assembly and evaluation of subchannel code, J. Nucl. Sci. Techn. 32, 629-640, 1995.



-1. MATRA-X0

Structure of the MATRA Input Deck



Requirements of the MATRA Input Cards and Card Groups

Group No.	Description	Case	
		First	Subsequent
-	Initial card	required	not required
-	Case control card	required	required
1	Fluid properties	required	optional
2	Friction factor, heat transfer coefficient, and two-phase flow correlations	required	optional
3	Axial heat flux distribution	optional	optional
4	Channel layout and dimensions	required	optional
5	Channel area variation	optional	optional
6	Gap spacing variation	optional	optional
7	Wire wrap and grid spacer information	optional	optional
8	Rod layout, dimensions, and properties	required	optional
9	Calculation control	required	optional
10	Lateral transport models	required	optional
11	Operating conditions and transient forcing functions	required	optional
12	Output display options	required	optional

Description of Dimensioning Parameters

- MC** : Maximum number of channels (200)
MG : Maximum number of gaps (400)
MX : Maximum number of axial nodes plus one (1001)
MN : Maximum order of collocation used in fuel model plus three (6)
MR : Maximum number of rods (200)
ME : **MX** if no storage on peripherals ; 3 for storage on peripherals
 (This implies that axial values will be rolled.) (1001)
MP : Maximum number of cards in property table, axial heat flux table,
 and forcing function vs. time tables (1500)
ML : Maximum number of axial locations
 for channel area and gap spacing variations (50)
MZ : Maximum number of axial locations for grid spacers (20)
MW : Maximum number of wall-channel thermal connections (50)
MY : Maximum number of axial fuel type divisions (20)
MI : Maximum number of connections to a channel (thermal+flow) (20)
MO : Maximum number of gaps coupled to any one gap via a channel plus one :
 Maximum width of AAA array : (7 for square, 5 for triangular rod array) (20)
MK : Maximum number of grid spacer types (10)
MA : Maximum number of channels that can have channel area variations (50)
MT : Maximum number of fuel types (10)
MS : Maximum number of gaps that can have gap spacing variations (100)

MATRA 1.0		Initial card: Must be the 1st data card of the input deck; Read only once: <i>MAXT, IIUNIT, JIUNIT, JOUNIT, IMAST</i> : (5I10)
I10	<i>MAXT</i>	Computer time limit allowed for problem calculations [sec]: <i>MAXT</i> ≥ 0: Normal calculation <i>MAXT</i> < 0: Restart calculation from a previously stored solution (Not checked) * Requires Card RESTR 1.0
I10	<i>IIUNIT</i>	Input unit system: <i>IIUNIT</i> = 0: British <i>IIUNIT</i> = 1: SI
I10	<i>JIUNIT</i>	Input printout unit system: <i>JIUNIT</i> = 0: British <i>JIUNIT</i> = 1: SI
I10	<i>JOUNIT</i>	Output printout unit system: <i>JOUNIT</i> = 0: British <i>JOUNIT</i> = 1: SI
I10	<i>IMAST</i>	Option for coupling with the neutronics code MASTER (Not used for the stand-alone calculation of MATRA): <i>IMAST</i> = 0: No <i>IMAST</i> = 1: Yes

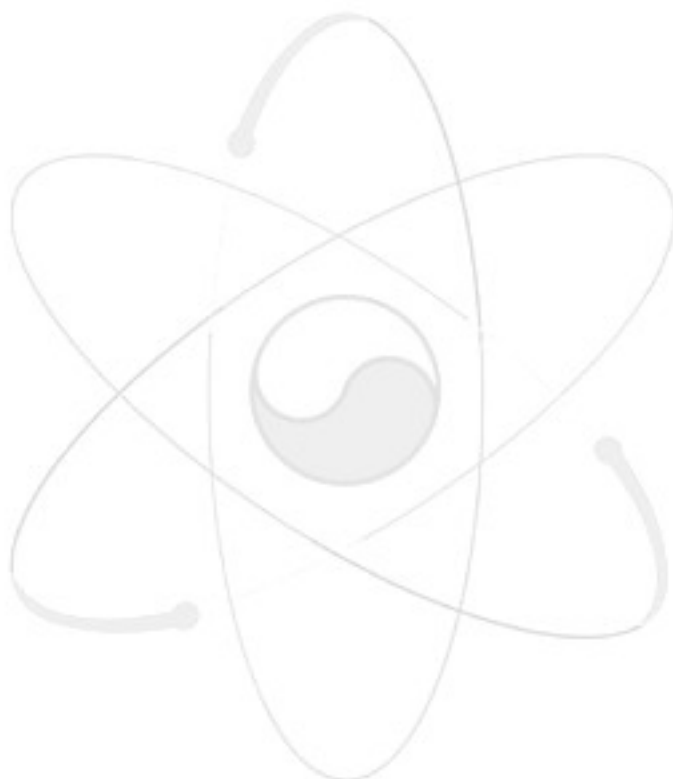
RESTRRT 1.0		Restart card (Not checked): Optional ($MAXT < 0$ in MATRA 1.0): $NJUMP, NA, IT, NTT, TTT$: (4I10, F10)
I10	<i>NJUMP</i>	<p>Restart flag:</p> <p>$NJUMP = 0$: Direct restart with no input: Continue calculations on a previous steady-state solution $(IT \neq 1$ and $NTT = 0)$; Continue calculations on a previous transient solution $(IT \neq 1$ and $NTT \neq 0)$</p> <p>$NJUMP = 1$: Restart with additional input: Begin a transient at time zero from a previous steady-state solution $(IT = 1$ and $NDT = 0$ in SETRI 9.2); Calculate a new steady-state solution with a previous solution as the 1st guess $(IT \neq 1$ and $NDT = 0$ in SETRI 9.2); Continue calculations on a previous transient solution $(NDT \neq 0$ in SETRI 9.2)</p> <p>$NJUMP = 2$: No restart: Read dump file, print input and output, and then stop</p> <p>$NJUMP = 3$: Same as $NJUMP = 0$, but print all input</p>
I10	<i>NA</i>	<p>Number of additional iterations for implicit solution scheme regardless of $NJUMP$: The old value of $NTRIES$ in SETRI 9.2 is increased by NA in a steady-state solution or is set to NA in a transient solution; $NTRIES$ may be reset directly in SETRI 9.2 if $NJUMP = 1$</p>
I10	<i>IT</i>	<p>Flag to begin a transient solution at time zero from a previous steady-state solution: Must read in transient data ($NJUMP = 1$) from SETRI $(IT = 1)$; For other restart cases, the value of IT is ignored $(IT = 0)$: $IT = 0$: Continue time steps $IT = 1$: Start from time zero</p>
I10	<i>NTT</i>	<p>Number of additional time steps allowed regardless of IT: Used to increase the value of NDT in SETRI 9.2 to continue or start a transient solution</p>
F10	<i>TTT</i>	<p>Total additional transient time regardless of IT [sec]: The time step size is TTT/NTT unless a time step size forcing function has been or will be supplied ($NJUMP = 1$) in SETRI 9.5</p>

SETUP 1.0

Case control card:

KASE, J1, TEXT: (2I10, 17A4)

I10	KASE	Problem case number: KASE > 0: Begin case with core initialized to zero KASE < 0: Use previous case solution as the 1st guess KASE = 0: Stop
I10	J1	Print option for input data: J1 = 0: Print only new input J1 = 1: Print all input J1 = 2: Print only operating conditions J1 = 10: Print all input, then stop
17A4	TEXT	Output text for problem identification: Maximum 68 characters



Card Group 1

Fluid Properties

SETRI 1.0		Group control card: <i>NGROUP, N1, N2, N3, N4, N5:</i> (6I10)
I10	<i>NGROUP</i>	Card group number: Must be 1
I10	<i>N1</i>	Number of (saturation and/or superheated) fluid property cards to be read: ($0 \leq N1 \leq MP$): $N1 = 0$: $N4 = 1$ and $N2 = 0$ $N1 > 0$: $N4 = 0$
I10	<i>N2</i>	Option for calculation of superheated vapor (H_2O) properties: ($0 \leq N2 \leq 1$): $N2 = 0$: No calculation $N2 = 1$: $N1$ superheated vapor properties are calculated
I10	<i>N3</i>	Upper limit for temperature range of superheated vapor (H_2O) properties (Applicable only if $N2 = 1$): ($0 \leq N3 \leq 1$): $N3 = 0$: Calculate $N1$ superheated vapor properties from saturation temperature at system pressure to 1500 °F (815.6 °C) $N3 = 1$: Calculate $N1$ superheated vapor properties from saturation temperature at system pressure to a temperature specified by <i>TMAX</i> * Requires Card SETRI 1.2
I10	<i>N4</i>	Method for calculation of fluid properties: ($0 \leq N4 \leq 1$): $N4 = 0$: Interpolative calculation of fluid properties from saturation property table: Property table inputs are necessary * Requires Card SETRI 1.1 $N4 = 1$: Direct calculation of fluid (H_2O) properties from Function TAF: Property table inputs are not necessary
I10	<i>N5</i>	Switch for selecting pressure used in calculation of fluid properties: ($0 \leq N5 \leq 1$): $N5 = 0$: System reference (exit) pressure $N5 = 1$: Local pressure
SETRI 1.1		Saturation fluid property table: Optional ($N4 = 0$); Read in $N1$ cards for saturated liquid and vapor properties: <i>PP(J), TT(J), VVF(J), VVG(J), HHF(J), HHG(J), UUF(J), KKF(J), SSIGMA(J)</i> , $J = 1$ to $N1$: (9F10) Pressure [psia; MPa]
F10	<i>PP(J)</i>	Saturation temperature [°F ; °C]
F10	<i>VVF(J)</i>	Specific volume of saturated liquid [ft^3/lb_m ; m^3/kg]

F10	VVG(J)	Specific volume of saturated vapor [ft^3/lb_m ; m^3/kg]
F10	HHF(J)	Specific enthalpy of saturated liquid [Btu/ lb_m ; kJ/kg]
F10	HHG(J)	Specific enthalpy of saturated vapor [Btu/ lb_m ; kJ/kg]
F10	UUF(J)	Viscosity of saturated liquid [$\text{lb}_m/\text{ft}\cdot\text{hr}$; kg/m-sec]
F10	KKF(J)	Thermal conductivity of saturated liquid [Btu/ $\text{hr}\cdot\text{ft}\cdot{}^{\circ}\text{F}$; kW/m- ${}^{\circ}\text{C}$]
F10	SSIGMA(J)	Surface tension of saturated liquid [lb_f/ft ; N/m]
SETRI 1.2		Maximum temperature of superheated vapor (H_2O): Optional ($N2 = 1$ and $N3 = 1$): TMAX: (F10)
F10	TMAX	Upper limit for temperature range of superheated vapor properties [${}^{\circ}\text{F}$; ${}^{\circ}\text{C}$]; Default for $N3 = 0$ is $\text{TMAX} = 1500 {}^{\circ}\text{F}$ ($815.6 {}^{\circ}\text{C}$)



Card Group 2

Friction Factor, Heat Transfer Coefficient, and Two-Phase Flow Correlations

SETRI 2.0		Group control card: <i>NGROUP, N1, N2, N3, N4, N5, N6, N7:</i> (8I10)
I10	<i>NGROUP</i>	Card group number: Must be 2
I10	<i>N1</i>	Subcooled void fraction: For $N3 > 0$ in SETRI 9.0, <i>N1</i> will be reset as $N1 = 0$; ($0 \leq N1 \leq 1$): $N1 = 0$: No model $N1 = 1$: Levy model
I10	<i>N2</i>	Bulk void fraction: For $N3 > 0$ in SETRI 9.0, <i>N2</i> will be reset as $N2 = 0$; ($0 \leq N2 \leq 6$): $N2 = 0$: Homogeneous model $N2 = 1$: Modified Armand model $N2 = 3$: Chexal-Lellouche model $N2 = 5$: Slip model: Read in a slip ratio * Requires Card SETRI 2.4 $N2 = 6$: Polynomial function of quality: Read in number of terms and coefficients for up to a 6th-order polynomial * Requires Card SETRI 2.4
I10	<i>N3</i>	Two-phase friction multiplier: For $N3 > 0$ in SETRI 9.0, <i>N3</i> will be reset as $N3 = 0$; ($0 \leq N3 \leq 5$): $N3 = 0$: Homogeneous model $N3 = 1$: Armand model $N3 = 5$: Polynomial function of quality: Read in number of terms and coefficients for up to a 6th-order polynomial * Requires Card SETRI 2.5
I10	<i>N4</i>	Heated wall viscosity correction in friction factor: ($0 \leq N4 \leq 1$): $N4 = 0$: No $N4 = 1$: Yes
I10	<i>N5</i>	Single-phase laminar friction factor: ($0 \leq N5 \leq 1$): $N5 = 0$: No $N5 = 1$: Yes: Read in up to 4 sets of laminar friction factor correlation constants * Requires Card SETRI 2.2
I10	<i>N6</i>	Single-phase rod-to-coolant heat transfer coefficient: ($0 \leq N6 \leq 1$): $N6 = 0$: Dittus-Boelter correlation $N6 = 1$: Read in a user-supplied correlation * Requires Card SETRI 2.3
I10	<i>N7</i>	Single-phase turbulent friction factor: ($0 \leq N7 \leq 2$):

$N7=0$: Square rod array
 $N7=1$: Rehme correlation for triangular rod array
 with wire wrap:
 * Requires Card SETRI 2.6:
 Ref: K. Rehme,
 "Pressure Drop Correlations
 for Fuel Element Spacers,"
 Nuclear Technology,
 Vol. 17, pp. 15-23,
 January 1973
 $N7=2$: Rehme correlation for triangular rod array
 with/without grid spacer:
 * Requires Card SETRI 2.7:
 Equivalent annular zone;
 Ref: K. Rehme,
 "Pressure Drop Performance of Rod
 Bundles in Hexagonal Arrangements,"
 Int. J. Heat Mass Transfer,
 Vol. 15, pp. 2499-2517,
 1972

SETRI 2.1		
F10	$AA(I)$	Single-phase turbulent friction factor – Square rod array: Required; Not optional (Dummy read for $N7=1$ or 2); Read in up to 4 sets corresponding to 4 channel types: $AA(I), BB(I), CC(I), I = 1$ to 4: (12F10)
F10	$BB(I)$	Constant of the correlation in the form as $f = AA \times Re^{BB} + CC$ (Recommended: 0.316 for $5000 < Re < 30000$; 0.184 for $30000 < Re < 1000000$)
F10	$CC(I)$	Constant of the correlation in the form as $f = AA \times Re^{BB} + CC$ (Recommended: -0.25 for $5000 < Re < 30000$; -0.20 for $30000 < Re < 1000000$)
SETRI 2.2		
F10	$AAL(I)$	Single-phase laminar friction factor: Optional ($N5 = 1$); Read in up to 4 sets corresponding to 4 channel types: $AAL(I), BBL(I), CCL(I), I = 1$ to 4: (12F10)
F10	$BBL(I)$	Constant of the correlation in the form as $f = AAL \times Re^{BBL} + CCL$ (Recommended: 64.)
F10	$CCL(I)$	Constant of the correlation in the form as $f = AAL \times Re^{BBL} + CCL$ (Recommended: -1.)

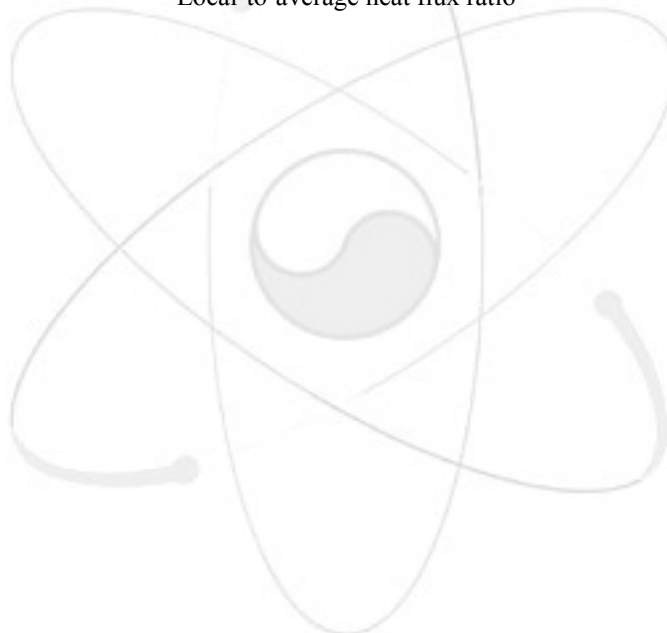
SETRI 2.3		Single-phase rod-to-coolant heat transfer coefficient: Optional ($N6=1$): $AH(I)$, $I=1$ to 4: (4F10)
F10	$AH(I)$	Constant of the correlation in the form as $h=(k/D) \times (AH(1) \times Re^{AH(2)} \times Pr^{AH(3)} + AH(4))$: Defaults for $N6=0$ are 0.023, 0.8, 0.4, and 0. for $AH(1)$ through $AH(4)$, respectively (Dittus-Boelter correlation)
SETRI 2.4		Bulk void fraction model – slip or polynomial: Optional ($N2=5$ or 6): NV , ($AV(I)$, $I=1$ to 7): (I10, 7F10)
I10	NV	Number of terms for up to a 6th-order polynomial if $N2=6$ (Not used if $N2=5$)
F10	$AV(I)$	A single term slip ratio $AV(1)$ if $N2=5$; Constants for up to a 6th-order polynomial function of void fraction (α) vs. quality (χ) if $N2=6$ ($I=1$ to 7) in the form as $\alpha = AV(1) + AV(2) \times \chi + \dots + AV(7) \times \chi^6$
SETRI 2.5		Two-phase friction multiplier model – polynomial: Optional ($N3=5$): NF , ($AF(I)$, $I=1$ to 7): (I10, 7F10)
I10	NF	Number of terms for up to a 6th-order polynomial
F10	$AF(I)$	Constants for up to a 6th-order polynomial function of two-phase friction multiplier (ϕ) vs. quality (χ) ($I=1$ to 7) in the form as $\phi = AF(1) + AF(2) \times \chi + \dots + AF(7) \times \chi^6$
SETRI 2.6		Single-phase turbulent friction factor – Rehme correlation for triangular rod array with wire wrap: Optional ($N7=1$): PITCHR, DIAR, PITCHW, DIAW, NOR, NOW, IGL: (4F10, 3I10)
F10	PITCHR	Rod pitch [in; mm]
F10	DIAR	Rod diameter [in; mm]
F10	PITCHW	Wire wrap pitch [in; mm]
F10	DIAW	Wire wrap diameter [in; mm]
I10	NOR	Number of rods
I10	NOW	Number of wire wraps

I10	<i>IGL</i>	Switch for selecting global or local Reynolds number: <i>IGL</i> =0: Bundle average Reynolds number (Recommended) <i>IGL</i> =1: Channel average Reynolds number (Not used)
SETRI 2.7		Single-phase turbulent friction factor – Rehme correlation for triangular rod array with/without grid spacer: Optional (<i>N7</i> =2): <i>PITCHR, DIAR, X1R, X2R, TOLXR, TOLFR,</i> <i>IMAXR, MTDR, IGL:</i> (6F10, 3I10)
F10	<i>PITCHR</i>	Rod pitch [in; mm]
F10	<i>DIAR</i>	Rod diameter [in; mm]
F10	<i>X1R</i>	Initial lower bound of the root of the nonlinear equation: the Rehme correlation for single-phase turbulent friction factor for the "equivalent annular zone" of triangular rod array (Recommended: 0.001: dependent on Re and P/D)
F10	<i>X2R</i>	Initial upper bound of the root of the nonlinear equation: the Rehme correlation for single-phase turbulent friction factor for the "equivalent annular zone" of triangular rod array (Recommended: 0.049: dependent on Re and P/D)
F10	<i>TOLXR</i>	Convergence factor for the root (Recommended: 2.5E-7)
F10	<i>TOLFR</i>	Convergence factor for the function value at the root (Recommended: 1.E-5)
I10	<i>IMAXR</i>	Maximum allowed number of iterations for finding the root (Recommended: 100)
I10	<i>MTDR</i>	Flag to designate a particular root finding method: <i>MTDR</i> =1: Bisection method <i>MTDR</i> =2: Newton-Raphson method <i>MTDR</i> =3: Newton-Raphson / Bisection method (Recommended)
I10	<i>IGL</i>	Switch for selecting global or local Reynolds number: <i>IGL</i> =0: Bundle average Reynolds number (Recommended) <i>IGL</i> =1: Channel average Reynolds number (Not used)

Card Group 3

Axial Heat Flux Distribution

SETRI 3.0		Group control card: <i>NGROUP, NI:</i> (2I10)
I10	<i>NGROUP</i>	Card group number: Must be 3
I10	<i>NI</i>	Number of entries in axial heat flux table: Must read in at least two points; ($2 \leq NI \leq MP$)
SETRI 3.1		Axial heat flux table: Read in <i>NI</i> pairs of data: <i>Y(L), AXIAL(L), L = 1 to NI:</i> (10F10)
F10	<i>Y(L)</i>	Relative axial location (<i>X/Z</i>) at which heat flux is given, where <i>Z</i> is the total axial length in SETRI 9.1: Must include 0. and 1. as end points
F10	<i>AXIAL(L)</i>	Relative heat flux at <i>X/Z</i> : Local-to-average heat flux ratio



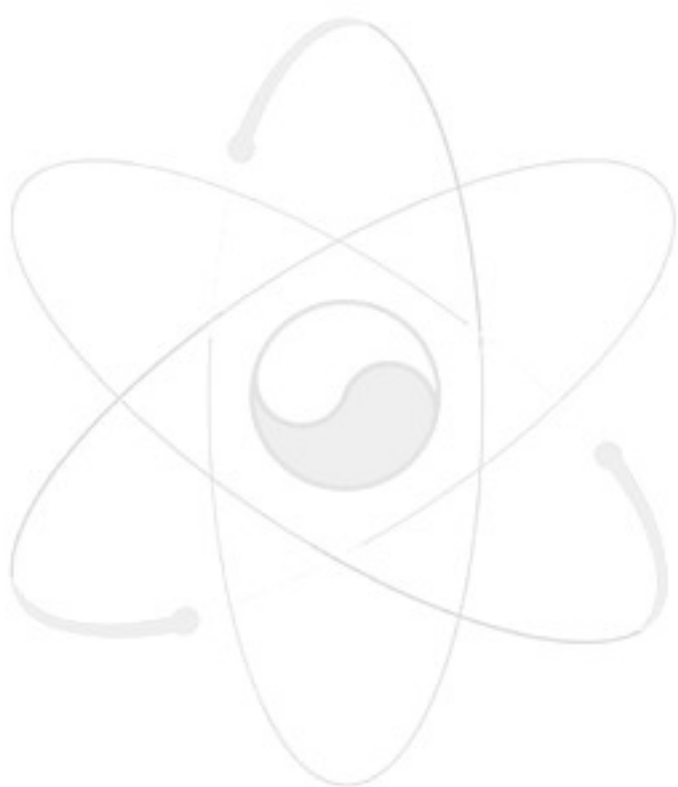
Card Group 4

Channel Layout and Dimensions

SETRI 4.0		Group control card: <i>NGROUP, N1, N2, N3, N4, N5, N6:</i> (7I10)
I10	<i>NGROUP</i>	Card group number: Must be 4
I10	<i>N1</i>	Number of channels for which informations are to be read: One data card for each channel, unless already assigned (e.g., restart cases); (N1 ≥ 1)
I10	<i>N2</i>	Total number of channels, regardless of <i>N1</i> : (1 ≤ N2 ≤ MC)
I10	<i>N3</i>	Number of gaps for which relative direction angles for crossflows are to be read: (0 ≤ N3 ≤ MG) * Requires Card SETRI 4.3 if <i>N3 > 0</i>
I10	<i>N4</i>	Number of wall-channel thermal connections: (0 ≤ N4 ≤ MW) * Requires Card SETRI 4.2 if <i>N4 > 0</i>
I10	<i>N5</i>	Logical unit from which card set SETRI 4.1 is to be read: (N5 ≥ 0): N5 = 0: Read from input deck (LU = I2 = 5) N5 > 0: Read from logical unit <i>N5</i> (LU = N5 = 9) (Not used)
I10	<i>N6</i>	Logical unit from which card set SETRI 4.3 is to be read: (N6 ≥ 0): N6 = 0: Read from input deck (LU = I2 = 5) N6 > 0: Read from logical unit <i>N6</i> (LU = N6 = 9) (Not used)
SETRI 4.1		Channel geometry data: Read in <i>N1</i> cards: <i>N, I, AC(I), PW(I), PH(I), LC(I,L), GAPS(I,L), DIST(I,L), L = 1 to 4, J = 1 to N1:</i> (I2, I8, 3F10, 4(I10, 2F10))
I2	<i>N</i>	Channel type for friction factors in SETRI 2.1 and 2.2: Default for <i>N = 0</i> is <i>N = 1</i> ; (1 ≤ N ≤ 4)
I8	<i>I</i>	Channel identification number: (1 ≤ I ≤ N2)
F10	<i>AC(I)</i>	Nominal channel flow area [in ² ; mm ²]
F10	<i>PW(I)</i>	Nominal channel wetted perimeter [in; mm]
F10	<i>PH(I)</i>	Nominal channel heated perimeter [in; mm]

I10	$LC(I,L)$	Adjacent channel identification number for up to 4 channels adjacent to channel I : If the channels are input with ascending identification numbers, only connections $LC(I,L) > I$ need to be read in; If a line of symmetry splits a gap at a boundary, $LC(I,L)$ must be negative; $-N2 \leq LC(I,L) \leq N2$
F10	$GAPS(I,L)$	Nominal gap spacing [in; mm] between channel I and the adjacent channel specified by $LC(I,L)$
F10	$DIST(I,L)$	Centroid-to-centroid distance [in; mm] between channel I and the adjacent channel specified by $LC(I,L)$: Required if $NI = 3$ in SETRI 10.0 or $N3 = 1$ in SETRI 10.0
SETRI 4.2		Wall-channel thermal connection data: Optional ($N4 > 0$); Read in $N4$ cards: KW , $RHOLCP(KW)$, $WIDTH(KW)$, $IKW(KW)$, $RWALL(1,KW)$, $JKW(KW)$, $RWALL(2,KW)$, $K = 1$ to $N4$: (I10, 2F10, 2(I10, F10))
I10	KW	Wall-channel thermal connection identification number: ($1 \leq KW \leq N4$)
F10	$RHOLCP(KW)$	Wall heat capacity parameter [Btu/ft ² - °F ; kJ/m ² - °C]
F10	$WIDTH(KW)$	Width of wall [in; mm]: Heat conduction area = $WIDTH(KW) \times DX$, where DX is axial node length
I10	$IKW(KW)$	Channel identification number adjacent to wall
F10	$RWALL(1,KW)$	Conductive resistance of the wall associated with the $IKW(KW)$ channel [sec-ft ² - °F /Btu; m ² - °C /kW]
I10	$JKW(KW)$	Channel identification number adjacent to wall
F10	$RWALL(2,KW)$	Conductive resistance of the wall associated with the $JKW(KW)$ channel [sec-ft ² - °F /Btu; m ² - °C /kW]
SETRI 4.3		Gap orientation data: Optional ($N3 > 0$): K , $ANGLE(K)$, $L = 1$ to $N3$: (5(I10, F10))
I10	K	Gap identification number for which the relative direction angle for crossflow is specified: ($1 \leq K \leq N3$)
F10	$ANGLE(K)$	Relative direction angle for positive crossflow

through gap K [positive degrees]



Card Group 5		Channel Area Variation (Optional Card Group)
SETRI 5.0		Group control card: <i>NGROUP, N1, N2, N3:</i> (4I10)
I10	<i>NGROUP</i>	Card group number: Must be 5
I10	<i>N1</i>	Number of channels for which area variation tables are to be read: $(0 \leq N1 \leq MA)$
I10	<i>N2</i>	Number of axial locations for channel area variation: Must read in at least two points; $(0 \leq N2 \leq ML)$ * Requires Cards SETRI 5.1 and 5.2 if $N2 > 0$
I10	<i>N3</i>	Number of iterations for gradual insertion of channel area variations: Default for $N3 = 0$ is $N3 = 1$; For a restart case, $N3$ must be reread if desired; $(N3 \geq 1)$
SETRI 5.1		Table of axial locations for channel area variation: Optional ($N2 > 0$): <i>AXL(L), L = 1 to N2:</i> (10F10)
F10	<i>AXL(L)</i>	Relative axial locations (X/Z) at which channel area variations will be specified; Must include 0. and 1. as end points
SETRI 5.2		Table of channel area variation factors: Optional ($N2 > 0$): For $N1$ channels, read channel area variation factors at $N2$ relative axial locations corresponding to <i>AXL(L)</i> : <i>I, AFAC(L,J), L = 1 to N2, J = 1 to N1:</i> (I10/10F10)
I10	<i>I</i>	Channel identification number for which channel area variations are being specified: Read according to (I10) format, then skip to the next card and read a complete set of factors <i>AFAC(L,J)</i> corresponding to <i>AXL(L)</i> locations; Repeat until factors for $N1$ channels are read; $(1 \leq I \leq N2$ in SETRI 4.0)
F10	<i>AFAC(L,J)</i>	Relative channel area at X/Z : Varied-to-nominal channel area ratio

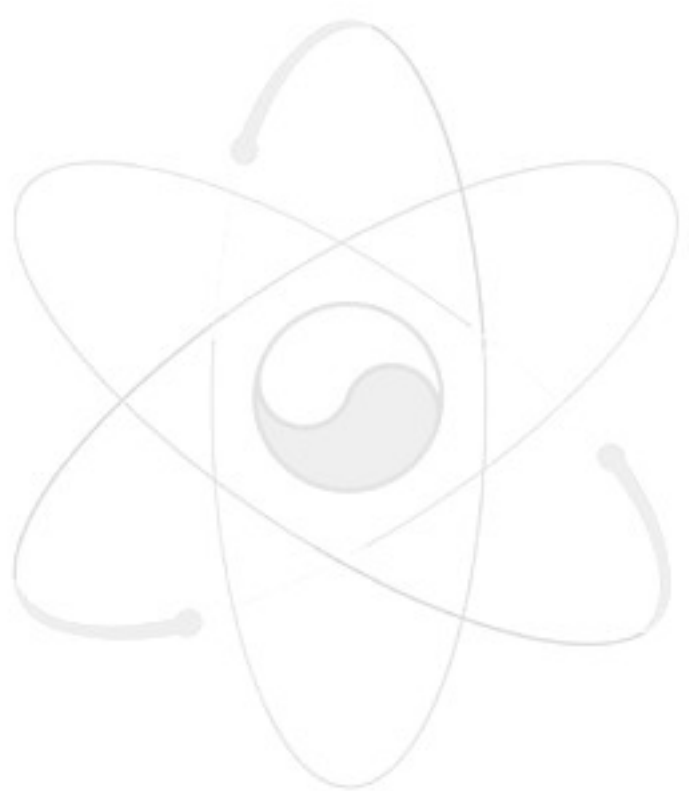
Card Group 6		Gap Spacing Variation (Optional Card Group)
SETRI 6.0		Group control card: <i>NGROUP, N1, N2:</i> (3I10)
I10	<i>NGROUP</i>	Card group number: Must be 6
I10	<i>N1</i>	Number of gaps for which gap spacing variation tables are to be read: ($0 \leq N1 \leq MS$)
I10	<i>N2</i>	Number of axial locations for gap spacing variation: Must read in at least two points; ($0 \leq N2 \leq ML$) * Requires Cards SETRI 6.1 and 6.2 if $N2 > 0$
SETRI 6.1		Table of axial locations for gap spacing variation: Optional ($N2 > 0$): <i>GAPXL(L), L = 1 to N2:</i> (10F10)
F10	<i>GAPXL(L)</i>	Relative axial locations (<i>X/Z</i>) at which gap spacing variations will be specified: Must include 0. and 1. as end points
SETRI 6.2		Table of gap spacing variation factors: Optional ($N2 > 0$): For $N1$ gaps, read gap spacing variation factors at $N2$ relative axial locations corresponding to <i>GAPXL(L)</i> : <i>K, (GFACT(L,J), L = 1 to N2), J = 1 to N1:</i> (I10/10F10)
I10	<i>K</i>	Gap identification number for which gap spacing variations are being specified: Read according to (I10) format, then skip to the next card and read a complete set of factors <i>GFACT(L,J)</i> corresponding to <i>GAPXL(L)</i> locations; Repeat until factors for $N1$ gaps are read; ($1 \leq K \leq NK$), where NK is the number of gaps
F10	<i>GFACT(L,J)</i>	Relative gap spacing at <i>X/Z</i> : Varied-to-nominal gap spacing ratio

Card Group 7

Wire Wrap and Grid Spacer Information (Optional Card Group)

SETRI 7.0		Group control card: <i>NGROUP, N1, N2, N3, N4, N5, N6:</i> (7I10)
I10	<i>NGROUP</i>	Card group number: Must be 7
I10	<i>N1</i>	Option for wire wrap / grid spacer input data: ($1 \leq N1 \leq 3$): <i>N1</i> = 1: Wire wrap input only * Requires Cards SETRI 7.1, 7.2, and 7.3 <i>N1</i> = 2: Grid spacer input only * Requires Cards SETRI 7.4 and 7.5 <i>N1</i> = 3: Both wire wrap and grid spacer input * Requires Cards SETRI 7.1 through 7.5
I10	<i>N2</i>	Number of gaps for which wire wrap crossing data are to be read: ($N2 \geq 0$)
I10	<i>N3</i>	Number of axial locations for grid spacers: ($0 \leq N3 \leq MZ$)
I10	<i>N4</i>	Number of grid spacer types: ($0 \leq N4 \leq MK$)
I10	<i>N5</i>	Number of iterations for gradual insertion of grid loss terms: Default for <i>N5</i> = 0 is <i>N5</i> = 1; For a restart case, <i>N5</i> must be reread if desired; ($N5 \geq 1$)
I10	<i>N6</i>	Logical unit from which card sets SETRI 7.2 and 7.3 are to be read: ($N6 \geq 0$): <i>N6</i> = 0: Read from input deck (<i>LU=I2=5</i>) <i>N6</i> > 0: Read from logical unit <i>N6</i> (<i>LU=N6=9</i>) (Not used)
SETRI 7.1		Wire wrap specifications: Optional (<i>N1</i> = 1 or 3): <i>PITCH, DIA, THICK:</i> (3F10)
F10	<i>PITCH</i>	Wire wrap pitch [in; mm]
F10	<i>DIA</i>	Rod outer diameter [in; mm]
F10	<i>THICK</i>	Wire wrap thickness [in; mm]
SETRI 7.2		Wire wrap crossing data: Optional (<i>N1</i> = 1 or 3): <i>K, DUR(K), (XCROSS(K,L), L=1 to 2), M=1 to N2:</i> (I10, 3F10)
I10	<i>K</i>	Gap identification number for which wire wrap crossing data are being specified:

		$(1 \leq K \leq MG)$
F10	DUR(K)	Effective fraction of a wire wrap pitch length for forced crossflow (Recommended: $DUR(K) = DX/PITCH$, where $PITCH$ is wire wrap pitch)
F10	XCROSS(K,L)	Wire wrap crossing angle [dimensionless]: Calculated by dividing the angle between the gap and wire (at the bundle inlet) by 360 deg; Positive if the wire wrap is moving from a smaller- to a larger-number channel and negative if otherwise; If the wire wrap is on a gap boundary at the bundle inlet, $XCROSS(K,L) = +1.$ or $-1.$ not zero
SETRI 7.3		Wire wrap inventory: Optional ($N1 = 1$ or 3): $NWRAP(I)$, $I = 1$ to $N2$ in SETRI 4.0: (10I10)
I10	NWRAP(I)	Number of wire wraps in each channel at the bundle inlet: If the wire wrap is on a gap boundary at the bundle inlet, the wire wrap is assumed to be in the channel into which it is proceeding
SETRI 7.4		Table of axial locations and types for grid spacers: Optional ($N1 = 2$ or 3): $GRIDXL(L)$, $IGRID(L)$, $L = 1$ to $N3$: (5(F10, I10))
F10	GRIDXL(L)	Relative axial locations (X/Z) of grid spacers
I10	IGRID(L)	Grid spacer type at X/Z
SETRI 7.5		Loss coefficient and forced crossflow (if desired) in each channel for each grid spacer type: Optional ($N1 = 2$ or 3): (J , $CD(J,I)$, K , $FXFLOW(K,I)$, $I = 1$ to $N2$ in SETRI 4.0), $I = 1$ to $N4$: (I10, F10, I10, F10)
I10	J	Channel identification number for which grid spacer data are being supplied: ($1 \leq J \leq N2$ in SETRI 4.0)
F10	CD(J,I)	Loss coefficient in channel J for grid spacer type I
I10	K	Gap associated with channel J , through which forced crossflow is specified: If blank, no forced crossflow; ($1 \leq K \leq NK$), where NK is the number of gaps
F10	FXFLOW(K,I)	Fraction of axial flow which is diverted through gap K for grid spacer type I



Card Group 8

Rod Layout, Dimensions, and Properties

SETRI 8.0		Group control card: <i>NGROUP, N1, N2, N3, N4, N5, N6, N7, N8, N9:</i> (10I10)
I10	<i>NGROUP</i>	Card group number: Must be 8
I10	<i>N1</i>	Number of rods for which informations are to be read: One data card for each rod; For restart cases or multiple case runs, it is only necessary to read new rod input; ($N1 \geq 1$)
I10	<i>N2</i>	Total number of rods, regardless of <i>N1</i> : ($1 \leq N2 \leq MR$)
I10	<i>N3</i>	Order of approximation used in fuel model: Number of fuel collocation points minus one; ($0 \leq N3 \leq MN-3$): $N3 = 0$: No fuel model ($N3 < 2$: If $N3 = 1$, then $N3 = 0$: reset) $N3 = 2$: 2nd-order collocation (3 collocation points) * Requires Card SETRI 8.2 $N3 = 3$: 3rd-order collocation (4 collocation points) * Requires Card SETRI 8.2
I10	<i>N4</i>	Number of fuel material types for which thermal properties are to be specified (Applicable only if $N3 > 1$): ($1 \leq N4 \leq MT$)
I10	<i>N5</i>	Critical heat flux: ($N5 \geq 0$): $N5 = 0$: No CHF calculations $N5 = 1$: B&W-2 correlation $N5 = 2$: W-3 correlation * Requires Card SETRI 8.5 if $N5 > 0$
I10	<i>N6</i>	Additional fuel model options (Applicable only if $N3 > 1$): ($0 \leq N6 \leq 3$): $N6 = 0$: No additional fuel model $N6 = 1$: Variable thermal conductivity only * Requires Card SETRI 8.3 $N6 = 2$: Axial conduction only $N6 = 3$: Both variable thermal conductivity and axial conduction * Requires Card SETRI 8.3 ($N6 = 2$ or 3 also specifies fluid axial conduction; No additional input required)
I10	<i>N7</i>	Heat transfer coefficient: ($0 \leq N7 \leq 1$): $N7 = 0$: Dittus-Boelter or other correlation specified in SETRI 2.3 $N7 = 1$: Complete boiling and nonboiling correlation package similar to that of RELAP-4

I10	N8	Option for axially varying fuel material (Applicable only if $N3 > 1$): $(0 \leq N8 \leq MT)$: $N8 = 0$: No axially varying fuel material: Each fuel rod is constructed of a single material $N8 > 0$: Number of fuel material configuration types for axially varying fuel material: Read in fuel zone information * Requires Card SETRI 8.4
I10	N9	Logical unit from which card set SETRI 8.1 is to be read: $(N9 \geq 0)$: $N9 = 0$: Read from input deck ($LU = I2 = 5$) $N9 > 0$: Read from logical unit $N9$ ($LU = N9 = 9$) (Not used)
SETRI 8.1		Rod data: Read in $N1$ cards: $N, I, DR(I), RADIAL(I), LR(I,L), PHI(I,L), L = 1 \text{ to } 6$, $J = 1 \text{ to } N1$: (I2, I8, 2F10, 6(I10, F10))
I2	N	Fuel shape and fuel material option: Absolute value of N determines the material property configuration of fuel I : For $N8 = 0$ (axially uniform fuel material), ABS(N) corresponds to one of $N4$ fuel materials in SETRI 8.2 of which rod I is made; For $N8 > 0$ (axially varying fuel material), ABS(N) corresponds to one of $N8$ fuel material configurations in SETRI 8.4 specifying the fuel material vs. axial height; If any rod is specified to have axially varying properties ($N8 > 0$), all rods (including axially uniform rods) must have an axial configuration specified in SETRI 8.4: $N \geq 0$: Cylindrical fuel $N < 0$: Plate fuel
I8	I	Rod identification number: $(1 \leq I \leq N2)$
F10	DR(I)	Rod outer diameter [in; mm]: If cladding is around the rod, $DR(I)$ is the cladding outer diameter
F10	RADIAL(I)	Radial power factor for rod I as a fraction of the average heat flux specified in SETRI 11.1
I10	LR(I,L)	Adjacent channel identification number for up to 6 channels surrounding rod I
F10	PHI(I,L)	Fraction of the total rod power input to adjacent channel: Fraction of the outer rod perimeter

facing the channel identified by $LR(I,L)$

SETRI 8.2		Fuel material properties: Optional ($N3 > 1$); Read in $N4$ cards corresponding to $N4$ materials for which thermal properties are specified; Each fuel rod consists of one or more of these materials: $KFUEL(I)$, $CFUEL(I)$, $RFUEL(I)$, $DFUEL(I)$, $KCLAD(I)$, $CCLAD(I)$, $RCLAD(I)$, $TCLAD(I)$, $HGAP(I)$, $I = 1$ to $N4$: (9F10)
F10	$KFUEL(I)$	Thermal conductivity of fuel [Btu/hr-ft- °F ; kW/m- °C]
F10	$CFUEL(I)$	Specific heat of fuel [Btu/lb _m - °F ; kJ/kg- °C]
F10	$RFUEL(I)$	Density of fuel [lb _m /ft ³ ; kg/m ³]
F10	$DFUEL(I)$	Fuel pellet diameter [in; mm]
F10	$KCLAD(I)$	Thermal conductivity of cladding [Btu/hr-ft- °F ; kW/m- °C]
F10	$CCLAD(I)$	Specific heat of cladding [Btu/lb _m - °F ; kJ/kg- °C]
F10	$RCLAD(I)$	Density of cladding [lb _m /ft ³ ; kg/m ³]
F10	$TCLAD(I)$	Cladding thickness [in; mm]
F10	$HGAP(I)$	Fuel-cladding gap conductance [Btu/hr-ft ² - °F ; kW/m ² - °C]
SETRI 8.3		Variable thermal conductivity: Optional ($N3 > 1$ and ($N6 = 1$ or 3)); Only applies to the material specified by the 1st card of SETRI 8.2: $TREF$, ($BK(I)$, $I = 2$ to 4): (4F10)
F10	$TREF$	Reference temperature where $k = KFUEL(1)$ [°F ; °C]
F10	$BK(I)$	Coefficients for up to 3rd-order polynomial approximation for thermal conductivity vs. temperature of the form as $k = KFUEL(1) \times (1 + BK(2) \times (T - TREF) + BK(3) \times (T - TREF)^2 + BK(4) \times (T - TREF)^3)$
SETRI 8.4		Specification of axially varying fuel materials: Optional ($N3 > 1$ and $N8 > 0$); Must read in a fuel zone configuration table for each fuel type N in SETRI 8.1: KNZ , ($ZEND(I,L)$, $IZTYP(I,L)$, $L = 1$ to KNZ), $I = 1$ to $N8$: (I10/5(F10, I10))
I10	KNZ	Number of axial zones to be read for a table of fuel material vs. axial distance for fuel type I : Read according to (I10) format, then skip to the next card

		and read a complete set of factors ZEND(<i>I,L</i>) and IZTYP(<i>I,L</i>) ; Repeat until factors for <i>N8</i> fuel material configuration types are read; ($1 \leq \text{KNZ} \leq \text{MY}$)
F10	ZEND(<i>I,L</i>)	Relative axial location (<i>X/Z</i>) of the end of a fuel zone: If fuel type <i>I</i> is axially uniform, ZEND(<i>I,1</i>) =1.
I10	IZTYP(<i>I,L</i>)	Type of fuel material in the fuel zone ending at ZEND(<i>I,L</i>) : Each IZTYP(<i>I,L</i>) corresponds to a fuel material specified in SETRI 8.2; Only fuel material type 1 can have variable thermal conductivity
SETRI 8.5		Miscellaneous CHF-related information: Optional (<i>N5 > 0</i>): ICCRIT, DEMATX, ISMV, FEDH, FEQ : (I10, F10, I10, F10, F10)
I10	ICCRIT	Identification number of the channel of MDNBR occurrence used in the coarse-mesh analysis: ICCRIT =0: Critical channel determined by calculation; ICCRIT >0: Critical channel determined by ICCRIT
F10	DEMATX	Not used.
I10	ISMV	Not used.
F10	FEDH	Not used
F10	FEQ	Not used

Card Group 9

Calculation Control

SETRI 9.0

Group control card:

NGROUP, N1, N2, N3, N4, N5, N6, N7, N8, N9:
(10I10)

I10	<i>NGROUP</i>	Card group number: Must be 9
I10	<i>N1</i>	Output print option for axial levels: $(N1 \geq 1)$: $N1 = 1$: Print all axial levels $N1 > 1$: Print every $N1$ axial levels
I10	<i>N2</i>	Output print option for time steps: $(N2 \geq 1)$: $N2 = 1$: Print all time steps $N2 > 1$: Print every $N2$ time steps
I10	<i>N3</i>	Solution algorithm to solve the problem: $(0 \leq N3 \leq 4)$: $N3 = 0$: Implicit solution (multi-pass marching scheme) with inlet flow boundary condition: Implicit steady-state and implicit transient calculations $N3 = 1$: Explicit solution with pressure drop boundary condition: Running start from implicit solution as initial condition (Not checked) $N3 = 2$: Explicit solution with pressure drop boundary condition: Standing start from zero flow initial condition (Not checked) $N3 = 3$: Explicit solution with inlet flow boundary condition: Running start from implicit solution as initial condition (Not checked) $N3 = 4$: Explicit solution with inlet flow boundary condition: Standing start from zero flow initial condition (Not checked) * Requires Cards SETRI 9.3 and 9.4 if $N3 > 0$
I10	<i>N4</i>	Problem roll option: $(0 \leq N4 \leq 1)$: $N4 = 0$: No roll option: All variables reside in core at all times $N4 = 1$: Roll option: Only 3 axial levels of information ($J-1, J$, and $J+1$) are stored in core at one time (Not checked)
I10	<i>N5</i>	Maximum time step table option (Applicable only if $N3 > 0$):

		($0 \leq N5 \leq MP$): $N5 = 0$ or 1: Maximum transient time step is FDT in SETRI 9.3 for all time $N5 > 1$: Read in $N5$ pairs of information (time, maximum time step) for variable maximum time steps (Not checked) * Requires Card SETRI 9.5
I10	N6	Number of axial zones for variable axial node length: ($0 \leq N6 \leq MX$): $N6 = 0$ or 1: Uniform axial node length $N6 > 1$: Nonuniform axial node length: Read in $N6$ pairs of information (no. of axial nodes, frac. of axial node length) for variable axial node length for each zone * Requires Card SETRI 9.6
I10	N7	Combined momentum equation solver: ($0 \leq N7 \leq 3$): $N7 = 0$: Diversion crossflow solved by SOR (Successive Over-Relaxation: Gauss-Seidel iteration modified to include over-relaxation) $N7 = 1$: Diversion crossflow solved by GE (Gauss Elimination) $N7 = 2$: Axial pressure gradient solved by SOR $N7 = 3$: Axial pressure gradient solved by GE
I10	N8	Iteration on power, rod radial peaking factor, or flow: ($0 \leq N8 \leq 3$): $N8 = 0$: No iteration $N8 = 1$: Iterate on power $N8 = 2$: Iterate on rod radial peaking factor * Requires Card SETRI 9.9 $N8 = 3$: Iterate on flow * Requires Cards SETRI 9.7 and 9.8 if $N8 > 0$
I10	N9	Debugging option for numerical stability: ($0 \leq N9 \leq 1$): $N9 = 0$: No printout $N9 = 1$: Print out the numerical stability results for coefficient matrix and source vector
SETRI 9.1		Calculation parameters: Z, TTIME, WERRX, WERRY, FERROR, KIJ, SL, FTM, THETA, USDON, DAMPNG, ACCELY, ACCELF, ZH: (14F10)
F10	Z	Total axial length [in; mm]
F10	TTIME	Total transient time [sec]
F10	WERRX	External convergence limit for crossflow: Defined for implicit crossflow solution as the maximum allowable error in iterative crossflows at any axial level; If any error is greater than WERRX ,

		the solution proceeds through another iterative axial sweep over the entire bundle; Default for WERRX ≤ 0. is 0.1
F10	WERRY	Internal convergence limit for crossflow or axial pressure gradient (Applicable only if N7 = 0 or 2): Defined for implicit crossflow or axial pressure gradient solution as the convergence limit for the SOR method at any axial level; In the code, the internal convergence limits are modified as follows: WERRYT = MAX(WERRY , MIN(0.01, QOM × 0.01)) for N7 = 0 (Diversion crossflow solved by SOR), where QOM is the maximum error in iterative crossflows at the upstream axial levels; WERRYT = WERRY × 0.001 for N7 = 2 (Axial pressure gradient solved by SOR); Default for WERRY ≤ 0. is 0.001
F10	FERROR	External convergence limit for axial flow: Defined for implicit axial flow solution as the maximum allowable error in iterative axial flows at any axial level; If any error is greater than FERROR , the solution proceeds through another iterative axial sweep over the entire bundle; Default for FERROR ≤ 0. is 0.01
F10	KIJ	Diversion crossflow resistance coefficient: Default for KIJ ≤ 0. is 0.5
F10	SL	Lateral momentum parameter: No default; (Recommended: 0.5)
F10	FTM	Turbulent momentum factor: Default for FTM < 0. is 0.
F10	THETA	Channel orientation (from vertical) [degrees]: Default for THETA = 0. is vertical; Otherwise, read in the nearest angle away from the vertical
F10	USDON	Contribution of velocities from the donor and receiver channels in u^* calculation: Default for USDON < 0. is 0.; If USDON = 0., then $u^* = 0.5 \times (u(I) + u(J))$, and if USDON = 1., then $u^* = u(I)$, where I and J are donor and receiver channels, respectively; Any value between 0. and 1. is acceptable
F10	DAMPNG	Acceleration factor for iterative pressure difference between adjacent channels: $SP(K,J,N) = DAMPNG \times SP(K,J,N) + (1 - DAMPNG) \times SP(K,J,N-1),$ where N and N-1

		are the present and previous iterations, respectively; Defined for implicit solution for pressure difference between adjacent channels; Default for DAMPNG $\leq 0.$ is 0.8
F10	ACCELY	Acceleration factor for iterative crossflow or axial pressure gradient (Applicable only if N7 = 0 or 2): $W(K,J,N) = ACCELY \times W(K,J,N)$ $+ (1. - ACCELY) \times W(K,J,N-1);$
		Defined for implicit crossflow or axial pressure gradient solution by SOR; Default for ACCELY $\leq 0.$ is 1.6
F10	ACCELF	Acceleration factor for iterative axial flow: $F(I,J,N) = ACCELF \times F(I,J,N)$ $+ (1. - ACCELF) \times F(I,J,N-1);$
		Defined for implicit axial flow solution; Default for ACCELF $\leq 0.$ is 0.7
F10	ZH	Heated axial length [in; mm]: Default for ZH $\leq 0.$ is Z
SETRI 9.2		Additional calculation parameters: NDX, NDT, NTRIES, ITRY, ITRYM: (5I10)
I10	NDX	Number of axial nodes
I10	NDT	Number of time steps: For implicit transients, the time step size is TTIME/NDT ; For explicit transients, the time step size is problem-dependent with NDT and TTIME being the limits on the total number of time steps and length of the transient
I10	NTRIES	Maximum number of external iterations allowed in implicit solution scheme, regardless of WERRX and FERROR : Default for NTRIES ≤ 0 is 20
I10	ITRY	Maximum number of internal iterations allowed in implicit solution scheme, regardless of WERRY (Applicable only if N7 = 0 or 2): Default for ITRY ≤ 0 is MAX(2× NK ,20), where NK is the number of gaps
I10	ITRYM	Minimum number of iterations in the internal crossflow solution for implicit solution scheme, regardless of convergence (Applicable only if N7 = 0): Default for ITRYM ≤ 0 is 5
SETRI 9.3		Calculation parameters for explicit solution scheme (Not checked):

		Optional ($N3 > 0$): <i>FCOUR, FDT, XZERR, YZERR,</i> <i>THX, THD, ACCEL1, ACCEL2:</i> (8F10)
F10	<i>FCOUR</i>	Courant time step limitation parameter: <i>FCOUR</i> = velocity $\times DT/DX$, where <i>DT</i> is time step size; Default for <i>FCOUR</i> ≤ 0 . or <i>FCOUR</i> > 1 . is 0.2
F10	<i>FDT</i>	Maximum time step regardless of <i>FCOUR</i> [sec]: No default
F10	<i>XZERR</i>	Iterative flow field convergence limit for explicit solution scheme: Default for <i>XZERR</i> ≤ 0 . is 0.001
F10	<i>YZERR</i>	Iterative energy field convergence limit for explicit solution scheme (Not used): Default for <i>YZERR</i> ≤ 0 . is 0.0001
F10	<i>THX</i>	For <i>THX</i> = 1., the integrated liquid level is printed for each channel at each time step; For <i>THX</i> = 0., No liquid level printout
F10	<i>THD</i>	For <i>THD</i> = 1., optional interface sharpening parameter, equivalent to the downward liquid velocity
F10	<i>ACCEL1</i>	Acceleration factor for iterative current pressure change: Defined for explicit solution; Default for <i>ACCEL1</i> ≤ 0 . is 1.
F10	<i>ACCEL2</i>	Acceleration factor for pressure change from last iteration (Not used): Defined for explicit solution; Default for <i>ACCEL2</i> ≤ 0 . is 0.
SETRI 9.4		Additional calculation parameters for explicit solution scheme (Not checked): Optional ($N3 > 0$): <i>NTRYX, NTRYY, KNOFLO, JNOFLO:</i> (4I10)
I10	<i>NTRYX</i>	Maximum number of allowable iterations in the flow solution for explicit solution scheme, regardless of <i>XZERR</i> : Default for <i>NTRYX</i> ≤ 0 is 100
I10	<i>NTRYY</i>	Maximum number of allowable iterations in the energy solution for explicit solution scheme, regardless of <i>YZERR</i> (Not used): Default for <i>NTRYY</i> ≤ 0 is 20
I10	<i>KNOFLO</i>	No crossflow permitted through gap identification number <i>KNOFLO</i> or less, at and above the axial node <i>JNOFLO</i>

I10	JNOFLO	No crossflow permitted through gap identification number KNOFLO or less, at and above the axial node JNOFLO
SETRI 9.5		Table of maximum time step size for explicit solution scheme (Not checked): Optional ($N3 > 0$ and $N5 > 1$): $\mathbf{YT}(L), \mathbf{FT}(L)$, $L = 1$ to $N5$: (10F10)
F10	YT(L)	Time for maximum time step [sec]: Must include 0.
F10	FT(L)	Maximum time step size allowed at this time [sec]
SETRI 9.6		Table of variable axial node length: Optional ($N6 > 1$): $\mathbf{NVDX}(I), \mathbf{VDX}(I)$, $I = 1$ to $N6$: (5(I10, F10))
I10	NVDX(I)	Number of axial nodes in I -th axial zone
F10	VDX(I)	Fractional axial node length (DX/Z) for I -th axial zone
SETRI 9.7		Calculation parameters for power, rod radial peaking factor, or flow iteration: Optional ($N8 > 0$): LIMTYP, ITMAX, NRODAD : (3I10)
I10	LIMTYP	Limits to be used in the iterative solution: For LIMTYP =0, limits are on DNBR and coolant quality at the MDNBR location, and core average exit enthalpy may not exceed saturation; For LIMTYP =1, limits are on DNBR and coolant quality at the MDNBR location
I10	ITMAX	Maximum number of iterations: Default for ITMAX ≤0 is 20
I10	NRODAD	Number of rods to be adjusted: Optional ($N8 = 2$)
SETRI 9.8		Calculation parameters for power, rod radial peaking factor, or flow iteration: Optional ($N8 > 0$): DDNBR, DNBRCO, DNBRTOL, QUALMX, QUALCO, QUALTOL, TOLQ, TOLG : (8F10)
F10	DDNBR	Desired MDNBR
F10	DNBRCO	DNBR adjustment coefficient: Default for DNBRCO =0. is -0.4 if $N8 = 1$ or 2 Default for DNBRCO =0. is 0.3 if $N8 = 3$
F10	DNBRTOL	DNBR tolerance: Default for DNBRTOL ≤0. is 0.005

F10	<i>QUALMX</i>	Maximum coolant quality at the MDNBR location
F10	<i>QUALCO</i>	Coolant quality adjustment coefficient: Default for $QUALCO = 0.$ is 5.0 if $N8 = 1$ or 2 Default for $QUALCO = 0.$ is -1.4 if $N8 = 3$
F10	<i>QUALTOL</i>	Maximum local coolant quality tolerance: Default for $QUALTOL \leq 0.$ is 0.005
F10	<i>TOLQ</i>	Tolerance on adjustment of power or rod radial peaking factor: Default for $TOLQ \leq 0.$ is 0.0025
F10	<i>TOLG</i>	Tolerance on adjustment of flow: Default for $TOLG \leq 0.$ is 0.0025
SETRI 9.9		Identification numbers of the rods to be adjusted in ascending order: Optional ($N8 = 2$): <i>IRODAD(L)</i> , $L = 1$ to <i>NRODAD</i> : (10I10)
I10	<i>IRODAD(L)</i>	Identification numbers of the rods to be adjusted



Card Group 10

Lateral Transport Models

		SETRI 10.0	Group control card: <i>NGROUP, N1, N2, N3, N4, N5, N6, N7, N8, N9:</i> (10I10)
I10	<i>NGROUP</i>		Card group number: Must be 10
I10	<i>N1</i>		Single-phase turbulent mixing correlation: ($0 \leq N1 \leq 3$): $N1 = 0$: $w' = ABETA \times (G \times s)$ $N1 = 1$: $w' = ABETA \times Re^{BBETA} \times (G \times s)$ $N1 = 2$: $w' = ABETA \times Re^{BBETA} \times (G \times D)$ $N1 = 3$: $w' = ABETA \times Re^{BBETA} \times (G \times D) \times (s/z)$
I10	<i>N2</i>		Two-phase turbulent mixing correlation for equal mass exchange model (Applicable only if $N5 = 0$): ($0 \leq N2 \leq MP$): $N2 = 0$ or 1 : Assumed to be the same as single-phase $N2 > 1$: Turbulent mixing parameter is a function of quality or void fraction: Read in $N2$ pairs of data for a table of two-phase turbulent mixing parameter vs. quality or void fraction * Requires Card SETRI 10.2
I10	<i>N3</i>		Radial thermal conduction mixing: ($0 \leq N3 \leq 1$): $N3 = 0$: No thermal conduction $N3 = 1$: Read in geometry factor for radial thermal conduction mixing * Requires Card SETRI 10.3
I10	<i>N4</i>		Independent variable of two-phase turbulent mixing correlation for equal mass exchange model (Applicable only if $N5 = 0$ and $N2 > 1$): ($0 \leq N4 \leq 1$): $N4 = 0$: Quality $N4 = 1$: Void fraction
I10	<i>N5</i>		Turbulent mixing model: ($0 \leq N5 \leq 1$): $N5 = 0$: Equal mass exchange turbulent mixing model $N5 = 1$: Equal volume exchange turbulent mixing model
I10	<i>N6</i>		Void drift model (Applicable only if $N5 = 1$): ($0 \leq N6 \leq 1$): $N6 = 0$: No void drift model $N6 = 1$: Read in void drift correction factor * Requires Card SETRI 10.4
I10	<i>N7</i>		Type of void drift correction factor (Applicable only if $N5 = 1$ and $N6 = 1$): ($0 \leq N7 \leq 3$):

		$N7 = 0$: Independent of flow regime (KAERI) $N7 = 1$: Independent of flow regime (MIT) $N7 = 2$: Dependent on flow regime (KAERI) $N7 = 3$: Dependent on flow regime and pressure (KAERI): (Recommended)
I10	N8	Two-phase turbulent mixing multiplier model: $(0 \leq N8 \leq 1)$: $N8 = 0$: No model $N8 = 1$: Beus model: (Recommended)
I10	N9	Debugging option for lateral exchange: $(0 \leq N9 \leq 1)$: $N9 = 0$: No printout $N9 = 1$: Print out the lateral exchange results for the key channels 1, 2, and 3
SETRI 10.1		Single-phase turbulent mixing correlation constants: ABETA , BBETA : (2F10)
F10	ABETA	Constant of the correlations specified in the NI option
F10	BBETA	Constant of the correlations specified in the NI option
SETRI 10.2		Table of two-phase turbulent mixing parameter vs. quality or void fraction for equal mass exchange model: Optional ($N5 = 0$ and $N2 > 1$): XQUAL(L) , BX(L) , $L = 1$ to $N2$: (10F10)
F10	XQUAL(L)	Quality ($N4 = 0$) or void fraction ($N4 = 1$)
F10	BX(L)	Two-phase turbulent mixing parameter
SETRI 10.3		Geometry factor for radial thermal conduction mixing: Optional ($N3 = 1$): GK : (F10)
F10	GK	Geometry factor for radial thermal conduction mixing: Normally greater than 1.
SETRI 10.4		Void drift correction factor (CVD): Optional ($N5 = 1$ and $N6 = 1$): CVDB , CVDA , CVDB1 , CVDB2 : (4F10)
F10	CVDB	Void drift correction factor for bubbly-slug flow regime: Required for $N7 = 0, 1, 2$; If $N7 = 0$, CVD is independent of flow regime (KAERI) (Recommended: CVDB = 3. at BWR pressure /about 1000 psia)); If $N7 = 1$, CVD is independent of flow regime (MIT: Kelly et al.: THERMIT-2), CVD (MIT) = CVD (KAERI)

\times (average void fraction at gap)
 (Recommended: $CVDB = 1.4$ at BWR pressure
 (about 1000 psia));
 If $N7 = 2$,
 CVD is dependent on flow regime (KAERI)
 (Recommended: $CVDB = 1.5$ at BWR pressure
 (about 1000 psia) for bubbly-slug flow regime;
 At PWR pressure (about 2250 psia),
 $CVDB = 0.$ is temporarily recommended);
 If $N7 = 3$,
 CVD is dependent on flow regime and pressure
 (KAERI)
 (Recommended: $CVDB = 0.$;
 $CVDB$ is re-calculated using $CVDB1$ and $CVDB2$
 in the code)

F10	$CVDA$	<p>Void drift correction factor for annular flow regime: Required for $N7 = 2, 3$;</p> <p>If $N7 = 0$, $CVDA = CVDB$ (Default);</p> <p>If $N7 = 1$, $CVDA = CVDB$ (Default);</p> <p>If $N7 = 2$, CVD is dependent on flow regime (KAERI) (Recommended: $CVDA = 5.$ at BWR pressure (about 1000 psia) for annular flow regime; At PWR pressure (about 2250 psia), $CVDA = 0.$ is temporarily recommended);</p> <p>If $N7 = 3$, $CVDA = 10.$ (Recommended)</p>
F10	$CVDB1$	<p>Void drift correction factor for bubbly-slug flow regime: Required for $N7 = 3$ $CVDB1 = 0.72$ (Recommended)</p>
F10	$CVDB2$	<p>Void drift correction factor for bubbly-slug flow regime: Required for $N7 = 3$ $CVDB2 = 1.33$ (Recommended)</p>

Card Group 11

Operating Conditions and Transient Forcing Functions

SETRI 11.0		Group control card: <i>NGROUP, N1, N2, N3, N4, N5, N6, N7, N8, N9, N10:</i> (11I10)
I10	<i>NGROUP</i>	Card group number: Must be 11
I10	<i>N1</i>	Option for specified inlet enthalpy or temperature: ($0 \leq N1 \leq 3$): $N1 = 0$: Uniform inlet enthalpy <i>HIN</i> specified in SETRI 11.1 $N1 = 1$: Uniform inlet temperature <i>HIN</i> specified in SETRI 11.1 $N1 = 2$: Individual channel inlet enthalpy * Requires Card SETRI 11.2 $N1 = 3$: Individual channel inlet temperature * Requires Card SETRI 11.2
I10	<i>N2</i>	Option for specified inlet mass velocity: ($0 \leq N2 \leq 3$): $N2 = 0$: Uniform inlet mass velocity <i>GIN</i> specified in SETRI 11.1 $N2 = 1$: Average bundle mass velocity <i>GIN</i> specified in SETRI 11.1 but channel inlet flows split for equal pressure gradient across the 1st axial node $N2 = 2$: Average bundle mass velocity <i>GIN</i> specified in SETRI 11.1 but channel inlet flows split by individual channel inlet flow fraction * Requires Card SETRI 11.3 $N2 = 3$: Average bundle mass velocity <i>GIN</i> specified in SETRI 11.1 but channel inlet flows split by individual channel inlet mass velocity fraction * Requires Card SETRI 11.3
I10	<i>N3</i>	Transient forcing function for system (exit) pressure: ($0 \leq N3 \leq MP$): $N3 = 0$ or 1: No $N3 > 1$: Read in <i>N3</i> pairs of values for a table of system pressure factor vs. time * Requires Card SETRI 11.4
I10	<i>N4</i>	Transient forcing function for inlet enthalpy or temperature: ($-MP \leq N4 \leq MP$): $N4 = -1, 0$, or 1: No $N4 > 1$: Read in <i>N4</i> pairs of values for a table of inlet enthalpy or temperature factor vs. time * Requires Card SETRI 11.5 $N4 < -1$: Read in ABS(<i>N4</i>) sets of values for a table of inlet enthalpy or temperature factors vs. time;

		For ABS(N4) transient times, read in inlet enthalpy or temperature factor at each channel * Requires Card SETRI 11.5a
I10	N5	Transient forcing function for inlet mass velocity or pressure drop: ($0 \leq N5 \leq MP$): N5 = 0 or 1: No N5 > 1: Read in N5 pairs of values for a table of inlet mass velocity factor, pressure drop, or pressure drop factor vs. time * Requires Card SETRI 11.6
I10	N6	Transient forcing function for average heat flux: ($0 \leq N6 \leq MP$): N6 = 0 or 1: No N6 > 1: Read in N6 pairs of values for a table of average heat flux factor vs. time * Requires Card SETRI 11.7
I10	N7	Option for pressure drop boundary condition transients (Applicable only if N3 = 1 or 2 in SETRI 9.0, and N5 > 1): ($0 \leq N7 \leq 1$): N7 = 0: Read in N5 pairs of values for a table of pressure drop (psi) vs. time N7 = 1: Read in N5 pairs of values for a table of pressure drop factor vs. time
I10	N8	Transient forcing function for exit enthalpy: ($0 \leq N8 \leq MP$): N8 = 0 or 1: No N8 > 1: Read in N8 pairs of values for a table of exit enthalpy factor vs. time * Requires Card SETRI 11.8
I10	N9	Transient forcing function for axial power distribution: ($0 \leq N9 \leq MP$): N9 = 0 or 1: No N9 > 1: Read in N9 sets of values for a table of axial peaking factors vs. time; For N9 transient times, read in axial peaking factor at each axial location corresponding to Y(L) specified in SETRI 3.1 * Requires Card SETRI 11.9
I10	N10	Transient forcing function for radial power distribution: ($0 \leq N10 \leq MP$): N10 = 0 or 1: No N10 > 1: Read in N10 sets of values for a table of radial peaking factors vs. time; For N10 transient times, read in radial peaking factor at each rod corresponding to I specified in SETRI 8.1 * Requires Card SETRI 11.10

SETRI 11.1		Operating conditions: <i>P EXIT, H IN, G IN, AFLUX, H OUT, DPS,</i> <i>Q MOD:</i> (7F10)
F10	<i>P EXIT</i>	System reference (exit) pressure [psia; MPa]
F10	<i>H IN</i>	Inlet enthalpy or temperature depending on <i>N I</i> : If <i>H IN</i> is negative, the inlet enthalpy will be either the absolute value of <i>H IN</i> or the last calculated 1st node enthalpy if the flow has reversed; If <i>N I</i> = 0 or 2 , <i>H IN</i> is inlet enthalpy [Btu/lb _m ; kJ/kg]; If <i>N I</i> = 1 or 3 , <i>H IN</i> is inlet temperature [°F ; °C]
F10	<i>G IN</i>	Inlet mass velocity to be distributed by the <i>N 2</i> option [Mlb _m /hr-ft ² ; kg/sec-m ²]
F10	<i>AFLUX</i>	Average heat flux [MBtu/hr-ft ² ; kW/m ²]
F10	<i>H OUT</i>	Exit enthalpy [Btu/lb _m ; kJ/kg]: If <i>H OUT</i> is specified, and the flow reverses, the new exit enthalpy will be <i>H OUT</i> ; Otherwise, for <i>H OUT</i> blank, the new exit enthalpy will be the calculated exit enthalpy before reversal
F10	<i>DPS</i>	Pressure drop [psi; MPa]: Option to specify a pressure drop rather than a flow boundary condition in the steady-state implicit solution scheme; The code iterates on the total inlet flow rate until the calculated pressure drop is close to <i>DPS</i>
F10	<i>Q MOD</i>	Fraction of heat generated in the moderator
SETRI 11.2		Individual channel inlet enthalpy or temperature: Optional (<i>N I</i> = 2 or 3): <i>H INLET(I)</i> , <i>I</i> = 1 to <i>N 2</i> in SETRI 4.0: (10F10)
F10	<i>H INLET(I)</i>	Inlet enthalpy or temperature of each channel: If <i>N I</i> = 2 , <i>H INLET(I)</i> is inlet enthalpy [Btu/lb _m ; kJ/kg] If <i>N I</i> = 3 , <i>H INLET(I)</i> is inlet temperature [°F ; °C]
SETRI 11.3		Individual channel inlet flow fraction or mass velocity fraction: Optional (<i>N 2</i> = 2 or 3): <i>FINLET(I)</i> , <i>I</i> = 1 to <i>N 2</i> in SETRI 4.0: (10F10)
F10	<i>FINLET(I)</i>	Inlet flow fraction or mass velocity fraction of each channel: If <i>N 2</i> = 2 , <i>FINLET(I)</i> is inlet flow fraction (Ratio of mass flow rate of each channel to that of total channels) If <i>N 2</i> = 3 , <i>FINLET(I)</i> is inlet mass velocity fraction
SETRI 11.4		Transient forcing function for system (exit) pressure: Optional (<i>N 3</i> > 1): <i>Y P(L), F P(L)</i> , <i>L</i> = 1 to <i>N 3</i> : (10F10)

F10	$YP(L)$	Transient time [sec]: Must include 0.
F10	$FP(L)$	Fraction of steady-state system (exit) pressure
SETRI 11.5		Transient forcing function for inlet enthalpy or temperature (global): Optional ($N4 > 1$): $YH(L), FH(L), L = 1$ to $N4$: (10F10)
F10	$YH(L)$	Transient time [sec]: Must include 0.
F10	$FH(L)$	Fraction of steady-state inlet enthalpy ($N1 = 0$ or 2) or temperature ($N1 = 1$ or 3)
SETRI 11.5a		Transient forcing function for inlet enthalpy or temperature (local): Optional ($N4 < -1$): $YH(L), (FHC(I,L), I = 1$ to $N2$ in SETRI 4.0), $L = 1$ to $\text{ABS}(N4)$: (F10/10F10)
F10	$YH(L)$	Transient time [sec]: Must include 0.
F10	$FHC(I,L)$	Fraction of steady-state inlet enthalpy ($N1 = 0$ or 2) or temperature ($N1 = 1$ or 3) at each channel
SETRI 11.6		Transient forcing function for inlet mass velocity or pressure drop: Optional ($N5 > 1$): $YG(L), FG(L), L = 1$ to $N5$: (10F10)
F10	$YG(L)$	Transient time [sec]: Must include 0.
F10	$FG(L)$	Fraction of steady-state inlet mass velocity ($N3 = 0, 3$, or 4 in SETRI 9.0); Pressure drop (psi) ($(N3 = 1$ or 2 in SETRI 9.0) and $N7 = 0$); Fraction of steady-state pressure drop ($(N3 = 1$ or 2 in SETRI 9.0) and $N7 = 1$)
SETRI 11.7		Transient forcing function for average heat flux: Optional ($N6 > 1$): $YQ(L), FQ(L), L = 1$ to $N6$: (10F10)
F10	$YQ(L)$	Transient time [sec]: Must include 0.
F10	$FQ(L)$	Fraction of steady-state average heat flux
SETRI 11.8		Transient forcing function for exit enthalpy: Optional ($N8 > 1$):

		$YHX(L), FHX(L)$, $L = 1$ to $N8$: (10F10)
F10	$YHX(L)$	Transient time [sec]: Must include 0.
F10	$FHX(L)$	Fraction of steady-state exit enthalpy, $HOUT$ in SETRI 11.1
SETRI 11.9		Transient forcing function for axial power distribution: Optional ($N9 > 1$): $YQX(L), (FQX(I,L), I = 1$ to $N1$ in SETRI 3.0), $L = 1$ to $N9$: (F10/10F10)
F10	$YQX(L)$	Transient time [sec]: Must include 0.
F10	$FQX(I,L)$	Axial peaking factor at each axial location corresponding to $Y(L)$ specified in SETRI 3.1
SETRI 11.10		Transient forcing function for radial power distribution: Optional ($N10 > 1$): $YQR(L), (FQR(I,L), I = 1$ to $N1$ in SETRI 8.0), $L = 1$ to $N10$: (F10/10F10)
F10	$YQR(L)$	Transient time [sec]: Must include 0.
F10	$FQR(I,L)$	Radial peaking factor at each rod corresponding to I specified in SETRI 8.1

Card Group 12

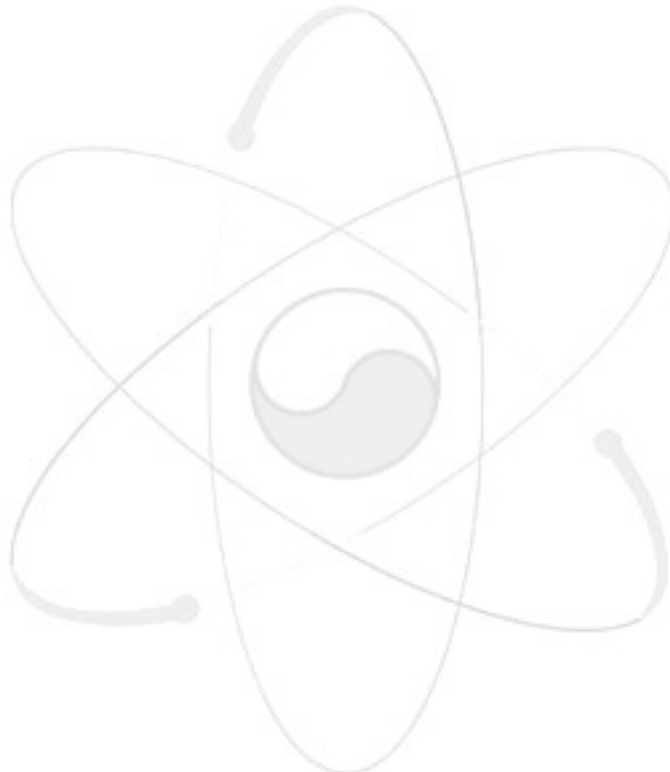
Output Display Options

		SETRI 12.0	Group control card: <i>NGROUP, N1, N2, N3, N4, N5, N6, N7, N8:</i> (9I10)
I10		<i>NGROUP</i>	Card group number: Must be 12
I10		<i>N1</i>	Output print option: $(0 \leq N1 \leq 3)$: $N1 = 0$: Print channel results only $N1 = 1$: Print channel and gap crossflow results only $N1 = 2$: Print channel and rod results only $N1 = 3$: Print channel, gap crossflow, and rod results
I10		<i>N2</i>	Output print option for channel results: $(0 \leq N2 \leq MC)$: $N2 = 0$: Print all channel results $N2 > 0$: Read in <i>N2</i> channel identification numbers of channels to be printed * Requires Card SETRI 12.1
I10		<i>N3</i>	Output print option for rod results: If <i>N5</i> > 0 in SETRI 8.0, CHF data are also printed along with the rod results; $(0 \leq N3 \leq MR)$: $N3 = 0$: Print all rod results $N3 > 0$: Read in <i>N3</i> rod identification numbers of rods to be printed * Requires Card SETRI 12.2
I10		<i>N4</i>	Output print option for fuel (pellet) node temperatures for all rods specified by <i>N3</i> (Applicable only if <i>N3</i> > 1 in SETRI 8.0): $(2 \leq N4 \leq 7)$: $N4 = 2$: Print rod centerline and surface temperatures along with cladding surface and fluid temperatures (If <i>N4</i> ≤ 2, then <i>N4</i> = 2: reset) $N4 > 2$: Print <i>N4</i> equally spaced interior rod temperatures (including rod centerline and surface temperatures) along with cladding surface and fluid temperatures
I10		<i>N5</i>	Output print option for gap crossflow results: $(0 \leq N5 \leq MG)$: $N5 = 0$: Print all gap crossflows $N5 > 0$: Read in <i>N5</i> gap identification numbers of gaps to be printed * Requires Card SETRI 12.3
I10		<i>N6</i>	Output plotting option for transients: $(N6 \geq 0)$: $N6 = 0$: No $N6 > 0$: Plot every <i>N6</i> time steps: Read in 4 sets of maximum and minimum coordinates

		for the 4 variables plotted * Requires Card SETRI 12.6
I10	<i>N7</i>	Output plotting option for channel transients (Applicable only if <i>N6</i> > 0): $(0 \leq N7 \leq MC)$: $N7 = 0$: Plot all channel results $N7 > 0$: Read in <i>N7</i> channel identification numbers of channels to be plotted * Requires Card SETRI 12.4
I10	<i>N8</i>	Output plotting option for gap crossflow transients (Applicable only if <i>N6</i> > 0): $(0 \leq N8 \leq MG)$: $N8 = 0$: Plot all gap crossflows $N8 > 0$: Read in <i>N8</i> gap identification numbers of gaps to be plotted * Requires Card SETRI 12.5
SETRI 12.1		Identification numbers of channels to be printed: Optional (<i>N2</i> > 0): <i>PRINTC(L)</i> , $L = 1$ to <i>N2</i> : (10I10)
I10	<i>PRINTC(L)</i>	Identification numbers of channels for which results to be printed
SETRI 12.2		Identification numbers of rods to be printed: Optional (<i>N3</i> > 0): <i>PRINTR(L)</i> , $L = 1$ to <i>N3</i> : (10I10)
I10	<i>PRINTR(L)</i>	Identification numbers of rods for which results to be printed
SETRI 12.3		Identification numbers of gaps to be printed: Optional (<i>N5</i> > 0): <i>PRINTG(L)</i> , $L = 1$ to <i>N5</i> : (10I10)
I10	<i>PRINTG(L)</i>	Identification numbers of gaps for which results to be printed
SETRI 12.4		Identification numbers of channels to be plotted: Optional (<i>N7</i> > 0): <i>IPLTCH(L)</i> , $L = 1$ to <i>N7</i> : (10I10)
I10	<i>IPLTCH(L)</i>	Identification numbers of channels for which results to be plotted
SETRI 12.5		Identification numbers of gaps to be plotted: Optional (<i>N8</i> > 0): <i>IPLTGP(L)</i> , $L = 1$ to <i>N8</i> : (10I10)
I10	<i>IPLTGP(L)</i>	Identification numbers of gaps for which results to be plotted
SETRI 12.6		Maximum and minimum coordinates for the 4 variables plotted:

Optional ($N6 > 0$);
Mass velocity, enthalpy, and pressure drop are plotted
for each channel specified,
and crossflow is plotted for each gap specified;
If $HIP(I) = 0$, that quantity is not plotted:
 $HIP(I), ZPT(I)$, $I = 1$ to 4: (8F10)

F10	$HIP(I)$	Maximum coordinates for the 4 variables plotted: $HIP(1)$: Mass velocity [$Mlb_m/\text{hr}\cdot\text{ft}^2$; $\text{kg/sec}\cdot\text{m}^2$] $HIP(2)$: Enthalpy [$k\text{Btu}/lb_m$; kJ/kg] $HIP(3)$: Pressure drop [psi; MPa] $HIP(4)$: Crossflow [$lb_m/\text{sec}\cdot\text{ft}$; $\text{kg/sec}\cdot\text{m}$]
F10	$ZPT(I)$	Minimum coordinates for the 4 variables plotted: $ZPT(1)$: Mass velocity [$Mlb_m/\text{hr}\cdot\text{ft}^2$; $\text{kg/sec}\cdot\text{m}^2$] $ZPT(2)$: Enthalpy [$k\text{Btu}/lb_m$; kJ/kg] $ZPT(3)$: Pressure drop [psi; MPa] $ZPT(4)$: Crossflow [$lb_m/\text{sec}\cdot\text{ft}$; $\text{kg/sec}\cdot\text{m}$]



-2.

MATRA

Each modifications can be found by comment '!v1.03' in source FORTRAN files.

APROP.F was added for interface of selecting the proper property function.

[APROP.F]

```
FUNCTION APROP (I1,P1,P2)

INCLUDE 'spec/spec35'

SELECT CASE (J9)
CASE (1)
    ! J9=1, TAF
    APROP = TAF(I1, P1, P2)
CASE (2)
    ! J9=2, NIST Steam Database
    APROP = PROPSTM(I1, P1, P2)
CASE (3)
    ! J9=2, IF97 Steam Table by Kim Soo Hyung (KAERI)
    ! TAF = TAF_IF97(I1, P1, P2)
CASE (4)
    ! J9=4, NIST RefProp v.7, Refrigerant Properties.
    APROP = PROPREF(I1, P1, P2)
CASE (5)
    ! J9=5, Helium for Ideal Gas
    APROP = PROPHE(I1, P1, P2)
END SELECT

RETURN
END
```

These three function files were added for property calculation:

[PROPSTM.F] NIST ASME Steam Database for Water and Steam's Properties

[PROPREF.F] NIST RefProp for Refrigerant's Properties

[PROPHE.F] Ideal Gas Function for He Properties

[PSA.F] and [TSA.F] were modified to consider new coolants and supercritical conditions.

[PSA.F] & [TSA.F]

```
INCLUDE 'spec/spec35'

SELECT CASE (J9)
CASE (2)
...
CASE (3)
...
CASE (4)
...
CASE (5)
...
END SELECT
```

J9 option was extended to 5 and all related codes were modified as follows:

```
AII [SELECT CASE (J9)]
```

```
    SELECT CASE (J9)
    CASE (0)
    CASE (1:) <--- (1)
    END SELECT
```

Supercritical features were considered and implemented in [PROP.F].

And then [VOID.F], [RESULT.F] and [SETRI.F] were modified to consider supercritical feature.

```
[PROP.F]
```

```
    SELECT CASE (IPART) ! Case for calculation of properties
    CASE (1) ! Calculates saturated fluid properties
        SELECT CASE (J9) ! Method for calculation of fluid properties
        CASE (1:) ! Direct calculation of saturated fluid properties
                    ! from Function TAF
        ...
        IF (ISINGLE .EQ. 1) THEN ! Always single phase
            HFG = 1.D+10
            TF = 1.D+10
            HF = 1.D+10
            HG = 1.D+10 + 1.D0
            HFG = 1.D+10
        ENDIF
        ...
    END SELECT
    ...
    CASE (2) ! Calculates subcooled or superheated fluid properties
    ! and calculates miscellaneous parameters
    ! SELECT CASE (J9) ! Method for calculation of fluid properties
    ! CASE (1:) ! Direct calculation of saturated fluid properties
                ! from Function TAF
    ...
    DO JP=1,NDXP1
        DO I=1,NCHANL
            ...
            IF (ISINGLE .EQ. 0) THEN
                TFL(I,J) =TFLS(I,J)*1.8D0+32.D0
                HFL(I,J) =APROP(102,PLS(I,J),TFLS(I,J))*CFH
                HGL(I,J) =APROP(-102,PLS(I,J),TFLS(I,J))*CFH
                HFGL(I,J)=HGL(I,J)-HFL(I,J)
            ELSE
                TFL(I,J) = 1.D10
                HFL(I,J) = 1.D10
                HGL(I,J) = 1.D10 + 1.D0
                HFGL(I,J) = 1.D10
            ENDIF
        END DO
    END DO
    END SELECT
END SELECT
```

```
[VOID.F]
```

```
DO I=1,NCHANL
...
IF (J3.NE.0) THEN ! No homogeneous model for bulk void fraction
...
IF (HFGL(I,J) .LE. 0.99D10) THEN
```

```

        QUAL(I)=DMIN1(DMAX1(QUAL(I),0.D0),1.D0)
    ELSE
        QUAL(I)=0.D0
    ENDIF
    ...
ENDIF
...
QUAL(I)=(HU-HFL(I,J))/HFGL(I,J)
IF (HFGL(I,J) .LE. 0.99D10) THEN
    QUAL(I)=DMIN1(DMAX1(QUAL(I),0.D0),1.D0)
ELSE
    QUAL(I)=0.D0
ENDIF
...
END DO

```

[RESULT.F]

```

!---- Channel exit summary
    IF (HFGL(I,NDXP1) .GT. 0.99D10) THEN
        OUTPUT(2)=0.D0
    ELSE
        OUTPUT(2)=(H(I,NDXP1)-HFL(I,NDXP1))/HFGL(I,NDXP1)
            ! [Dimensionless]
    ENDIF
    ...
!---- Bundle averaged results
    IF (HFGAVG .LT. 0.99D10) THEN
        OUTPUT(6)=(OUTPUT(3)-HFAVG)/HFGAVG    ! [Dimensionless]
    ELSE
        OUTPUT(6)=0.D0
    ENDIF
    ...
!---- Channel results (no roll option)
    IF(HFGL(I,J) .GT. 0.99D10) THEN
        OUTPUT(6)=0.D0
    ELSE
        OUTPUT(6)=(H(I,J)-HFL(I,J))/HFGL(I,J)    ! [Dimensionless]
    ENDIF
    ...

```

[SETRI.F]

```

! SETRI 11.3
...
IF (HFG.GT.0.99D10) THEN
    XIN=0.D0
ELSE
    XIN=(HIN-HF)/HFG
ENDIF
...

```

[READBUF.F] was added and [LOAD.F] and [SETRI.F] were modified to read input and process input comments.

[MATRA.F] was modified to enhance the user interface.

This is the screen message of normal MATRA program execution.

E:\MATRA.X\Run>matra

```
MATRA.X v1.03 (2005.08.03)
```

```
INPUT (w/o extension) : winfrith.freon      ← user input  
INPUT FILE : winfrith.freon.inp  
OUTPUT FILE : winfrith.freon.out
```

```
E:\MATRA.X\Run>
```

Console batch job is now supported by program argument :

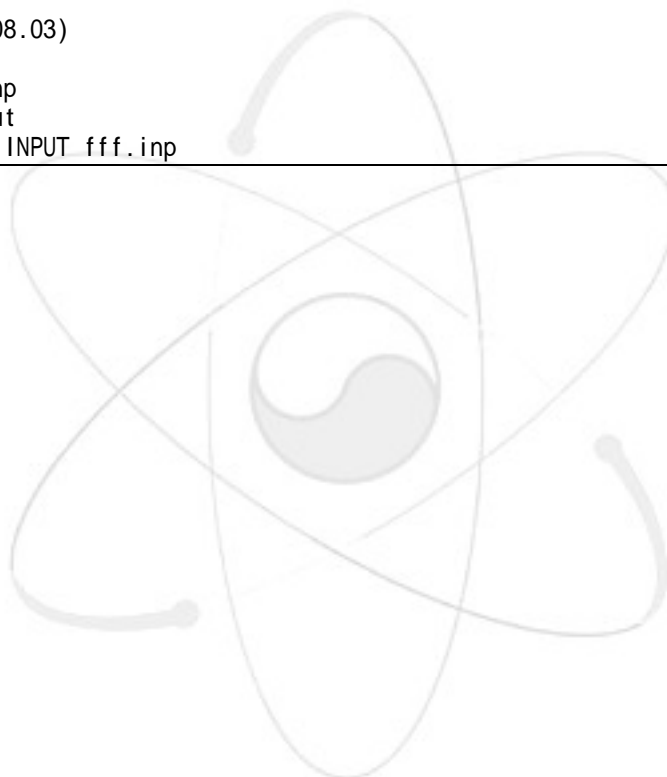
```
E:\MATRA.X\Run>matra CASE-1  
E:\MATRA.X\Run>matra CASE-2  
...
```

MATRA program will stop without abnormal error message if user enter wrong input file name :

```
E:\MATRA.X\Run>matra fff
```

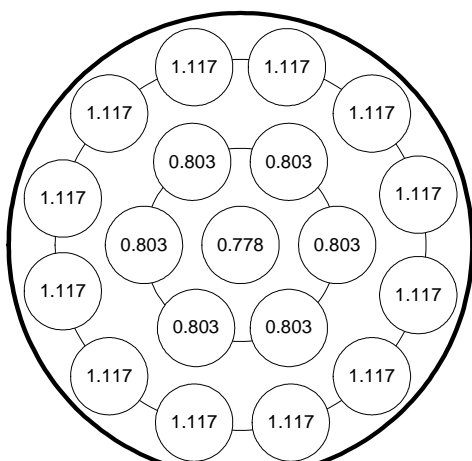
```
MATRA.X v1.03 (2005.08.03)
```

```
INPUT FILE : fff.inp  
OUTPUT FILE : fff.out  
*ERROR* CANNOT OPEN INPUT fff.inp
```

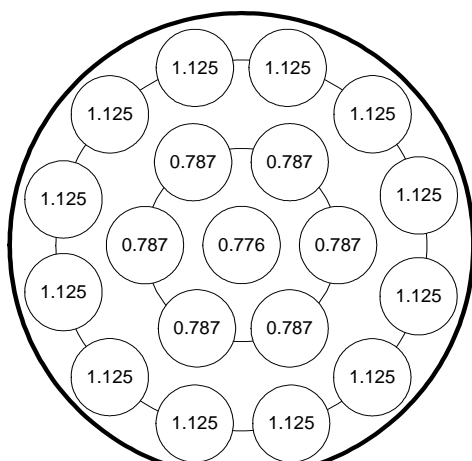


-3.

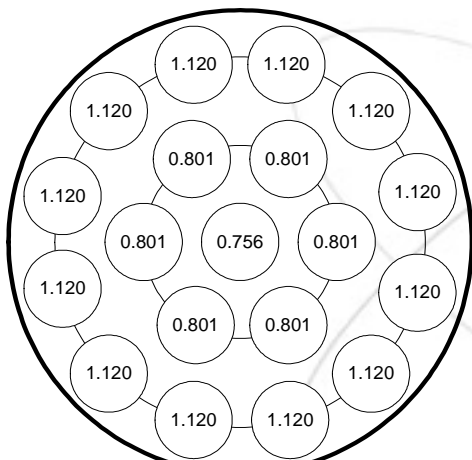
CHF



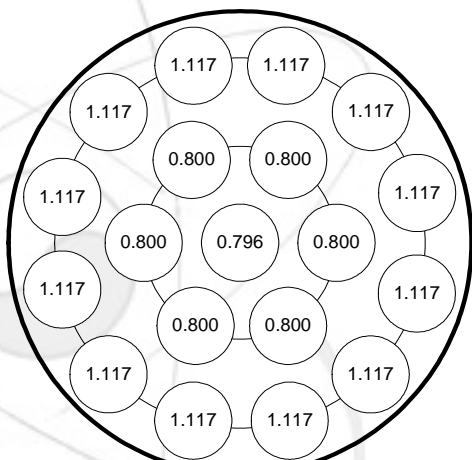
TS-601 (grid)



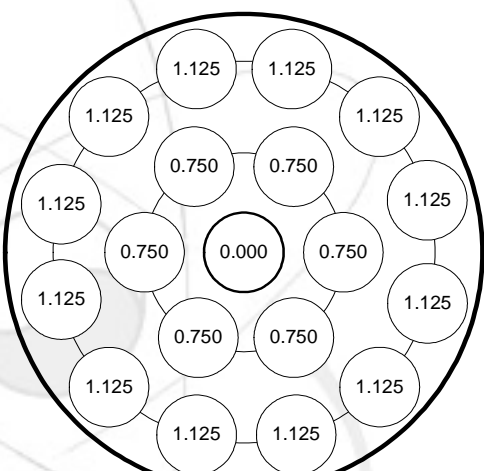
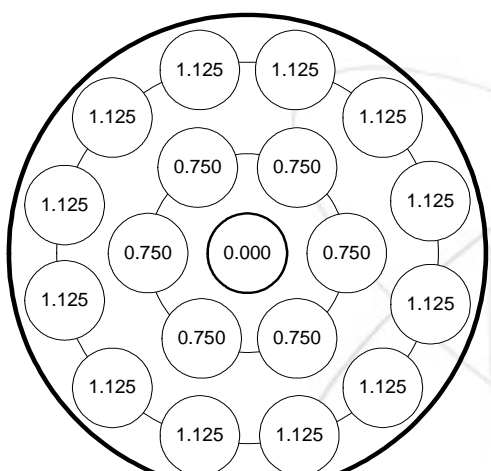
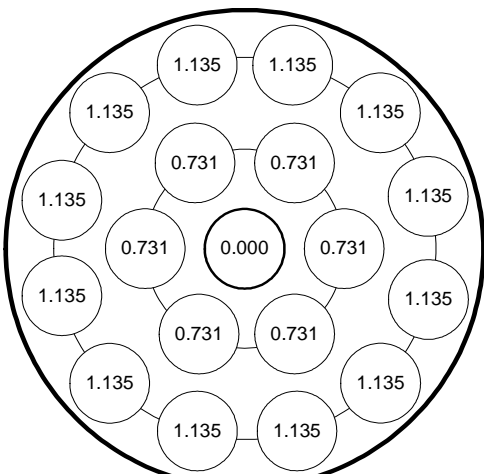
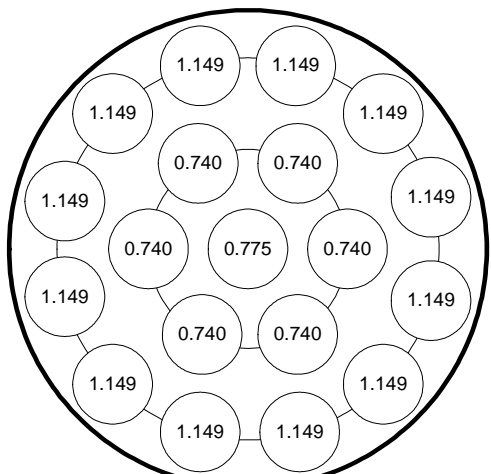
TS-602 (grid)

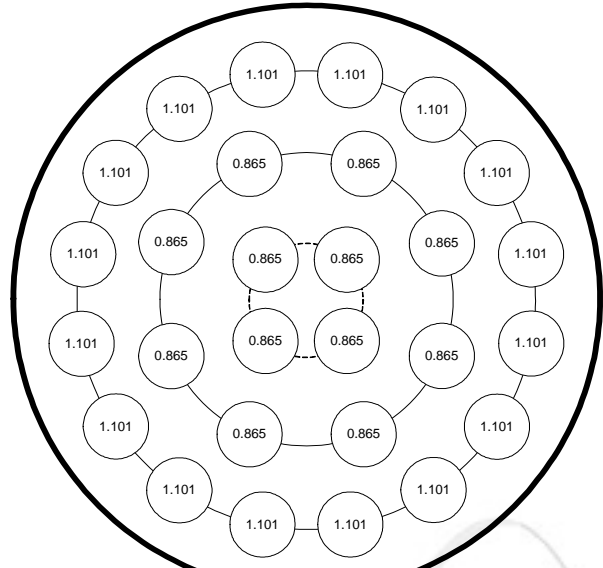


TS-603 (grid)

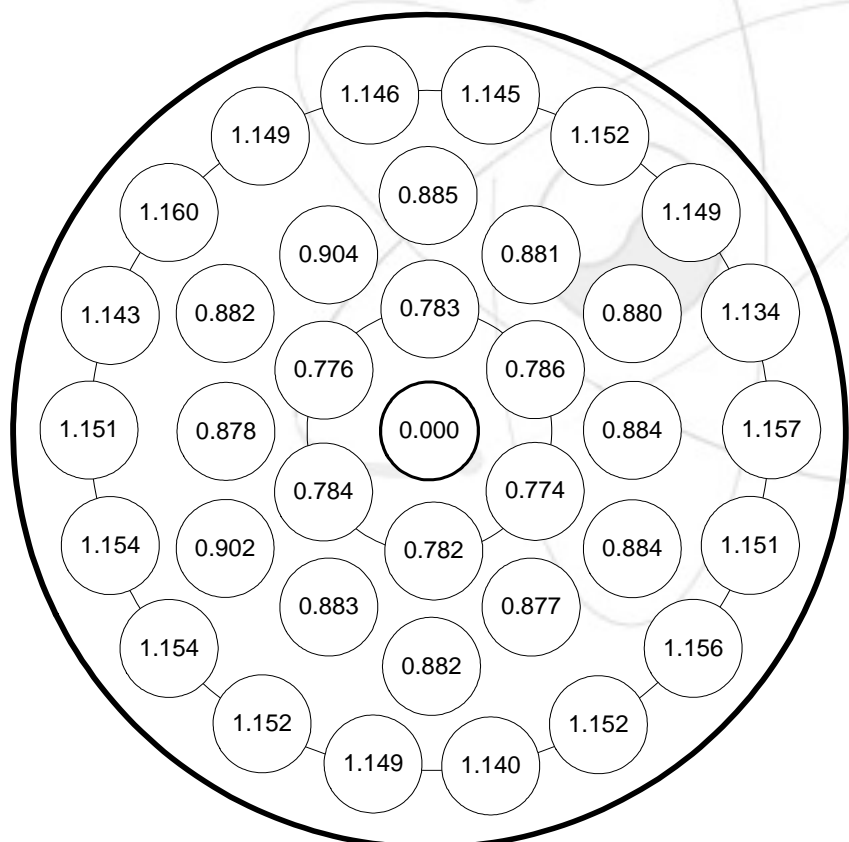


TS-604 (grid)

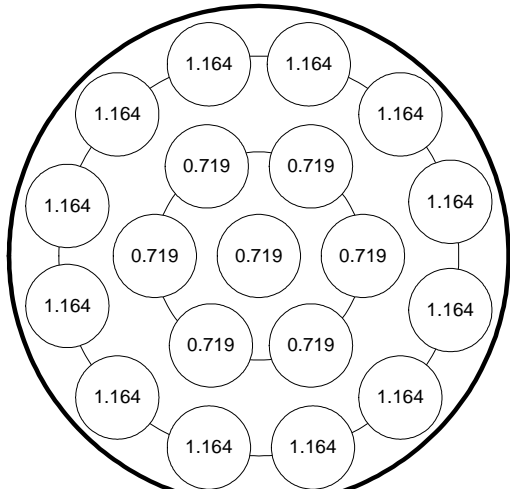




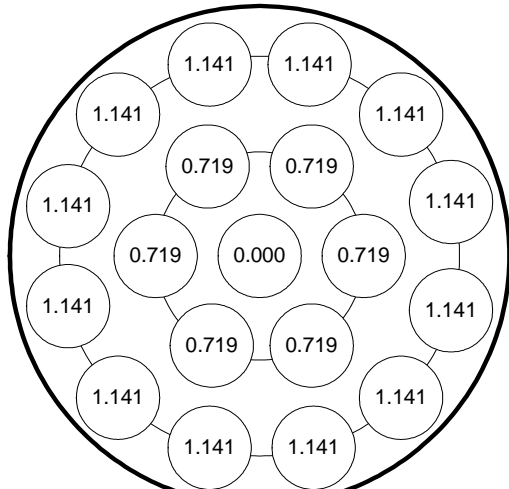
TS-610 (grid)



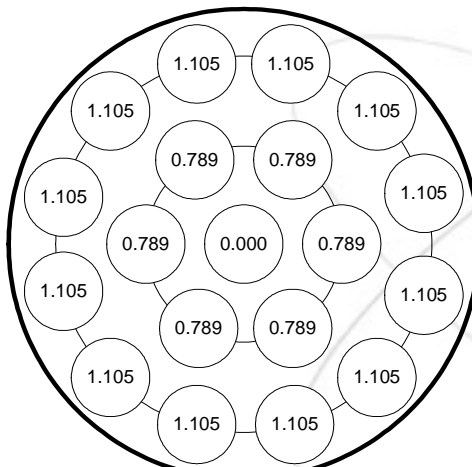
TS-613 (grid)



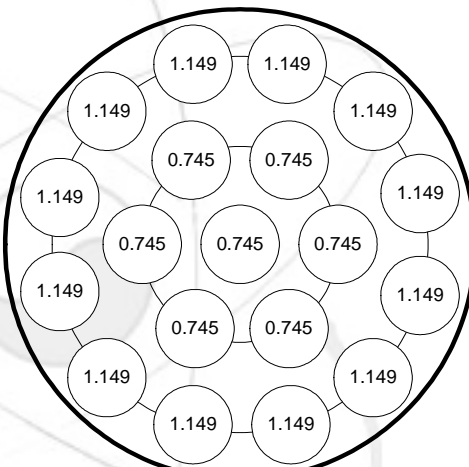
TS - 801 (wire - wrap)



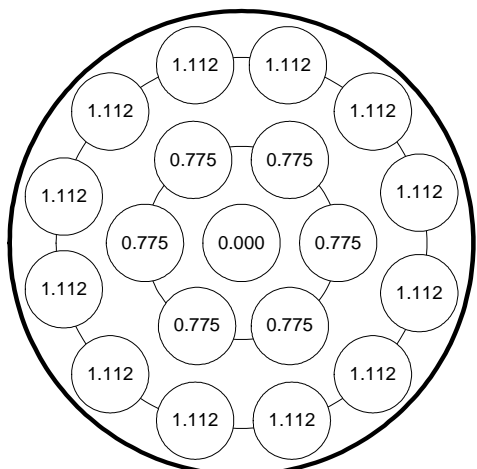
TS - 802 (grid)



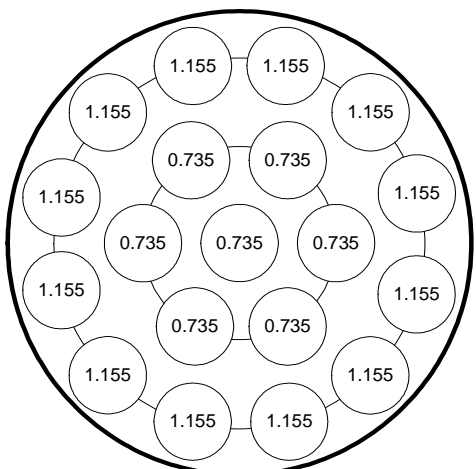
TS - 805 (grid)



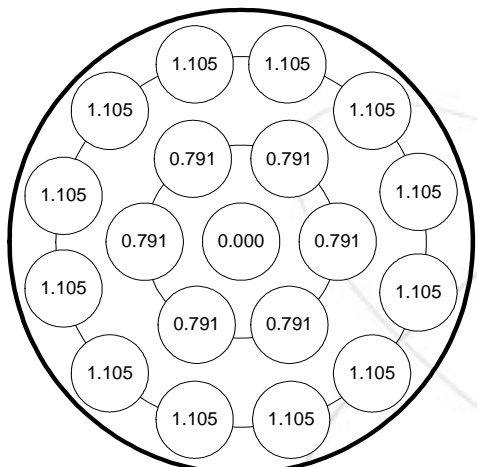
TS - 806 (wire - wrap)



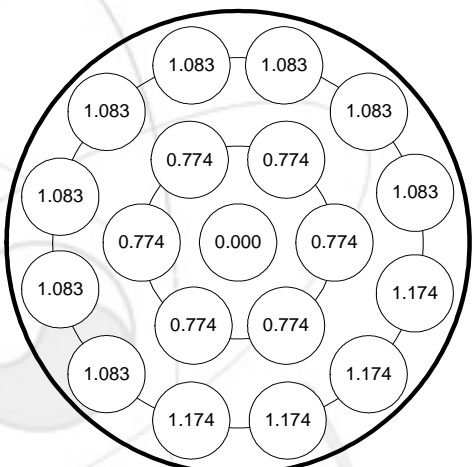
TS-807 (grid)



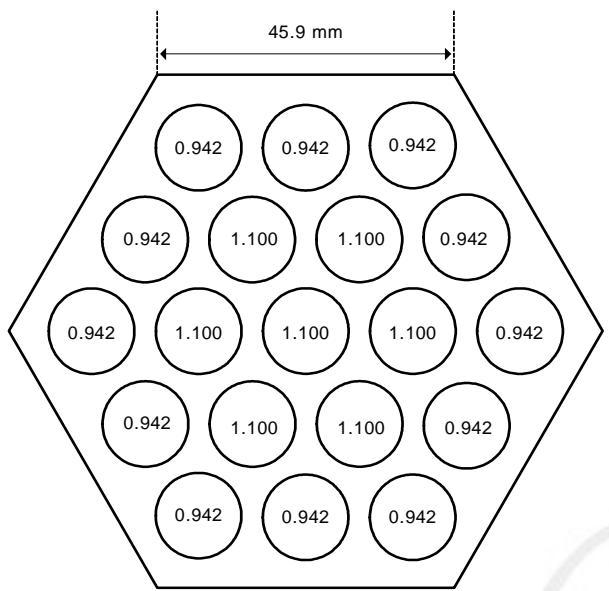
TS-808 (wire-wrap)



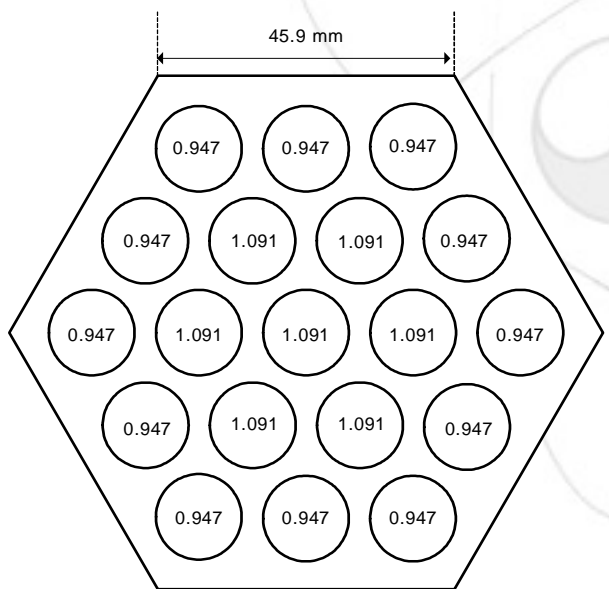
TS-809 (grid)



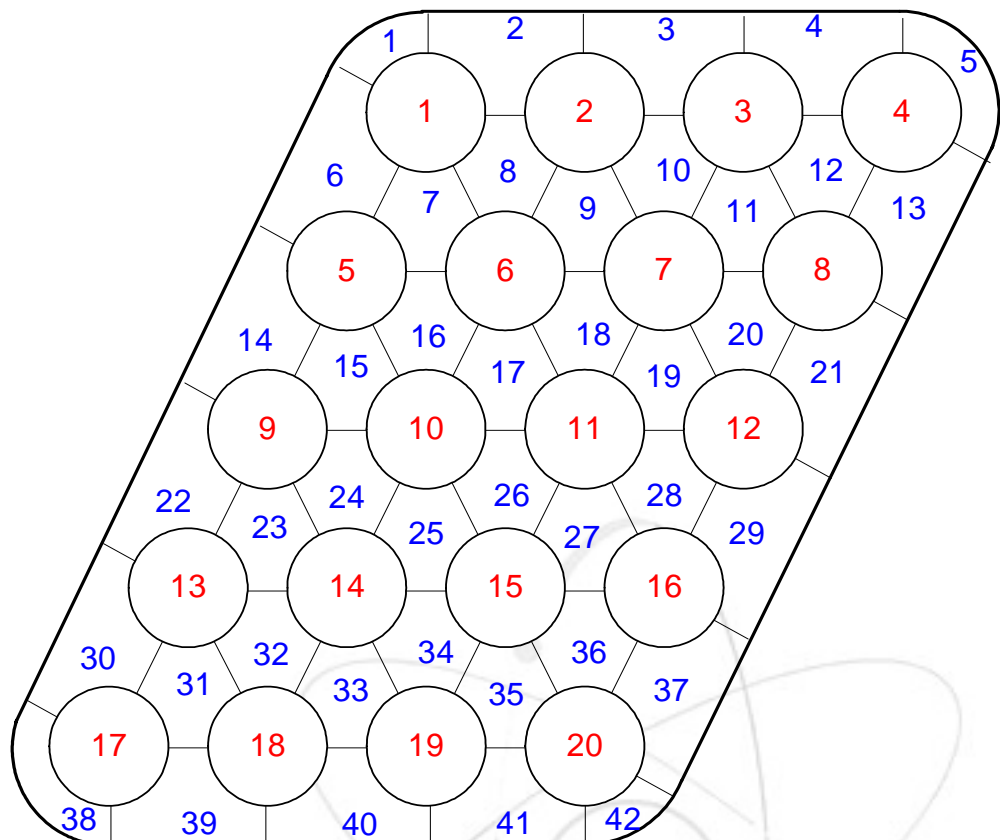
TS-810 (grid)



TS 103 (wire-wrap)



TS 104 (grid)



-4. CHF

(가) 자료 설명

- Card 01.00 : Required -----
KEY,ITS : (A10,A10)
KEY = 'ITS'
ITS = Test section identification
- Card 02.00 : Required -----
KEY,BRL,BRLH : (A10,A10,A10)
KEY = 'BRL'
BRL = Barrel type
 - : BRL='Hexagonal' : Hexagonal barrel
 - : BRL='Circular' : Circular barrel
 - : BRL='Parallel' : Parallelogrammatic barrelBRLH = Barrel heating
 - : BRLH='Heated' : Heated barrel wall
 - : BRLH='Unheated' : Unheated barrel wall
- Card 03.00 : Required -----
KEY,LTC : (A10,A10)
KEY = 'LTC'
LTC = Lattice type
 - : LTC='Triangular' : Triangular lattice
 - : LTC='Mixed1' : Mixed1 lattice
 - : LTC='Mixed2' : Mixed2 lattice
 - : LTC='Mixed3' : Mixed3 lattice
 - : LTC='Mixed4' : Mixed4 lattice
- Card 04.00 : Required -----
KEY,UNT : (A10,A10)
KEY = 'UNT'
UNT = Unit system
 - : UNT='British' : British unit system
 - : UNT='SI' : SI unit system
- Card 05.00 : Required -----
KEY : (A10)
KEY = 'GMT'
: Geometrical input
- Card 05.01 : Required -----
KEY,NRT : (10X,A10,I10)
KEY = 'NRT'
NRT = Total number of rods
- Card 05.02 : Required -----
KEY,NRH : (10X,A10,I10)
KEY = 'NRH'
NRH = Number of heated rods
- Card 05.03 : Required -----
KEY,PRP : (10X,A10,F10)
KEY = 'PRP'
PRP = Rod pitch (primary) [in ; mm]
- Card 05.04 : Required -----
KEY,DRH : (10X,A10,F10)
KEY = 'DRH'
DRH = Heated rod diameter [in ; mm]
- Card 05.05 : Required -----
KEY,DRU : (10X,A10,F10)
KEY = 'DRU'
DRU = Unheated rod diameter [in ; mm]
- Card 05.06 : Required -----
KEY,SRW : (10X,A10,F10)
KEY = 'SRW'
SRW = Rod-to-wall gap [in ; mm]
- Card 05.07 : Required -----
KEY,ZHT : (10X,A10,F10)
KEY = 'ZHT'
ZHT = Heated length [in ; mm]
- Card 05.08 : Required -----
KEY,AFT : (10X,A10,F10)
KEY = 'AFT'



- AFT = Total flow area [in² ; mm²]
 - Card 05.09 : Required -----
 KEY,RCC : (10X,A10,F10)
 KEY = 'RCC'
 RCC = Corner radius or corner secant [in ; mm]
 : RCC>0. : Corner radius
 : RCC<0. : Corner secant (Except for parallelogrammatic barrel)
 : RCC=0. : Neither corner radius nor corner secant
- Card 05.10 : Optional -----
 * Required for circular barrel only
 KEY,DTF : (10X,A10,F10)
 KEY = 'DTF'
 DTF = Flow tube diameter [in ; mm]
- Card 05.11 : Optional -----
 * Required for parallelogrammatic barrel & triangular lattice only
 KEY,NRR,NCR : (10X,A10,I10,I10)
 KEY = 'NRC'
 NRR = Number of rod rows
 NCR = Number of rod columns
- Card 05.12 : Required -----
 KEY : (10X,A10)
 KEY = 'EOD'
 : End of data
- Card 06.00 : Required -----
 KEY,APS : (A10,A10)
 KEY = 'APS'
 APS = Axial power shape
 : APS='Uniform' : Uniform
 : APS='Nonuniform' : Nonuniform
- Card 07.00 : Required -----
 KEY,NAP : (A10,I10)
 KEY = 'NAP'
 NAP = Number of axial power distribution points
 : NAP=0 : Uniform
 : NAP>0 : Nonuniform : Requires Card 08.01
- Card 08.00 : Required -----
 KEY : (A10)
 KEY = 'APF'
 : Axial power factors
- Card 08.01 : Optional -----
 * Required for NAP>0
 (YAP(J),APF(J)),J=1,NAP : (10X,F10,F10) : NAP cards
 YAP(J) = Relative axial locations at which axial power factors are given
 * : Must include 0. and 1. as end points
 APF(J) = Axial power factors
 NAP : Number of axial power distribution points (Card 07.00)
- Card 09.00 : Required -----
 KEY,NTC : (A10,I10)
 KEY = 'NTC'
 NTC = Number of axial locations for thermocouples
- Card 10.00 : Required -----
 KEY,(ZTC(J),J=1,NTC) : (A10,12F10)
 KEY = 'ZTC'
 ZTC(J) = Axial locations for thermocouples [in ; mm]
 NTC : Number of axial locations for thermocouples (Card 09.00)
- Card 11.00 : Required -----
 KEY,NZG : (A10,I10)
 KEY = 'NZG'
 NZG = Number of axial locations for grid spacers
 : NZG=0 : No grid spacers
 : NZG>0 : Requires Card 14.01
- Card 12.00 : Required -----
 KEY,NKG : (A10,I10)
 KEY = 'NKG'
 NKG = Number of grid spacer types
- Card 13.00 : Required -----
 KEY,(CKG(L),L=1,NKG) : (A10,12F10)

KEY = 'CKG'
 CKG(L) = Loss coefficients for grid spacer types
 NKG : Number of grid spacer types (Card 12.00)

- Card 14.00 : Required -----
 KEY : (A10)
 KEY = 'ZGS'
 : Axial locations for grid spacers

- Card 14.01 : Optional -----
 * Required for NZG>0
 (IKG(J),ZGS(J)),J=1,NZG : (10X,I10,F10) : NZG cards
 IKG(J) = Grid spacer type identification numbers
 ZGS(J) = Axial locations for grid spacers [in ; mm]
 NZG : Number of axial locations for grid spacers (Card 11.00)

- Card 15.00 : Required -----
 KEY,NWW,THWW,RDWW : (A10,I10,F10,A10)
 KEY = 'NWW'
 NWW = Number of wire wraps for one rod
 THWW = Wire wrap starting angle [degrees]
 increasing in a counterclockwise-rotation direction
 * : Should be greater than or equal to 0. and less than 360.
 * : THWW= 0 : Right
 * : THWW= 90. : Top (default)
 * : THWW=180. : Left
 * : THWW=270. : Bottom
 RDWW = Wire wrap rotation direction
 : RDWW='Clockwise' : Clockwise rotation
 * : RDWW='Counterclo' : Counterclockwise rotation (default)

- Card 16.00 : Required -----
 KEY,PWW : (A10,F10)
 KEY = 'PWW'
 PWW = Wire wrap pitch [in ; mm]

- Card 17.00 : Required -----
 KEY,DWW : (A10,F10)
 KEY = 'DWW'
 DWW = Wire wrap diameter [in ; mm]

- Card 18.00 : Required -----
 KEY : (A10)
 KEY = 'RNS'
 : Rod numbering scheme

- Card 18.01 : Required -----
 (IR(L,M),M=1,NRS-1+L),L=1,NRS : (*I*) : NRS cards
 (IR(L,M),M=1,3*NRS-1-L),L=NRS+1,2*NRS-1 : (*I*) : NRS-1 cards
 * For hexagonal barrel
 (LR,DRING(LR),PRRING(LR),(IRRING(LR,MR),MR=1,NRRING(LR))),
 L=1,NRINGR : (I*,2F*,*I*) : NRINGR cards
 * For circular barrel
 (IR(L,M),M=1,NCR),L=1,NRR : (*I*) : NRR cards
 * For parallelogrammatic barrel
 IR(L,M) = Rod identification numbers
 NRS : Number of rods along a side of a square or a hexagon
 LR = Ring identification number
 DRING(LR) = Ring Diameter [in ; mm]
 PRRING(LR) = Rod pitch for the ring numbered as LR [in ; mm]
 IRRING(LR,MR) = Rod identification numbers
 NRRING(LR) : Number of rods for the ring numbered as LR
 NRINGR : Total number of rings for rods including center rod
 NRR : Number of rod rows
 NCR : Number of rod columns

For hexagonal barrel :

$$NRS=(1+\sqrt{1+4/3*(NRT-1)})/2$$

* The small unheated rod (occupying 1-heated-rod space) should be represented by a positive integer (not zero).
For circular barrel :

* The small unheated rod (occupying 1-heated-rod space)
 should be represented by a positive integer (not zero).

For parallelogrammatic barrel :

* The small unheated rod (occupying 1-heated-rod space)
 should be represented by a positive integer (not zero).



- Card 19.00 : Required -----

KEY : (A10)

KEY = 'RPF'

: Radial power factors

- Card 19.01 : Required -----

(RPF(IR(L,M)),M=1,NRS-1+L),L=1,NRS : (*F*) : NRS cards

(RPF(IR(L,M)),M=1,3*NRS-1-L),L=NRS+1,2*NRS-1 : (*F*) : NRS-1 cards

* For hexagonal barrel

(RPF(IRRING(LR,MR)),MR=1,NRRING(LR)),LR=1,NRINGR : (*F*) : NRINGR cards

* For circular barrel

(RPF(IR(L,M)),M=1,NCR),L=1,NRR : (*F*) : NRR cards

* For parallelogrammatic barrel

RPF(IR(L,M)) = Radial power factors

IR(L,M) : Rod identification numbers (Card 18.01)

NRS : Number of rods along a side of a square or a hexagon (Card 18.01)

RPF(IRRING(LR,MR)) = Radial power factors

IRRING(LR,MR) : Rod identification numbers (Card 18.01)

NRRING(LR) : Number of rods for the ring numbered as LR (Card 18.01)

NRINGR : Total number of rings for rods including center rod (Card 18.01)

NRR : Number of rod rows (Card 18.01)

NCR : Number of rod columns (Card 18.01)

For hexagonal barrel :

* RPF for the small unheated rod (occupying 1-heated-rod space)
should be represented by zero.

For circular barrel :

* RPF for the small unheated rod (occupying 1-heated-rod space)
should be represented by zero.

For parallelogrammatic barrel :

* RPF for the small unheated rod (occupying 1-heated-rod space)
should be represented by zero.

- Card 20.00 : Required -----

KEY,TMP : (A10,F10)

KEY = 'TMP'

TMP = Turbulent mixing parameter

- Card 21.00 : Required -----

KEY,IRCHF : (A10,I10)

KEY = 'IRC'

IRCHF = Identification number of the rod where CHF occurred

- Card 22.00 : Required -----

KEY,ICCHF : (A10,I10)

KEY = 'ICC'

ICCHF = Identification number of the channel where CHF occurred

- Card 23.00 : Required -----

KEY : (A10)

KEY = 'EOD'

: End of data

- Card 24.00 : Required -----

ITS,NOC : (A10,10X,I10)

ITS = Test section identification

* : Must be the same as ITS in Card 01.00

NOC = Total number of operating conditions

- Card 25.00 : Required -----

* 2 dummy cards should be given for legends of data.

- Card 26.00 : Required -----

(ISN(I),IRN(I),PE(I),TI(I),GI(I),QA(I)),I=1,NOC : (2I*,4F*) : NOC cards

ISN(I) = Serial Number

IRN(I) = Run Number

PE (I) = System pressure [psi ; bar]

TI (I) = Inlet temperature [F ; C]

GI (I) = Inlet mass velocity [Mlbm/hr-ft² ; kg/sec-m²]

QA (I) = Average heat flux [MBtu/hr-ft² ; kW/m²]

(나) 시험집합체 특성 자료

(TS-103)

REF Fighetti, C. F. and Reddy, D. G., Parametric Study of CHF Data,
EPRI-NP-2609, Vol. 3, Pt. 1, Sep. 1982.

ITS EPRI-103

BRL Hexagonal Unheated

LTC Triangular

UNT British

GMT

NRT	19
NRH	19
PRP	0.596
DRH	0.422
DRU	
SRW	0.112
ZHT	60.000
AFT	3.7055 (2.977 Report)

RCC

EOD

APS Uniform

NAP

APF (Z/Zh) (Q/Qa)

NTC 1

ZTC 59.500

NZG

NKG

CKG

ZGS (Type)

NWW 1

PWW 15.000

DWW 0.112

RNS

1	2	3	4
12	13	14	5
11	18	19	15
10	17	16	6
9	8	7	

RPF

0.942	0.942	0.942
0.942	1.100	1.100
0.942	1.100	1.100
0.942	1.100	1.100
0.942	0.942	0.942

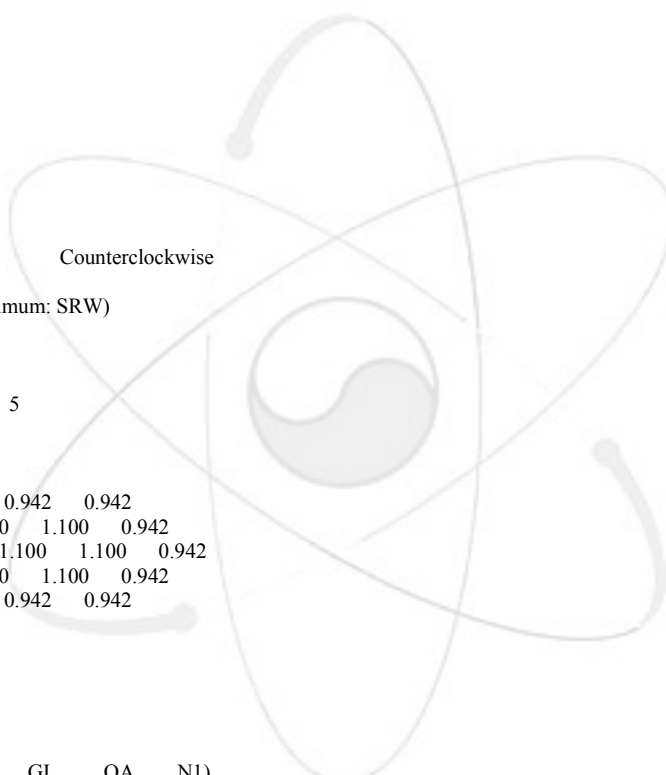
TMP 0.050

IRC 0

ICC 0

EOD

EPRI-103 (WH) 8						
(SN	RN	PE	TI	GI	QA	N1)
(psi F MI/hf2 MB/hf2)						
1	61	1500.	538.0	1.004	0.534	19.0
2	62	1500.	521.0	1.003	0.546	19.0
3	63	1500.	502.0	1.000	0.564	17.0
4	64	1500.	482.0	1.000	0.572	14.0
5	65	1500.	540.0	1.995	0.617	19.0
6	66	1500.	520.0	2.000	0.666	19.0
7	67	1500.	497.0	2.012	0.695	19.0
8	68	1500.	481.0	1.990	0.755	19.0



(TS-104)

REF Fighetti, C. F. and Reddy, D. G., Parametric Study of CHF Data,
EPRI-NP-2609, Vol. 3, Pt. 1, Sep. 1982.

ITS EPRI-104

BRL Hexagonal Unheated

LTC Triangular

UNT British

GMT

NRT	19
NRH	19
PRP	0.596
DRH	0.422
DRU	
SRW	0.112
ZHT	60.000
AFT	3.7055 (2.976 Report)
RCC	
EOD	

APS Uniform

NAP

APF (Z/Zh) (Q/Qa)

NTC	1
ZTC	59.500
NZG	4
NKG	1
CKG	1.000
ZGS	(Type) (Z)
1	3.00
1	18.00
1	33.00
1	48.00

NWW
PWW
DWW
RNS

1	2	3	4
12	13	14	5
11	18	19	15
10	17	16	6
9	8	7	

RPF

0.947	0.947	0.947		
0.947	1.091	1.091	0.947	
0.947	1.091	1.091	1.091	0.947
0.947	1.091	1.091	0.947	
0.947	0.947	0.947		

TMP 0.005

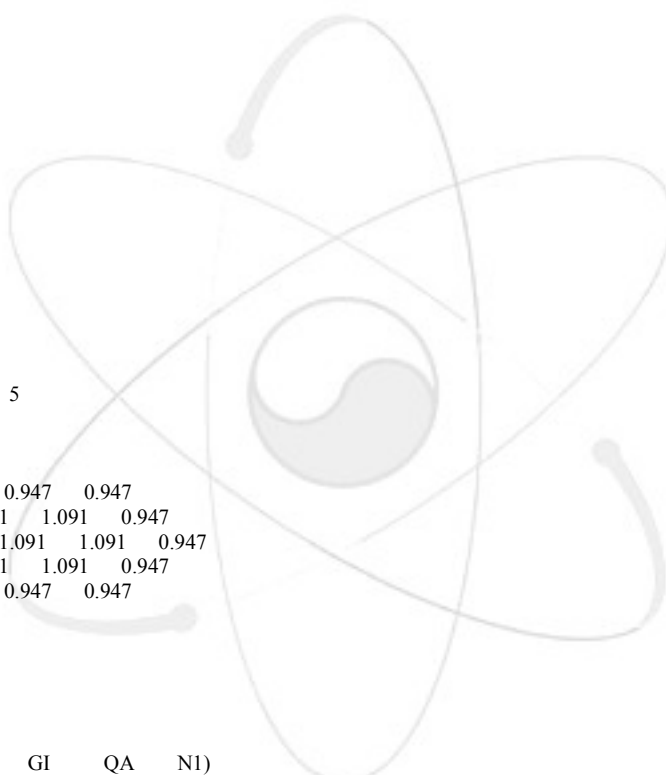
IRC 0

ICC 0

EOD

EPRI-104 (WH) 12

(SN	RN	PE	TI	GI	QA	N1)
(psi F MI/hf2 MB/hf2)						
1	74	1500.	542.0	1.009	0.470	19.0
2	75	1500.	541.0	2.002	0.534	19.0
3	76	1500.	540.0	2.987	0.654	13.0
4	77	1500.	521.0	1.009	0.500	19.0
5	78	1500.	499.0	0.996	0.523	14.0
6	79	1500.	476.0	0.994	0.559	13.0
7	80	1500.	521.0	1.999	0.588	13.0
8	81	1500.	500.0	1.990	0.654	13.0
9	82	1500.	481.0	2.019	0.717	13.0
10	83	1500.	520.0	3.007	0.731	13.0
11	84	1500.	500.0	3.002	0.816	13.0
12	85	1500.	481.0	2.979	0.901	13.0



(TS-601)

REF Fighetti, C. F. and Reddy, D. G., Parametric Study of CHF Data,
EPRI-NP-2609, Vol. 3, Pt. 2, Sep. 1982.

ITS EPRI-601

BRL Circular Unheated

LTC Mixed1

UNT British

GMT

NRT 19

NRH 19

PRP

DRH 0.780

DRU

SRW 0.060

ZHT 72.000

AFT 3.9184 (3.918 Report)

RCC

DTF 4.068

EOD

APS Uniform

NAP

APF (Z/Zh) (Q/Qa)

NTC 1

ZTC 71.250

NZG 7

NKG 1

CKG 1.000 (0.000 Report)

ZGS (Type) (Z)

1 9.00

1 18.00

1 27.00

1 36.00

1 45.00

1 54.00

1 63.00

NWW

PWW

DWW

RNS

(NRing DRing PRod)

1 3.1680 0.81994

2 1.63988 0.81994

3 0.0000 0.0000

1 2 3 4 5 6 7 8 9 10 11 12

13 14 15 16 17 18

(NRing DRing PRod)

(1 3.1680 0.8294 Report)

(2 1.6400 0.8587 Report)

(3 0.0000 0.0000 Report)

RPF

1.117 1.117 1.117 1.117 1.117 1.117 1.117 1.117 1.117 1.117 1.117 1.117
0.803 0.803 0.803 0.803 0.803 0.803

0.778

TMP 0.005

IRC 0

ICC 0

EOD

EPRI-601 (AE) 34

(SN RN PE TI GI QA N1)
(psi F MI/hf2 MB/hf2)

601	1	1000.	526.0	0.505	0.207	19.0
601	2	1000.	495.0	0.504	0.216	19.0
601	3	1000.	449.0	0.506	0.227	19.0
601	4	1000.	412.0	0.500	0.233	19.0
601	5	1000.	363.0	0.507	0.257	19.0
601	6	1000.	526.0	0.996	0.314	19.0
601	7	1000.	490.0	0.996	0.322	19.0
601	8	1000.	452.0	0.996	0.333	19.0
601	9	1000.	410.0	0.993	0.349	19.0
601	10	1000.	365.0	1.002	0.368	19.0
601	11	1000.	526.0	2.006	0.403	19.0
601	12	1000.	490.0	1.991	0.419	19.0
601	13	1000.	452.0	1.992	0.439	19.0
601	18	750.	491.0	0.496	0.227	19.0
601	19	750.	441.0	0.503	0.242	19.0
601	20	750.	377.0	0.500	0.254	19.0
601	21	750.	493.0	0.995	0.363	19.0
601	22	750.	443.0	0.994	0.384	19.0
601	23	750.	372.0	0.996	0.403	19.0
601	24	750.	492.0	2.024	0.461	19.0
601	27	1200.	544.0	0.497	0.190	19.0

601	28	1200.	491.5	0.510	0.206	19.0
601	29	1200.	423.0	0.500	0.218	19.0
601	30	1200.	543.0	1.008	0.284	19.0
601	31	1200.	421.0	1.002	0.313	19.0
601	32	1200.	487.5	0.993	0.289	19.0
601	33	1200.	543.0	1.989	0.373	19.0
601	34	1200.	492.0	2.005	0.402	19.0
601	35	1200.	431.0	2.018	0.449	19.0
601	36	1200.	543.0	3.004	0.457	2.0
601	38	500.	452.0	0.499	0.245	19.0
601	39	500.	441.0	0.996	0.395	19.0
601	40	500.	368.0	0.990	0.425	19.0
601	41	500.	359.0	0.508	0.260	19.0

(TS-602)

REF Fighetti, C. F. and Reddy, D. G., Parametric Study of CHF Data,
EPRI-NP-2609, Vol. 3, Pt. 2, Sep. 1982.

ITS EPRI-602

BRL Circular Unheated

LTC Mixed1

UNT British

GMT

NRT 19

NRH 19

PRP

DRH 0.780

DRU

SRW 0.060

ZHT 35.000

AFT 3.9184 (3.918 Report)

RCC

DTF 4.068

EOD

APS Uniform

NAP

APF (Z/Zh) (Q/Qa)

NTC 1

ZTC 34.250

NZG 3

NKG 1

CKG 1.000 (0.000 Report)

ZGS (Type)

1 9.00

1 18.00

1 27.00

NWW
PWW
DWW
RNS (NRing DRing PRod)
1 3.1680 0.81994 1 2 3 4 5 6 7 8 9 10 11 12 (1 3.1680 0.8294 Report)
2 1.63988 0.81994 13 14 15 16 17 18 (2 1.6400 0.8587 Report)
3 0.0000 0.0000 19 (3 0.0000 0.0000 Report)

RPF

1.125	1.125	1.125	1.125	1.125	1.125	1.125	1.125	1.125	1.125	1.125	1.125
0.787	0.787	0.787	0.787	0.787	0.787	0.787	0.787	0.787	0.787	0.787	0.787

0.776

TMP 0.005

IRC 0

ICC 0

EOD

EPRI-602 (AE) 46
(SN RN (PE TI GI QA N1)

(SN	RN	PE psi	TI F MI/hf2	GI MB/hf2	QA)	N1
602	42	1000.0	529.0	0.503	0.300	19.0	
602	43	1000.0	493.0	0.493	0.306	19.0	
602	44	1000.0	452.0	0.500	0.321	19.0	
602	45	1000.0	412.0	0.505	0.335	19.0	
602	46	1000.0	356.0	0.505	0.357	19.0	
602	47	1000.0	526.0	0.996	0.425	11.0	
602	48	1000.0	493.0	0.992	0.444	2.0	
602	49	1000.0	456.0	0.985	0.469	2.0	
602	50	1000.0	412.0	0.984	0.502	2.0	
602	51	1000.0	358.0	1.003	0.522	18.0	

602	52	1000.0	523.0	2.043	0.496	2.0
602	53	1000.0	490.0	1.991	0.526	2.0
602	54	1000.0	451.5	1.995	0.562	2.0
602	55	1000.0	410.0	2.002	0.629	2.0
602	56	1000.0	368.0	1.999	0.717	2.0
602	65	1000.0	522.5	3.017	0.551	2.0
602	66	1000.0	490.0	3.031	0.595	2.0
602	67	1000.0	452.5	2.979	0.686	2.0
602	75	1000.0	520.0	0.506	0.284	19.0
602	78	1000.0	505.0	0.993	0.414	2.0
602	79	1000.0	507.0	2.011	0.507	2.0
602	80	1000.0	366.0	1.003	0.545	18.0
602	81	1000.0	418.0	0.987	0.479	2.0
602	91	1000.0	492.0	1.023	0.427	2.0
602	57	750.0	497.0	0.500	0.341	19.0
602	58	750.0	434.0	0.498	0.358	19.0
602	59	750.0	372.0	0.501	0.380	19.0
602	60	750.0	492.0	0.983	0.505	2.0
602	61	750.0	441.5	0.988	0.546	2.0
602	62	750.0	382.0	0.994	0.595	19.0
602	63	750.0	493.5	1.978	0.572	11.0
602	64	750.0	442.0	2.020	0.664	2.0
602	68	750.0	487.0	3.000	0.652	2.0
602	95	750.0	448.0	2.999	0.725	2.0
602	85	500.0	449.0	0.510	0.384	19.0
602	86	500.0	399.0	0.512	0.396	19.0
602	87	500.0	444.0	1.008	0.549	2.0
602	88	500.0	388.0	0.991	0.607	2.0
602	89	500.0	449.0	1.994	0.628	2.0
602	74	1200.0	545.5	0.503	0.255	19.0
602	76	1200.0	489.0	0.499	0.268	19.0
602	77	1200.0	543.0	1.008	0.363	11.0
602	82	1200.0	423.0	1.000	0.430	2.0
602	83	1200.0	486.5	1.009	0.377	2.0
602	84	1200.0	541.5	1.994	0.418	2.0
602	92	1200.0	421.0	0.489	0.315	19.0

(TS-603)

REF Fighetti, C. F. and Reddy, D. G., Parametric Study of CHF Data,
EPRI-NP-2609, Vol. 3, Pt. 2, Sep. 1982.

ITS EPRI-603

BRL Circular Unheated

LTC Mixed1

UNT British

GMT

NRT	19
NRH	19
PRP	
DRH	0.780
DRU	
SRW	0.060
ZHT	72.000
AFT	3.9184 (3.918 Report)
RCC	
DTF	4.068
EOD	

APS Uniform

NAP

APF (Z/Zh) (Q/Qa)

NTC 1

ZTC 71.250

NZG 7

NKG 1

CKG 1.000 (0.000 Report)

ZGS (Type) (Z)

1	9.00
1	18.00
1	27.00
1	36.00
1	45.00
1	54.00
1	63.00

NWW

PWW

DWW

	(NRing DRing PRod)														
RNS	1	3.1680	0.81994	1	2	3	4	5	6	7	8	9	10	11	12
	2	1.63988	0.81994	13	14	15	16	17	18						
	3	0.0000	0.0000	19											

RPF	1.120	1.120	1.120	1.120	1.120	1.120	1.120	1.120	1.120	1.120	1.120	1.120	1.120	1.120	1.120
	0.801	0.801	0.801	0.801	0.801	0.801	0.801	0.801	0.801	0.801	0.801	0.801	0.801	0.801	0.801
	0.756														

TMP 0.005
 IRC 0
 ICC 0
 EOD

EPRI-603	(AE)	19													
(SN	RN	PE	TI	GI	QA	N1)									
(psi	F	MI/hf2	MB/hf2)									
603	96	1000.0	527.0	0.504	0.214	19.0									
603	97	1000.0	493.5	0.493	0.218	19.0									
603	98	1000.0	450.0	0.506	0.232	19.0									
603	99	1000.0	412.0	0.504	0.238	19.0									
603	100	1000.0	358.0	0.504	0.252	19.0									
603	101	1000.0	523.0	1.000	0.308	19.0									
603	102	1000.0	450.0	1.002	0.331	19.0									
603	103	1000.0	393.5	0.994	0.351	19.0									
603	104	1000.0	527.5	2.016	0.414	19.0									
603	105	1000.0	471.0	2.001	0.453	19.0									
603	106	1200.0	542.0	0.993	0.271	19.0									
603	109	1200.0	541.0	1.996	0.369	19.0									
603	111	1200.0	541.0	0.508	0.195	19.0									
603	115	1200.0	543.0	2.977	0.466	19.0									
603	107	750.0	492.0	0.993	0.346	19.0									
603	110	750.0	492.0	1.995	0.455	19.0									
603	112	750.0	488.5	0.504	0.236	19.0									
603	108	500.0	446.0	0.999	0.378	19.0									
603	113	500.0	450.0	0.502	0.250	19.0									

(TS-604)

REF Fighetti, C. F. and Reddy, D. G., Parametric Study of CHF Data,
 EPRI-NP-2609, Vol. 3, Pt. 2, Sep. 1982.

ITS EPRI-604
 BRL Circular Unheated
 LTC Mixed1
 UNT British
 GMT

NRT	19														
NRH	19														
PRP															
DRH	0.780														
DRU															
SRW	0.060														
ZHT	18.000														
AFT	3.9184	(3.918	Report)												
RCC															
DTF	4.068														
EOD															

APS Uniform

NAP (Z/Zh) (Q/Qa)

APF NTC 1

ZTC 17.250

NZG 2

NKG 1

CKG 1.000 (0.000 Report)

ZGS (Type) (Z)

1 0.00

1 9.00

NWW

PWW

DWW

RNS (NRing DRing PRod)

1	3.1680	0.81994	1	2	3	4	5	6	7	8	9	10	11	12
2	1.63988	0.81994	13	14	15	16	17	18						
3	0.0000	0.0000	19											

(1	3.1680	0.8294	Report)
(2	1.6400	0.8587	Report)
(3	0.0000	0.0000	Report)

RPF

	1.117	1.117	1.117	1.117	1.117	1.117	1.117	1.117	1.117	1.117	1.117	1.117
	0.800	0.800	0.800	0.800	0.800	0.800	0.800	0.800	0.800	0.800	0.800	0.800
	0.796											
TMP	0.005											
IRC	0											
ICC	0											
EOD												

EPRI-604	(AE)	12										
(SN	RN	PE	TI	GI	QA	N1)						
(psi	F MI/hf2	MB/hf2)							
604	125	1000.0	530.0	0.502	0.384	6.0						
604	126	1000.0	519.0	1.012	0.485	6.0						
604	127	1000.0	529.0	1.984	0.693	3.0						
604	128	1000.0	441.0	0.998	0.512	6.0						
604	129	1000.0	363.0	1.008	0.581	3.0						
604	130	1000.0	356.0	0.511	0.508	6.0						
604	131	1000.0	442.0	0.506	0.479	6.0						
604	132	1000.0	489.0	0.501	0.430	6.0						
604	133	1000.0	485.0	0.998	0.488	6.0						
604	134	1200.0	532.0	0.513	0.357	6.0						
604	135	1200.0	538.0	1.009	0.469	6.0						
604	136	1200.0	484.0	1.004	0.469	3.0						

(TS-605)

REF	Fighetti, C. F. and Reddy, D. G., Parametric Study of CHF Data, EPRI-NP-2609, Vol. 3, Pt. 2, Sep. 1982.																		
ITS	EPRI-605																		
BRL	Circular	Unheated																	
LTC	Mixed1																		
UNT	British																		
GMT																			
NRT	19																		
NRH	19																		
PRP																			
DRH	0.780																		
DRU																			
SRW	0.060																		
ZHT	108.000																		
AFT	3.9184	(3.918	Report)																
RCC																			
DTF	4.068																		
EOD																			
APS	Uniform																		
NAP																			
APF	(Z/Zh)	(Q/Qa)																	
NTC	1																		
ZTC	107.250																		
NZG	11																		
NKG	1																		
CKG	1.000	(0.000	Report)																
ZGS	(Type)	(Z)																	
	1	9.00																	
	1	18.00																	
	1	27.00																	
	1	36.00																	
	1	45.00																	
	1	54.00																	
	1	63.00																	
	1	72.00																	
	1	81.00																	
	1	90.00																	
	1	99.00																	
NWW																			
PWW																			
DWW																			
RNS	(NRing DRing PRod)																		
	1	3.1680	0.81994	1	2	3	4	5	6	7	8	9	10	11	12	(1	3.1680	0.8294	Report)
	2	1.63988	0.81994	13	14	15	16	17	18							(2	1.6400	0.8587	Report)
	3	0.0000	0.0000	19												(3	0.0000	0.0000	Report)
RPF	1.149	1.149	1.149	1.149	1.149	1.149	1.149	1.149	1.149	1.149	1.149	1.149	1.149	1.149	1.149	1.149	1.149	Report)	
	0.740	0.740	0.740	0.740	0.740	0.740	0.740	0.740	0.740	0.740	0.740	0.740	0.740	0.740	0.740	0.740	0.740	Report)	
	0.775																	Report)	

TMP 0.005
 IRC 0
 ICC 0
 EOD

EPRI-605	(AE)	26				
(SN	RN	PE	TI	GI	QA	N1)
(psi	F MI/hf2	MB/hf2)	
605	137	1000.0	525.5	0.498	0.159	19.0
605	138	1000.0	488.0	0.499	0.169	19.0
605	139	1000.0	450.0	0.503	0.179	19.0
605	140	1000.0	524.0	0.985	0.249	19.0
605	141	1000.0	491.0	1.002	0.263	19.0
605	142	1000.0	450.5	1.005	0.274	19.0
605	143	1000.0	528.0	2.001	0.333	19.0
605	146	1000.0	356.0	0.505	0.197	19.0
605	147	1000.0	365.0	0.998	0.285	19.0
605	148	1000.0	410.0	0.998	0.278	19.0
605	160	1000.0	411.0	0.501	0.182	19.0
605	149	1200.0	542.0	1.979	0.308	19.0
605	150	1200.0	537.0	1.016	0.225	19.0
605	151	1200.0	541.0	0.495	0.147	19.0
605	156	1200.0	442.5	0.988	0.244	19.0
605	157	1200.0	433.0	0.511	0.175	19.0
605	155	500.0	447.0	0.983	0.281	5.0
605	159	500.0	446.0	0.496	0.180	19.0
605	162	500.0	355.5	0.507	0.199	19.0
605	167	500.0	395.5	0.989	0.315	5.0
605	152	750.0	493.0	0.492	0.170	19.0
605	153	750.0	490.5	0.992	0.275	5.0
605	154	750.0	450.0	0.980	0.292	19.0
605	158	750.0	420.5	0.491	0.184	19.0
605	161	750.0	353.0	0.505	0.198	19.0
605	168	750.0	389.5	1.007	0.310	19.0

(TS-606)

REF Fighetti, C. F. and Reddy, D. G., Parametric Study of CHF Data,
 EPRI-NP-2609, Vol. 3, Pt. 2, Sep. 1982.

ITS	EPRI-606
BRL	Circular Unheated
LTC	Mixed1
UNT	British
GMT	
	NRT 19
	NRH 18
	PRP
	DRH 0.780
	DRU 0.767
	SRW 0.060
	ZHT 108.000
	AFT 3.9184 (3.918 Report)
	RCC
	DTF 4.068
	EOD
APS	Uniform
NAP	
APF	(Z/Zh) (Q/Qa)
NTC	1
ZTC	107.250
NZG	11
NKG	1
CKG	1.000 (0.000 Report)
ZGS	(Type) (Z)
	1 9.00
	1 18.00
	1 27.00
	1 36.00
	1 45.00
	1 54.00
	1 63.00
	1 72.00
	1 81.00
	1 90.00
	1 99.00

(TS-607)

REF	Fighetti, C. F. and Reddy, D. G., Parametric Study of CHF Data, EPRI-NP-2609, Vol. 3, Pt. 2, Sep. 1982.			
ITS	EPRI-607			
BRL	Circular Unheated			
LTC	Mixed1			
UNT	British			
GMT				
	NRT	19		
	NRH	18		
	PRP			
	DRH	0.780		
	DRU	0.767		
	SRW	0.060		
	ZHT	105.000		
	AFT	3.9184	(3.918	Report)
	RCC			
	DTF	4.068		
	EOD			
APS	Uniform			
NAP				
APF	(Z/Zh)	(Q/Qa)		
NTC	1			
ZTC	104.250			
NZG	18			
NKG	2			
CKG	1.000	1.000	(0.000	Report)
ZGS	(Type)	(Z)		
	2	13.75		
	1	15.00		
	2	24.00		
	2	31.75		
	1	33.00		
	2	42.00		

2	49.75
1	51.00
2	52.50
2	60.00
2	67.50
1	69.00
2	70.50
2	78.00
2	85.50
1	87.00
2	96.00
2	103.50

NWW

PWW

DWW

RNS

(NRing DRing PRod)

1	3.1680	0.81994	1	2	3	4	5	6	7	8	9	10	11	12	(1	3.1680	0.8294	Report)
2	1.63988	0.81994	13	14	15	16	17	18							(2	1.6400	0.8587	Report)
3	0.0000	0.0000	19												(3	0.0000	0.0000	Report)

RPF

1.125	1.125	1.125	1.125	1.125	1.125	1.125	1.125	1.125	1.125	1.125	1.125	1.125	1.125	
0.750	0.750	0.750	0.750	0.750	0.750	0.750	0.750	0.750	0.750	0.750	0.750	0.750	0.750	
0.000														

TMP 0.005

IRC 0

ICC 0

EOD

EPRI-607	(AE)	23																	
(SN	RN	PE	TI	GI	QA	NI													
(psi	F MI/hf2	MB/hf2)														
607		198	500.0	454.0	0.503	0.198													
607		202	500.0	374.0	0.503	0.219													
607		210	500.0	392.0	1.009	0.329													
607		220	500.0	450.0	1.010	0.276													
607		262	500.0	368.0	0.500	0.217													
607		197	750.0	498.0	0.510	0.191													
607		201	750.0	414.0	0.500	0.221													
607		206	750.0	497.0	1.010	0.275													
607		209	750.0	412.0	1.010	0.341													
607		196	1000.0	528.0	0.501	0.180													
607		199	1000.0	443.0	0.509	0.215													
607		203	1000.0	357.0	0.510	0.244													
607		204	1000.0	524.0	1.036	0.260													
607		207	1000.0	476.0	1.020	0.301													
607		208	1000.0	415.0	1.010	0.343													
607		218	1000.0	527.0	2.050	0.366													
607		200	1200.0	430.5	0.501	0.212													
607		205	1200.0	508.0	1.014	0.269													
607		217	1200.0	540.0	2.060	0.354													
607		219	1200.0	552.0	2.040	0.374													
607		221	1200.0	445.0	1.010	0.308													
607		222	1200.0	445.5	1.000	0.306													
607		223	1200.0	540.0	0.500	0.172													

(TS-609)

REF Fighetti, C. F. and Reddy, D. G., Parametric Study of CHF Data, EPRI-NP-2609, Vol. 3, Pt. 2, Sep. 1982.

ITS EPRI-609

BRL Circular Unheated

LTC Mixed1

UNT British

GMT

NRT	19
NRH	18
PRP	
DRH	0.780
DRU	0.767
SRW	0.060
ZHT	105.000
AFT	3.9184 (3.918 Report)
RCC	
DTF	4.068
EOD	

APS	Uniform											
NAP												
APF	(Z/Zh) (Q/Qa)											
NTC	1											
ZTC	104.250											
NZG	18											
NKG	2											
CKG	1.000	1.000	(0.000	Report)								
ZGS	(Type)	(Z)										
	2	13.75										
	1	15.00										
	2	24.00										
	2	31.75										
	1	33.00										
	2	42.00										
	2	49.75										
	1	51.00										
	2	52.50										
	2	60.00										
	2	67.50										
	1	69.00										
	2	70.50										
	2	78.00										
	2	85.50										
	1	87.00										
	2	96.00										
	2	103.50										
NWW												
PWW												
DWW												
RNS	(NRing DRing PRod)											
	1	3.1680	0.81994	1	2	3	4	5	6	7	8	9
	2	1.63988	0.81994	13	14	15	16	17	18	10	11	12
	3	0.0000	0.0000	19								
RPF	(NRing DRing PRod)											
	(1	3.1680	0.8294	Report)								
	(2	1.6400	0.8587	Report)								
	(3	0.0000	0.0000	Report)								
TMP	0.005											
IRC	0											
ICC	0											
EOD												
EPRI-609	(AE)	30										
(SN	RN	PE	TI	GI	QA	N1)						
(psi	F MI/hf2	MB/hf2)							
609	293	500.0	463.0	0.506	0.201	12.0						
609	296	500.0	370.0	0.504	0.218	9.0						
609	310	500.0	458.0	1.017	0.265	10.0						
609	313	500.0	379.0	1.035	0.312	10.0						
609	327	500.0	418.0	1.021	0.291	12.0						
609	328	500.0	380.0	1.018	0.334	9.0						
609	332	500.0	455.0	0.525	0.197	11.0						
609	292	750.0	503.0	0.522	0.200	12.0						
609	295	750.0	368.0	0.506	0.232	9.0						
609	311	750.0	412.0	1.011	0.311	10.0						
609	322	750.0	496.0	1.038	0.265	12.0						
609	323	750.0	502.0	1.525	0.336	12.0						
609	324	750.0	461.5	1.028	0.289	12.0						
609	326	750.0	410.0	1.005	0.329	9.0						
609	329	750.0	376.0	0.990	0.347	11.0						
609	331	750.0	495.0	0.512	0.209	11.0						
609	335	750.0	356.0	0.501	0.224	11.0						
609	297	1000.0	371.0	0.497	0.240	11.0						
609	306	1000.0	518.5	1.036	0.262	10.0						
609	309	1000.0	532.0	2.020	0.348	10.0						
609	312	1000.0	416.0	0.994	0.315	11.0						
609	320	1000.0	522.0	1.031	0.247	12.0						
609	325	1000.0	418.0	1.016	0.331	12.0						
609	330	1000.0	504.0	0.523	0.226	11.0						
609	334	1000.0	374.0	0.512	0.222	11.0						
609	294	1200.0	432.0	0.499	0.228	11.0						
609	307	1200.0	514.0	1.007	0.260	10.0						
609	308	1200.0	553.0	2.030	0.335	10.0						
609	321	1200.0	514.0	1.036	0.255	10.0						
609	333	1200.0	424.0	0.518	0.209	12.0						

(TS-610)

REF	Fighetti, C. F. and Reddy, D. G., Parametric Study of CHF Data, EPRI-NP-2609, Vol. 3, Pt. 2, Sep. 1982.														
ITS	EPRI-610														
BRL	Circular Unheated														
LTC	Mixed3														
UNT	British														
GMT	NRT 28 NRH 28 PRP (PR11=0.65472; PR12=0.66841; PR22=0.81358; PR23=0.66660; PR33=0.64205) DRH 0.598 DRU SRW 0.057 ZHT 72.000 AFT 5.1331 (5.147 Report) RCC DTF 4.068 EOD														
APS	Uniform														
NAP	(Z/Zh) (Q/Qa)														
APF	NTC 1														
ZTC	ZTC 71.000														
NZG	NZG 12														
NKG	NKG 2														
CKG	CKG 1.000 (Type) 1.000 (0.000 0.000 Report)														
ZGS	ZGS (Type) 2 (Z) 2 9.00 2 16.75 1 18.00 2 27.00 2 34.75 1 36.00 2 37.50 2 45.00 1 54.00 2 55.50 2 63.00 2 70.50														
NWW	NWW														
PWW	PWW														
DWW	DWW														
RNS	RNS (NRing DRing PRod)														
PRod)	1 3.3560 0.65472 1 2 3 4 5 6 7 8 9 10 11 12 13 14 15 16 (1 3.3500 0.6578														
Report)	2 2.1260 0.81358 17 18 19 20 21 22 23 24 (2 2.1260 0.8349														
Report)	3 0.9080 0.64205 25 26 27 28 (3 0.9080 0.7131														
Report)	RPF 1.101 1.101 1.101 1.101 1.101 1.101 1.101 1.101 1.101 1.101 1.101 1.101 1.101 1.101 1.101 1.101														
TMP	0.865 0.865 0.865 0.865 0.865 0.865 0.865 0.865 0.865 0.865 0.865 0.865 0.865 0.865 0.865 0.865														
IRC	0														
ICC	0														
EOD															
EPRI-610 (AE)	39														
(SN RN PE TI GI QA NI)	(psi F MI/hf2 MB/hf2)														
610 1 750. 370.0 0.503 0.378 4.0															
610 4 750. 495.0 0.497 0.314 4.0															
610 8 750. 496.0 0.988 0.393 14.6															
610 12 750. 473.0 0.985 0.426 14.0															
610 2 1000. 371.5 0.506 0.381 4.1															
610 5 1000. 531.0 0.496 0.291 4.0															
610 7 1000. 531.0 0.982 0.358 6.1															
610 11 1000. 472.5 0.990 0.420 14.0															
610 15 1000. 533.0 1.476 0.423 4.0															
610 21 1000. 528.5 1.557 0.434 14.0															

610	39	1000.	534.0	1.472	0.429	4.0
610	44	1000.	532.0	0.491	0.280	14.0
610	6	1250.	558.5	0.991	0.320	4.0
610	9	1250.	463.0	1.022	0.414	4.0
610	14	1250.	564.0	1.473	0.367	2.0
610	16	1250.	518.0	1.516	0.417	4.0
610	19	1250.	560.0	1.994	0.396	2.0
610	22	1250.	549.5	1.954	0.430	4.0
610	26	1250.	560.0	2.233	0.435	2.0
610	30	1250.	561.0	2.328	0.434	2.0
610	31	1250.	564.5	1.967	0.402	2.0
610	37	1250.	565.0	1.477	0.374	2.0
610	41	1250.	561.0	1.486	0.374	4.0
610	43	1250.	560.0	1.001	0.329	14.0
610	46	1250.	552.0	1.975	0.431	4.0
610	47	1250.	518.0	1.501	0.423	4.0
610	48	1250.	463.0	1.033	0.420	4.0
610	3	1500.	358.0	0.511	0.360	4.0
610	10	1500.	455.0	1.002	0.389	4.0
610	13	1500.	570.0	1.489	0.335	4.0
610	17	1500.	513.0	1.501	0.405	4.0
610	18	1500.	574.0	1.984	0.367	2.0
610	23	1500.	537.0	1.975	0.416	4.0
610	24	1500.	577.0	2.479	0.411	2.0
610	27	1500.	560.0	2.476	0.431	4.0
610	28	1500.	581.5	2.965	0.438	2.0
610	33	1500.	576.5	2.494	0.417	2.0
610	35	1500.	580.0	1.996	0.370	2.0
610	42	1500.	578.0	1.917	0.383	2.0

(TS-613)

REF Fighetti, C. F. and Reddy, D. G., Parametric Study of CHF Data,
EPRI-NP-2609, Vol. 3, Pt. 2, Sep. 1982.

ITS EPRI-613

BRL Circular Unheated

LTC Mixed4

UNT British

GMT

NRT	37
NRH	36
PRP	(PR11=0.59075; PR12=0.58506; PR1F=0.68764)
DRH	0.542
DRU	0.542
SRW	0.062
ZHT	72.000
AFT	4.4606 (4.433 Report)
RCC	
DTF	4.068
EOD	
APS	Uniform
NAP	
APF	(Z/Zh) (Q/Qa)
NTC	1
ZTC	71.500
NZG	7
NKG	1
CKG	1.000 (0.000 Report)
ZGS	(Type) (Z)
1	9.00
1	18.00
1	27.00
1	36.00
1	45.00
1	54.00
1	63.00

NWW

PWW

DWW

RNS	(NRing DRing PProd)	(NRing
DRing PProd)		
0.0000	1 3.4020 0.59075	1 2 3 4 5 6 7 8 9 10 11 12 13 14 15 16 17 18
Report)	2 2.34026 0.58506	(1 0.0000
0.0000	19 20 21 22 23 24 25 26 27 28 29 30	(2 0.0000
Report)		

	3	1.17013	0.58506	31	32	33	34	35	36		(3	0.0000					
0.0000	Report)	4	0.0000	0.0000	37						(4	0.0000					
0.0000	Report)	RPF															
1.149	1.146	1.145	1.152	1.149	1.134	1.157	1.151	1.156	1.152	1.140	1.149	1.152	1.154	1.154	1.151	1.143	1.160
		0.885	0.881	0.880	0.884	0.884	0.877	0.882	0.883	0.902	0.878	0.882	0.904				
		0.783	0.786	0.774	0.782	0.784	0.776										
		0.000															
TMP		0.005															
IRC		0															
ICC		0															
EOD																	

EPRI-613 (AE) 38

(SN	RN	PE	TI	GI	QA	N1)
		psi	F MI/hf2	MB/hf2)
613	42	1005.	536.0	1.210	0.250	34.0
613	43	1250.	565.0	0.990	0.218	34.0
613	44	1250.	555.0	0.990	0.222	34.0
613	45	1250.	542.0	0.990	0.228	34.0
613	46	1250.	522.0	0.990	0.234	31.0
613	47	1250.	504.0	0.990	0.241	36.0
613	48	1250.	486.0	1.000	0.247	36.0
613	49	1480.	594.0	0.960	0.188	34.0
613	50	1505.	562.0	1.000	0.201	36.0
613	51	1490.	542.0	0.990	0.208	36.0
613	52	1490.	517.5	0.990	0.218	36.0
613	53	1490.	487.5	1.000	0.229	36.0
613	54	1505.	455.0	0.990	0.241	36.0
613	55	1495.	412.0	1.010	0.264	32.0
613	73	1000.	539.0	0.490	0.172	34.0
613	74	1000.	514.0	0.500	0.180	34.0
613	75	1000.	490.0	0.500	0.189	34.0
613	76	1000.	488.0	0.520	0.183	34.0
613	77	1000.	465.0	0.490	0.191	34.0
613	78	1000.	435.0	0.490	0.198	36.0
613	79	1000.	397.0	0.500	0.204	36.0
613	80	1000.	356.0	0.500	0.213	36.0
613	81	1515.	528.0	0.520	0.146	36.0
613	82	1500.	542.0	0.510	0.153	36.0
613	98	1500.	585.0	1.490	0.218	31.0
613	99	1500.	548.0	1.430	0.236	31.0
613	100	1500.	508.0	1.490	0.265	31.0
613	101	1500.	592.0	1.970	0.235	31.0
613	102	1500.	569.0	1.970	0.252	31.0
613	103	1500.	504.0	0.510	0.162	31.0
613	104	1500.	465.0	0.510	0.174	34.0
613	105	1500.	430.0	0.500	0.186	35.0
613	106	1500.	395.0	0.510	0.190	34.0
613	107	1500.	354.0	0.500	0.207	34.0
613	108	1500.	296.0	0.480	0.222	34.3
613	109	750.	502.0	0.490	0.197	36.0
613	110	750.	470.0	0.430	0.207	31.0
613	111	750.	419.0	0.510	0.222	31.0

(TS-801)

REF Fighetti, C. F. and Reddy, D. G., Parametric Study of CHF Data,
EPRI-NP-2609, Vol. 3, Pt. 2, Sep. 1982.

ITS EPRI-801

BRL Circular Unheated

LTC Mixed2

UNT British

GMT

NRT	19
NRH	19
PRP	(PR12=0.71237; PR13=0.74051; PR23=0.67437; PR34=0.7115)
DRH	0.625
DRU	
SRW	0.085
ZHT	48.000
AFT	4.3723 (4.306 Report)

RCC
 DTF 3.604
 EOD
 APS Uniform
 NAP
 APF (Z/Zh) (Q/Qa)
 NTC 1
 ZTC 47.250
 NZG
 NKG
 CKG
 ZGS (Type) (Z)
 NWW 1 90. Counterclockwise
 PWL 9.000
 DWW 0.049373 (Minimum: PR23-DRH=0.67437-0.625)
 RNS (NRing DRing PProd) (NRing DRing PProd)
 1 2.8090 0.71237 1 3 5 7 9 11 (1 2.8040 1.4682 Report)
 2 2.6720 0.71237 2 4 6 8 10 12 (2 2.6720 1.3991 Report)
 3 1.4230 0.7115 13 14 15 16 17 18 (3 1.4230 0.7451 Report)
 4 0.0000 0.0000 19 (4 0.0000 0.0000 Report)
 RPF
 1.164 1.164 1.164 1.164 1.164 1.164
 1.164 1.164 1.164 1.164 1.164 1.164
 0.719 0.719 0.719 0.719 0.719 0.719
 0.719
 TMP 0.050
 IRC 0
 ICC 0
 EOD

EPRI-801 (UK) 38
 (SN RN PE TI GI QA NI)
 (psi F MI/hf2 MB/hf2)
 801 1 1000. 527.0 0.500 0.320 12.0
 801 2 1000. 488.0 0.500 0.367 12.0
 801 3 1000. 447.0 0.510 0.416 12.0
 801 4 1000. 526.0 0.770 0.371 12.0
 801 5 1000. 487.0 0.760 0.436 2.0
 801 6 1000. 447.0 0.760 0.486 2.0
 801 7 1000. 526.0 1.500 0.414 2.0
 801 8 1000. 486.0 1.490 0.507 2.0
 801 9 1000. 447.0 1.490 0.589 2.0
 801 10 1000. 525.0 2.010 0.442 2.0
 801 11 1000. 486.0 2.020 0.545 2.0
 801 12 1000. 446.0 2.010 0.643 2.0
 801 13 1000. 454.0 0.510 0.418 12.0
 801 14 1000. 408.0 0.490 0.455 2.0
 801 15 1000. 358.0 0.500 0.502 2.0
 801 16 1000. 408.0 0.750 0.552 2.0
 801 17 1000. 361.0 0.780 0.625 2.0
 801 18 1000. 410.0 1.500 0.683 2.0
 801 19 1000. 435.0 2.000 0.707 6.0
 801 20 1000. 464.0 1.980 0.619 10.0
 801 21 1000. 506.0 2.010 0.483 2.0
 801 22 1000. 505.0 1.520 0.493 2.0
 801 23 1000. 507.0 0.770 0.420 2.0
 801 24 1000. 505.0 0.500 0.357 12.0
 801 25 1000. 506.0 0.500 0.327 0.0
 801 26 1000. 528.0 2.530 0.466 10.0
 801 27 1000. 492.0 2.550 0.609 2.0
 801 28 1000. 466.0 2.530 0.624 0.0
 801 29 1000. 471.0 2.480 0.655 6.0
 801 30 1000. 513.0 2.460 0.515 10.0
 801 31 1000. 528.0 1.900 0.451 2.0
 801 32 1000. 529.0 1.940 0.440 10.0
 801 36 1000. 410.0 0.500 0.457 2.0
 801 37 1000. 410.0 0.460 0.435 12.0
 801 38 1000. 501.0 2.000 0.527 10.0
 801 39 1000. 470.0 2.040 0.610 10.0
 801 40 1000. 431.0 2.060 0.690 2.0
 801 41 1000. 432.0 1.520 0.648 10.0

(TS-802)

REF	Fighetti, C. F. and Reddy, D. G., Parametric Study of CHF Data, EPRI-NP-2609, Vol. 3, Pt. 2, Sep. 1982.											
ITS	EPRI-802											
BRL	Circular Unheated											
LTC	Mixed1											
UNT	British											
GMT	NRT 19 NRH 18 PRP (PR12=0.71237; PR13=0.74051; PR23=0.67437; PR34=0.7115) DRH 0.625 DRU 0.596 SRW 0.065 ZHT 48.000 AFT 4.3723 (4.306 Report) RCC DTF 3.604 EOD APS Uniform NAP (Z/Zh) (Q/Qa) NTC 1 ZTC 47.250 NZG 5 NKG 1 CKG 1.000 ZGS (Type) (Z) 1 0.00 1 10.00 1 20.00 1 30.00 1 40.00 NWW PWW DWW RNS (NRing DRing PProd) 1 2.7490 0.7115 1 2 3 4 5 6 7 8 9 10 11 12 (1 2.7490 0.7197 Report) 2 1.4230 0.7115 13 14 15 16 17 18 (2 1.4740 0.7718 Report) 3 0.0000 0.0000 19 (3 0.0000 0.0000 Report) RPF 1.141 1.141 1.141 1.141 1.141 1.141 1.141 1.141 1.141 1.141 1.141 1.141 0.719 0.719 0.719 0.719 0.719 0.719 0.719 0.719 0.719 0.719 0.719 0.719 0.000 TMP 0.005 IRC 0 ICC 0 EOD EPRI-802 (UK) 9 (SN RN PE TI GI QA NI) (psi F MI/hf2 MB/hf2) 802 42 1000.0 527.0 0.510 0.419 11.0 802 43 1000.0 489.0 0.520 0.462 11.0 802 44 1000.0 448.0 0.510 0.488 11.0 802 45 1000.0 528.0 0.650 0.477 11.0 802 46 1000.0 489.0 0.740 0.520 11.0 802 47 1000.0 446.0 0.740 0.570 11.0 802 48 1000.0 532.0 1.490 0.604 9.0 802 49 1000.0 492.0 1.490 0.680 11.0 802 50 1000.0 451.0 1.510 0.741 11.0											

(TS-805)

REF	Fighetti, C. F. and Reddy, D. G., Parametric Study of CHF Data, EPRI-NP-2609, Vol. 3, Pt. 2, Sep. 1982.											
ITS	EPRI-805											
BRL	Circular Unheated											
LTC	Mixed1											
UNT	British											
GMT	NRT 19 NRH 18 PRP (PR12=0.71237; PR13=0.74051; PR23=0.67437; PR34=0.7115) DRH 0.625											

DRU	0.596
SRW	0.065
ZHT	48.000
AFT	4.3723 (4.306 Report)
RCC	
DTF	3.604
EOD	
APS	Uniform
NAP	
APF	(Z/Zh) (Q/Qa)
NTC	1
ZTC	47.250
NZG	5
NKG	1
CKG	1.000
ZGS	(Type) (Z)
	1 0.00
	1 10.00
	1 20.00
	1 30.00
	1 40.00
NWW	
PWW	
DWW	
RNS	(NRing DRing PRod)
	1 2.8440 0.7361 1 2 3 4 5 6 7 8 9 10 11 12 (1 2.8440 0.7446 Report)
	2 1.4722 0.7361 13 14 15 16 17 18 (2 1.4740 0.7718 Report)
	3 0.0000 0.0000 19 (3 0.0000 0.0000 Report)
RPF	1.105 1.105 1.105 1.105 1.105 1.105 1.105 1.105 1.105 1.105 1.105 1.105 1.105
	0.789 0.789 0.789 0.789 0.789 0.789 0.789 0.789 0.789 0.789 0.789 0.789 0.789
	0.000
TMP	0.005
IRC	0
ICC	0
EOD	
EPRI-805 (UK)	11
(SN RN PE TI GI QA N1))
(psi F MI/hf2 MB/hf2
805 76	1000.0 518.0 0.498 0.445 11.0
805 77	1000.0 479.0 0.491 0.477 11.0
805 78	1000.0 442.0 0.495 0.517 11.0
805 79	1000.0 398.0 0.499 0.544 5.0
805 80	1000.0 522.0 0.733 0.541 11.0
805 81	1000.0 480.0 0.736 0.588 11.0
805 82	1000.0 442.0 0.740 0.638 11.0
805 83	1000.0 400.0 0.750 0.685 11.0
805 84	1000.0 522.0 1.479 0.671 4.0
805 85	1000.0 480.0 1.476 0.768 5.0
805 86	1000.0 442.0 1.484 0.844 7.0

(TS-806)

REF	Fighetti, C. F. and Reddy, D. G., Parametric Study of CHF Data, EPRI-NP-2609, Vol. 3, Pt. 2, Sep. 1982.
ITS	EPRI-806
BRL	Circular Unheated
LTC	Mixed2
UNT	British
GMT	
NRT	19
NRH	19
PRP	(PR12=0.71237; PR13=0.74051; PR23=0.67437; PR34=0.7115)
DRH	0.625
DRU	
SRW	0.083
ZHT	48.000
AFT	4.3723 (4.306 Report)
RCC	
DTF	3.604
EOD	
APS	Uniform
NAP	

APP	(Z/Zh)	(Q/Qa)	
NTC	1		
ZTC	47.250		
NZG			
NKG			
CKG			
ZGS	(Type)	(Z)	
NWW	1	90.	
PWW	9.000	Counterclockwise	
DWW	0.049373	(Minimum: PR23-DRH=0.67437-0.625)	
RNS	(NRing DRing PRod)	(NRing DRing PRod)	
	1 2.8090 0.71237	1 3 5 7 9 11 (1 2.8040 1.4682 Report)	
	2 2.6720 0.71237	2 4 6 8 10 12 (2 2.6720 1.3991 Report)	
	3 1.4230 0.7115	13 14 15 16 17 18 (3 1.4230 0.7451 Report)	
	4 0.0000 0.0000	19 (4 0.0000 0.0000 Report)	
RPF	1.149 1.149 1.149 1.149 1.149 1.149		
	1.149 1.149 1.149 1.149 1.149 1.149		
	0.745 0.745 0.745 0.745 0.745 0.745		
	0.745		
TMP	0.050		
IRC	0		
ICC	0		
EOD			
EPRI-806 (UK)	15		
(SN RN PE	TI GI QA N1)		
(psi	F MI/hf2 MB/hf2)	
806 87	1000.0	515.0 0.490	0.318 2.0
806 88	1000.0	516.0 0.740	0.369 2.0
806 89	1000.0	520.0 1.460	0.429 2.0
806 90	1000.0	522.0 1.940	0.442 2.0
806 91	1000.0	518.0 1.980	0.455 2.0
806 92	1000.0	480.0 1.950	0.570 2.0
806 93	1000.0	477.0 1.470	0.541 2.0
806 94	1000.0	441.0 1.470	0.603 2.0
806 95	1000.0	443.0 1.910	0.668 2.0
806 96	1000.0	439.0 0.740	0.457 2.0
806 97	1000.0	402.0 0.750	0.496 2.0
806 98	1000.0	477.0 0.740	0.413 2.0
806 99	1000.0	477.0 0.480	0.340 2.0
806 100	1000.0	440.0 0.490	0.371 2.0
806 101	1000.0	400.0 0.500	0.403 2.0

(TS-807)

REF Fighetti, C. F. and Reddy, D. G., Parametric Study of CHF Data, EPRI-NP-2609, Vol. 3, Pt. 2, Sep. 1982.

ITS	EPRI-807
BRL	Circular Unheated
LTC	Mixed1
UNT	British
GMT	
NRT	19
NRH	18
PRP	(PR12=0.71237; PR13=0.74051; PR23=0.67437; PR34=0.7115)
DRH	0.625
DRU	0.596
SRW	0.065
ZHT	48.000
AFT	4.3723 (4.306 Report)
RCC	
DTF	3.604
EOD	
APS	Uniform
NAP	
APP	(Z/Zh) (Q/Qa)
NTC	1
ZTC	47.250
NZG	5
NKG	1
CKG	1.000
ZGS	(Type) (Z)
1	0.00

1	10.00	
1	20.00	
1	30.00	
1	40.00	
NWW		
PWW		
DWW		
RNS	(NRing DRing PProd)	
1	2.8440 0.7361	1 2 3 4 5 6 7 8 9 10 11 12 (1 2.8440 0.7446 Report)
2	1.4722 0.7361	13 14 15 16 17 18 (2 1.4740 0.7718 Report)
3	0.0000 0.0000	19 (3 0.0000 0.0000 Report)
RPF	1.112 1.112 1.112 1.112 1.112 1.112 1.112 1.112 1.112 1.112 1.112 1.112 1.112	
	0.775 0.775 0.775 0.775 0.775 0.775	
	0.000	
TMP	0.005	
IRC	0	
ICC	0	
EOD		

EPRI-807 (UK)		12				
(SN	RN	PE	TI	GI	QA	N1)
(psi	F MI/hf2	MB/hf2)	
807	102	1000.0	521.0	0.506	0.443	11.0
807	103	1000.0	525.0	0.730	0.551	12.0
807	104	1000.0	522.0	1.365	0.658	11.0
807	105	1000.0	522.0	1.953	0.768	11.0
807	106	1000.0	518.0	1.487	0.718	11.0
807	107	1000.0	488.0	1.473	0.776	11.0
807	108	1000.0	479.0	0.743	0.602	11.0
807	109	1000.0	438.0	0.752	0.650	11.0
807	110	1000.0	400.0	0.747	0.686	11.0
807	111	1000.0	479.0	0.491	0.478	11.0
807	112	1000.0	441.0	0.496	0.506	11.0
807	113	1000.0	400.0	0.498	0.540	11.0

(TS-808)

REF	Fighetti, C. F. and Reddy, D. G., Parametric Study of CHF Data, EPRI-NP-2609, Vol. 3, Pt. 2, Sep. 1982.	
ITS	EPRI-808	
BRL	Circular	Unheated
LTC	Mixed2	
UNT	British	
GMT		
NRT	19	
NRH	19	
PRP	(PR12=0.71237; PR13=0.74051; PR23=0.67437; PR34=0.7115)	
DRH	0.625	
DRU		
SRW	0.083	
ZHT	48.000	
AFT	4.3723	(4.306 Report)
RCC		
DTF	3.604	
EOD		
APS	Uniform	
NAP		
APF	(Z/Zh)	(Q/Qa)
NTC	1	
ZTC	47.250	
NZG		
NKG		
CKG		
ZGS	(Type)	(Z)
NWW	1	90.
PWW	9.000	Counterclockwise
DWW	0.049373 (Minimum: PR23-DRH=0.67437-0.625)	
RNS	(NRing DRing PProd)	(NRing DRing PProd)
1	2.8090 0.71237	1 3 5 7 9 11 (1 2.8040 1.4682 Report)
2	2.6720 0.71237	2 4 6 8 10 12 (2 2.6720 1.3991 Report)
3	1.4230 0.7115	13 14 15 16 17 18 (3 1.4230 0.7451 Report)
4	0.0000 0.0000	19 (4 0.0000 0.0000 Report)
RPF		

1.155	1.155	1.155	1.155	1.155	1.155	1.155
1.155	1.155	1.155	1.155	1.155	1.155	1.155
0.735	0.735	0.735	0.735	0.735	0.735	0.735
0.735						
TMP	0.050					
IRC	0					
ICC	0					
EOD						

EPRI-808 (UK)		16				
(SN	RN	PE psi	TI F MI/hf2	GI MB/hf2	QA	N1)
808	114	1000.0	521.0	0.499	0.325	2.0
808	115	1000.0	521.0	0.742	0.399	4.0
808	116	1000.0	520.0	1.430	0.517	4.0
808	117	1000.0	521.0	1.980	0.521	4.0
808	118	1000.0	520.0	2.370	0.534	4.0
808	119	1000.0	480.0	1.970	0.648	2.0
808	120	1000.0	470.0	1.480	0.631	2.0
808	121	1000.0	480.0	0.490	0.356	2.0
808	122	1000.0	440.0	0.470	0.382	2.0
808	123	1000.0	399.0	0.500	0.422	2.0
808	124	1000.0	485.0	0.740	0.442	4.0
808	125	1000.0	438.0	0.753	0.499	4.0
808	126	1000.0	397.0	0.764	0.537	4.0
808	127	1000.0	442.0	1.490	0.628	2.0
808	128	1000.0	456.0	1.990	0.729	2.0
808	129	1000.0	474.0	2.490	0.720	2.0

(TS-809)

REF Fighetti, C. F. and Reddy, D. G., Parametric Study of CHF Data,
EPRI-NP-2609, Vol. 3, Pt. 2, Sep. 1982.

ITS EPRI-809

BRL Circular Unheated

LTC Mixed1

UNT British

GMT

NRT	19			
NRH	18			
PRP	(PR12=0.71237; PR13=0.74051; PR23=0.67437; PR34=0.7115)			

DRH 0.625

DRU 0.687

SRW 0.085

ZHT 48.000

AFT 4.308 (4.320 Report)

RCC

DTF 3.604

EOD

APS Uniform

NAP (Z/Zh) (Q/Qa)

NTC 1

ZTC 47.250

NZG 5

NKG 1

CKG 1.000

ZGS (Type) (Z)

1 0.00

1 10.00

1 20.00

1 30.00

1 40.00

NWW

PWW

DWW

RNS (NRing DRing PRod) (NRing DRing PRod)

1	2.8440	0.7361	1	2	3	4	5	6	7	8	9	10	11	12	(1	2.8440	0.7446	Report)
---	--------	--------	---	---	---	---	---	---	---	---	---	----	----	----	----	--------	--------	---------

2	1.4722	0.7361	13	14	15	16	17	18							(2	1.4740	0.7718	Report)
---	--------	--------	----	----	----	----	----	----	--	--	--	--	--	--	----	--------	--------	---------

3	0.0000	0.0000	19												(3	0.0000	0.0000	Report)
---	--------	--------	----	--	--	--	--	--	--	--	--	--	--	--	----	--------	--------	---------

RPF

1.105	1.105	1.105	1.105	1.105	1.105	1.105	1.105	1.105	1.105	1.105	1.105	1.105	1.105	1.105
-------	-------	-------	-------	-------	-------	-------	-------	-------	-------	-------	-------	-------	-------	-------

0.791	0.791	0.791	0.791	0.791	0.791	0.791	0.791	0.791	0.791	0.791	0.791	0.791	0.791	0.791
-------	-------	-------	-------	-------	-------	-------	-------	-------	-------	-------	-------	-------	-------	-------

0.000

TMP 0.005
 IRC 0
 ICC 0
 EOD

EPRI-809 (UK)		6				
(SN	RN	PE	TI	GI	QA	N1)
		psi	F MI/hf2	MB/hf2)	
809	130	1000.0	520.0	0.484	0.377	8.0
809	131	1000.0	519.0	0.723	0.455	8.0
809	132	1000.0	519.0	1.453	0.583	10.0
809	133	1000.0	519.0	1.937	0.635	10.0
809	134	1000.0	482.0	1.904	0.688	2.0
809	135	1000.0	436.0	1.962	0.740	10.0

(TS-810)

REF Fighetti, C. F. and Reddy, D. G., Parametric Study of CHF Data,
 EPRI-NP-2609, Vol. 3, Pt. 2, Sep. 1982.

ITS EPRI-810
 BRL Circular Unheated
 LTC Mixed1
 UNT British

GMT
 NRT 19
 NRH 18
 PRP (PR12=0.71237; PR13=0.74051; PR23=0.67437; PR34=0.7115)
 DRH 0.625
 DRU 0.687
 SRW 0.065
 ZHT 48.000
 AFT 4.308 (4.320 Report)
 RCC
 DTF 3.604
 EOD

APS Uniform
 NAP
 APF (Z/Zh) (Q/Qa)
 NTC 1
 ZTC 47.250
 NZG 5
 NKG 1
 CKG 1.000
 ZGS (Type) (Z)
 1 0.00
 1 10.00
 1 20.00
 1 30.00
 1 40.00

NWW
 PWW
 DWW
 RNS (NRing DRing PRod) (NRing DRing PRod)
 1 2.8440 0.7361 1 2 3 4 5 6 7 8 9 10 11 12 (1 2.8440 0.7446 Report)
 2 1.4722 0.7361 13 14 15 16 17 18 (2 1.4740 0.7718 Report)
 3 0.0000 0.0000 19 (3 0.0000 0.0000 Report)

RPF 1.083 1.083 1.083 1.174 1.174 1.174 1.174 1.083 1.083 1.083 1.083
 0.774 0.774 0.774 0.774 0.774 0.774
 0.000

TMP 0.005
 IRC 0
 ICC 0
 EOD

EPRI-810 (UK)		12				
(SN	RN	PE	TI	GI	QA	N1)
		psi	F MI/hf2	MB/hf2)	
810	136	1000.0	525.0	0.480	0.466	7.0
810	137	1000.0	528.0	0.718	0.558	9.0
810	138	1000.0	526.0	1.465	0.707	9.0
810	139	1000.0	519.0	1.988	0.773	11.0
810	140	1000.0	484.0	1.454	0.794	9.0
810	141	1000.0	496.0	1.945	0.817	11.0
810	142	1000.0	483.0	0.724	0.629	9.0

810	143	1000.0	440.0	0.742	0.690	5.0
810	144	1000.0	402.0	0.751	0.740	5.0
810	145	1000.0	483.0	0.481	0.507	5.0
810	146	1000.0	442.0	0.485	0.537	5.0
810	147	1000.0	400.0	0.488	0.573	5.0

(WAPD-1)

REF LeTourneau, B.W., et. al., CHF and Pressure Drop Tests with ...

WAPD-TM-1013, Jan. 1975.

ITS WAPD-01

BRL Parallel Unheated

LTC Triangular

UNT British

GMT

NRT	20
NRH	20
PRP	0.340
DRH	0.250
DRU	
SRW	0.090
ZHT	54.000
AFT	0.0001
RCC	0.215
NRC	5 4

EOD

APS Uniform

NAP

APP (Z/Zh) (Q/Qa)

NTC 2

ZTC 53.750 51.000

NZG 5

NKG 1

CKG 0.0

ZGS	(Type)	(Z)
1		3.0
1		15.0
1		27.0
1		39.0
1		51.0

NWW

PWW

DWW

RNS

1	2	3	4
5	6	7	8
9	10	11	12
13	14	15	16
17	18	19	20

RPF

1.500	1.500	1.500	1.500
1.250	1.250	1.250	1.250
1.000	1.000	1.000	1.000
0.750	0.750	0.750	0.750
0.500	0.500	0.500	0.500

TMP 0.005

IRC 0

ICC 0

EOD

(SN	RN	(WH)				
		PE	TI	GI	QA	N1)
(psi	F MI/hf2	MB/hf2)		
100	5	2000.0	599.6	0.498	0.161	5.1
100	6	2000.0	499.5	0.499	0.211	5.1
100	7	2000.0	502.1	0.498	0.223	5.1
100	8	2000.0	399.8	0.500	0.254	5.1
100	9	2000.0	601.0	1.001	0.203	5.1
100	10	2000.0	601.7	0.992	0.228	5.1
100	11	2000.0	499.5	0.997	0.277	5.1
100	12	2000.0	498.6	1.008	0.286	5.1
100	13	2000.0	499.5	0.999	0.307	5.1
100	14	2000.0	499.5	0.998	0.312	5.1
100	15	2000.0	399.8	0.998	0.380	5.1



100 16	2000.0	601.0	1.492	0.236	5.1
100 17	2000.0	498.6	1.487	0.366	5.1
100 18	2000.0	601.0	1.995	0.297	5.1
100 19	2000.0	497.8	1.990	0.458	5.1
100 20	2000.0	601.0	2.990	0.395	5.1
100 21	2000.0	502.1	3.000	0.626	5.1
100 22	2000.0	601.0	3.500	0.458	5.1
100 23	2000.0	497.8	4.030	0.792	5.1
100 25	1600.0	501.2	0.498	0.216	5.1
100 26	1600.0	497.7	0.999	0.324	5.1
100 30	1200.0	501.1	0.499	0.222	5.1
100 31	1200.0	400.7	0.503	0.275	5.1
100 32	1200.0	298.2	0.496	0.310	5.1
100 33	1200.0	498.5	0.997	0.320	5.1
100 34	1200.0	500.2	0.998	0.322	5.1
100 35	1200.0	400.7	0.999	0.413	5.1
100 36	1200.0	305.0	0.991	0.490	5.1
100 37	1200.0	501.1	1.997	0.425	5.1
100 38	1200.0	501.9	2.990	0.513	5.1
100 39	1200.0	497.6	3.910	0.639	5.1

(WAPD-2)

REF LeTourneau, B.W., et. al., CHF and Pressure Drop Tests with ...
WAPD-TM-1013, Jan. 1975.

ITS WAPD-02

BRL Parallel Unheated

LTC Triangular

UNT British

GMT

NRT	20
NRH	20
PRP	0.340
DRH	0.250
DRU	
SRW	0.090
ZHT	54.000
AFT	0.0001 (???) Report
RCC	0.215 (.5*DRH+SRW)
NRC	5 4

EOD

APS Uniform

NAP

APF (Z/Zh) (Q/Qa)

NTC 2

ZTC 53.750 50.000

NZG 6

NKG 1

CKG 0.0

ZGS (Type) (Z)

1 3.0

1 15.0

1 27.0

1 39.0

1 51.0

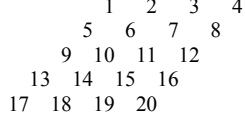
1 54.0

NWW

PWW

DWW

RNS



RPF

1.500	1.500	1.500	1.500
1.250	1.250	1.250	1.250
1.000	1.000	1.000	1.000
0.750	0.750	0.750	0.750
0.500	0.500	0.500	0.500

TMP 0.005

IRC 0

ICC 0

EOD

WAPD-02	(WH)	24				
(SN	RN	PE	TI	GI	QA	N1)
(psi	F MI/hf2	MB/hf2)	
200 6		2000.0	598.3	0.498	0.158	5.1
200 7		2000.0	491.7	0.500	0.215	5.1
200 8		2000.0	399.8	0.498	0.244	5.1
200 9		2000.0	299.6	0.495	0.292	5.1
200 10		2000.0	198.4	0.502	0.307	5.1
200 11		2000.0	599.0	0.994	0.203	5.1
200 12		2000.0	498.6	0.995	0.291	5.1
200 13		2000.0	499.5	0.995	0.295	5.1
200 14		2000.0	497.8	0.954	0.298	5.1
200 15		2000.0	399.8	0.999	0.354	5.1
200 16		2000.0	400.7	0.999	0.362	5.1
200 17		2000.0	298.7	0.989	0.422	5.1
200 18		2000.0	299.6	0.993	0.423	5.1
200 19		2000.0	197.4	1.003	0.502	5.1
200 20		2000.0	499.5	1.495	0.382	5.1
200 21		2000.0	499.5	2.000	0.447	5.1
200 22		2000.0	501.2	3.000	0.604	5.1
200 23		2000.0	501.2	4.000	0.757	5.1
200 25		1600.0	498.6	0.486	0.218	5.1
200 26		1600.0	498.6	0.996	0.321	5.1
200 29		1200.0	499.4	0.499	0.229	5.1
200 30		1200.0	295.2	0.496	0.340	5.1
200 31		1200.0	498.5	0.998	0.347	5.1
200 32		1200.0	307.9	0.990	0.493	5.1

(WAPD-3)

REF LeTourneau, B.W., et. al., CHF and Pressure Drop Tests with ...
WAPD-TM-1013, Jan. 1975.

ITS WAPD-03

BRL Parallel Unheated

LTC Triangular

UNT British

GMT

NRT	20
NRH	20
PRP	0.340
DRH	0.250
DRU	
SRW	0.090
ZHT	54.000
AFT	0.0001 (???? Report)
RCC	0.215 (.5*DRH+SRW)
NRC	5 4

EOD

APS Uniform

NAP

APF (Z/Zh) (Q/Qa)

NTC 2

ZTC 53.750 51.000

NZG 5

NKG 1

CKG 0.0

ZGS (Type) (Z)

1	3.0
1	15.0
1	27.0
1	39.0
1	51.0

NWW

PWW

DWW

RNS

1	2	3	4
5	6	7	8
9	10	11	12
13	14	15	16
17	18	19	20

RPF

1.500 1.500 1.500 1.500

		1.250	1.250	1.250	1.250
		1.000	1.000	1.000	1.000
		0.750	0.750	0.750	0.750
		0.500	0.500	0.500	0.500
TMP		0.005			
IRC		0			
ICC		0			
EOD					

WAPD-03 (SN RN	((WH) 39				
		PE psi	TI F MI/hf2	GI MB/hf2	QA	N1)
300 4		2000.0	599.0	0.500	0.164	5.1
300 5		2000.0	501.2	0.499	0.188	5.1
300 6		2000.0	398.8	0.501	0.242	5.1
300 7		2000.0	599.0	0.997	0.214	5.1
300 8		2000.0	498.6	1.001	0.312	5.1
300 9		2000.0	397.0	1.013	0.392	5.1
300 10		2000.0	401.7	1.000	0.411	5.1
300 11		2000.0	599.6	1.496	0.230	5.1
300 12		2000.0	498.6	1.503	0.402	5.1
300 13		2000.0	397.9	1.512	0.523	5.1
300 14		2000.0	299.6	1.512	0.621	5.1
300 15		2000.0	598.3	2.000	0.290	5.1
300 16		2000.0	499.5	2.000	0.474	5.1
300 17		2000.0	502.1	2.000	0.486	5.1
300 18		2000.0	401.7	2.010	0.655	5.1
300 19		2000.0	299.6	2.020	0.782	5.1
300 20		2000.0	201.4	2.020	0.951	5.1
300 21		2000.0	598.3	3.000	0.381	5.1
300 22		2000.0	501.2	3.000	0.623	5.1
300 23		2000.0	503.0	3.010	0.662	5.1
300 24		2000.0	398.8	3.020	0.882	5.1
300 25		2000.0	498.6	3.880	0.778	5.1
300 26		2000.0	404.5	4.020	1.043	5.1
300 27		1600.0	500.3	1.001	0.311	5.1
300 28		1600.0	400.2	1.005	0.387	5.1
300 29		1600.0	498.6	2.000	0.437	5.1
300 30		1600.0	399.3	2.010	0.592	5.1
300 31		1600.0	501.2	3.000	0.552	5.1
300 32		1600.0	399.3	3.010	0.786	5.1
300 33		1200.0	501.1	0.996	0.342	5.1
300 34		1200.0	397.0	1.005	0.405	5.1
300 35		1200.0	200.2	1.008	0.576	5.1
300 36		1200.0	498.5	1.994	0.428	5.1
300 37		1200.0	402.6	2.010	0.590	5.1
300 38		1200.0	300.1	2.010	0.746	5.1
300 39		1200.0	200.2	2.020	0.899	5.1
300 40		1200.0	501.1	2.990	0.527	5.1
300 41		1200.0	399.8	3.010	0.789	5.1
300 42		1200.0	403.5	4.010	0.910	5.1

(WAPD-4)

REF LeTourneau, B.W., et. al., CHF and Pressure Drop Tests with ...
WAPD-TM-1013, Jan. 1975.

ITS WAPD-04

BRL Parallel Unheated

LTC Triangular

UNT British

GMT

NRT	20
NRH	20
PRP	0.340
DRH	0.250
DRU	
SRW	0.090
ZHT	54.000
AFT	0.0001
RCC	0.215
NRC	5
EOD	4

APS Uniform
NAP

APP	(Z/Zh)	(Q/Qa)
NTC	3	
ZTC	53.500	52.875 43.500
NZG	4	
NKG	1	
CKG	0.0	
ZGS	(Type)	(Z)
	1	9.0
	1	21.0
	1	33.0
	1	45.0
NWW		
PWW		
DWW		
RNS		
	1 2 3 4	
	5 6 7 8	
	9 10 11 12	
	13 14 15 16	
	17 18 19 20	
RPF		
	1.500 1.500 1.500 1.500	
	1.250 1.250 1.250 1.250	
	1.000 1.000 1.000 1.000	
	0.750 0.750 0.750 0.750	
	0.500 0.500 0.500 0.500	
TMP	0.005	
IRC	0	
ICC	0	
EOD		

WAPD-04 (SN	RN	PE (psi	30				0.146	5.1
			TI F MI/hf2	GI MB/hf2	QA)	N1		
400	5	2000.0	598.3	0.498				
400	6	2000.0	496.0	0.500			0.191	5.1
400	7	2000.0	397.0	0.505			0.249	5.1
400	8	2000.0	200.4	0.503			0.331	5.1
400	9	2000.0	596.9	0.976			0.153	5.1
400	10	2000.0	499.5	1.001			0.274	5.1
400	11	2000.0	497.8	1.001			0.283	5.1
400	12	2000.0	401.7	1.005			0.370	5.1
400	13	2000.0	399.8	1.012			0.373	5.1
400	14	2000.0	200.4	1.002			0.506	5.1
400	15	2000.0	599.6	1.494			0.242	5.1
400	16	2000.0	499.5	1.503			0.373	5.1
400	17	2000.0	601.7	1.997			0.289	5.1
400	18	2000.0	501.2	2.000			0.463	5.1
400	19	2000.0	501.2	2.000			0.471	5.1
400	20	2000.0	400.7	2.020			0.630	5.1
400	21	2000.0	296.7	2.020			0.791	5.1
400	22	2000.0	601.0	2.990			0.363	5.1
400	23	2000.0	497.8	3.020			0.641	5.1
400	24	2000.0	403.5	3.010			0.849	5.1
400	25	2000.0	501.2	4.010			0.776	5.1
400	28	1200.0	497.6	0.497			0.221	5.1
400	29	1200.0	204.2	0.501			0.362	5.1
400	30	1200.0	500.2	0.995			0.314	5.1
400	31	1200.0	200.2	1.002			0.532	5.1
400	32	1200.0	498.5	2.000			0.433	5.1
400	33	1200.0	401.6	2.000			0.559	5.1
400	34	1200.0	501.1	3.000			0.527	5.1
400	35	1200.0	400.7	3.010			0.731	5.1
400	36	1200.0	495.9	4.000			0.608	5.1

(WAPD-5)

REF LeTourneau, B.W., et. al., CHF and Pressure Drop Tests with ...
 WAPD-TM-1013, Jan. 1975.

ITS WAPD-05

BRL Parallel Unheated

LTC Triangular

UNT British

GMT

NRT	20
NRH	20
PRP	0.340
DRH	0.250
DRU	
SRW	0.090
ZHT	54.000
AFT	0.0001 (???) Report
RCC	0.215 (.5*DRH+SRW)
NRC	5 4
EOD	
APS	Uniform
NAP	
APF	(Z/Zh) (Q/Qa)
NTC	2
ZTC	53.750 50.000
NZG	6
NKG	1
CKG	0.0
ZGS	(Type) (Z)
1	3.0
1	15.0
1	27.0
1	39.0
1	51.0
1	54.0

NWW

PWW

DWW

RNS

1	2	3	4
5	6	7	8
9	10	11	12
13	14	15	16
17	18	19	20

RPF

1.000	1.000	1.000	1.000
1.000	1.000	1.000	1.000
1.000	1.000	1.000	1.000
1.000	1.000	1.000	1.000
1.000	1.000	1.000	1.000

TMP 0.005

IRC 0

ICC 0

EOD

WAPD-05 (WH) 3 (SN RN PE TI GI QA NI)
(psi F MI/hf2 MB/hf2)
500 3 2000.0 499.5 0.499 0.279 5.1
500 4 2000.0 399.8 0.508 0.337 5.1
500 5 2000.0 397.9 1.002 0.524 5.1

(WAPD-6)

REF LeTourneau, B.W., et. al., CHF and Pressure Drop Tests with ...
WAPD-TM-1013, Jan. 1975.

ITS WAPD-06

BRL Parallel Unheated

LTC Triangular

UNT British

GMT

NRT	20
NRH	20
PRP	0.340
DRH	0.250
DRU	
SRW	0.090
ZHT	54.000
AFT	0.0001 (???) Report
RCC	0.215 (.5*DRH+SRW)
NRC	5 4
EOD	
APS	Uniform
NAP	

APP	(Z/Zh)	(Q/Qa)			
NTC	2				
ZTC	53.630	49.000			
NZG	5				
NKG	1				
CKG	0.0				
ZGS	(Type)	(Z)			
	1	3.0			
	1	15.0			
	1	27.0			
	1	39.0			
	1	51.0			
NWW					
PWW					
DWW					
RNS					
	1 2 3 4				
	5 6 7 8				
	9 10 11 12				
	13 14 15 16				
	17 18 19 20				
RPF					
	1.000 1.000 1.000 1.000				
	1.000 1.000 1.000 1.000				
	1.000 1.000 1.000 1.000				
	1.000 1.000 1.000 1.000				
	1.000 1.000 1.000 1.000				
TMP	0.005				
IRC	0				
ICC	0				
EOD					
WAPD-06	(WH)	23			
(SN RN	PE	TI	GI	QA	N1)
(psi	F	MI/hf2	MB/hf2)
600 4	2000.0	601.7	0.497	0.211	5.1
600 5	2000.0	498.6	0.501	0.275	5.1
600 6	2000.0	198.4	0.503	0.422	5.1
600 7	2000.0	598.3	0.997	0.266	5.1
600 8	2000.0	501.2	0.998	0.392	5.1
600 9	2000.0	499.5	1.009	0.404	5.1
600 10	2000.0	596.9	1.501	0.332	5.1
600 11	2000.0	501.2	1.499	0.521	5.1
600 12	2000.0	572.1	2.090	0.481	5.1
600 13	2000.0	499.5	2.000	0.635	5.1
600 14	2000.0	572.9	3.070	0.620	5.1
600 15	2000.0	496.9	3.010	0.855	5.1
600 16	2000.0	567.5	3.620	0.713	5.1
600 18	1600.0	497.7	0.500	0.309	5.1
600 19	1600.0	500.3	0.998	0.405	5.1
600 20	1600.0	499.4	2.000	0.579	5.1
600 24	1200.0	501.9	0.498	0.330	5.1
600 25	1200.0	401.6	0.500	0.392	5.1
600 26	1200.0	197.2	0.502	0.496	5.1
600 27	1200.0	500.2	0.998	0.468	5.1
600 28	1200.0	398.8	1.000	0.573	5.1
600 29	1200.0	501.9	1.991	0.591	5.1
600 30	1200.0	500.2	2.990	0.751	5.1

(WAPD-7)

REF	LeTourneau, B.W., et. al., CHF and Pressure Drop Tests with ...
	WAPD-TM-1013, Jan. 1975.
ITS	WAPD-07
BRL	Parallel Unheated
LTC	Triangular
UNT	British
GMT	
	NRT 20
	NRH 20
	PRP 0.340
	DRH 0.250
	DRU
	SRW 0.090
	ZHT 54.000

AFT	0.0001	(.???)	Report
RCC	0.215	(.5*DRH+SRW)	
NRC	5	4	
EOD			
APS	Uniform		
NAP			
APF	(Z/Zh)	(Q/Qa)	
NTC	2		
ZTC	53.630	53.000	
NZG	4		
NKG	1		
CKG	0.0		
ZGS	(Type)	(Z)	
	1	9.0	
	1	21.0	
	1	33.0	
	1	45.0	

NWW

PWW

DWW

RNS

1	2	3	4
5	6	7	8
9	10	11	12
13	14	15	16
17	18	19	20

RPF

1.000	1.000	1.000	1.000
1.000	1.000	1.000	1.000
1.000	1.000	1.000	1.000
1.000	1.000	1.000	1.000

TMP	0.005
IRC	0
ICC	0
EOD	

WAPD-07	(WH)	35				
(SN	RN	PE	TI	GI	QA	N1)
(psi	F MI/hf2	MB/hf2)	
700 4		2000.0	603.1	0.498	0.188	5.1
700 5		2000.0	498.6	0.501	0.236	5.1
700 6		2000.0	398.8	0.502	0.272	5.1
700 7		2000.0	598.3	0.973	0.204	5.1
700 8		2000.0	598.3	1.001	0.208	5.1
700 9		2000.0	499.5	1.005	0.345	5.1
700 10		2000.0	499.5	1.001	0.353	5.1
700 11		2000.0	499.5	1.013	0.355	5.1
700 12		2000.0	396.0	1.009	0.447	5.1
700 13		2000.0	402.6	1.005	0.445	5.1
700 14		2000.0	399.8	1.003	0.485	5.1
700 15		2000.0	198.4	1.012	0.630	5.1
700 16		2000.0	499.5	1.502	0.486	5.1
700 17		2000.0	396.0	1.518	0.630	5.1
700 18		2000.0	197.4	1.517	0.816	5.1
700 19		2000.0	569.1	2.050	0.460	5.1
700 20		2000.0	499.5	2.010	0.616	5.1
700 21		2000.0	404.5	2.010	0.806	5.1
700 22		2000.0	195.4	2.020	0.988	5.1
700 23		2000.0	398.8	3.020	1.038	5.1
700 24		1600.0	500.3	1.009	0.326	5.1
700 25		1600.0	497.7	2.000	0.518	5.1
700 26		1600.0	500.3	3.010	0.695	5.1
700 29		1200.0	500.2	0.499	0.297	5.1
700 30		1200.0	399.8	0.502	0.364	5.1
700 31		1200.0	198.2	0.503	0.460	5.1
700 32		1200.0	501.9	1.013	0.389	5.1
700 33		1200.0	496.8	0.998	0.419	5.1
700 34		1200.0	400.7	1.009	0.498	5.1
700 35		1200.0	197.2	1.004	0.632	5.1
700 36		1200.0	497.6	2.000	0.492	5.1
700 37		1200.0	400.7	2.010	0.695	5.1
700 38		1200.0	203.2	2.020	1.014	5.1
700 39		1200.0	495.9	3.010	0.669	5.1
700 40		1200.0	400.7	3.010	0.864	5.1

(WAPD-8)

REF LeTourneau, B.W., et. al., CHF and Pressure Drop Tests with ...
WAPD-TM-1013, Jan. 1975.

ITS WAPD-08

BRL Parallel Unheated

LTC Triangular

UNT British

GMT

NRT	20
NRH	20
PRP	0.340
DRH	0.250
DRU	
SRW	0.090
ZHT	54.000
AFT	0.0001 (???? Report)
RCC	0.215 (.5*DRH+SRW)
NRC	5 4

EOD

APS Uniform

NAP

APF (Z/Zh) (Q/Qa)

NTC 3

ZTC 53.500 52.875 43.500

NZG 4

NKG 1

CKG 0.0

ZGS	(Type)	(Z)
1		9.0
1		21.0
1		33.0
1		45.0

NWW

PWW

DWW

RNS

1	2	3	4
5	6	7	8
9	10	11	12
13	14	15	16
17	18	19	20

RPF

	1.500	1.500	1.500	1.500
	1.250	1.250	1.250	1.250
	1.000	1.000	1.000	1.000
	0.750	0.750	0.750	0.750
	0.500	0.500	0.500	0.500

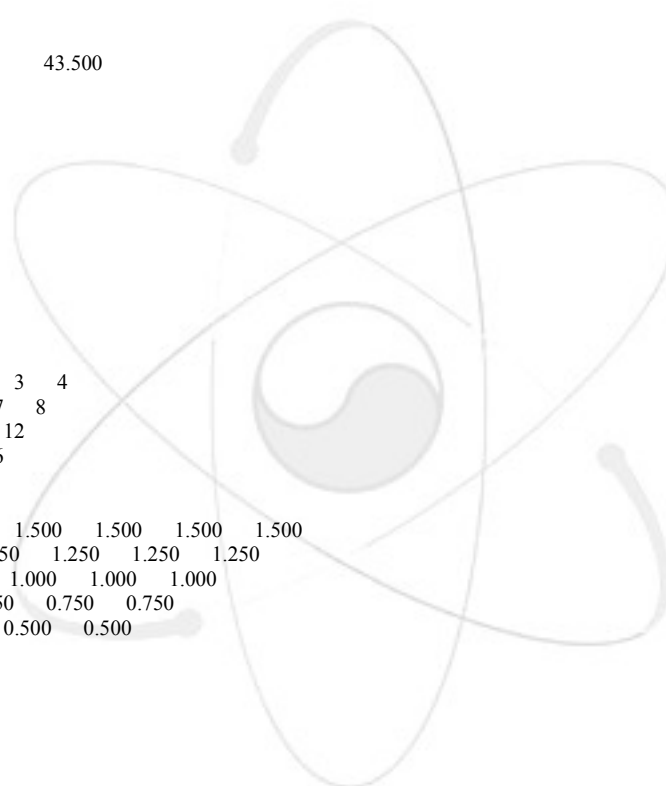
TMP 0.005

IRC 0

ICC 0

EOD

WAPD-08	(WH)	42					
(SN	RN	PE	TI	GI	QA	NI)
(psi	F MI/hf2	MB/hf2)
800 5		2000.0	600.3	0.500	0.139	5.1	
800 6		2000.0	497.8	0.440	0.185	5.1	
800 7		2000.0	399.8	0.499	0.254	5.1	
800 8		2000.0	200.4	0.498	0.335	5.1	
800 9		2000.0	599.6	0.965	0.208	5.1	
800 10		2000.0	596.9	1.000	0.194	5.1	
800 11		2000.0	500.4	0.995	0.290	5.1	
800 12		2000.0	500.4	1.000	0.302	5.1	
800 13		2000.0	402.6	0.990	0.384	5.1	
800 14		2000.0	400.7	0.995	0.395	5.1	
800 15		2000.0	399.8	1.000	0.371	5.1	
800 16		2000.0	211.4	0.990	0.561	5.1	
800 17		2000.0	606.4	1.490	0.238	5.1	
800 18		2000.0	500.4	1.500	0.401	5.1	
800 19		2000.0	397.9	1.495	0.535	5.1	
800 20		2000.0	595.5	2.000	0.306	5.1	
800 21		2000.0	499.5	2.000	0.494	5.1	
800 22		2000.0	403.5	2.000	0.660	5.1	
800 23		2000.0	399.8	2.000	0.630	5.1	



800 24	2000.0	599.0	3.000	0.398	5.1
800 25	2000.0	501.2	2.990	0.645	5.1
800 26	2000.0	500.4	3.880	0.780	5.1
800 28	1600.0	500.3	0.498	0.195	5.1
800 29	1600.0	497.7	1.000	0.294	5.1
800 30	1600.0	497.7	1.000	0.267	5.1
800 31	1600.0	499.4	1.495	0.350	5.1
800 32	1600.0	499.4	2.000	0.422	5.1
800 33	1600.0	500.3	3.000	0.567	5.1
800 37	1200.0	498.5	0.499	0.221	5.1
800 38	1200.0	397.9	0.497	0.252	5.1
800 39	1200.0	198.2	0.497	0.342	5.1
800 40	1200.0	498.5	0.995	0.308	5.1
800 41	1200.0	498.5	1.000	0.299	5.1
800 42	1200.0	397.9	0.993	0.385	5.1
800 43	1200.0	397.0	1.000	0.348	5.1
800 44	1200.0	396.0	1.000	0.345	5.1
800 45	1200.0	499.4	1.495	0.349	5.1
800 46	1200.0	400.7	1.500	0.440	5.1
800 47	1200.0	497.6	1.990	0.403	5.1
800 48	1200.0	397.0	2.000	0.533	5.1
800 49	1200.0	498.5	3.000	0.530	5.1
800 50	1200.0	498.5	3.680	0.605	5.1

(WAPD-9)

REF LeTourneau, B.W., et. al., CHF and Pressure Drop Tests with ...
WAPD-TM-1013, Jan. 1975.

ITS WAPD-09

BRL Parallel Unheated

LTC Triangular

UNT British

GMT

NRT	20
NRH	20
PRP	0.340
DRH	0.250
DRU	
SRW	0.060
ZHT	54.000
AFT	0.0001 (???? Report)
RCC	0.175 (.5*DRH+SRW)
NRC	5 4

EOD

APS Uniform

NAP

APF (Z/Zh) (Q/Qa)

NTC 3

ZTC 53.500 52.875 43.500

NZG 4

NKG 1

CKG 0.0

ZGS (Type) (Z)
1 9.0
1 21.0
1 33.0
1 45.0

NWW

PWW

DWW

RNS

1	2	3	4
5	6	7	8
9	10	11	12
13	14	15	16
17	18	19	20

RPF

1.500	1.500	1.500	1.500
1.250	1.250	1.250	1.250
1.000	1.000	1.000	1.000
0.750	0.750	0.750	0.750
0.500	0.500	0.500	0.500

TMP 0.005

IRC 0

ICC 0

EOD

WAPD-09	(WH)	45				
(SN	RN	PE	TI	GI	QA	N1)
(psi	F MI/hf2	MB/hf2)	
900 7		2005.0	599.0	0.574	0.128	5.1
900 8		2000.0	499.5	0.572	0.205	5.1
900 9		1990.0	497.8	0.574	0.189	5.1
900 10		2002.0	497.8	0.572	0.190	5.1
900 11		2005.0	404.5	0.572	0.242	5.1
900 12		2000.0	398.8	0.571	0.258	5.1
900 13		1998.0	398.8	0.571	0.249	5.1
900 14		2005.0	199.4	0.575	0.356	5.1
900 15		2000.0	597.6	1.109	0.187	5.1
900 16		1995.0	500.4	1.145	0.314	5.1
900 17		2000.0	498.6	1.145	0.309	5.1
900 18		2005.0	498.6	1.148	0.306	5.1
900 19		2000.0	401.7	1.142	0.406	5.1
900 20		2000.0	401.7	1.151	0.404	5.1
900 21		1990.0	398.9	1.143	0.423	5.1
900 22		2000.0	197.4	1.152	0.603	5.1
900 23		2000.0	598.3	1.719	0.251	5.1
900 24		2005.0	504.7	1.720	0.409	5.1
900 25		2000.0	501.2	1.717	0.424	5.1
900 26		2000.0	399.8	1.727	0.499	5.1
900 27		2000.0	199.4	1.725	0.833	5.1
900 28		1995.0	598.2	2.297	0.301	5.1
900 29		2000.0	499.5	2.297	0.524	5.1
900 30		2000.0	403.5	2.301	0.632	5.1
900 31		2000.0	397.9	2.306	0.700	5.1
900 32		2000.0	200.4	2.303	1.027	5.1
900 33		2002.0	599.7	3.153	0.379	5.1
900 34		1995.0	501.2	3.444	0.707	5.1
900 35		2000.0	501.2	3.425	0.680	5.1
900 36		2000.0	397.9	3.459	0.967	5.1
900 38		1595.0	499.4	0.572	0.184	5.1
900 39		1605.0	497.7	1.145	0.291	5.1
900 40		1605.0	396.5	1.142	0.367	5.1
900 41		1605.0	500.3	2.298	0.462	5.1
900 42		1600.0	499.4	3.441	0.605	5.1
900 46		1200.0	499.4	0.571	0.202	5.1
900 47		1195.0	400.7	0.569	0.235	5.1
900 48		1198.0	500.2	1.142	0.291	5.1
900 49		1200.0	402.6	1.153	0.375	5.1
900 50		1205.0	397.9	1.141	0.382	5.1
900 51		1200.0	198.2	1.151	0.581	5.1
900 52		1207.0	498.5	2.286	0.393	5.1
900 53		1195.0	406.3	2.291	0.615	5.1
900 54		1204.0	499.4	3.433	0.537	5.1
900 55		1210.0	399.8	3.448	0.807	5.1

(WAPD-10)

REF	LeTourneau, B.W., et. al., CHF and Pressure Drop Tests with ...		
	WAPD-TM-1013, Jan. 1975.		
ITS	WAPD-10		
BRL	Parallel Unheated		
LTC	Triangular		
UNT	British		
GMT			
	NRT	20	
	NRH	20	
	PRP	0.340	
	DRH	0.250	
	DRU		
	SRW	0.090	
	ZHT	54.000	
	AFT	0.0001	(.?? Report)
	RCC	0.215	(.5*DRH+SRW)
	NRC	5	4
	EOD		
APS	Uniform		
NAP			
APF	(Z/Zh)	(Q/Qa)	
NTC	3		

ZTC 53.500 52.875 43.500

NZG 4

NKG 1

CKG 0.0

ZGS (Type) (Z)

1 9.0

1 21.0

1 33.0

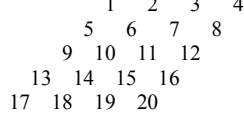
1 45.0

NWW

PWW

DWW

RNS



RPF

	1.000	1.000	1.000	1.000
	1.000	1.000	1.000	1.000
	1.000	1.000	1.000	1.000
	1.000	1.000	1.000	1.000
1.000	1.000	1.000	1.000	

TMP 0.005

IRC 0

ICC 0

EOD

WAPD-10 (SN	RN	PE (psi	17			
			TI F MI/hf2	GI MB/hf2	QA	N1)
1000	5	2000.0	599.0	0.499	0.196	5.1
1000	6	2000.0	498.6	0.499	0.241	5.1
1000	7	2000.0	399.8	0.500	0.295	5.1
1000	8	2000.0	200.4	0.500	0.402	5.1
1000	9	2000.0	600.3	0.966	0.245	5.1
1000	10	2000.0	500.4	0.995	0.368	5.1
1000	11	2000.0	499.5	0.998	0.357	5.1
1000	12	2000.0	400.7	1.000	0.492	5.1
1000	13	1995.0	498.6	1.497	0.519	5.1
1000	14	2000.0	496.9	2.003	0.633	5.1
1000	16	1595.0	500.3	0.498	0.283	5.1
1000	17	1603.0	500.3	0.996	0.385	5.1
1000	21	1195.0	496.8	0.495	0.323	5.1
1000	22	1200.0	397.0	0.499	0.378	5.1
1000	23	1200.0	198.2	0.500	0.468	5.1
1000	24	1195.0	500.2	0.992	0.437	5.1
1000	25	1205.0	398.8	0.998	0.522	5.1

(WAPD-11)

REF LeTourneau, B.W., et. al., CHF and Pressure Drop Tests with ...

WAPD-TM-1013, Jan. 1975.

ITS WAPD-11

BRL Parallel Unheated

LTC Triangular

UNT British

GMT

NRT 20

NRH 20

PRP 0.340

DRH 0.250

DRU

SRW 0.090

ZHT 54.000

AFT 0.0001 (???? Report)

RCC 0.215 (.5*DRH+SRW)

NRC 5 4

EOD

APS Uniform

NAP

APP (Z/Zh) (Q/Qa)

NTC 1

ZTC	53.630
NZG	4
NKG	1
CKG	0.0
ZGS	(Type) (Z)
	1 9.0
	1 21.0
	1 33.0
	1 45.0

NWW
PWW
DWW
RNS

1	2	3	4
5	6	7	8
9	10	11	12
13	14	15	16
17	18	19	20

RPF

1.000	1.000	1.000	1.000
1.000	1.000	1.000	1.000
1.000	1.000	1.000	1.000
1.000	1.000	1.000	1.000
1.000	1.000	1.000	1.000

TMP	0.005
IRC	0
ICC	0
EOD	

WAPD-11 (SN RN	PE (psi	26			
		TI F MI/hf ²	GI MB/hf ²	QA	N1)
1100	5	2000.0	599.0	0.498	0.183 5.1
1100	6	2000.0	499.5	0.497	0.239 5.1
1100	7	2000.0	397.9	0.498	0.276 5.1
1100	8	2000.0	200.4	0.502	0.368 5.1
1100	9	2000.0	600.3	1.006	0.230 5.1
1100	10	2000.0	498.6	1.007	0.303 5.1
1100	11	2000.0	498.6	0.996	0.297 5.1
1100	12	2000.0	400.7	0.996	0.394 5.1
1100	13	2000.0	400.7	0.999	0.396 5.1
1100	14	2000.0	200.4	0.995	0.555 5.1
1100	15	2000.0	599.6	1.508	0.304 5.1
1100	16	2000.0	498.6	1.502	0.410 5.1
1100	17	2000.0	397.9	1.501	0.560 5.1
1100	18	2000.0	569.8	2.008	0.376 5.1
1100	19	2000.0	500.4	2.003	0.520 5.1
1100	20	2000.0	401.7	2.002	0.672 5.1
1100	24	1200.0	499.4	0.497	0.322 5.1
1100	25	1200.0	399.8	0.498	0.367 5.1
1100	26	1200.0	199.2	0.500	0.452 5.1
1100	27	1200.0	499.4	1.003	0.423 5.1
1100	28	1200.0	496.8	0.995	0.431 5.1
1100	29	1200.0	397.9	0.996	0.526 5.1
1100	30	1200.0	199.2	0.999	0.629 5.1
1100	31	1200.0	498.5	1.502	0.491 5.1
1100	32	1200.0	399.8	1.500	0.570 5.1
1100	33	1200.0	498.5	2.005	0.570 5.1

(WAPD-13)

REF	LeTourneau, B.W., et. al., CHF and Pressure Drop Tests with ...
	WAPD-TM-1013, Jan. 1975.
ITS	WAPD-13
BRL	Parallel Unheated
LTC	Triangular
UNT	British
GMT	
	NRT 20
	NRH 20
	PRP 0.340
	DRH 0.280
	DRU
	SRW 0.045
	ZHT 54.000

AFT	0.0001	(.???)	Report)
RCC	0.185	(.5*DRH+SRW)	
NRC	5	4	
EOD			
APS	Uniform		
NAP			
APP	(Z/Zh)	(Q/Qa)	
NTC	1		
ZTC	53.500		
NZG	4		
NKG	1		
CKG	0.0		
ZGS	(Type)	(Z)	
	1	9.0	
	1	21.0	
	1	33.0	
	1	45.0	

NWW

PWW

DWW

RNS

1	2	3	4
5	6	7	8
9	10	11	12
13	14	15	16
17	18	19	20

RPF

1.000	1.000	1.000	1.000
1.000	1.000	1.000	1.000
1.000	1.000	1.000	1.000
1.000	1.000	1.000	1.000

TMP	0.005
IRC	0
ICC	0
EOD	

WAPD-13 (SN RN	(WH) PE (psi	37 F MI/hf2	GI MB/hf2	QA)	N1)
1300	5	2000.0	198.7	0.503	0.301 5.1
1300	6	2000.0	401.8	0.503	0.222 5.1
1300	7	2000.0	500.4	0.503	0.189 5.1
1300	8	2000.0	599.7	0.504	0.153 5.1
1300	9	2000.0	199.2	1.006	0.481 5.1
1300	10	2000.0	397.5	1.008	0.332 5.1
1300	11	2000.0	400.3	1.015	0.330 5.1
1300	12	2000.0	501.0	1.008	0.253 5.1
1300	13	2000.0	501.0	1.001	0.284 5.1
1300	14	2000.0	499.7	1.001	0.248 5.1
1300	15	2000.0	598.4	1.014	0.187 5.1
1300	16	2000.0	599.5	1.004	0.192 5.1
1300	17	2000.0	500.5	1.512	0.336 5.1
1300	18	2000.0	600.1	1.520	0.225 5.1
1300	19	2000.0	216.6	1.992	0.808 5.1
1300	20	2000.0	403.4	2.002	0.596 5.1
1300	21	2000.0	498.4	2.005	0.436 5.1
1300	22	2000.0	600.4	2.015	0.261 5.1
1300	23	2000.0	402.0	2.991	0.800 5.1
1300	24	2000.0	500.5	3.014	0.603 5.1
1300	25	2000.0	602.4	3.029	0.365 5.1
1300	26	2000.0	399.3	3.990	0.926 5.1
1300	27	2000.0	500.1	4.005	0.740 5.1
1300	29	1600.0	497.9	0.498	0.212 5.1
1300	30	1600.0	499.9	1.005	0.308 5.1
1300	31	1600.0	500.0	2.004	0.455 5.1
1300	32	1600.0	499.8	3.008	0.566 5.1
1300	36	1200.0	198.5	0.501	0.346 5.1
1300	37	1200.0	400.2	0.501	0.292 5.1
1300	38	1200.0	498.6	0.503	0.242 5.1
1300	39	1200.0	207.6	1.003	0.550 5.1
1300	40	1200.0	399.6	0.998	0.428 5.1
1300	41	1200.0	500.8	1.004	0.356 5.1
1300	42	1200.0	397.5	2.002	0.631 5.1
1300	43	1200.0	499.3	2.000	0.477 5.1
1300	44	1200.0	401.6	2.999	0.779 5.1

1300 45 1200.0 501.0 2.995 0.583 5.1

(WAPD-14)

REF Fighetti, C. F. and Reddy, D. G., Parametric Study of CHF Data,
EPRI-NP-2609, Vol. 3, Pt. 2, Sep. 1982.

ITS EPRI-601
BRL Circular Unheated
LTC Mixed1
UNT British
GMT

NRT	19
NRH	19
PRP	
DRH	0.780
DRU	
SRW	0.060
ZHT	72.000
AFT	3.9184 (3.918 Report)
RCC	
DTF	4.068
EOD	

APS Uniform

NAP (Z/Zh) (Q/Qa)

APF 1

NTC 71.250

ZTC 7

NZG 1

NKG 1.000 (0.000 Report)

CKG (Type) (Z)

ZGS 1 9.00

1 18.00

1 27.00

1 36.00

1 45.00

1 54.00

1 63.00

NWW
PWW
DWV
RNS (NRing DRing PRod)
1 3.1680 0.81994 1 2 3 4 5 6 7 8 9 10 11 12 (1 3.1680 0.8294 Report)
2 1.63988 0.81994 13 14 15 16 17 18 (2 1.6400 0.8587 Report)
3 0.0000 0.0000 19 (3 0.0000 0.0000 Report)

RPF 1.117 1.117 1.117 1.117 1.117 1.117 1.117 1.117 1.117 1.117 1.117 1.117
0.803 0.803 0.803 0.803 0.803 0.803
0.778

TMP 0.005

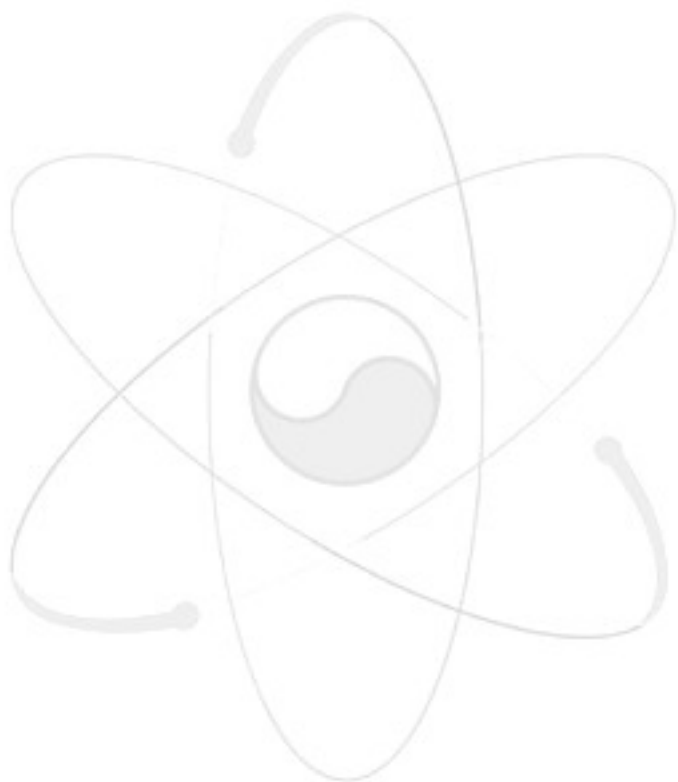
IRC 0

ICC 0

EOD

EPRI-601 (AE)		34				
(SN	RN	PE	TI	GI	QA	NI
		psi	F MI/hf2	MB/hf2)	
601	1	1000.	526.0	0.505	0.207	19.0
601	2	1000.	495.0	0.504	0.216	19.0
601	3	1000.	449.0	0.506	0.227	19.0
601	4	1000.	412.0	0.500	0.233	19.0
601	5	1000.	363.0	0.507	0.257	19.0
601	6	1000.	526.0	0.996	0.314	19.0
601	7	1000.	490.0	0.996	0.322	19.0
601	8	1000.	452.0	0.996	0.333	19.0
601	9	1000.	410.0	0.993	0.349	19.0
601	10	1000.	365.0	1.002	0.368	19.0
601	11	1000.	526.0	2.006	0.403	19.0
601	12	1000.	490.0	1.991	0.419	19.0
601	13	1000.	452.0	1.992	0.439	19.0
601	18	750.	491.0	0.496	0.227	19.0
601	19	750.	441.0	0.503	0.242	19.0
601	20	750.	377.0	0.500	0.254	19.0
601	21	750.	493.0	0.995	0.363	19.0
601	22	750.	443.0	0.994	0.384	19.0

601	23	750.	372.0	0.996	0.403	19.0
601	24	750.	492.0	2.024	0.461	19.0
601	27	1200.	544.0	0.497	0.190	19.0
601	28	1200.	491.5	0.510	0.206	19.0
601	29	1200.	423.0	0.500	0.218	19.0
601	30	1200.	543.0	1.008	0.284	19.0
601	31	1200.	421.0	1.002	0.313	19.0
601	32	1200.	487.5	0.993	0.289	19.0
601	33	1200.	543.0	1.989	0.373	19.0
601	34	1200.	492.0	2.005	0.402	19.0
601	35	1200.	431.0	2.018	0.449	19.0
601	36	1200.	543.0	3.004	0.457	2.0
601	38	500.	452.0	0.499	0.245	19.0
601	39	500.	441.0	0.996	0.395	19.0
601	40	500.	368.0	0.990	0.425	19.0
601	41	500.	359.0	0.508	0.260	19.0



-5. CHF

(가) Bowring mixed flow 상관식

<u>Functional form:</u> $q''_{CHF} = \frac{A + B \cdot \Delta h_{sub}}{C + Z \cdot Y}$	$B = 0.25 \cdot G \cdot d_{he} \exp(-0.2 \cdot G),$ $C = 60 \cdot d_{hy}^{0.57} \cdot G^{0.27} \cdot \left(1 + \frac{Y-1}{G+1}\right)$
(1) at $P < 1250$ psia, $A = \frac{242.4 \cdot F_1 \cdot G \cdot d_{he}}{1 + \frac{1.52(F_p d_{he})^2 G}{F_2 \cdot d_{hy}^{1.3} \cdot \left\{1 + G \cdot \left(0.8 F_p \frac{d_{he}}{d_{hy}} - 1\right)\right\}}},$ $F_1 = \left[1 - 0.04 P_T \left(1 + 0.47 P_T^2\right)^{0.5}\right]^2$ $F_2 = 0.45 + 1.25 P_T \quad \text{for } P < 415$ $= 0.424 + 1.959 P_T$ $- 1.556 P_T^2 \quad \text{for } 415 < P < 650$ $= (3.2 - P_T) \times$ $(0.32 + 0.135 P_T) \quad \text{for } P > 650 \text{ psia}$	(2) at $P > 1250$ psia $A = A_2 + (2.250 - P_T) \cdot (A_1 - A_2)$ where, $A_1 = \frac{242.4 \times 0.8726 \cdot G \cdot d_{he}}{1 + \frac{1.52(F_p d_{he})^2 G}{0.953 d_{hy}^{1.3} \left\{1 + G \left(0.8 F_p \frac{d_{he}}{d_{hy}} - 1\right)\right\}}}$ $A_2 = 18.0 \cdot G + \frac{9.5 G d_{he}}{0.1 + G}$
<u>Applicable ranges:</u> Pressure (6 to 155) bars, Mass velocity (50 to 4000) kg/m ² /s, Inlet temperature (subcooled), Channel hydraulic diameter (7.6 to 35.6) mm, Heated length (1.5 to 4.6) m, F_{xy} (1 to 1.32), F_z (1 to 1.38)	
<u>Parameters:</u> $P_T = P/1000$ (P = pressure in psia), d_{hy} = channel hydraulic diameter, in d_{he} = heated equivalent diameter, in Δh_{sub} = inlet subcooling, Btu/lb q''_{CHF} = critical heat flux, MBtu/hr/ft ²	G = mass flux, Mlb/h/ft ² F_p = radial peaking factor in the bundle, Y = Bowring's Y factor, $Y = \frac{1}{Z} \int_0^Z \frac{q''(z')}{q''(Z)} dz'.$

(나) PI-3P 상관식

<u>Functional form:</u> $q''_{CHF} = F \cdot \frac{1 + q''_{CHF} F_{xy}}{k_2 + q''_{CHF} F_{xy}} \cdot \left(\frac{3 + 2P_r}{2 + \chi_{in} + k_3 F_{xy} q''_{CHF}} - 1 \right)^{k_1} \cdot F_g$	
$F = 1.75 \times \frac{f_A \cdot f_B}{f_C \cdot f_D}$ $f_A = \left(\frac{1}{1 + (1 - P_r)^2 \cdot \left(\frac{60}{G} \right)} + 0.0013 \cdot GP_r \right)^{0.65}$ $f_B = 1.4 - P_r - \chi_{in}$ $f_C = (2 - P_r) \cdot (P_r^{1.6} + 0.16) \cdot \left(1 + \frac{5}{16 + 10^6 \cdot P_r^3} \right)$	$f_D = 1 + \max \{0, X\}$ $X = 0.005 \cdot \frac{Z_{CHF}}{d_{he} \cdot F_{xy}} + 3.2 \cdot (F_z^{0.6} - 1)$ $k_1 = 0.26 + \frac{0.02}{0.1 + P_r^2}$ $k_2 = 1.96 + \frac{0.04}{(0.1 + P_r)^2}$ $k_3 = \frac{4}{G \cdot h_{fg}} \cdot \frac{Z_{CHF}}{d_{he} \cdot F_{xy}}$
<u>Applicable ranges:</u> Pressure (2.8 to 187) bars, Mass velocity (36 to 7500) kg/m ² /s, Inlet quality (-1.1 to 0.3), Local quality (greater than -0.2), Channel hydraulic diameter (5 to 19) mm, Heated length (0.4 to 4.4) m, P/D ratio (1.02 to 2.48), F_{xy} (1 to 1.81), F_z (1 to 1.68)	
<u>Parameters:</u> P_r = relative pressure (= P/(221.15 bar)) G = bundle average mass velocity, kg/m ² /s d_{he} = subchannel equivalent diameter, m Z_{CHF} = distance from inlet to CHF location, m	h_{fg} = latent heat, MJ/kg F_z = axial peaking factor F_{xy} = radial peaking factor q''_{CHF} = critical heat flux, MW/m ²

(다) KfK-3 상관식

<p><u>Functional form:</u></p> $q''_{CHF} = \frac{A + B \cdot \Delta h_{sub}}{C + Z \cdot Y}$ $B = 0.25 \cdot G(d_{hy} F_p)$ $C = C' V \left(1 + \frac{Y - 1}{1 + G} \right), \quad C' = \frac{Q_4 F_3 \sqrt{G d_{hy} F_p}}{d_{hy}}$ $Q_1 = 1.748, Q_2 = 7.540, Q_4 = 8.783$	$A = \frac{0.25 \cdot G F_p d_{hy} h_{fg} F_1 Q_1}{1 + Q_2 F_2 G(d_{hy} F_p)}$ $F_1 = P_r^{0.982} \exp[1.17(1 - P_r)]$ $F_2 = P_r^{0.841} \exp[1.424(1 - P_r)]$ $F_3 = P_r^{1.851} \exp[1.241(1 - P_r)]$
<p>(1) for grid type spacer,</p> $V = -0.252 - 2.789 e^{-3.874G} + 1.915 e^{-0.234G}$ <p>, for $G \leq 3.5 \text{ Mlb/hr/ft}^2$</p> $V = 0.59, \text{ otherwise.}$	<p>(2) for wire-wrap spacer,</p> $V = 1 - FF \left[0.336 + 0.09G - 0.697 e^{-2.68G} \right]$ $FF = 2.6695 \left(F^{0.915} - 1 \right)$ $F = \sqrt{\frac{p}{d}} + \left[7.6 \frac{(p/d)^3}{H/d} \right]^{2.16} n_s^{1.58}$
<u>Applicable ranges:</u> (grid)/(single wire)/(six spiral ribs) spacers Pressure (29 to 160)/(70 to 100)/(70 to 160) bars, Mass velocity (70 to 6000)/(650 to 5550)/(1000 to 7000) kg/m ² /s, Steam quality (-0.52 to 0.96)/(-0.04 to 0.53)/(-0.53 to 0.09), Pitch to diameter, p/d, ratio (1.02 to 1.36)/(1.05 to 1.41)/(1.116)	
<u>Parameters:</u> n_s = number of wire starts d_{hy} = coolant channel hydraulic diameter, in F_p = radial peaking factor in the bundle P_r = $P/1000$ (P = pressure, psia) q''_{CHF} = critical heat flux, MBtu/hr/ft ²	G = mass flux (Mlb/h/ft ²) Z = distance from channel inlet, in Δh_{sub} = inlet subcooling, Btu/lb Y = Bowring's Y factor V = grid spacer parameter

(라) EPRI-1 상관식

<u>Functional form:</u> $q''_{CHF} = \frac{AF_a - \chi_{in}}{CF_c F_g C_{NU} + \left[\frac{\chi - \chi_{in}}{q''_{loc}} \right]}$	
$A = a_1 P_r^{a_2} G^{(a_5 + a_7 P_r)}$, $C = a_3 P_r^{a_4} G^{(a_6 + a_8 P_r)}$ $a_1 = 0.5328$, $a_2 = 0.1212$, $a_3 = 1.6151$, $a_4 = 1.4066$, $a_5 = -0.3040$, $a_6 = 0.4843$, $a_7 = -0.3285$, $a_8 = -2.0749$	$F_a = 1$ & $F_c = 1$, for matrix channel $F_a = G^{0.1}$ & $F_c = 1.183G^{0.1}$, for corner channel $F_g = 0.7 + 0.3 C_g$ $C_{NU} = 1 + \frac{Y-1}{1+G}$
<u>Applicable ranges:</u> Pressure (13.8 to 168.9) bars, Mass velocity (271 to 6103) kg/m ² /s, Local quality (-0.25 to 0.75), Channel hydraulic diameter (8.9 to 14.0) mm, Heated length (0.76 to 4.27) m, Rod diameter (9.7 to 17.3) mm,	
<u>Parameters:</u> C_g = grid loss coefficient q''_{CHF} = critical heat flux, MBtu/h/ft ² q''_{loc} = local heat flux, MBtu/h/ft ² G = local mass velocity, Mlb/h/ft ²	
P_r = reduced pressure ($P/P_{critical}$) Z_{CHF} = distance from inlet to CHF location χ = local thermodynamic quality χ_{in} = inlet thermodynamic quality	

(¶) Bowring tube 상관식[11]:

$$q''_c = \frac{A + B(h_f - h_{in})}{C + L}$$

$$\text{여기서, } A = \frac{2.317 \cdot \left(\frac{h_{fg} \cdot G \cdot D}{4} \right) \cdot F_1}{1 + 0.0143 \cdot F_2 \cdot D^{0.5} \cdot G}, \quad B = \frac{GD}{4},$$

$$C = \frac{0.077 \cdot F_3 \cdot D \cdot G}{1 + 0.347 \cdot F_4 \cdot \left(\frac{G}{1356} \right)^n}, \quad n = 2.0 - 0.5 \cdot P_r, \quad P_r = 0.145 \cdot P$$

when $P_r < 1$:

$$F_1 = \frac{1}{1.917} \left(P_r^{18.942} e^{20.890(1-P_r)} + 0.917 \right),$$

$$\frac{F_1}{F_2} = \frac{1}{1.309} \left(P_r^{1.316} e^{2.444(1-P_r)} + 0.309 \right)$$

$$F_3 = \frac{1}{1.667} \left(P_r^{17.023} e^{16.658(1-P_r)} + 0.667 \right), \quad \frac{F_4}{F_3} = P_r^{1.649}$$

when $P_r \geq 1$:

$$F_1 = P_r^{-0.368} e^{0.648(1-P_r)}, \quad \frac{F_1}{F_2} = P_r^{-0.448} e^{0.245(1-P_r)}$$

$$F_3 = P_r^{0.219}, \quad \frac{F_4}{F_3} = P_r^{1.649}$$

q''_c : critical heat flux (kW/m^2)

D: channel diameter (m), 접합체 적용 시 d_{he} 사용.

G: mass flux ($\text{kg/m}^2/\text{s}$), 접합체 적용 시 평균 유속 사용.

h_f / h_{in} : saturated / inlet enthalpy (kJ/kg)

L: heated length from inlet to CHF location (m)

P: pressure (MPa)

Applicable ranges:

Pressure	0.2 to 19 MPa
Diameter	0.002 to 0.045 m
Heated length	0.15 to 3.7 m
Mass flux	136 to 18600 $\text{kg/m}^2/\text{s}$

(¶) Katto 상관식

$$q''_c = q''_{c0} \cdot \left(1 + K \cdot \frac{h_f - h_{in}}{h_{fg}} \right)$$

$$\text{when } \frac{\rho_g}{\rho_f} < 0.15; \quad q''_{c0} = q''_A, \quad \text{for } q''_A < q''_B$$

$$q''_{c0} = \min\{q''_B, q''_C\}, \quad K = \max\{K_A, K_B\} \quad \text{for } q''_A > q''_B$$

$$\text{when } \frac{\rho_g}{\rho_f} \geq 0.15; \quad q''_{c0} = q''_A, \quad \text{for } q''_A < q''_D$$

$$q''_{c0} = \max\{q''_D, q''_E\}, \quad K = K_A, \quad \text{for } K_A > K_B \quad \text{for } q''_A > q''_D$$

$$K = \min\{K_B, K_D\}, \quad \text{for } K_A < K_B$$

where,

$$\begin{aligned} \frac{q''_A}{Gh_g} &= C \cdot \left(\frac{\sigma \rho_f}{G^2 L} \right)^{0.043} \cdot \frac{1}{(L/D)}, \\ C &= 0.25, \quad L/D < 50 \\ &= 0.25 + 0.0009(L/D - 50), \quad 50 < L/D < 150 \\ &= 0.34, \quad L/D > 150 \\ \frac{q''_B}{Gh_g} &= 0.10 \cdot \left(\frac{\rho_g}{\rho_f} \right)^{0.133} \cdot \left(\frac{\sigma \rho_f}{G^2 L} \right)^{1/3} \cdot \frac{1}{1 + 0.0031 \cdot (L/D)} \\ \frac{q''_C}{Gh_g} &= 0.098 \cdot \left(\frac{\rho_g}{\rho_f} \right)^{0.133} \cdot \left(\frac{\sigma \rho_f}{G^2 L} \right)^{0.433} \cdot \frac{(L/D)^{0.27}}{1 + 0.0031 \cdot (L/D)} \\ \frac{q''_D}{Gh_g} &= 0.234 \cdot \left(\frac{\rho_g}{\rho_f} \right)^{0.513} \cdot \left(\frac{\sigma \rho_f}{G^2 L} \right)^{0.433} \cdot \frac{(L/D)^{0.27}}{1 + 0.0031 \cdot (L/D)} \\ \frac{q''_E}{Gh_g} &= 0.0384 \cdot \left(\frac{\rho_g}{\rho_f} \right)^{0.60} \cdot \left(\frac{\sigma \rho_f}{G^2 L} \right)^{0.173} \cdot \frac{1}{1 + 0.280 \cdot (\sigma \rho_f / G^2 L)^{0.233} \cdot (L/D)} \end{aligned}$$

and,

$$\begin{aligned} K_A &= \frac{1.043}{4 \cdot C \cdot (\sigma \rho_f / G^2 L)^{0.043}} \\ K_B &= \frac{5}{6} \cdot \frac{0.0124 + (D/L)}{\left(\rho_g / \rho_f \right)^{0.133} \cdot \left(\sigma \rho_f / G^2 L \right)^{1/3}} \\ K_D &= 1.12 \cdot \frac{1.52 \cdot \left(\sigma \rho_f / G^2 L \right)^{0.233} + (D/L)}{\left(\rho_g / \rho_f \right)^{0.60} \cdot \left(\sigma \rho_f / G^2 L \right)^{0.173}} \end{aligned}$$

q''_c : critical heat flux (kW/m^2)

D: channel diameter (m), 집합체 적용 시 d_{he} 사용.

G: mass flux ($\text{kg/m}^2/\text{s}$), 집합체 적용 시 평균 유속 사용.

h_f / h_{in} : saturated / inlet enthalpy (kJ/kg)

L: heated length from inlet to CHF location (m)

σ : surface tension (N/m)

ρ_f / ρ_v : liquid / vapor density (kg/m^3)

(ㅅ) Shah 상관식

(a) Upstream Condition Correlation (UCC)

$$B_{o,UCC} = 0.124 \cdot \left(\frac{D}{L_E} \right)^{0.89} \left(\frac{10^4}{Y} \right)^n \left(1 - \chi_{in,E} \right)$$

$$\begin{aligned} n &= 0, && \text{for } Y \leq 10^4 \\ n &= (D/L_E)^{0.54}, && \text{for } 10^4 < Y \leq 10^6 \\ n &= 0.12/(1-\chi_{in,E})^{0.5}, && \text{for } Y > 10^6 \end{aligned}$$

$$L_E = L \text{ and } \chi_{in,E} = \chi_{in} \quad \text{for } \chi_{in} \leq 0$$

$$L_E = L_B \text{ and } x_{in,E} = 0 \quad \text{for } x_{in} > 0,$$

$$L_B = L + x_{in}/(4B_o)$$

$$Y = P_e \cdot F_r^{0.4} \cdot \left(\mu_f / \mu_g \right)^{0.6}$$

(b) Local Condition Correlation (LCC)

$$B_{o,LCC} = F_E \cdot F_\chi \cdot B_{o0}$$

$$F_E = 1.54 - 0.032(L/D), \text{ if } F_E < 1 \text{ then use } F_E = 1$$

$$B_{o0} = \max \{B_{o01}, B_{o02}, B_{o03}\}$$

$$B_{o01} = 15 \cdot Y^{-0.612}$$

$$B_{o02} = 0.082 \cdot Y^{-0.3} \left(1 + 1.45 \cdot P_r^{4.03} \right)$$

$$B_{o03} = 0.0024 \cdot Y^{-0.105} \left(1 + 1.15 \cdot P_r^{3.39} \right)$$

$$F_\chi = F_3 \left[1 + \frac{(F_3^{-0.29} - 1) \cdot (P_r - 0.6)}{0.35} \right]^c, \text{ for } \chi_c > 0$$

$$F_3 = \left(\frac{1.25 \times 10^5}{Y} \right)^{0.833 \cdot \chi_c}$$

c = 0 for $P_r \leq 0.6$, c = 1 for $P_r > 0.6$

$$F_\chi = F_1 \left[1 - \frac{(1 - F_2) \cdot (P_r - 0.6)}{0.35} \right]^c, \text{ for } \chi_c \leq 0$$

$$F_1 = 1 + 0.0052 \cdot (-\chi_c)^{0.88} Y^{0.41}, \quad \text{for } Y \leq 1.4 \times 10^7$$

$$= 1 + 0.0052 \cdot (-\chi_c)^{0.88} (1.4 \times 10^7)^{0.41}, \quad \text{for } Y > 1.4 \times 10^7$$

$$F_2 = F_1^{-0.42}, \quad \text{for } F_1 \leq 4$$

$$= 0.55, \quad \text{for } F_1 > 4$$

(c) CHF 계산

$$B_o = B_{o,UCC}, \quad \text{for } Y \leq 10^6, \text{ or } L_E > \frac{160}{P_r^{1.14}}$$

$$B_o = \min \{B_{o,UCC}, B_{o,LCC}\}, \quad \text{for } Y > 10^6$$

B_o : Boiling number ($= q''/G/h_{fg}$)

D: channel diameter (m), 접촉체 적용 시 d_{he} 사용.

L: heated length from inlet to CHF location (m)

P_e : Peclet number ($= GDc_{pL}/k_L$)

F_r : Froude number ($= G^2/\rho_r^2/g/D$)

P_r : reduced pressure ($= P/P_{crit}$)

χ_c : critical quality

Applicable ranges:

L/D	1.3 to 940
Diameter	0.315 to 37.5 mm
Pressure	0.3 to 212 bar
Mass flux	3.9 to 29051 kg/m ² /s

Inlet quality	-4 to + 0.85
Critical quality	-2.6 to + 1.0

(o) AECL 1995 CHF Table

1995 AECL-IPPE CHF table은 30000여 개의 원형관 실험 자료로부터 개발되었고, 압력은 1~200 bar 사이를 21개로, 질량 유속은 0~8000 kg/m²/s을 20개로, 그리고 국부 건도는 -0.5~1.0 사이를 23개로 구분하여, 이전에 개발된 1986 CHF table에 비하여 CHF 예측 성능 및 적용 범위가 개선된 것이다. CHF table은 모두 8 mm 직경의 원형관에 대한 자료로 표준화 되어 있다. 따라서 직경이 이와 다른 채널에 적용할 경우 직경에 대한 보정 인자를 적용해야 하는데, CHF lookup table의 경우 이는 아래와 같은 형태로 제시되었다.

$$K_1 = \left(\frac{8}{d_{eff}} \right)^n$$

1986 CHF table의 경우에는 $d_{eff}=d_{he}$, $n=1/3$ 이 제시되었으며, 1995 CHF table에서는 $d_{eff}=d_{hy}$, $n=1/2$ 가 적용되었다. 수로 직경이 CHF에 미치는 영향에 대하여 여러가지 연구가 수행되었으나 단순한 모형으로 표현되기 어려운 것으로 파악되고 있다. 지지 격자의 영향을 보정하는 인자(K_3)와 가열 길이의 영향을 보정하는 인자(K_4)는 각각 아래와 같이 표현된다.

$$K_3 = 1 + 1.5 \cdot K_{grid}^{0.5} \cdot \left(\frac{G}{1000} \right)^{0.2} \cdot \exp \left(-0.1 \times \frac{L_{sp}}{d_{hy}} \right)$$

$$K_4 = \exp \left(e^{2\alpha} \cdot d_{hy} / L \right)$$

여기서, K_{grid} 는 지지격자 압력 손실 계수이며, L_{sp} 는 지지격자 간격을 나타낸다. 그리고 L 은 가열 길이이며, α 는 homogeneous model을 사용하여 아래와 같이 평가한다.

$$\alpha = \chi / [\chi + (1-\chi) \rho_g / \rho_f]$$

이로부터 임의의 채널에 대한 CHF는 아래와 같이 계산한다.

$$CHF = CHF_{D=8mm} \times K_1 \times K_3 \times K_4$$

-6. KAERI-FZK

(가) 공동 연구 협약

Annex II

to

KAERI-KfK Specific Arrangement of 22 April, 1986

formerly

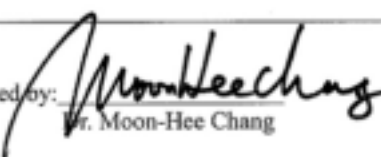
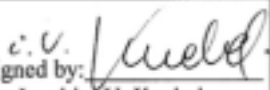
KAERI and the Forschungszentrum Karlsruhe GmbH (~~as the successors to~~ KfK) agreed on the joined R&D activities for mutual interests and benefits in the following areas:

- Development of sub-channel codes applicable to transmutation systems using heavy liquid metal (HLM) or light water as coolant.
- Exchange of information on HLM cooled and water cooled transmutation systems.

Collaborating works will be implemented in the following ways:

- Contributions from KAERI will mainly be made in
 - Organizing a working group for the sub-channel analysis activities
 - Providing the base module of the sub-channel analysis code MATRA for this working group
 - Further development and maintenance of the MATRA code
- Contributions from the Forschungszentrum Karlsruhe will mainly be made in
 - Conducting relevant experiments and preparation of test data for the development of physical models both at KAERI and at the Forschungszentrum Karlsruhe
 - Further development and modification of the MATRA code for the application of HLM cooled as well as water cooled transmutation systems

This Annex II will be part of the Specific Arrangement of 22 April, 1986. All terms and conditions of the Specific Arrangement shall apply to the joint R&D activities according to Annex II.

On behalf of KAERI	On behalf of the Forschungszentrum Karlsruhe GmbH	
Signed by:  Mr. Moon-Hee Chang Title: Director, Reactor Core Design & Technology Development Division Date: Sept. 18, 2003	Signed by:  Dr. Joachim U. Knebel Title: Head of Programme NUKLEAR Date: 18/09/03	Signed by:  Mr. Prok. Rainer Manger Title: Head of the legal department Date: 22.9.2003

(나) Working group 구성

Minutes of Meeting

based on the Annex II to KAERI-KfK Specific Arrangement
KAERI, 19 May, 2004

Participants:

KAERI	Dae-Hyun HWANG Tae-Hyun CHUN Young-Gyun KIM Chungho CHO	FZK	Xu CHENG
-------	--	-----	----------

According to the agreement between KAERI and FZK for the development of a subchannel code technology, representatives of both parties have a meeting to discuss relevant issues. As the result, the agreements were made for the following items.

1. Organizing working group

As the first step of bilateral cooperations, it was agreed to organize a working group. The list of participants for the working group are provided at the end of this MOM. The information provided to the working group will be shared with all participants.

2. Work plan

The list of unresolved problems from various application areas will be prepared by all participants of the working group. On the basis of the list of problems, the work sharing and execution plan will be discussed later.

3. Information exchange

The information relevant to this joint R&D works will be exchanged by post or e-mail. The working group will have meetings through international conferences, or through irregular meetings at KAERI or FZK, if necessary.

4. Code maintenance

KAERI will provide the strategy for MATRA code maintenance as soon as possible.

List of Participants for the Working Group:

KAERI:

Address: Korea Atomic Energy Research Institute, P.O. Box 105, Yuseong, Daejeon 305-600, Korea

Name	Research Area	Contact
HWANG, Dae-Hyun	Advanced water reactors	E-mail: dhhwang@kaeri.re.kr, Tel: +82 42 868 8730, Fax: +82 42 868 8990
SEO, Kyong-Won	Advanced water reactors	E-mail: nulmiso@kaeri.re.kr, Tel: +82 42 868 2634, Fax: +82 42 868 8990
YOO, Yeon-Jong	Advanced water reactors	E-mail: *****
CHUN, Tae-Hyun	Advanced water reactors	E-mail: thchun@kaeri.re.kr, Tel.: +82 42 868 2234, Fax: +82 42 863 0565
OH, Dong-Seok	Advanced water reactors	E-mail: dsoh1@kaeri.re.kr, Tel.: +82 42 868 2871, Fax: +82 42 863 0565
KIM, Young-Gyun	HLM reactors	E-mail: ygkim@kaeri.re.kr, Tel.: +82 42 868 2966, Fax: +82 42 861 9605
LEE, Yong-Bum	HLM reactors	E-mail: yblee@kaeri.re.kr, Tel.: +82 42 868 8724, Fax: +82 42 868 2075
HA, Kwi-Seok	HLM reactors	E-mail: ksha@kaeri.re.kr, Tel.: +82 42 868 2890, Fax: +82 42 868 2075
JEONG, Hae-Yong	HLM reactors	E-mail: hyjeong@kaeri.re.kr, Tel.: +82 42 868 8987, Fax: +82 42 868 2075
CHO, Chung-Ho	HLM reactors	E-mail: ex-chcho@kaeri.re.kr, Tel.: +82 42 868 2914, Fax: +82 42 868 2080

FZK:

Name	Research Area	Contact
CHENG, Xu	Advanced reactors	Email: xu.cheng@iket.fzk.de, Tel. +49-7247-82-4897
SCHULENBERG, T.	Advanced reactors	Email: Thomas.schulenber@iket.fzk.de, Tel. +49-7247-82-3451
TAK, Nam-II	HLM reactors	Email: Namil.Tak@iket.fzk.de, Tel. +49-7247-82-4773
WAATA, C.	SC water reactors	Email: Christine.Waata@iket.fzk.de, Tel. +49-7247-82-8320
BEHNKE, L.	SC water reactors	Email: Lars.Behnke@iket.fzk.de, Tel. +49-7247-82-6204
SANCHEZ, E.	Advanced reactors	Email: Sanchez@irs.fzk.de, Tel. +49-7247-82-2283

Sub-channel Analysis of LBE-Cooled Fuel Assemblies of Accelerator Driven Systems

X. Cheng¹, D.H. Hwang²

¹ Forschungszentrum Karlsruhe, Postfach 3640, 76021 Karlsruhe, Germany
Tel. +49-7247-824897, Fax. +49-7247-824837, Email: xu.cheng@iket.fzk.de

² Korea Atomic Energy Research Institute, P.O. Box 105 Daejeon, Korea 305-600

ABSTRACT

In the frame of the European PDS-XADS project, two concepts of the sub-critical reactor core cooled by liquid lead-bismuth eutectic (LBE) were proposed. In this paper, the local thermal-hydraulic behavior of both LBE-cooled fuel assemblies was analyzed. For this purpose, the sub-channel analysis code MATRA was selected, and modification was made for its applications to XADS conditions. Compared to the small core concept, the large core concept has a much lower temperatures of coolant, cladding and fuel pins. This enables a short-term realization of the core design using available technologies. The high power density of the small core results in high local temperatures of coolant, cladding and fuel. Both coolant velocity and cladding temperature are such that special attention has to be paid to avoid corrosion and erosion damage of cladding materials. A parametric study shows that under the parameters considered, mixing coefficient has the biggest effect on the coolant temperature distribution, whereas the cladding temperature is strongly affected by the selection of heat transfer correlations.

KEYWORD: Sub-channel analysis, Heavy liquid metal, ADS

I. INTRODUCTION

Accelerator driven sub-critical systems (ADS) are promising machines to transmute long-lived radioactive wastes, such as minor actinides. In the frame of the European PDS-XADS project, three concepts of the sub-critical reactor core are proposed (Carluer 2002). Two of them are cooled by liquid lead-bismuth eutectic (LBE). These two LBE cooled reactor cores have significantly different design configurations (Mansani 2002, Malambu 2004).

Various types of numerical codes can be applied to analyze flow conditions in reactor cores and in fuel assemblies. Sub-channel analysis is the most widely applied approach in the design of fuel assemblies. It divides one fuel assembly into a large number of individual flow channels, the so called sub-channels. With this approach the local thermal-hydraulic condition of the hot sub-channel and the hot fuel pin can be analyzed. Recently, more and more interest was arisen in the application of Computational Fluid Dynamics (CFD) codes to fuel assembly analysis. This approach requires a further division of one sub-channel into a huge number of computational cells. Due to the requirement on a

huge storage need and computing time, application of this approach is still limited.

Although both LBE-cooled XADS reactor cores have been proposed during the PDS-XADS project, they were based on preliminary design analysis, especially related to thermal-hydraulic analysis. Due to the limited availability of numerical tools at that time stage, thermal-hydraulic design analysis was made using lumped parameter approaches (Struwe 2004). No detailed investigation was carried out on local conditions in all sub-channels. Therefore, further analysis was necessary to provide detailed knowledge about the local thermal-hydraulic behavior of both LBE cooled reactor cores.

The main objective of this work is study the thermal-hydraulic performance of the two LBE-cooled reactor cores, and to provide some basic information for the selection of European ADS facilities. For this purpose, the sub-channel analysis code MATRA is applied, which was originally developed and issued by Korea Atomic Energy Research Institute (KAERI 1998). In the frame of a bilateral collaboration between KAERI and the Forschungszentrum Karlsruhe, the MATRA code

was modified for ADS applications. The local sub-channel conditions in the hot fuel assemblies of both LBE cooled reactor cores are presented and discussed.

II. LBE-COOLED REACTOR CORES

Two designs of LBE-cooled reactor cores for the European ADS facility were proposed with various application purposes (Carluer 2002). The main purposes of the large core design with a thermal power of 80 MW are to investigate the operating performance of ADS under the coupling of accelerator, spallation target and sub-critical reactor core, and to gather experience for designing an industrial scale transmutation machine. For this design, a low heat density of the reactor core is selected, to guarantee a safe heat removal and low temperature of structural material for minimizing corrosion damage. In contrary, the small LBE-cooled ADS facility is mainly designed as a testing station for a wide spectrum of applications. For various testing purposes, high neutron fluxes are required, which in turn lead to a high heat density in the reactor core. The structural material is exposed not only to a high irradiation load, but also a high thermal load. Details of both LBE-cooled reactor cores can be found in (Mansani 2002, Malambu 2004). Some of the parameters relevant to the present study are summarized in table 1.

Table 1: Parameters of both LBE-cooled reactor cores

Parameters	Large core	Small core
Core average parameters		
Reactor power, MW	80	51
Number of FAs in core	120	45
Coolant	LBE	LBE
Inlet coolant temperature, °C	300	300
Outlet coolant temperature, °C	400	455
Hot FA parameters		
Power, MW	0.775	1.465
Number of fuel pins	90	91
Pin diameter, mm	8.5	6.55
Pitch, mm	13.41	8.55
Wrapper-to-pin gap, mm	2.5	1.0
Outline pin length, mm	1272	1200
Active height, mm	870	600
Upper section height, mm	202	180
Lower section height, mm	200	420
Number of grid spacers	3	3
Axial power factor	1.14	1.27
Radial power factor	1.14	1.04
Cladding thickness, mm	0.565	0.50

Fuel outer diameter, mm	7.14	5.55
Fuel material	MOX	MOX
Fill gas	Helium	Helium
Coolant flow rate, kg/s	40.78	50.0
Coolant inlet temperature, °C	300	300
Coolant outlet temperature, °C	416	500

The FAs have a typical hexagonal structure which is surrounding the inner cavity foreseen for spallation target. The fuel core has been surrounded by FA-like dummy assemblies, which are filled up with LBE. The core power distributions were analyzed in (Burn 2004, Malambu 2004). The coolant flow through the FAs is established such that the coolant heat-up in the large core is 100°C and in the hottest fuel assembly of the small core is 200°C. The small LBE core has a much smaller fuel pin diameter (6.55 mm) and smaller pitch-to-diameter ratio (1.308). This gives a much smaller FA size and coolant flow area. Furthermore, the average FA power (1.13 MW) is higher than that in the large core (0.67 MW). To remove the heat, thus, a higher coolant flow velocity is required. For the present analysis, the hottest fuel assemblies, i.e. those with the highest heat release, are taken into consideration.

The radial power distributions, i.e. the power of each fuel pin, in both hot fuel assemblies are taken from (Malambu 2004, Burn 2004). The fuel pins closer to the spallation target have higher power. The radial power factor in the small core is 1.04, much smaller than that in the large core (1.14). A uniform distribution of peripheral heat flux for each fuel pin is assumed. One single axial power distribution for fuel pins is taken for each reactor core. The large LBE-cooled reactor core has a much smoother axial power distribution than that of the small reactor core. The axial power factor is 1.27 in the small core and 1.14 in the large core, respectively. Moreover, in the small reactor core, the maximum heat flux is as high as 1.7 MW/m², which is about five times of that in the large reactor core. The maximum linear power is about 350 W/cm. Therefore, a detailed analysis of the thermal-hydraulic behavior, including the individual fuel pins, is highly required, especially for the small reactor core.

III. SUB-CHANNEL ANALYSIS CODE MATRA

The sub-channel analysis code MATRA (Multi-channel Analyzer for Steady States and Transients in Rod Arrays) is the thermal-hydraulic analysis code being developed at the Korea Atomic Energy Research Institute (KAERI) based on the sub-channel analysis code COBRA-IV-I. Compared to

COBRA-IV-I, the MATRA code has been provided with an improved structure, additional functions and models to give a more convenient user environment and to increase the numerical accuracy. A detailed description of MATRA can be found in (KAERI 1998).

For the analysis of LBE cooled ADS fuel assemblies, modification of the MATRA code is necessary. First of all thermal-physical properties and some physical models for LBE have to be implemented into the code.

Thermal-physical properties

In the original version of COBRA-IV-I, only properties at the saturating lines are read via input deck as a look-up table. The sub-cooled properties are calculated by interpolating the saturated properties. Obviously, this would lead not only to an undesired error, but also to a serious numerical problem, especially for fluids with very low saturating pressures, e.g. LBE. As an alternative approach, a steam table routine has been implemented into the MATRA code. Therefore, sub-cooled properties can be accurately calculated. This approach is then taken for implementing the properties of LBE into the MATRA code. The LBE properties used in this study are taken from Cevalani (1998).

Heat transfer correlations

Studies on turbulent heat transfer of liquid metal flows in rod bundles began as early as 50's. Since then many heat transfer correlations were proposed in the open literature. Similar to liquid metal flow in circular tubes, heat transfer coefficients for rod bundles are also described in the following form:

$$Nu = A + B \cdot Pe^C \quad (1)$$

Here Nu stands for Nusselt number and Pe for Peclet number. The coefficients A, B and C depend mainly on bundle geometric data, especially the pitch-to-diameter ratio. A review on heat transfer correlations for liquid metal flow in rod bundles was recently carried out by Cheng et al. (Cheng 2005). It was pointed out that in the open literature only one correlation was specifically developed for LBE flows in rod bundles, i.e. the correlation of Orlov (Subbotin 1965):

$$Nu = 0.58 \left(\frac{d_h}{D} \right)^{0.55} Pe^{0.45} \quad (2)$$

In this equation, D is the fuel pin diameter and d_h the hydraulic diameter of the fuel assembly. This correlation is valid for hexagonal as well as for square rod bundles with a pitch-to-diameter ratio from 1.1 to 1.5. The Peclet number ranges from 400

to 4000.

Figure 1 compares the calculated Nusselt number versus Peclet number for the regular sub-channels of both LBE-cooled cores. For comparison, the correlation of Kirillov (2001)

$$Nu = 4.5 + 0.018Pe^{0.15} \quad (3)$$

is also indicated in this figure, which was proposed for liquid metal flows in circular tubes. The thermal-physical properties needed in figure 1 are calculated by assuming a coolant temperature of 300°C. It is seen that the Nusselt number in the large core is higher than that in the small core. The Peclet numbers are 870 in the large core and 1350 in the small core, respectively. The Kirillov's correlation proposed for circular tubes gives much lower Nusselt number, especially for the large core configuration. In spite of higher Nusselt number, the heat transfer coefficient (12.2 kW/m²K) in the large core is much lower than that in the small core (26.4 kW/m²K). To investigate the effect of heat transfer correlations on the sub-channel results, both correlations are applied.

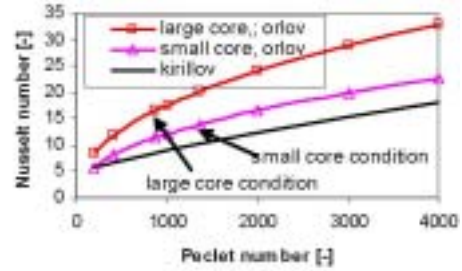


Figure 1: Nusselt number in regular sub-channels according to various correlations

Turbulent cross flow of mass

Although both approaches, i.e. zero net volume exchange and zero net mass exchange, are implemented into the MATRA code, it should be pointed out that the undirected natural cross flow is resulted by the turbulent fluctuation of velocity in the gap. Any velocity fluctuation inside one sub-channel does not directly contribute to the inter-channel mass transfer. Therefore, for calculating turbulent cross flow of both directions, the fluid density on the gap boundary should be used. This gives a zero net cross flow of mass. The zero net mass exchange approach was widely used in the earlier sub-channel analysis codes. However, the sub-channel community recognized that the zero net volume approach would give a better prediction of local conditions in sub-channels.

Detailed and reliable knowledge about turbulent mixing of LBE flows is still missing. Most recently, a systematical analysis using CFD code was performed by the present authors to study the phenomena of turbulent mixing in heavy liquid

metal (HLM) cooled rod bundles (Cheng, 2005). This study indicates that the velocity fluctuation is proportional to the mean axial flow velocity. Figure 2 shows the average amplitude of the velocity fluctuation across the gap, normalized by the shear velocity. The results show that in both lattice arrangements, triangular or square, the difference in the normalized velocity fluctuation is negligibly small. The average amplitude of the velocity fluctuation across the gap has its maximum close to the wall. It decreases with the distance to the wall. On the average, the normalized velocity fluctuation across the gap is about 0.5.

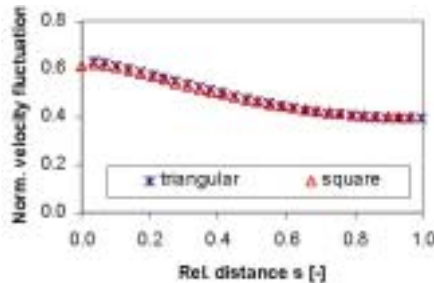


Figure 2: Normalized velocity fluctuation across the gap in both triangular and square lattices (Cheng, 2005)

In the figure, the shear velocity is calculated by

$$u_s = \sqrt{\frac{\tau_w}{\rho}} = \sqrt{\frac{f}{8}} u \quad (4)$$

Here τ_w is wall shear stress, ρ density, u axial mean flow velocity and f friction factor, which is determined using the conventional Blasius correlation

$$f = \frac{0.3164}{Re^{0.25}} \quad (5)$$

This gives a turbulent mixing coefficient

$$\beta = \frac{V}{u} = \frac{c \cdot u_s}{u} = c \cdot 0.20 \cdot Re^{-0.125} \quad (6)$$

Equation (6) has the similar form as that proposed by Rogers & Rosehart (1972). The coefficient c depends mainly on sub-channel geometry, and also increases slightly with increasing Reynolds number (Cheng 2005). For the conditions considered in this study, equation (6) gives a mixing coefficient of about 0.02, larger than the value calculated using the Roger's equation (0.008).

Natural cross flow of energy

In the MATRA code, similar to other sub-channel analysis codes, the diffusion term of energy does only contain the molecular diffusion. In the reality,

thermal diffusion consists of both molecular and turbulent diffusion. Therefore, the turbulent diffusion of energy e_{TD} is introduced in the present study, i.e.

$$e_{TD} = \lambda_t \frac{T_J - T_I}{l_{IJ}} \quad (7)$$

Here λ_t stands for turbulent thermal conductivity, l_{IJ} for the effective distance between two neighboring sub-channels I and J. By using the turbulent eddy viscosity approach and turbulent Prandtl number, the turbulent thermal conductivity can be expressed as:

$$\frac{\lambda_t}{\lambda} = \frac{Pr_t}{Pr} \cdot \frac{\mu_t}{\mu} \quad (8)$$

Compared to conventional fluids such as water and air, the molecular Prandtl number Pr of HLM is much smaller. Thus, the directed cross flow of energy resulted by turbulence is less significant. A CFD analysis of Cheng et al. (2005) showed that the turbulent Prandtl number Pr_t ranges from 1.0 to 2.0, and the normalized turbulent viscosity μ_t/μ across the gap increases with the distance to the wall. It varies in the range from 5 to 60, and has an average value of about 40 over the entire gap. Furthermore, the normalized turbulent viscosity is approximately proportional to the mean axial velocity in sub-channels. Considering that the molecular Prandtl number of LBE is about 0.02, the normalized turbulent thermal conductivity has a value in order of 1.0. This indicates that for LBE flows in rod bundles the turbulent diffusion is in the same order as the molecular diffusion.

IV. RESULTS AND DISCUSSION

In this section, the hot fuel assemblies of both reactor cores are taken into consideration. The effect of some parameters is investigated, i.e. turbulent mixing coefficient and heat transfer correlations. Figure 3 indicates the division of one fuel assembly into sub-channels, the numbering system for sub-channels and fuel pins. The relative direction of the hot fuel assemblies to their core centre is also indicated.

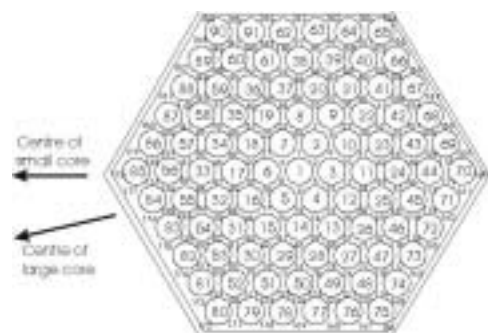


Figure 3: Numbering system of sub-channels and fuel pins

1. Reference case

The coolant temperatures in all 186 sub-channels at the upper end of the active height are presented in figure 4. In each fuel assembly several coolant temperature peaks are recognized. In the large core concept, the largest enthalpy rise is obtained in the sub-channels SC-172 and SC-178. The enthalpy rise through sub-channels in the small core concept is much higher than that in the large core concept. The maximum coolant temperature is as high as 520°C. The ratio of the temperature rise in the hot sub-channel to the bundle average value is 1.16 in the large core and 1.10 in the small core.

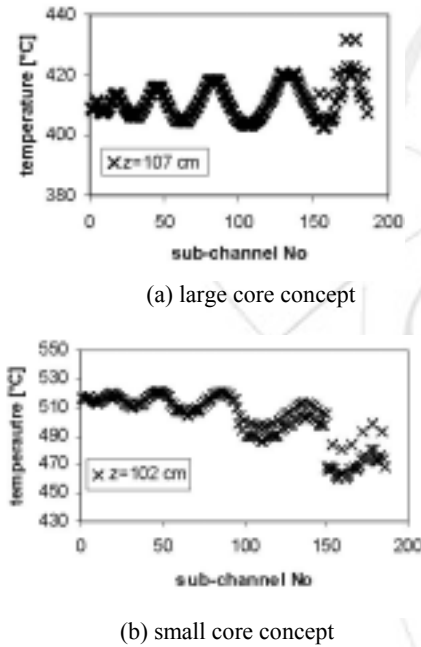
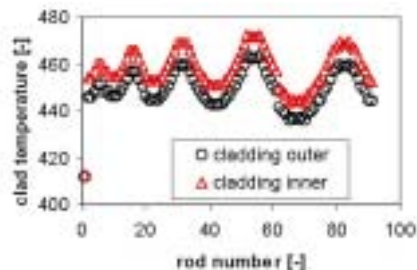
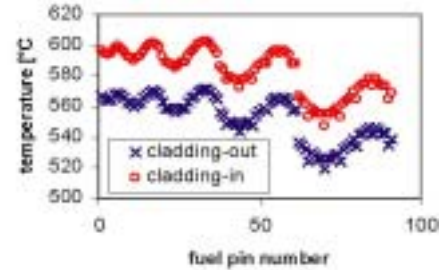


Figure 4: Coolant temperatures in sub-channels at the upper end of the active height

Figure 5 indicates the temperatures on the cladding inner surface and on the cladding outer surface for all 91 fuel pins. Five temperature peaks are observed in each fuel assembly. In the large core concept, the temperature peaks occur in the fuel pins FP-6, FP-17, FP-32, FP-54 and FP-84. In the small core concept the fuel pins with temperature peaks are FP-6, FP-17, FP-33, FP-56 and FP-85. In the small core concept, the maximum outer cladding temperature is as high as 550°C. Therefore, measures have to be taken to avoid a strong corrosion damage of cladding materials.



(a) large core



(b) small core
Figure 5: Cladding temperatures of all fuel pins

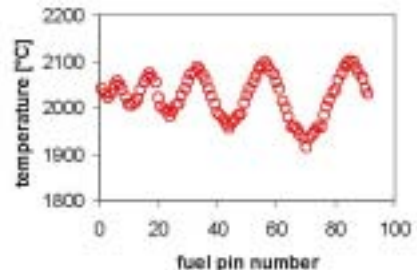


Figure 6: Maximum fuel temperatures

Figure 6 shows the maximum fuel temperature of all 91 fuel pins of the small core concept. It is found that the fuel temperature peaks occur in the same fuel pins as the cladding temperature peaks. The maximum fuel temperature in the small core concept is as high as 2100°C. Obviously, the safety margin to the melting temperature of oxide fuel (about 2400°C for PuO₂) is low. Safety analysis should be carried out for various transients, to check the onset of fuel melting.

2. Parametric studies

Figure 7 shows the effect of turbulent mixing coefficient on coolant temperatures in the hot sub-channels SC-178 in the large core, where the turbulent mixing coefficient has a stronger effect on the coolant temperature than that in other sub-channels. Considering that the average coolant temperature at the bundle exit is 416°C, a well uniform coolant temperature in the fuel assembly is achieved using a turbulent mixing coefficient of 0.1. A reduction in the turbulent mixing to 0.002 results in a much stronger non-uniformity of coolant temperature distribution.

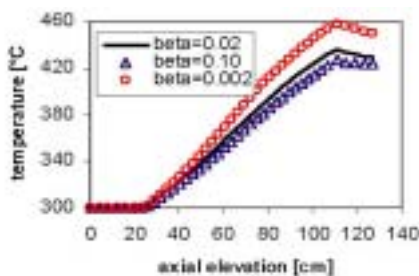


Figure 7: Effect of turbulent mixing coefficient on coolant temperatures in the hot sub-channels

Figure 8 indicates the effect of heat transfer correlations on the cladding temperature of the hot fuel pins, i.e. FP-33 in the small core concept. A strong effect of heat transfer correlations is obtained. Using the correlation of Orlov leads to a reduction in the maximum cladding temperature about 20°C.

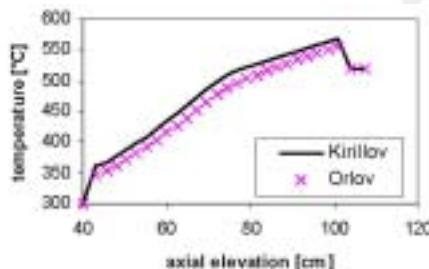


Figure 8: Effect of heat transfer correlations on the cladding temperature of FP-33

V. SUMMARY

Sub-channel analysis was performed using the code MATRA, to study the thermal-hydraulic performance in LBE cooled fuel assemblies and to provide basic information for the selection of European ADS facilities. Modification of the MATRA code was made for its applications to ADS conditions. Using the modified MATRA code, local sub-channel conditions as well as local fuel pin temperatures of the hot fuel assemblies in both LBE-cooled reactor cores have been analyzed. The results achieved can be summarized as below:

- Compared to the small core concept, the large core concept has a much lower temperatures of coolant, cladding and fuel pins. This would enable a short-term realization of the core design using available technologies.
- Due to high power densities, the maximum temperature of the cladding outer surface is as high as 570°C in the small LBE-cooled core. Corrosion damage of cladding materials at such high temperature becomes a serious problem. Measures to reduce the cladding temperature peak and to protect cladding materials from corrosion damage are highly

required. The acceptance of this high cladding temperature has to be checked by the performance of the cladding material during the entire reactor operation period.

- In the large core concept, the hot sub-channel is one of the corner sub-channels, whereas in the small core concept, the highest coolant temperature occurs in one of the regular sub-channels. The radial peak factor of coolant temperature is 1.14 in the large core and 1.07 in the small core, respectively.

- Under normal operating conditions of the small core concept, only a small safety margin exists to the melting point of fuel materials. A thorough check on the onset of fuel melting has to be made under various transient scenarios.

- Inter-channel exchange is one of the major physical phenomena which require further investigations. The mixing coefficient shows a stronger effect on the coolant temperature distribution than the other parameters considered in this paper.

- For the cladding temperature, selection of heat transfer correlations plays an important role. Due to the sensitive effect of temperatures on corrosion behavior of cladding materials at high temperatures, reliable heat transfer correlations are thus highly required, especially for the design of the small LBE-cooled reactor core.

It has to be pointed out that reliable physical models, e.g. for heat transfer, for LBE flows in rod bundles are still missing, which, however, are responsible for the accuracy of the present analysis, and of crucial importance for the detailed engineering design of ADS fuel assemblies. Thermal-hydraulic rod bundle experiments will be performed at the Forschungszentrum Karlsruhe with the main purpose to study the thermal-hydraulic performance of an ADS fuel assembly, such as pressure drop, heat transfer and inter-channel exchange. In addition, CFD analysis is carried out to provide understanding and basic data base for developing new physical models for ADS prototypical conditions.

REFERENCES

- Burn, K.W., Glinatsis, G., Pelava, E., Peluso, V., Petrovich, C., Salotto, M., Tinti, R., 2004. Core Reference Cycle Analysis, Report-No. DEL04/49, Project-ID. FIKW-CT-2001-00179, Ansaldi Nucleare, January 2004
 Carluec, B., Abderahim, H. Aid, Müller, A.C.,rd
 2002. The European Program, 3 Int.
 Workshop on Utilization and Reliability of High-Power Proton Accelerators, Santa Fe, NM, May 12-16
 Cevolani, S., 1998. Review of the Liquid Lead-Bismuth Alloy Physical Properties, ENEA Report, DT.SBD.0004, April 1998.

- Cheng, X., Tak, N.I., 2005. CFD Analysis of Thermal-Hydraulic Behavior of Heavy Liquid Metals in Sub-channels, to be submitted to Nuclear Engineering and Design, 2005
- KAERI, 1998. Development of a Sub-channel Analysis Code MATRA (Version α), KAERI/TR-1033/98, April 1998
- Kirillov, P.L., Ushakov, P.A., 2001. Heat Transfer to Liquid Metals: Specific Features, Methods of Investigation, and Main Relationships, Thermal Engineering, Vol.48, No.1, pp.50-59
- Malambu, E., 2004. Sub-critical Corer Design of the Small-Scale XADS: Sizing, Drawings, Fuel Handling, Report-No. DEL03/012, Project-ID FIKW-CT-2001-00179, Mol, Belgium, September 2004
- Mansani, L., Burn, K.W., Tinti, R., Giraud, B., Sunderland, R., Cetnar, J., 2002. Proposed Core Configurations for a Gas Cooled and a Lead-Bismuth Eutectic Cooled ADS System, ENC Scientific Seminar, Lille, France, October, 7-9, 2002
- Rogers, J.T., Todreas, N.E., 1968. Coolant Inter-channel Mixing in Reactor Fuel Rod Bundles Single-Phase Coolant, in section Heat Transfer in Rod Bundles, the Winter Annual Meeting of ASME, New York, December 1968, pp. 1-56.
- Subbotin, V.I., et. al, 1965. Heat Removal in the Reactors Elements with Liquid Metal Cooling, Proc. of 3rd Conference on Peace Use of Atomic Energy, New York, Vol.8, pp.192
- Struwe, D., Pfrang, W., Mansani, L., Mikityuk, K., Coddington, P., 2004. Core Thermal-Hydraulics of the LBE-Cooled XADS, Report-No DEL04/56, Project-ID FIKW-CT-2001-00179, Karlsruhe, Germany, August 2004

서 지 정 보 양 식					
수행기관보고서번호	위탁기관보고서번호		표준보고서번호		INIS 주제코드
KAERI/RR-2615/2004					
제목 / 부제	신개념원자로 조건에대한 부수로해석 코드기술 개발 및 응용 연구				
주저자 및 부서명	황 대현 (원자로공학연구부)				
연 구 자 및 부 서 명	서 경원 (원자로공학연구부)				
출판지	대전	발행기관	한국원자력연구소	발행년	2006
폐이지	184 p.	도 표	있음(0), 없음()	크기	26 Cm.
참고사항					
비밀여부	공개(0), 대외비(), __ 급비밀		보고서종류	기술보고서	
연구위탁기관			계약번호		
초록 (15-20줄내외)					
주제명키워드 (10단어내외)	부수로 해석, 신개념원자로, MATRA				

BIBLIOGRAPHIC INFORMATION SHEET					
Performing Org. Report No.	Sponsoring Org. Report No.	Stamdard Report No.		INIS Subject Code	
KAERI/RR-2615/2004					
Title / Subtitle	Development and Application of Subchannel Analysis Code Technology for Advanced Reactor Systems				
Main Author and Department	Dae-Hyun Hwang (Advanced Reactor Development)				
Researcher and Department	K.W. Seo (Advanced Reactor Development)				
Publication Place	Taejon	Publisher	KAERI	Publication Date	2001
Page	184 p.	Ill. & Tab.	Yes(0), No ()	Size	26 cm.
Note					
Classified	Open(0), Restricted(), Class Document		Report Type	Technical Report	
Sponsoring Org.			Contract No.		
Abstract (15-20 Lines)					
<p>A study has been performed for the development and assessment of a subchannel analysis code which is purposedto be used for the analysis of advanced reactor conditions with various configurations of reactor core and several kinds of reactor coolant fluids. The subchannel analysis code was developed on the basis of MATRA code which is being developed at KAERI. A GUI (Graphic User Interface) system was adopted in order to reduce input error and to enhance user convenience. The subchannel code was complemented in the property calculation modules by including various fluids such as heavy liquid metal, gas, refrigerant, and supercritical water. The subchannel code was applied to calculate the local thermal hydraulic conditions inside the non-square test bundles which was employed for the analysis of CHF. The applicability of the subchannel code was evaluated for a hightemperature gas cooled reactor condition and supercritical pressure conditions with water and Freon. A subchannel analysis has been conducted for European ADS(Accelerator-Driven subcritical System) with Pb-Bi coolant through the international cooperation work between KAERI and FZK, Germany. In addition, the prediction capability of the subchannel code was evaluated for the subchannel void distribution data by participating an international code benchmark program which was organized by OECD/NRC.</p>					
Subject Keywords	Subchannel analysis, Advanced reactor, MATRA				